



**UNIVERSIDADE FEDERAL DE SANTA MARIA
CENTRO DE CIÊNCIAS NATURAIS E EXATAS
PROGRAMA DE PÓS-GRADUAÇÃO EM QUÍMICA
NÚCLEO DE QUÍMICA DE HETEROCICLOS**

**PIRAZOLO[1,5-a]PIRIMIDINAS:
SÍNTESE E BROMAÇÃO**

DISSERTAÇÃO DE MESTRADO

Elisandra Scapin

Santa Maria, RS, Brasil

2006

**PIRAZOLO[1,5-a]PIRIMIDINAS:
SÍNTESE E BROMAÇÃO**

por

Elisandra Scapin

Dissertação apresentada ao Curso de Mestrado do Programa de Pós-Graduação em Química, Área de Concentração em Química Orgânica, da Universidade Federal de Santa Maria (UFSM, RS), como requisito parcial para obtenção do grau de **Mestre em Química**.

Orientador: Prof. Dr. Marcos Antonio Pinto Martins

Santa Maria, RS, Brasil

2006

UNIVERSIDADE FEDERAL DE SANTA MARIA
CURSO DE PÓS-GRADUAÇÃO EM QUÍMICA

**A COMISSÃO ORGANIZADORA, ABAIXO ASSINADA,
APROVA A DISSERTAÇÃO**

**PIRAZOLO[1,5-A]PIRIMIDINAS:
SÍNTESE E BROMAÇÃO**

Elaborada por

ELISANDRA SCAPIN

**COMO REQUISITO PARCIAL PARA A OBTENÇÃO
DO GRAU DE MESTRE EM QUÍMICA**

COMISSÃO ORGANIZADORA:

Prof. Dr. Marcos A. P. Martins – Orientador – UFSM

Prof. Dr. Alex F. C. Flores – UFSM

Prof. Dr. Nilo Zanatta - UFSM

Santa Maria, 27 de janeiro de 2006

Dedico esta dissertação aos meus pais,
Adilvo Antônio Scapin e Valdereza Scapin,
por todo carinho, paciência e incentivo.

Ao **Prof. Dr. Marcos A. P. Martins**,
pela confiança, orientação e incentivo
durante todos estes anos.

A Deus,

Que sempre me guiou nas horas
boas e principalmente nas mais
difíceis e pela oportunidade de
realizar este trabalho.

Ao **Denilson Kulman**,
pelo amor, paciência
e companheirismo.

AGRADECIMENTOS

À toda a minha grande família, pais, avós, irmã, tios(a), primos(a), pela confiança, apoio, paciência e carinho; e principalmente por acreditarem em mim, muito obrigada por tudo .

Às companheiras de apartamento Enelise, Simone e Simara pela compreensão, apoio e amizade, meu eterno agradecimento.

Aos colegas e amigos do laboratório, Clarissa, Gabriela, Marcelo, João Inácio, Fernanda, Pablo, Graciela, Luciana, Emerson, Paulo, Rodrigo, Sidnei, Frantiescoli, Pâmela, Alexandre, pela convivência e ajuda durante a realização deste trabalho. Ao Marcos Vinícius Teixeira, Wilson Cunico e Fabiana Missau pela orientação durante os anos iniciação científica.

À todos os colegas dos laboratórios dos Professores Helio Bonacorso e Nilo Zanatta, em especial à Liana, Helena e Cleber pelo incessante apoio e amizade.

Aos professores Alex F. C. Flores e Nilo Zanatta , pela disponibilidade de participar do exame de qualificação e pelas sugestões.

À coordenação do curso de Pós-Graduação em química e aos funcionários Ademir Sartóri e Valéria Valquez.

Aos operadores do RMN pelos vários serviços prestados.

Às entidades financeiras CNPq, CAPES, FAPERGS e FATEC pelos auxílios concedidos.

RESUMO

PIRAZOLO[1,5-a]PIRIMIDINAS: SÍNTSE E BROMAÇÃO

Autor: Elisandra Scapin

Orientador: Marcos A. P. Martins

Este trabalho mostra a síntese de uma série de 2-metil-7-triclorometilpirazolo[1,5-a]pirimidinas a partir da reação de ciclocondensação do 3-amino-5-metilpirazol com 1,1,1-tricloro-4-alcoxi-3-alquen-2-onas $[CCl_3C(O)CH=C(R^1)OR]$ onde $R^1 = H, Me, Et, Pr, Bu, t-Bu$ e $R = Me, Et$ em bons rendimentos (69-98%). Também foi realizada a síntese de 2-metil-7-arylpirazolo[1,5-a]pirimidinas a partir da reação de ciclocondensação de β -dimetilaminovinil cetonas $[R^2C(O)CH=CHNMe_2]$, onde $R= Ph, Ph-4-NO_2, Ph-4-Me, Ph-4-Br, Ph-4-F, Ph-4-Cl, pirid-2-il, pirrol-2-il, tien-2-il$ e $fur-2-il]$ com 3-amino-5-metilpirazol em bons rendimentos (65-98%). Finalmente, foi realizada a reação de bromação das 2-metilpirazolo[1,5-a]pirimidinas a partir da reação destes compostos com *N*-bromosuccinimida. Os compostos foram obtidos com grau de pureza satisfatório e identificados através de espectroscopia de RMN de 1H , ^{13}C , HMQC, HMBC, CG-MS e de Difração de Raio-X.

UNIVERSIDADE FEDERAL DE SANTA MARIA
CURSO DE PÓS-GRADUAÇÃO EM QUÍMICA
DISSERTAÇÃO DE MESTRADO EM QUÍMICA
SANTA MARIA, JANEIRO DE 2006

Abstract

Pyrazolo[1,5-a]pirimidines : Synthesis and Bromation

Author: Elisandra Scapin

Advisorr: Marcos A. P. Martins

The synthesis of a series of 2-methyl-7-trichloromethylpyrazolo[1,5-a]pyrimidines from the cyclocondensation reaction of 3-amino-5-methylpyrazole with 1,1,1-trichloro-4-alkoxyalk-3-en-2-ones $[CCl_3C(O)CH=C(R^1)OR]$ where $R^1 = H, Me, Et, Pr, Bu, t-Bu$ e $R = Me, Et$] in good yields (69-98%) is reported. Also, was performed the synthesis of 2-methyl-7-arylpyrazolo[1,5-a]pyrimidines from de cyclocondensation reaction of 3-amino-5-methylpyrazole with β -dimethylaminovinyl ketones $[R^2C(O)CH=CHNMe_2]$, where $R=Ph, Ph-4-NO_2, Ph-4-Me, Ph-4-Br, Ph-4-F, Ph-4-Cl, pyrid-2-yl, pyrrol-2-yl, tien-2-yl$ e fur-2-yl] in good yields (65-98%). Finally, was performed of the bromation reaction of 2-methylpyrazolo[1,5-a]-pyrimidines from the reaction of these compounds with N -bromosuccinimide (yields: 70-98%). All compounds were obtained in satisfactory purity and were identified by 1H , ^{13}C , HMQC and HMBC spectroscopy, CG-MS and X-ray diffraction.

Master Dissertation
Post-Graduate Course in Chemistry
Universidade Federal de Santa Maria
Santa Maria, January of 2006

SUMÁRIO

1. INTRODUÇÃO E OBJETIVOS.....	1
2. REVISÃO DA LITERATURA.....	4
2.1. Síntese de <i>1,1,1-tricloro-4-alcoxi-3-alquen-2-onas</i>	4
2.2. Síntese de β -enamino cetonas.....	5
2.3. Síntese de pirazolo[1,5-a]pirimidinas	6
2.4. Halogenação de Pirazóis	13
3. APRESENTAÇÃO E DISCUSSÃO DOS RESULTADOS.....	15
3.1. Numeração e nomenclatura dos compostos	15
3.2. 2-Metil-7-triclorometilpirazolo[1,5-a]pirimidinas 2a-f	18
3.2.1. Síntese das 2-metil-7-triclorometilpirazolo[1,5-a]pirimidinas 2a-f	18
3.2.2. Identificação dos compostos 2a-f através de RMN de ^1H , ^{13}C e através de técnicas 2D	20
3.2.3. Dados de Espectrometria de Massas para os compostos 2a-f	28
3.2.4. Mecanismo da Reação.....	29
3.3. 2-Metil-7-arylpirazolo[1,5-a]pirimidinas 4a-j	31
3.3.1. Síntese das 2-metil-7-arylpirazolo[1,5-a]pirimidinas 4a-j	31
3.3.2. Identificação dos compostos 4a-j através de RMN de ^1H , ^{13}C e através de técnicas de 2D	33
3.3.3. Identificação dos compostos 4a-j através de cromatografia ga sosa CG-MS.....	42
3.3.4. Mecanismo da Reação.....	43
3.3.5. Estrutura do composto 4a obtida por difratometria de Raios-X em monocristal.....	44
3.4. 3-Bromo-2-metil-7-triclorometilpirazolo[1,5-a]pirimidinas 5a-b,d e 3-Bromo-2-metil-7-arylpirazolo[1,5-a]pirimidinas 6a-b,d-f,i-j	455

3.4.1. Síntese das 3-bromo-2-metil-7-triclorometilpirazolo[1,5-a]pirimidinas 5a-b,d síntese das 3-bromo-2-metil-7-arylpirazolo[1,5-a]pirimidinas 6a-b,d-f,i-j	455
3.4.2. Identificação dos compostos 5a-b,d e 6a-b,d-f,i-j através de RMN de ^1H , ^{13}C e através de técnicas de 2D	488
3.4.3. Dados de Espectrometria de massas dos compostos 5a-b,d e 6a-b,d-f,i-j	533
3.4.4. Mecanismo da Reação.....	544
4. PROCEDIMENTO	
EXPERIMENTAL.....	555
<i>4.1. Equipamentos Utilizados.....</i>	555
4.1.2. Espectroscopia de Ressonância Magnética Nuclear	555
4.1.3. Espectroscopia de Massas.....	555
4.1.4. Ponto de Fusão	566
4.1.5. Análise Elementar	566
4.1.6. difração de Raio-X.....	566
<i>4.2. Síntese dos Compostos</i>	566
4.2.1. Procedimento geral para a síntese de pirazolo[1,5-a]pirimidinas 2a-f e 4a-j	566
4.2.2. Procedimento geral para a síntese de 3-bromo-2-metil-pirazolo[1,5-a]pirimidinas 5a-b,d e 6a-b,d-f,i-j	577
5.	
CONCLUSÕES.....	588
6. REFÊNCIAS BIBLIOGRÁFICAS.....	59
ANEXO 1: Espectro de massas dos compostos 2a-f, 4a-j, 5a-b,d, 6a-b,d-f, i-j.....	64
ANEXO 2: Espectros de RMN de ^1H e ^{13}C dos compostos 2a-f, 4a-j, 5a-b, d, 6a-b, d-f, i-j.....	78

ANEXO 3: Estrutura deRaio-X do composto**4a.....130****APÊNDICE 1: Atividade antimicrobiana.....138**

ÍNDICE DE FIGURAS

Figura 1: Alguns heterociclos nitrogenados de elevado potencial biológico.....	1
Figura 2: Algumas purinas	2
Figura 3: Numeração dos compostos sintetizados.....	15
Figura 4. Nomenclatura dos compostos das séries 2, 4, 5 e 6	16
Figura 5: Espectro de RMN de ^1H do composto 2b	21
Figura 6: Espectro de RMN de ^{13}C do composto 2b	22
Figura 7: Espectro de RMN de HMQC do composto 2b	24
Figura 8: Espectro de RMN de HMBC do composto 2b	25
Figura 9: Formas tautoméricas para o 5-metil-3-aminopirazol	29
Figura 10: Espectro de RMN de ^1H do composto 4d	34
Figura 11: Espectro de RMN de ^{13}C do composto 4d	35
Figura 12: Espectro de RMN de HMQC do composto 4d	37
Figura 13: Espectro de RMN de HMBC do composto 4d	38
Figura 14. ORTEP obtido por difração de Raios-X do composto 4a	44
Figura 15: Espectro de RMN de ^1H do composto 6d	49
Figura 16: Espectro de RMN de ^{13}C do composto 6d	49
Figura 17: Espectro de massas 2-metil-7-triclorometilpirazolo[1,5-a] pirimidina 2a	65
Figura 18: Espectro de massas 2-metil-7-triclorometil-5-metilpirazolo [1,5-a]pirimidina 2b	65
Figura 19: Espectro de massas 2-metil-7-triclorometil-5-etylpirazolo [1,5-a]pirimidina 2c	66
Figura 20: Espectro de massas 2-metil-7-triclorometil-5-propilpirazolo [1,5-a]pirimidina 2d	66
Figura 21: Espectro de massas 2-metil-7-triclorometil-5-butilpirazolo [1,5-a]pirimidina 2e	67
Figura 22: Espectro de massas 2-metil-7-triclorometil-5-isopropilpira zolo [1,5-a]pirimidina 2f	67
Figura 23: Espectro de massas 2-metil-7-fenilpirazolo[1,5-a]pirimidina 4a	68
Figura 24: Espectro de massas 2-metil-7-(4-nitrofenil)pirazolo[1,5-a]piri midina 4b	68

Figura 25: Espectro de massas 2-metil-7-(4-metilfenil)pirazolo[1,5-a]pirimidina 4c	69
Figura 26: Espectro de massas 2-metil-7-(4-bromofenil)pirazolo[1,5-a]pirimidina 4d	69
Figura 27: Espectro de massas 2-metil-7-(4-fluorfenil)pirazolo[1,5-a]pirimidina 4e	70
Figura 28: Espectro de massas 2-metil-7-(4-clorofenil)pirazolo[1,5-a]pirimidina 4f	70
Figura 29: Espectro de massas 2-metil-7-(pirid-2-il)pirazolo[1,5-a]pirimidina 4g	71
Figura 30: Espectro de massas 2-metil-7-(pirrol-2-il)pirazolo[1,5-a]pirimidina 4h	71
Figura 31: Espectro de massas 2-metil-7-(tien-2-il)pirazolo[1,5-a]pirimidina 4i	72
Figura 32: Espectro de massas 2-metil-7-(tien-2-il)pirazolo[1,5-a]pirimidina 4j	72
Figura 33: Espectro de massas 3-bromo-2-metil-7-triclorometilpirazolo [1,5-a]pirimidina 5a	73
Figura 34: Espectro de massas 3-bromo-2-metil-7-triclorometil-5-metilpirazolo [1,5-a]pirimidina 5b	73
Figura 35: Espectro de massas 3-bromo-2-metil-7-triclorometil-5-metilpirazolo [1,5-a]pirimidina 5d	74
Figura 36: Espectro de massas 3-bromo-2-metil-7-fenilpirazolo[1,5-a]pirimidina 6a	74
Figura 37: Espectro de massas 3-bromo-2-metil-7-nitrofenilpirazolo[1,5-a]pirimidina 6b	75
Figura 38: Espectro de massas 3-bromo -2-metil-7-(4-bromofenil)pirazolo[1,5-a]pirimidina 4d	75
Figura 39: Espectro de massas 3-bromo -2-metil-7-(4-fluorfenil)pirazolo[1,5-a]pirimidina 6e	76
Figura 40: Espectro de massas 3-bromo -2-metil-7-(4-clorofenil)pirazolo[1,5-a]pirimidina 6f	76

Figura 41: Espectro de massas 3-bromo -2-metil-7-(tien-2-il)pirazolo [1,5-a]pirimidina 6i	77
Figura 42: Espectro de massa 3-bromo 2-metil-7-(fur-2-il)pirazo lo[1,5-a]pirimidina 6j	77
Figura 43: Espectro de RMN de ^1H do composto 2a	79
Figura 44: Espectro de RMN de ^{13}C do composto 2a	80
Figura 45: Espectro de RMN de ^1H do composto 2b	81
Figura 46: Espectro de RMN de ^{13}C do composto 2b	82
Figura 47: Espectro de RMN de ^1H do composto 2c	83
Figura 48: Espectro de RMN de ^{13}C do composto 2c	84
Figura 49: Espectro de RMN de ^1H do composto 2d	85
Figura 50: Espectro de RMN de ^{13}C do composto 2d	86
Figura 51: Espectro de RMN de ^1H do composto 2e	87
Figura 52: Espectro de RMN de ^{13}C do composto 2e	88
Figura 53: Espectro de RMN de ^1H do composto 2f	89
Figura 54: Espectro de RMN de ^{13}C do composto 2f	90
Figura 55: Espectro de RMN de ^1H do composto 4a	91
Figura 56: Espectro de RMN de ^{13}C do composto 4a	92
Figura 57: Espectro de RMN de ^1H do composto 4b	93
Figura 58: Espectro de RMN de ^{13}C do composto 4b	94
Figura 59: Espectro de RMN de ^1H do composto 4c	95
Figura 60: Espectro de RMN de ^{13}C do composto 4c	96
Figura 61: Espectro de RMN de ^1H do composto 4d	97
Figura 62: Espectro de RMN de ^{13}C do composto 4d	98
Figura 63: Espectro de RMN de ^1H do composto 4e	99
Figura 64: Espectro de RMN de ^{13}C do composto 4e	100
Figura 65: Espectro de RMN de ^1H do composto 4f	101
Figura 66: Espectro de RMN de ^{13}C do composto 4f	102
Figura 67: Espectro de RMN de ^1H do composto 4g	103
Figura 68: Espectro de RMN de ^{13}C do composto 4g	104
Figura 69: Espectro de RMN de ^1H do composto 4h	105
Figura 70: Espectro de RMN de ^{13}C do composto 4h	106
Figura 71: Espectro de RMN de ^1H do composto 4i	107

Figura 72: Espectro de RMN de ^{13}C do composto 4i	1087
Figura 73: Espectro de RMN de ^1H do composto 4j.....	109
Figura 74: Espectro de RMN de ^{13}C do composto 4j	110
Figura 75: Espectro de RMN de ^1H do composto 5a.....	111
Figura 76: Espectro de RMN de ^1H do composto 5b	112
Figura 77: Espectro de RMN de ^{13}C do composto 5b	113
Figura 78: Espectro de RMN de ^1H do composto 5d	114
Figura 79: Espectro de RMN de ^{13}C do composto 5d	115
Figura 80: Espectro de RMN de ^1H do composto 6a.....	116
Figura 81: Espectro de RMN de ^{13}C do composto 6a	117
Figura 82: Espectro de RMN de ^1H do composto 6b	118
Figura 83: Espectro de RMN de ^{13}C do composto 6b	119
Figura 84: Espectro de RMN de ^1H do composto 6d	120
Figura 85: Espectro de RMN de ^{13}C do composto 6d	121
Figura 86: Espectro de RMN de ^1H do composto 6e.....	122
Figura 87: Espectro de RMN de ^{13}C do composto 6e	123
Figura 88: Espectro de RMN de ^1H do composto 6f.....	124
Figura 89: Espectro de RMN de ^{13}C do composto 6f	125
Figura 90: Espectro de RMN de ^1H do composto 6i.....	126
Figura 91: Espectro de RMN de ^{13}C do composto 6i	127
Figura 92: Espectro de RMN de ^1H do composto 6j.....	128
Figura 93: Espectro de RMN de ^{13}C do composto 6j	129

ÍNDICE DE TABELAS

Tabela 1: Nomenclatura das 2-metil-7-triclorometilpirazolo[1,5-a]pirimidinas 2a-f	16
Tabela 2: Nomenclatura das 2-metil-7-arylpirazolo[1,5-a]pirimidinas 4a-j	16
Tabela 3: Nomenclatura das 3-bromo-2-metil-7-triclorometilpirazolo[1,5-a]pirimidinas 5a-b,d e das 3-bromo-2-metil-7-arylpirazolo[1,5-a]pirimidinas 6a-b,d-f,i-j	17
Tabela 4: Condições reacionais testadas para a síntese da 2-metil-7-triclorometilpirazolo[1,5-a]pirimidinas 1a	19
Tabela 5: Rendimentos, Pontos de fusão, Fórmula Molecular e Análise Elementar das 2-metil-7-triclorometilpirazolo[1,5-a]pirimidinas 2a-f	19
Tabela 6: Dados de RMN de ^1H e ^{13}C dos compostos 2a-f	24
Tabela 7: Principais fragmentos ionizados obtidos para os compostos 2a-f a uma energia de 70 eV.....	28
Tabela 8: Rendimentos, Pontos de Fusão, Fórmula Molecular e Análise Elementar dos compostos 4a-j	32
Tabela 9: Dados de RMN de ^1H e ^{13}C dos compostos 4a-j	37
Tabela 10: Principais fragmentos ionizados obtidos para os compostos 4a-j a uma energia de 70 eV.....	42
Tabela 11: Condições reacionais testadas para a síntese da 3-bromo-2-metil-pirazolo[1,5-a]pirimidina 6a	46
Tabela 12: Rendimentos, Pontos de Fusão e Fórmula Molecular dos compostos 5a-b,d e 6a-b,d-f,i-j	47
Tabela 13: Dados de RMN de ^1H e ^{13}C dos compostos 5a-b,d e 6a-b,d-f,i-j	50
Tabela 14: Principais fragmentos ionizados obtidos para os compostos 5a-b,d e 6a-b,d-f,i-j a uma energia de 70 eV	53
Tabela 15: Dados cristalográficos e refinamento da estrutura para o composto 4a	133
Tabela 16: Coordenadas atômicas ($\times 10^4$) e parâmetros de substituição de equivalência isotrópica ($\text{\AA}^2 \times 10^3$) para o composto 4a	134
Tabela 17: Comprimentos de ligação [\AA] e ângulos [°] para o composto 4a	135

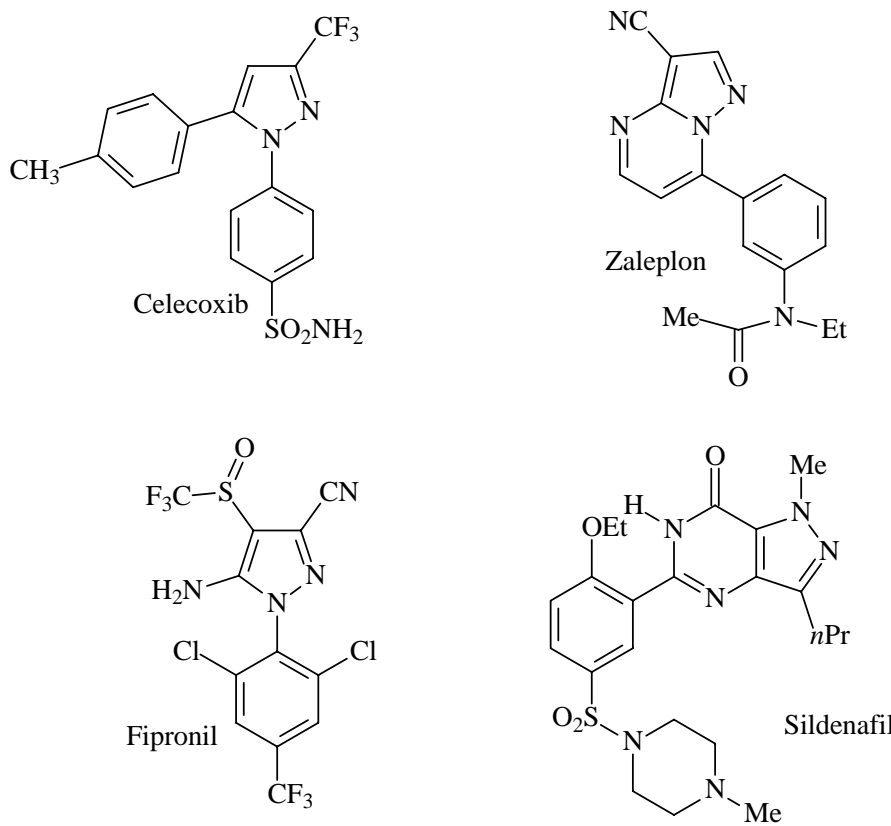
Tabela 18: Parâmentros de substituição anisotrópica ($\text{\AA}^2 \times 10^3$) para o composto 4a	136
Tabela 19: Coordenadas de hidrogênio ($\times 10^4$) e parâmetros de substituição isotrópica ($\text{\AA}^2 \times 10^3$) para o composto 4a	137
Tabela 20: Avaliação da atividade antibacteriana <i>in vitro</i> de pirazolo[1,5-a]pirimidinas.....	145
Tabela 21: Avaliação da atividade antifúngica <i>in vitro</i> de pirazolo[1,5-a]pirimidinas (CIM/CFM - $\mu\text{g ml}^{-1}$):.....	146

1. INTRODUÇÃO E OBJETIVOS

Há uma grande variedade de compostos orgânicos nitrogenados usados como componentes estruturais de substâncias farmacêuticas e agroquímicas conferindo-lhes alta atividade biológica. Atualmente 85% dos fármacos disponíveis na terapêutica moderna são de origem sintética e destes, 62% são heterociclos sendo que 91% contém nitrogênio em suas estruturas.

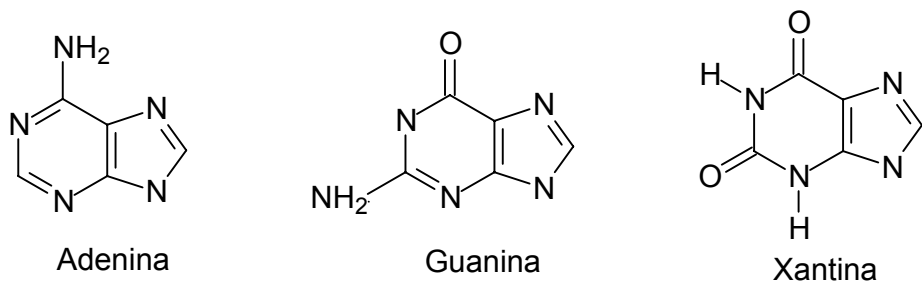
Heterociclos nitrogenados como piridinas¹, pirimidinas², pirazolinhas³, pirazóis⁴, pirimidinonas⁵ e pirazolopirimidinas⁶ tem sido alvos de intensos estudos e pesquisas em busca de guias farmacofóricos e fármacos. Dentre muitos destacam-se o celecoxib (Celebra[®]),⁷ potente antiinflamatório que atua como inibidor seletivo da enzima prostaglandina endoperóxido sintase-2 (PGHS-2); o zaleplon (Sonata[®]),⁸ agente hipnótico não-benzodiazepínico utilizado no tratamento da insônia; o sildenafil (Viagra[®]), usado contra a impotência masculina; o fipronil, inseticida (carrapaticida) que atua bloqueando o canal de cloro do ácido γ -aminobutírico (GABA)⁹ (Figura 1).

Figura 1: Alguns heterociclos nitrogenados de elevado potencial biológico



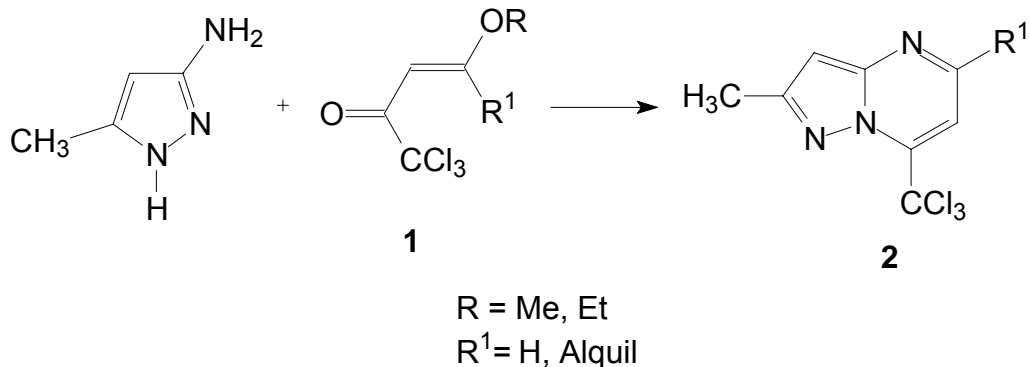
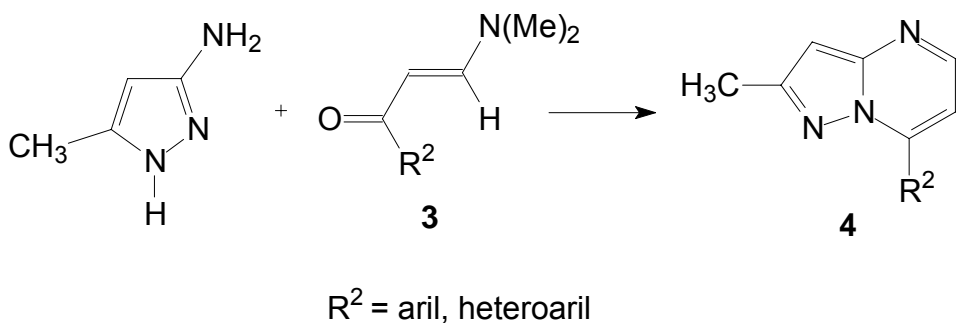
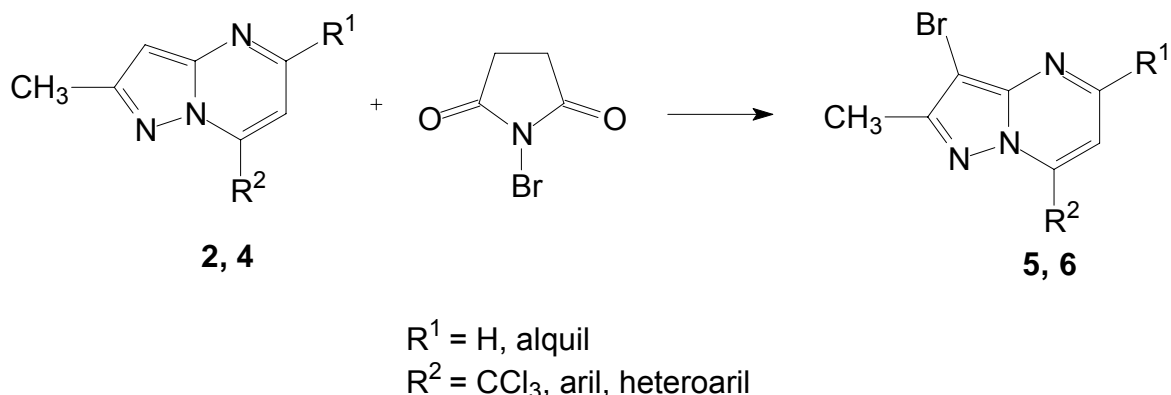
As pirazolo[1,5-a]pirimidinas são análogas a purinas (Figura 2) e assim, possuem propriedades antimetabólicas em reações de purinas naturais. Os compostos desta classe têm ainda atraído interesse farmacêutico devido a atividade antitripanossômica¹⁰ e atividade antiesquistossômica¹¹, como inibidores da HMG-CoA redutase¹² e como inibidores da PGHS-2¹³ (o que lhes confere alta atividade anti-inflamatória) e como agente ansiolítico¹⁴.

Figura 2: Algumas purinas



Assim, considerando o grande potencial farmacológico apresentado pelas pirazolo[1,5-a]pirimidinas e dando continuidade aos trabalhos desenvolvidos em nosso grupo de pesquisa foram estabelecidos como objetivos desta dissertação:

1. Realizar o estudo das reações de ciclocondensação do tipo [NCN] + [CCC] entre o 3-amino-5-metilpirazol e 1,1,1-tricloro-4-alcoxi-3-alquen-2-onas, respectivamente (Esquema 1);
2. Realizar o estudo das reações de ciclocondensação do tipo [NCN] + [CCC] entre o 3-amino-5-metilpirazol e β-dimetilaminovinil cetonas, respectivamente (Esquema 2);
3. Realizar a reação de bromação das pirazolo[1,5-a]pirimidinas sintetizadas nos itens 1 e 2 com NBS (Esquema 3);
4. Avaliar a possível atividade antimicrobiana da série dos compostos sintetizados;

Esquema 1:**Esquema 2:****Esquema 3:**

2. REVISÃO DA LITERATURA

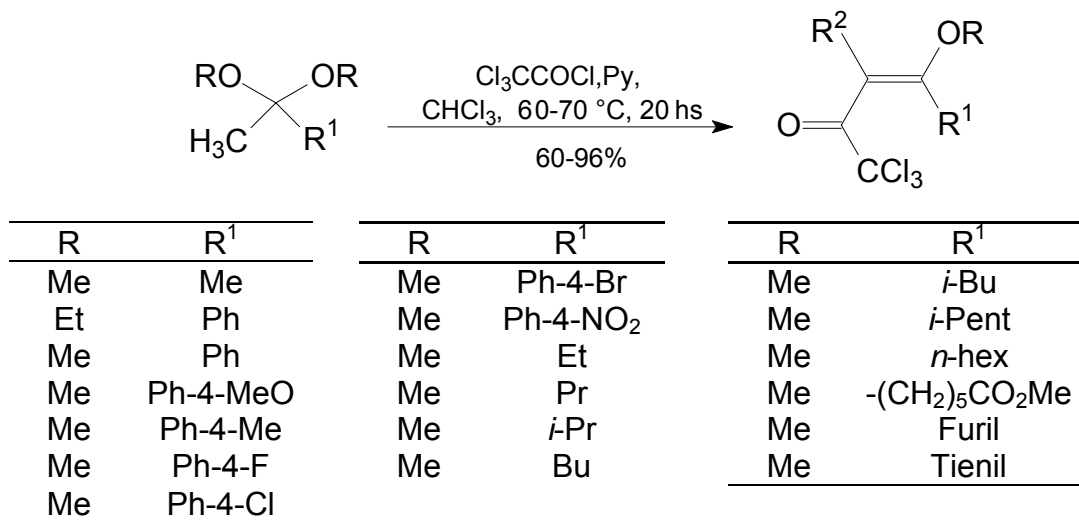
Esta revisão da literatura terá como objetivo apresentar os trabalhos relacionados à síntese de pirazolo[1,5-a]pirimidinas e seus derivados. Inicialmente serão mostrados, resumidamente, os principais métodos de síntese de 1,1,1-tricloro-4-alcoxi-3-alquen-2-onas e de β -enamino cetonas. Posteriormente serão apresentados os principais métodos de síntese de pirazolo[1,5-a]pirimidinas encontrados na literatura seguida pela halogenação de núcleos pirazolínicos.

2.1. Síntese de 1,1,1-tricloro-4-alcoxi-3-alquen-2-onas

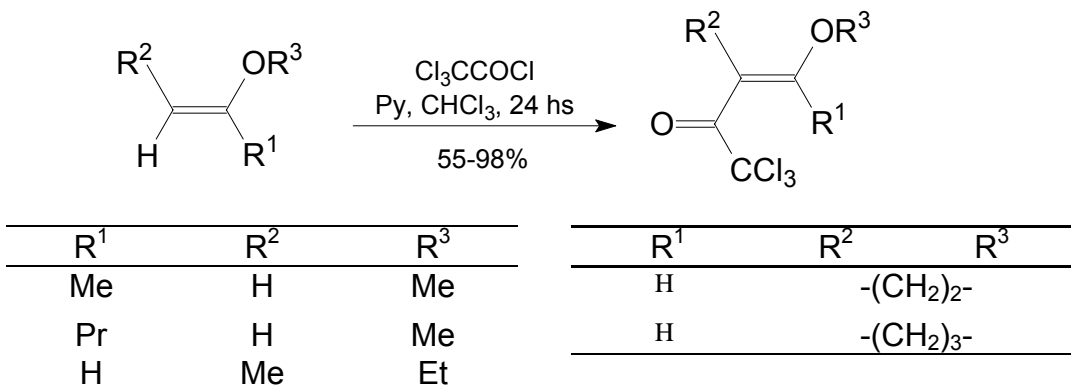
As β -alcoxivinil triclorometil cetonas apresentam um grande potencial sintético devido às propriedades químicas semelhantes aos sistemas 1,3-dicarbonílicos. A principal diferença está na reatividade distinta dos dois centros eletrofílicos, conduzindo, assim, a reações mais regioseletivas.

É muito vasta a literatura sobre a preparação de 1,1,1-tricloro-4-alcoxi-3-alquen-2-ona e sua utilização como 1,3-dieletrófilos. De uma maneira geral são preparadas a partir da acilação de acetais (Esquema 4) e ou enoléteres com cloreto de tricloroacetila como agente acilante (Esquema 5). Para uma visão mais completa sobre o assunto consultar referências 15-26.

Esquema 4:



Esquema 5:

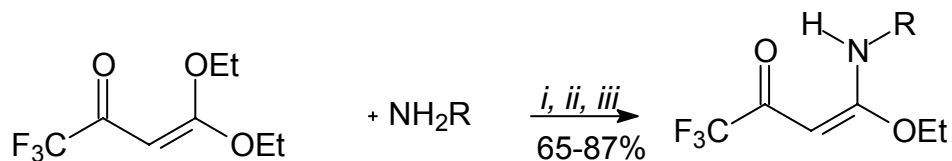


2.2. Síntese de β -enamino cetonas

Enaminonas são reagentes versáteis, facilmente obtidos e a química de enaminonas tem recebido considerável atenção nos últimos anos²⁷. Sendo importantes intermediários sintéticos, particularmente na química de heterociclos. Heterociclos sintetizados a partir de enaminonas incluem alcalóides carbazolequinonas²⁸, benzo[a]quinolizinas tricíclicas²⁹, pirróis³⁰, isoxázois³¹, pirimidinas³², pirazóis³³, pirazolopirimidinas³⁴ e piridinas³⁵.

Um grande número de enaminonas foi sintetizada com alto grau de pureza por Martins e colaboradores, reagindo diferentes aminas com 1,1,1-trifluor-4-alcoxi-3-buteno-2-onas³⁴ (Esquema 6) e também através da reação entre diferentes cetonas com dimetilformamida⁴² (Esquema 7). Para uma visão mais ampla sobre β -enamino cetonas, consultar referências 36-41.

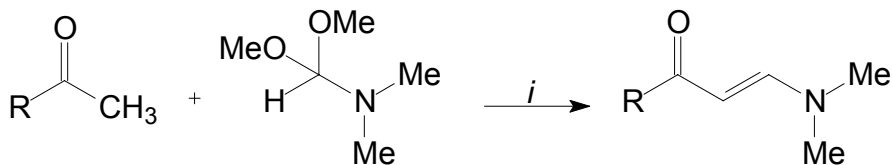
Esquema 6:



- i.* (a) NH_3 (g), CH_2Cl_2 , t. a., 3 horas
ii. (b-g) NH_2R , CH_3CN , t. a., 2-3 horas
iii. (h-l) $\text{NH}_2\text{R}^*\text{HCl}$, CH_3CN , piridina, refluxo, 6 horas

R	R
H	- CH_2Ph
Me	5-metilisoxazol-3-il
Et	Tioxazol-2-il
- $\text{CH}_2\text{CH}_2\text{OH}$	Ph-4-NH ₂
- $\text{C}(\text{Me})_2\text{Et}$	Ph-4-COCH ₃
Ph	Ph-4-NO ₂

Esquema 7:



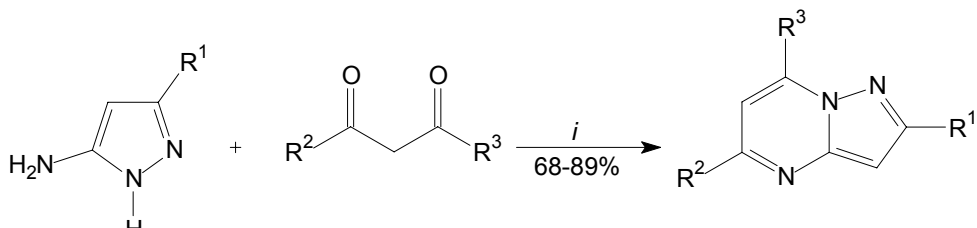
- i.* F_3BOEt_2 , tolueno, refluxo, 24 HS

R	R
Ph	Ph-4-NO ₂
Ph-4-MeO	Fur-2-il
Ph-4-Me	Tien-2-il
Ph-4-F	Pirrol-2-il
Ph-4-Cl	Pirid-2-il
Ph-4-Br	CCl ₃

2.3. Síntese de pirazolo[1,5-a]pirimidinas

Em 2004, Yin e col.⁴³ sintetizaram 3-alquenilpirazolo[1,5-a]pirimidinas via reação de acoplamento Heck Cross. Para a síntese do 2,5,7-trisubstituído pirazolo[1,5-a]pirimidina Yin e col. realizaram a reação de condensação entre os 5-aminopirazóis 3-substituídos com 1,3-dicetonas em presença de ácido clorídrico concentrado, em ácido acético ou etanol (Esquema 8).

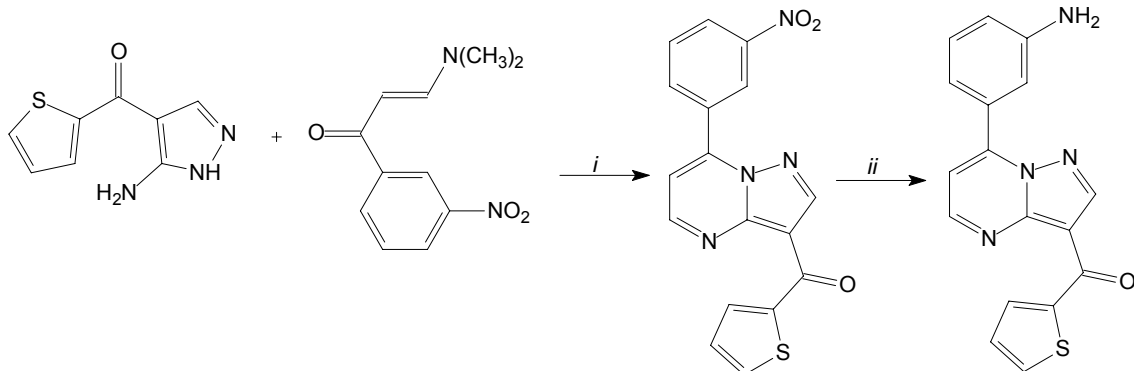
Esquema 8:



R ¹	R ²	R ³
Ph	Me	Ph
Ph-4-Cl	Me	Ph
Me	Ph	Ph
Ph	Me	Ph-4-Cl
Me	Me	Ph
Me	Me	Me
Ph	Ph	Ph
H	Ph	Ph

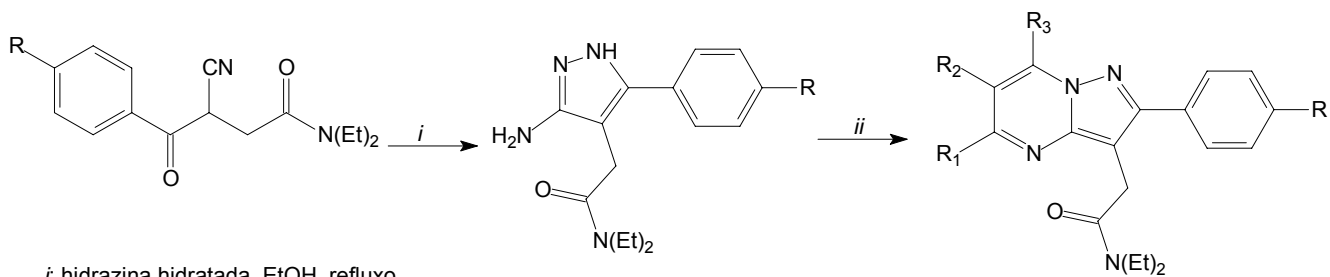
Gopalsamy e col.⁴⁴ sintetizaram pirazolo[1,5-*a*]pirimidin-7-il fenil amidas a partir da reação entre enaminonas e diferentes aminopirazóis (Esquema 9).

Esquema 9:



N,N-Dietilbutanamidas foram usadas por Selleri e col.⁴⁵ para a síntese dos intermediários *N,N*-dietil-(3-amino-5-arylpirazol-4-il)acetamidas utilizados na síntese das pirazolo[1,5-*a*]pirimidin-3-il acetamidas (Esquema 10).

Esquema 10:



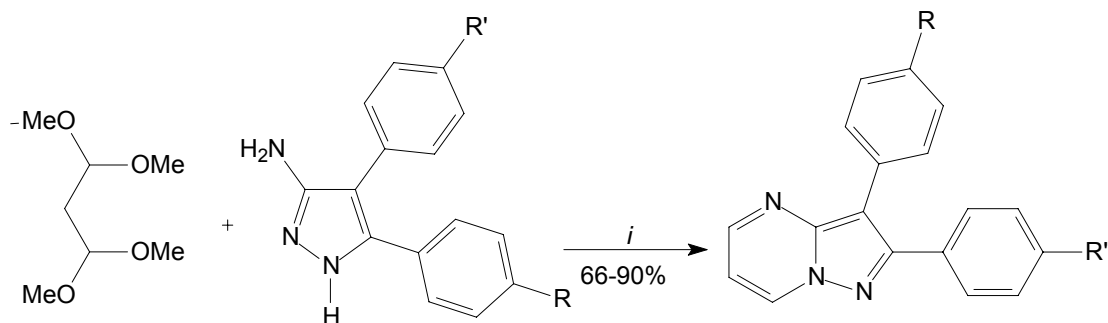
i: hidrazina hidratada, EtOH, refluxo
ii: reagentes mostrados na tabela

Reagente ^a	R	R ¹	R ²	R ³
A	H	Me	H	H
A	H	H	H	Me
B	H	H	H	H
C	H	Me	H	Me
C	Cl	Me	H	Me
C	F	Me	H	Me
C	Me	Me	H	Me
C	OMe	Me	H	Me

A= 4,4-dimetoxi-2-butanona, B= 1,1,3,3-tetraetoxipropano, C= 2,4-pentanodiona

Compton e col.⁴⁶ sintetizaram pirazolo[1,5-a]pirimidinas através da reação entre tetrametoxipropano e 3-aminopirazol em meio ácido (Esquema 11).

Esquema 11:

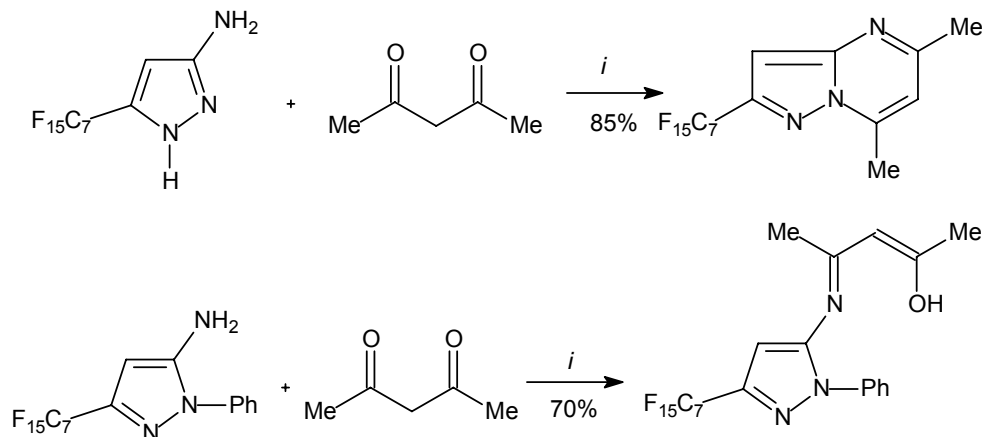


i: HOAc, 110°C, 3h

R	R'
H	H
H	OMe
OMe	H
OMe	OMe

Fabron e col.⁴⁷ estudaram a regiosseletividade da reação de ciclocondensação de 5(3)-polifluoraril-5(3)-aminopirazóis com acetilacetona. O 3-aminopirazol reage com acetilacetona em refluxo de ácido acético formando a pirazolo[1,5-a]pirimidina, enquanto a reação com o 5-amino-1-fenilpirazol forma apenas o intermediário imina (Esquema 12).

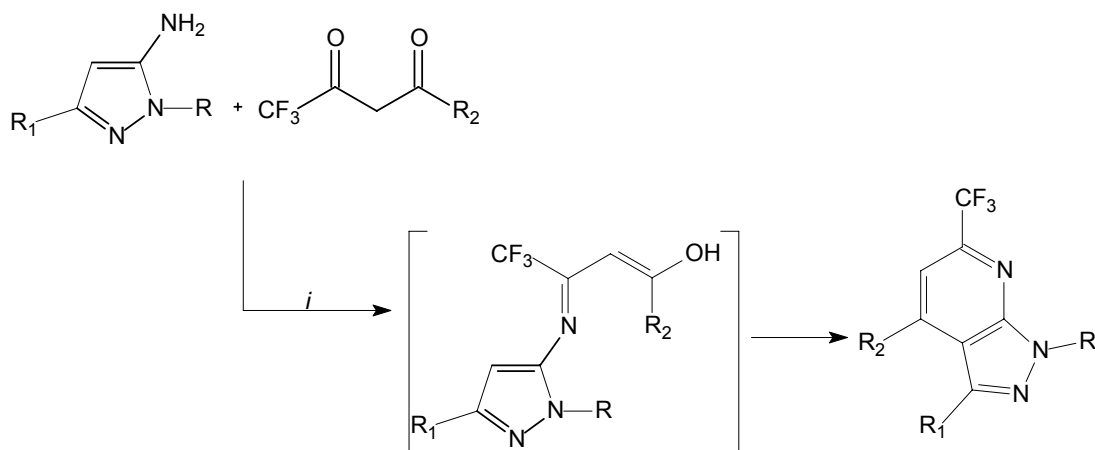
Esquema 12:



i: CH₃COOH, 0°C - t.a., 120°, 2 hs

Entretanto, Singh e Col⁴⁸, através da reação entre 5-amino 1,3-pirazol dissubstituído e β-dicetonas sintetizaram um único isômero da pirazolo[3,4-*b*]piridina (Esquema 13). A reação inicia exclusivamente com o ataque do grupo amino ao carbono carbonílico adjacente ao grupo CF₃. A ciclização envolve o ataque do carbono a outra carbonila do 1,3-dieletrófilo trifluormetil substituído.

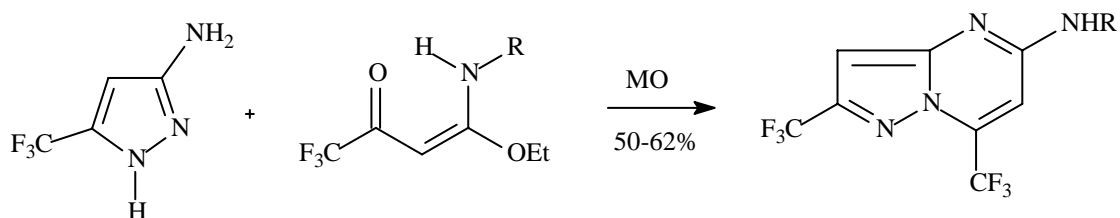
Esquema 13:



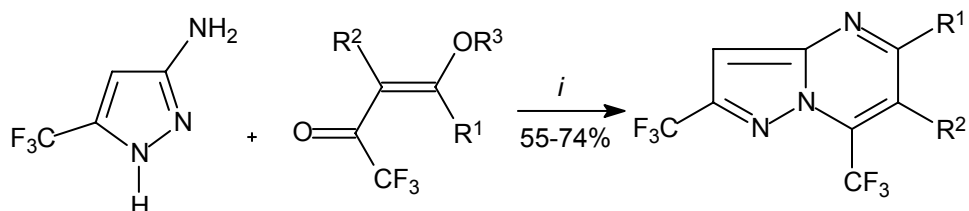
i: CH₃COOH, 12 hs, refluxo

R	R ¹	R ²
H	Ph	tien-2-il
H	Ph	Ph
H	Ph-4-OMe	Tien-2-il
benzotiazol-2-il	Ph	Ph
benzotiazol-2-il	Ph	Tien-2-il

Cunico e col.³⁴ sintetizaram aminopirazolo[1,5-*a*]pirimidinas a partir da reação entre enaminonas e 5-trifluormetil-3-aminopirazol em tolueno sob irradiação de microondas por 12 minutos utilizando 50% da potência máxima do aparelho (Esquema 14). Eles também reagiram o 5-trifluormetil-3-aminopirazol com 1,1,1-trifluor-4-alcoxi-3-alquen-2-onas para formar as pirazolo[1,5-*a*]pirimidinas. A reação foi realizada em acetonitrila, em refluxo por 16 horas (Esquema 15).

Esquema 14:

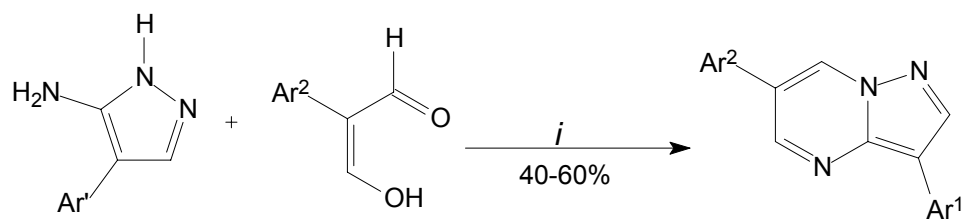
R	H	Me	Et	

Esquema 15:

i: CH₃CN, refluxo, 16 horas

R ¹	H	Me	Pr	t-Bu	H	Ph-4-Me	OEt
R ²	H	H	H	H	Me	Me	H
R ³	Et	Me	Me	Me	Me	Me	Et

Fraley e col.⁴⁹ sintetizaram pirazolo[1,5-a]pirimidinas 3,6-disubstituídas a partir da reação de condensação entre 3-amino-4-arylpirazóis e 2-arylmalonaldeído em presença de ácido acético em etanol (Esquema 16). As pirazolo[1,5-a]pirimidinas disubstituídas resultantes são potentes inibidores da KDR kinase.

Esquema 16:

Ar^2	Ar^1
Pirid-4-il	Pirid-4-il
Ph-4-Me	Pirid-4-il
Ph-4-Me	Pirid-4-il
Ph-4-OMe	Pirid-4-il

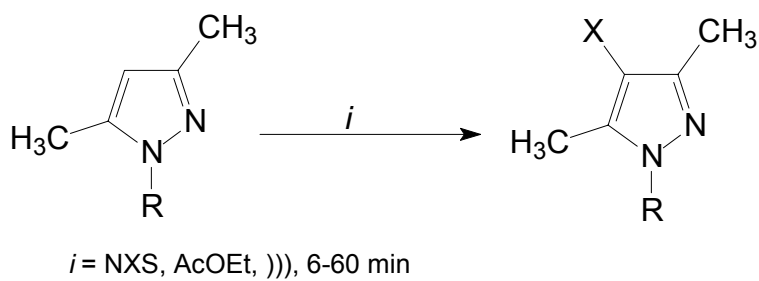
Ar^2	Ar^1
Ph-4-OMe	Pirid-3-il
Pirid-4-il	Ph
Pirid-2-il	Ph
Ph-4-OMe	Tien-3-il

2.4. Halogenação de Pirazóis

Este item descreve os principais métodos de halogenação de pirazóis, mais especificamente, a halogenação na posição 4 do anel pirazolínico.

Recentemente Stefani e col.⁵⁰ realizaram a halogenação de pirazóis utilizando ultrassom. Stefani e col. usaram como precursores diferentes pirazós com N-halosuccinimidas com tempo reacional em 6 a 60 minutos em ultrassom (Esquema 17).

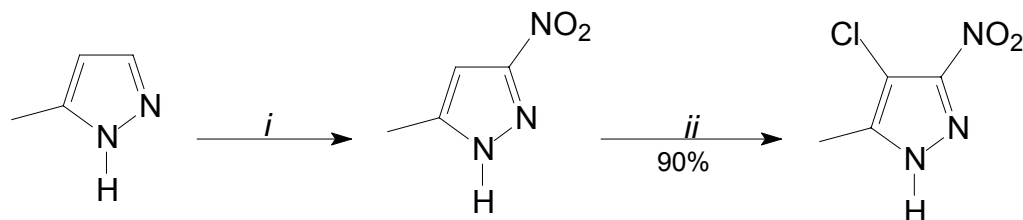
Esquema 17:



R	X	Tempo(min.)	Rend. (%)
H	Br	15	80
H	I	30	71
Ph	Br	60	82
Ph	I	60	70

Dalinger e col.⁵¹ realizaram a nitração do 5-metil-1*H*-pirazol seguida pela reação de cloração do anel pirazolínico na posição 4 utilizando SOCl₂ em clorofórmio conforme o Esquema 18.

Esquema 18:

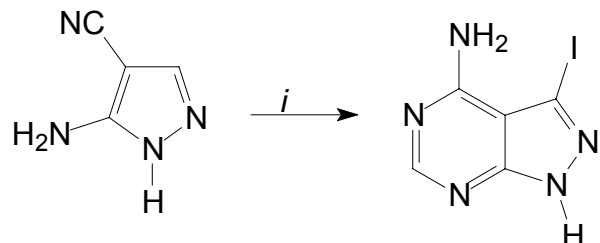


i = 1) HNO₃/ AcOH/ Ac₂O, 0-5°C, 2h; 2) Tetracloroetileno, refluxo, 8h

ii = SOCl₂, CHCl₃, refluxo, 10 h

A iodação de pirazóis foi também feita por Burchat e col.⁵² utilizando NIS em DMF, 50°C em duas etapas (Esquema 19).

Esquema 19:



i: 1)formamida, 180°C
2) NIS, DMF, 50°C, 84%, duas etapas

3. APRESENTAÇÃO E DISCUSSÃO DOS RESULTADOS

3.1. Numeração e nomenclatura dos compostos

A numeração adotada para a identificação os compostos sintetizados neste trabalho está representada na Figura 3:

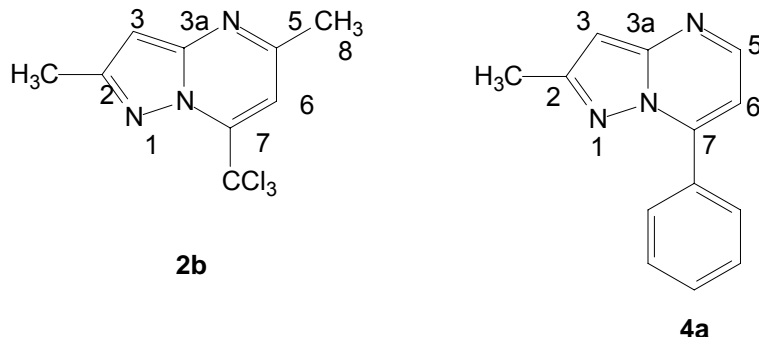


Figura 3: Numeração dos compostos sintetizados

A nomenclatura dos compostos **2**, **4**, **5** e **6** foi determinada conforme nomenclatura desenvolvida por Hantzsch-Widman⁵³. Esta baseia-se nos passos demostrados na Figura 4:

- [1] o heterociclo condensado é separado em dois heterociclos no ponto de intersecção;
- [2] determina-se qual heterociclo apresenta prioridade. Aquele que tiver o maior número de heteroátomos seguido pelo maior número de átomos é o prioritário (ambos apresentam dois átomos de nitrogênio, porém a pirimidina tem 1 átomo de carbono a mais);
- [3] numeram-se os heterociclos separadamente, colocam-se números nos átomos do heterociclo não principal e letras nas ligações do heterociclo principal;
- [4] finalmente, o composto é numerado colocando no quadrante superior direito o maior número de heteroátomos possível.

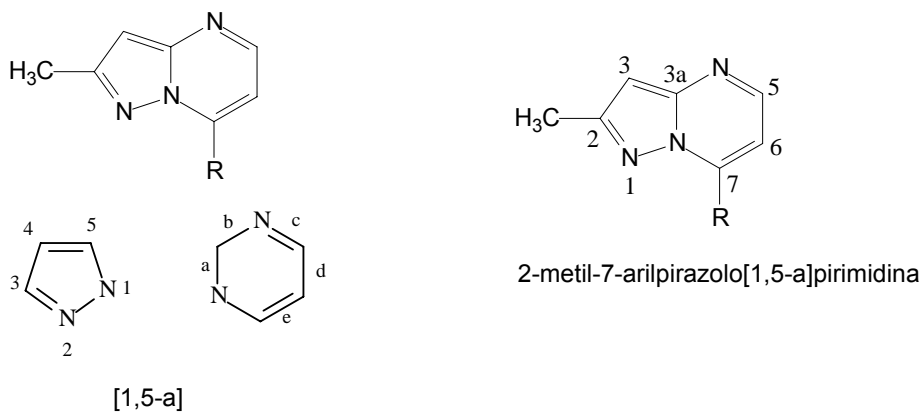


Figura 4. Nomenclatura dos compostos das séries 2, 4, 5 e 6

Tabela 1: Nomenclatura das 2-metil-7-triclorometilpirazolo[1,5-a]pirimidinas **2a-f**

Composto	Nomenclatura
2a	2-metil-7-triclorometilpirazolo[1,5-a]pirimidina
2b	2-metil-7-triclorometil-5-metilpirazolo[1,5-a]pirimidina
2c	2-metil-7-triclorometil-5-etilpirazolo[1,5-a]pirimidina
2d	2-metil-7-triclorometil-5-propilpirazolo[1,5-a]pirimidina
2e	2-metil-7-triclorometil-5-butilpirazolo[1,5-a]pirimidina
2f	2-metil-7-triclorometil-5-isobutilpirazolo[1,5-a]pirimidina

Tabela 2: Nomenclatura das 2-metil-7-arylpirazolo[1,5-a]pirimidinas **4a-j**

Composto	Nomenclatura
4a	2-metil-7-fenilpirazolo[1,5-a]pirimidina
4b	2-metil-7-(4-nitrofenil)pirazolo[1,5-a]pirimidina
4c	2-metil-7-(4-metilfenil)pirazolo[1,5-a]pirimidina
4d	2-metil-7-(4-bromofenil)pirazolo[1,5-a]pirimidina
4e	2-metil-7-(4-fluorfenil)pirazolo[1,5-a]pirimidina
4f	2-metil-7-(4-clorofenil)pirazolo[1,5-a]pirimidina
4g	2-metil-7-(pirid-2-il)pirazolo[1,5-a]pirimidina
4h	2-metil-7-(pirrol-2-il)pirazolo[1,5-a]pirimidina
4i	2-metil-7-(tien-2-il)pirazolo[1,5-a]pirimidina
4j	2-metil-7-(fur-2-il)pirazolo[1,5-a]pirimidina

Tabela 3: Nomenclatura das 3-bromo-2-metil-7-triclorometilpirazolo[1,5-a]pirimidinas **5a-b,d** e das 3-bromo-2-metil-7-arylpirazolo[1,5-a]pirimidinas **6a-b,d-f,i-j**

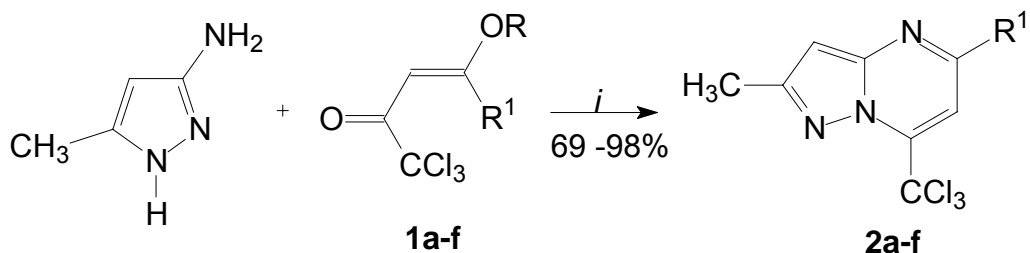
Composto	Nomenclatura
5a	3-bromo-2-metil-7-triclorometilpirazolo [1,5-a]pirimidina
5b	3-bromo-2-metil-7-triclorometil-5-metilpirazolo [1,5-a]pirimidina
5d	3-bromo-2-metil-7-triclorometil-5-propilpirazolo [1,5-a]pirimidina
6a	3-bromo-2-metil-7-fenilpirazolo[1,5-a]pirimidina
6b	3-bromo -2-metil-7-(4-nitrofenil)pirazolo[1,5-a]pirimidina
6d	3-bromo -2-metil-7-(4-bromofenil)pirazolo[1,5-a]pirimidina
6e	3-bromo -2-metil-7-(4-fluorfenil)pirazolo[1,5-a]pirimidina
6f	3-bromo -2-metil-7-(4-clorofenil)pirazolo[1,5-a]pirimidina
6i	3-bromo -2-metil-7-(tien-2-il)pirazolo[1,5-a]pirimidina
6j	3-bromo 2-metil-7-(fur-2-il)pirazolo[1,5-a]pirimidina

3.2. 2-Metil-7-triclorometilpirazolo[1,5-a]pirimidinas 2a-f

3.2.1. Síntese das 2-metil-7-triclorometilpirazolo[1,5-a]pirimidinas 2a-f

A síntese das 2-metil-7-triclorometilpirazolo[1,5-a]pirimidinas **2a-f** foi realizada a partir da reação de ciclocondensação do tipo [NCN] + [CCC] entre o 3-amino-5-metilpirazol e as 1,1,1-tricloro-4-alcoxi-3-alquen-2-onas **1a-f**, respectivamente (Esquema 20).

Esquema 20:



i: CH₃COOH, refluxo, 16h

Reagente	R ¹	R
1a	H	Me
1b	Me	Et
1c	Et	Me
1d	Pr	Et
1e	Bu	Me
1f	i-Bu	Me

Para otimização da reação foram testadas diferentes condições reacionais (Tabela 4). Observou-se que quando a reação foi realizada em ácido acético, em condições de refluxo durante 16 horas foram obtidos os melhores rendimentos. Desta forma os demais compostos **2b-f** foram obtidos com base na reação número 5.

As constantes físicas e rendimentos dos compostos **2a-f** estão listados na Tabela 5.

Tabela 4: Condições reacionais testadas para a síntese da 2-metil-7-triclorometilpirazolo[1,5-a]pirimidinas **2a**.

Reação	Solvente	Temp. (°C)	Tempo (h)	Rendimento (%)
1	Etanol	78	16	35
2	Etanol	78	48	42
3	CH ₃ CN	67	16	59
4	CH ₃ CN	67	24	67
5	Ac. Acético	118	16	87

Tabela 5: Rendimentos, Pontos de fusão, Fórmula Molecular e Análise Elementar das 2-metil-7-triclorometilpirazolo[1,5-a]pirimidinas **2a-f**.

Comp.	Rend.(%)	P. F. (°C)	Fórmula Molecular (g/Mol)	Anal. Elem. (%)		
				Calc./ Exp.		
				C	H	N
2a	87	94-96	C ₈ H ₆ Cl ₃ N ₃ (250,52)	38,36	2,41	16,77
				38,30	2,56	16,63
2b	75	118-120	C ₉ H ₈ Cl ₃ N ₃ (264,54)	40,86	3,05	15,88
				—	—	—
2c	80	69-70	C ₁₀ H ₁₀ Cl ₃ N ₃ (278,57)	43,12	3,62	15,08
				42,80	3,63	14,50
2d	98	59-61	C ₁₁ H ₁₂ Cl ₃ N ₃ (292,60)	45,15	4,13	14,36
				45,20	4,15	14,56
2e	69	50-52	C ₁₂ H ₁₄ Cl ₃ N ₃ (306,62)	47,01	4,60	13,70
				—	—	—
2f	98	89-90	C ₁₂ H ₁₄ Cl ₃ N ₃ (306,62)	47,01	4,60	13,70
				—	—	—

3.2.2. Identificação dos compostos 2a-f através de RMN de ^1H , ^{13}C e através de técnicas de 2D

Os compostos obtidos foram identificados por RMN de ^1H , ^{13}C e através de técnicas de 2D, como HMQC (*Heteronuclear Multiple-Quantum Coherence*) e HMBC (*Heteronuclear Multiple Bond Correlation*). Os espectros de RMN de ^1H das 2-metil-7-triclorometilpirazolo[1,5-a]pirimidinas **2a-f** apresentam δ na faixa de 6,54-6,71 para o hidrogênio vinílico do anel pirazólico (H3). No composto **2a**, os hidrogênios H5 e H6 apresentam-se na forma de dubletos e têm δ 8,55 e 7,43, respectivamente.

Com o objetivo de mostrar como se apresentam os sinais de RMN de ^1H e de ^{13}C das pirazolo[1,5-a]pirimidinas **2a-f** foram selecionados os espectros de RMN de ^1H e ^{13}C do composto **2b**. No espectro de RMN de ^1H (Figura 5) observam-se dois singletos com δ 2,58 e 2,68 correspondendo aos 3 hidrogênios da metila do anel pirazolínico e aos 3 hidrogênios do anel pirimidínico respectivamente. Em δ 6,54 observa-se um singuleto com integração correspondente a um hidrogênio. Esse sinal refere-se ao hidrogênio pirazolínico (H-3). Da mesma forma em δ 7,28 encontra-se um singuleto correspondente ao hidrogênio pirimidínico (H-6), com integração também correspondente a um hidrogênio. No espectro de RMN de ^{13}C (Figura 6) em δ 89 observa-se o sinal do grupamento CCl_3 . Em seguida aparecem os carbonos vinílicos em δ 96,6 e δ 104,9 correspondendo aos carbonos C-3 e C-6 respectivamente. A metila do anel pirazolínico possui δ em 14,9 e a metila do anel pirimidínico (C-8) em δ 24,9. Os carbonos C-5, C-2, C-7 e C-3a encontram-se entre δ 157,5 e 141,8. O C-5 encontra-se em campo mais baixo devido a ser um carbono de hibridização sp^2 ligado a dois átomos de nitrogênio.

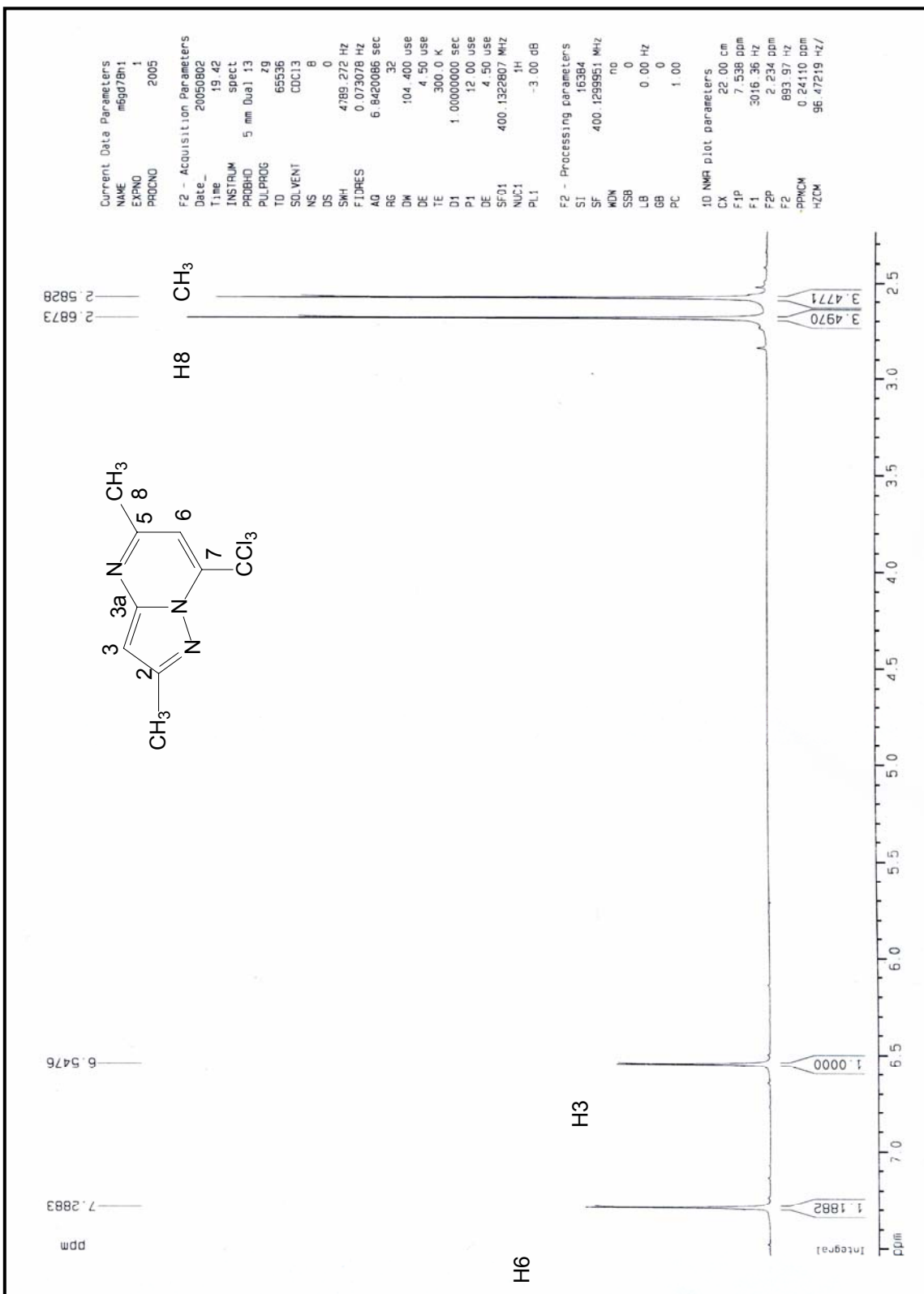


Figura 5: Espectro de RMN de ^1H do composto **2b** em CDCl_3

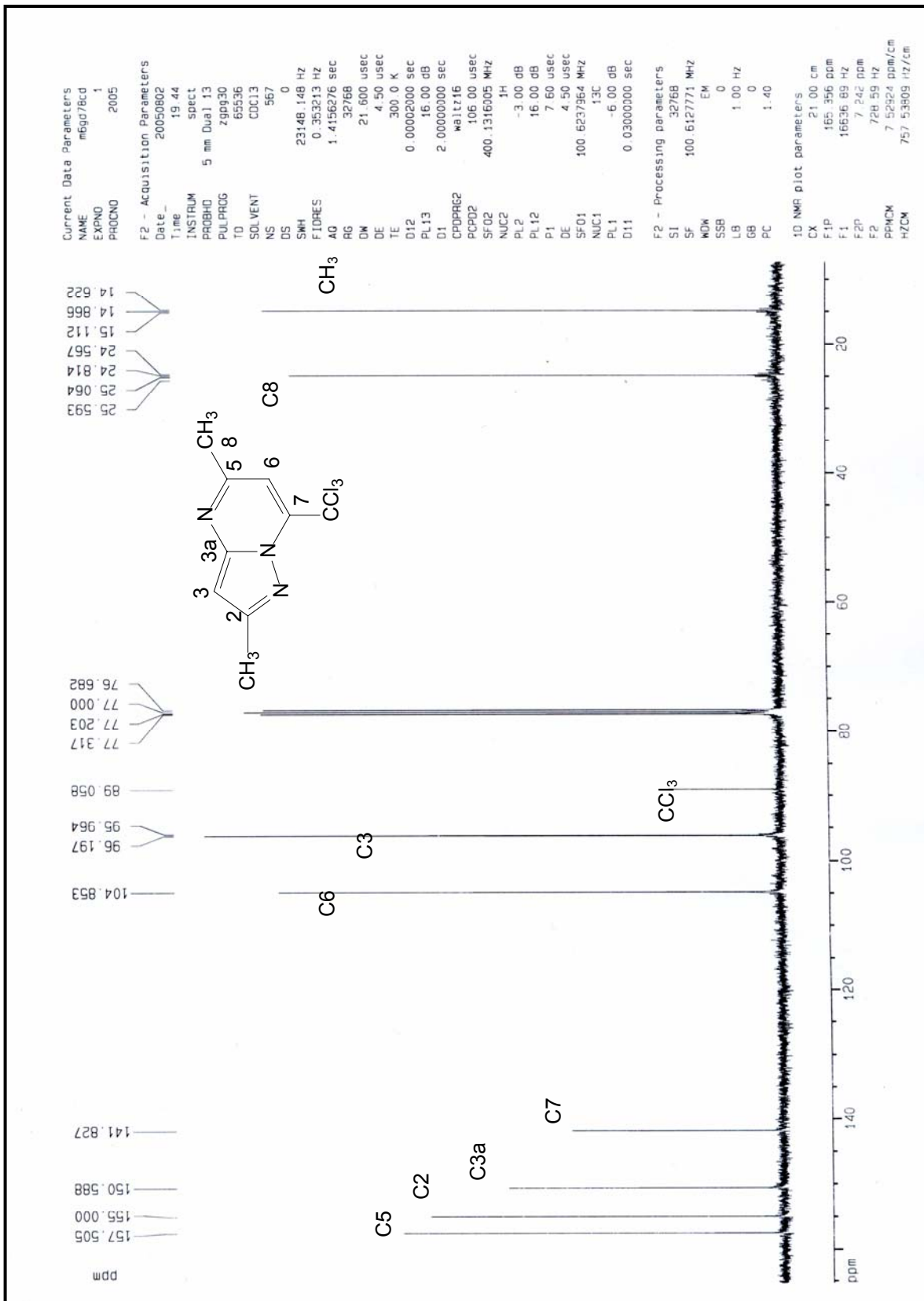


Figura 6: Espectro de RMN de ¹³C do composto **2b** em CDCl₃

Pelo espectro de HMQC do composto **2b** (Figura 7) foi confirmada a atribuição do C-3 e do C-6, pelo acoplamento destes com os respectivos hidrogênios H-3 e H-6.

Pelo espectro de HMBC do composto **2b** (Figura 8) foi confirmada a atribuição do carbono C-5 a δ 157,5 pelo acoplamento a distância de duas ligações com o H-6 e com o grupo CH₃-8. Também foram observados acoplamentos de duas ligações entre o C-2 e os hidrogênios da metila do anel pirazolínico e entre o C-2 e o H-3. Aparecem ainda o acoplamento de duas ligações entre o C-3a e o H-3, do carbono C-7 com o H-6 e o acoplamento de três ligações do grupo CCl₃ com o H-6.

Portanto, pôde-se observar o C-5 ligado ao C-6, ao N do anel pirimidínico e ao grupamento alquila; o C-6 ligado ao C-5 e ao C-7. O C-7 está ligado ao N do anel pirazolínico e ao grupamento CCl₃, confirmando, assim, a formação de uma 2-metil-7-triclorometilpirazolo[1,5-a]pirimidina.

Os espectros de RMN de ¹H, ¹³C, HMQC e HMBC foram registrados em CDCl₃ como solvente. Os dados de RMN de ¹H e ¹³C dos compostos **2a-f** estão listados na Tabela 6.

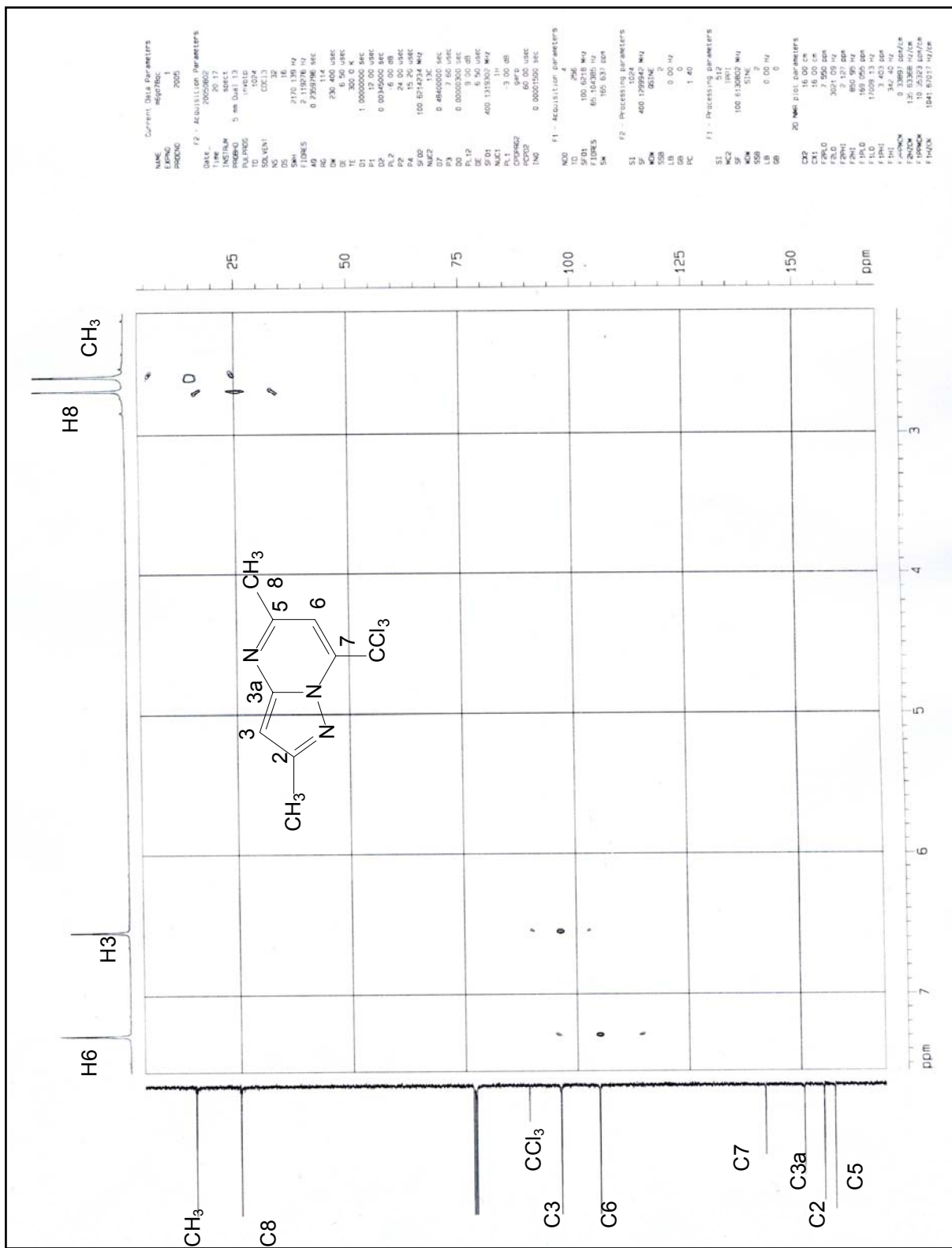


Figura 7: Espectro de RMN de HMQC do composto **2b** em CDCl₃

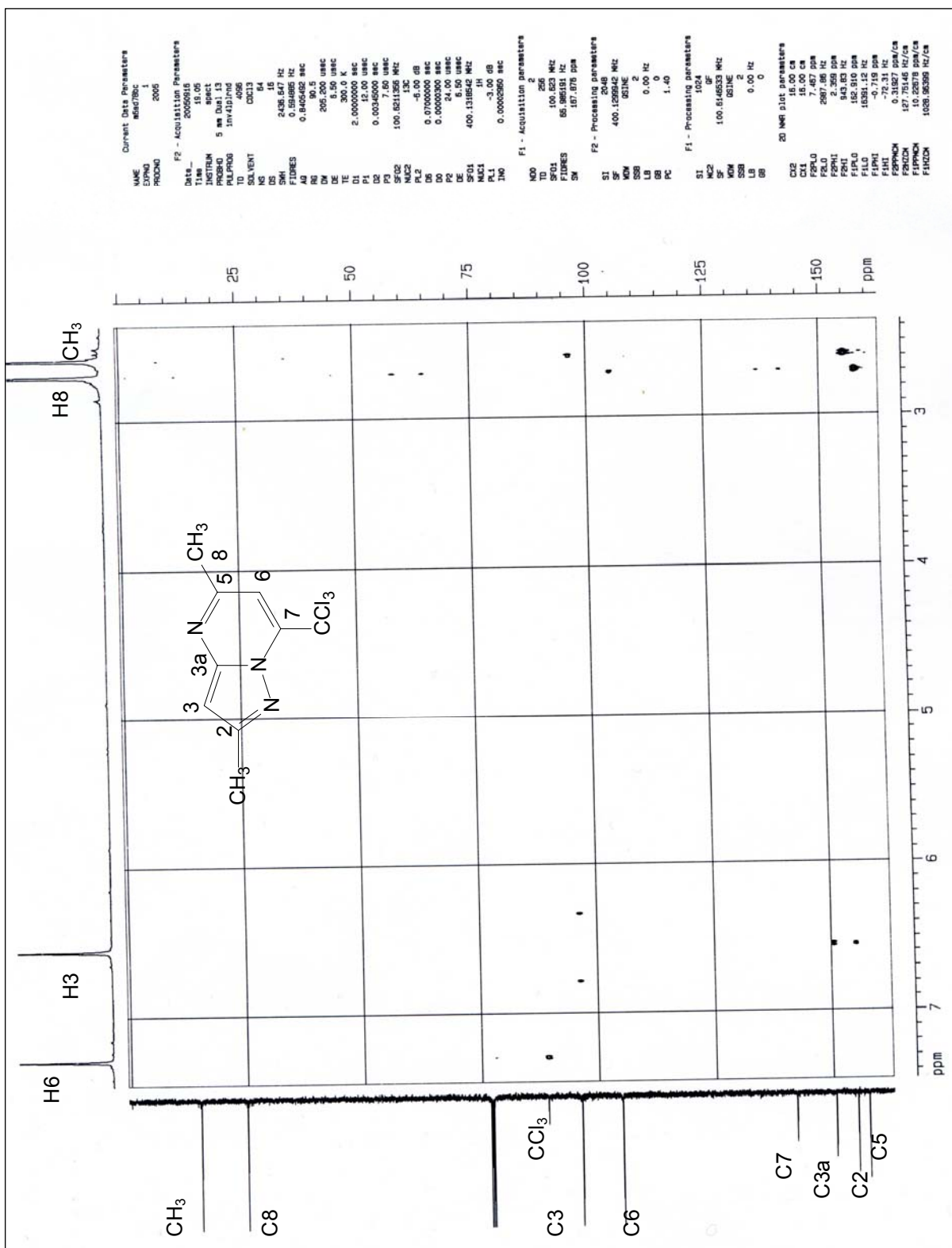


Figura 8: Espectro de RMN de HMBC do composto **2b** em CDCl₃

Tabela 6: Dados de RMN de ^1H e ^{13}C dos compostos **2a-f**

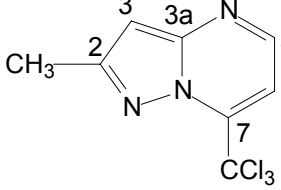
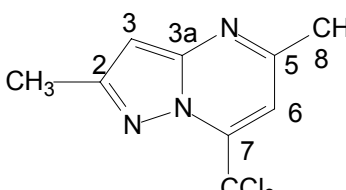
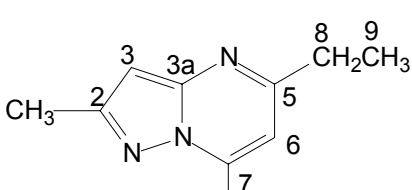
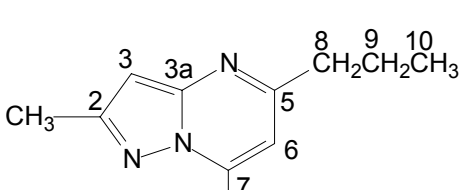
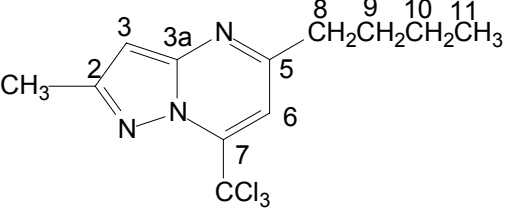
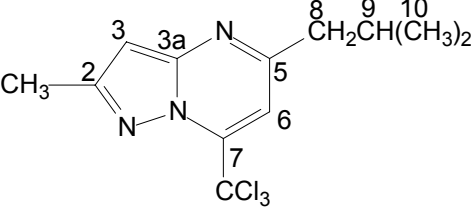
Produto/Estrutura	RMN ^1H δ (m, n° H, identificação, J = Hz)	RMN ^{13}C δ (m, identificaçāo, J = Hz)
	8,55 (d, 1H, H5, J = 4,41); 7,43 (d, 1H, H6 J = 4,41); 6,71 (s, 1H, H3); 2,58(s, 3H, CH3)	160,7 (C5); 156,5 (C2); 153,0 (C3a); 147,7 (C7); 109,4 (C6); 103,1 (C3); 94,4 (CCl_3); 20,5 (CH ₃)
2a		
	7,27(s, 1H, H6); 6,54 (s, 1H, H3); 2,68 (s, 3H, H8); 2,58 (s, 3H, CH3)	157,5 (C5); 155,1(C2); 150,6 (C3a); 141,9(C7); 104,9 (C6); 96,2 (C3); 89,1 (CCl_3); 24,8 (C8); 14,9 (CH ₃)
2b		
	7,29 (s, 1H, H6); 6,56 (s, 1H, H3); 2,93 (q, 2H, H8); 2,59 (s, 3H, CH3); 1,40 (t, 2H, H9);	162,2 (C5); 154,8 (C2); 150,7 (C3a); 141,8 (C7); 103,9 (C6); 96,3 (C3); 89,1 (CCl_3); 31,5 (C8); 14,8 (CH ₃); 12,6 (C9)
2c		
	7,28 (s, 1H, H6); 6,56 (s, 1H, H3); 2,88 (t, 2H, H8); 2,56 (s, 3H, CH3); 1,85 (sex, 2H, H9); 1,04 (t, 3H, H10)	161,2 (C5); 154,9 (C2); 150,5 (C3a); 141,9 (C7); 104,2 (C6); 96,2 (C3); 89,1 (CCl_3); 40,3 (C8); 22,1 (C9); 14,9 (CH ₃); 13,7 (C10)
2d		

Tabela 6: Dados de RMN de ^1H e ^{13}C dos compostos **2a-f** (continuação)

Produto/Estrutura	RMN ^1H δ (m, nº H, identificação, J = Hz)	RMN ^{13}C δ (m, identificação, J = Hz)
	0,98 (t, 3H, H11); 1,46 (set, 2H, H10); 1,80 (quit, 2H, H9); 2,59 (s, 3H, CH3); 2,90 (t, 2H, H8); 6,56 (s, 1H, H3); 7,28(s, 1H, H6);	161,5 (C5); 155,0(C2); 150,8 (C3a); 141,9 (C7); 104,3 (C6); 96,3 (C3); 89,2 (CCl_3); 38,3 (C8); 30,9 (C9); 22,4 (C10) 14,9 (CH ₃); 13,8 (C11)
2e 	7,27 (s, 1H, H6); 6,57 (s, 1H, H3); 2,77 (d, 2H, H8); 2,59 (s, 3H, CH3); 2,21 (non, 8H, H9); 1,01 (d, 6H, H10)	160,7 (C5); 155,0(C2); 150,8 (C3a); 141,8 (C7); 104,7 (C6); 96,4 (C3); 89,2 (CCl_3); 47,5 (C8); 28,8 (C9); 22,4(C10) 14,9 (CH ₃)
2f		

3.2.3. Dados de Espectrometria de Massas para os compostos 2a-f

Através dos dados apresentados na Tabela 7 pode-se observar os principais fragmentos ionizados para as 2-metil-7-triclorometilpirazolo[1,5-a]pirimidinas **2a-f**. O composto **2b** apresenta como principal característica a perda do fragmento $m/z = 35$, referente a perda de um átomo de cloro e o composto **2e** a quebra do grupamento alquila.

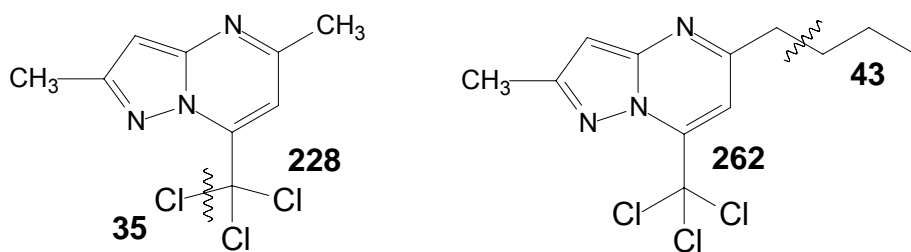


Tabela 7: Principais fragmentos ionizados obtidos para os compostos **2a-f** a uma energia de 70 eV

Comp.	MS [m/z(%)]
2a	249(M^+ , 46), 214(100, -Cl), 144(42), 50(25)
2b	263 (M^+ , 68), 228(100, -Cl), 158(61), 107 (26) 73(33)
2c	277 (M^+ , 53), 242 (100, -Cl), 207(80), 51(20)
2d	291 (M^+ , 47), 263(100, -Et), 228(90), 158(15), 120(21)
2e	307(M^+ , 6), 263 (100, -Pr), 228 (62), 149 (14), 107 (13), 77(17), 51 (24)
2f	305 (M^+ , 24), 290(37), 272 (29), 263(100, -i-Pr), 228(68), 120(11)

3.2.4. Mecanismo da Reação

O 3-amino-5-metilpirazol possui três centros nucleofílicos com reatividade diferenciada, sendo eles: o nitrogênio pirazolínico, (N1 ou N2, pois existe um equilíbrio tautomérico, (Figura 9); o nitrogênio do grupo amino (NH_2); e ainda o carbono C4. A nucleofilicidade acentuada dos átomos de nitrogênio garante a regiospecificidade da reação.

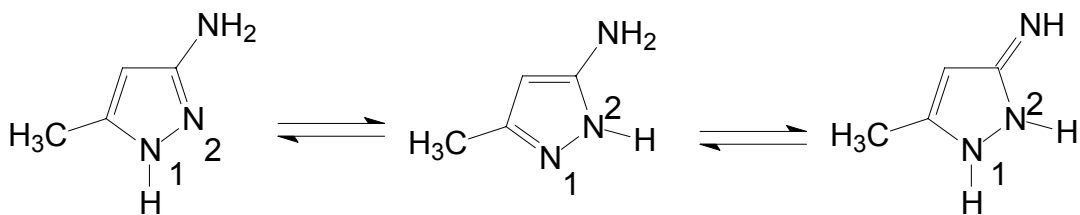
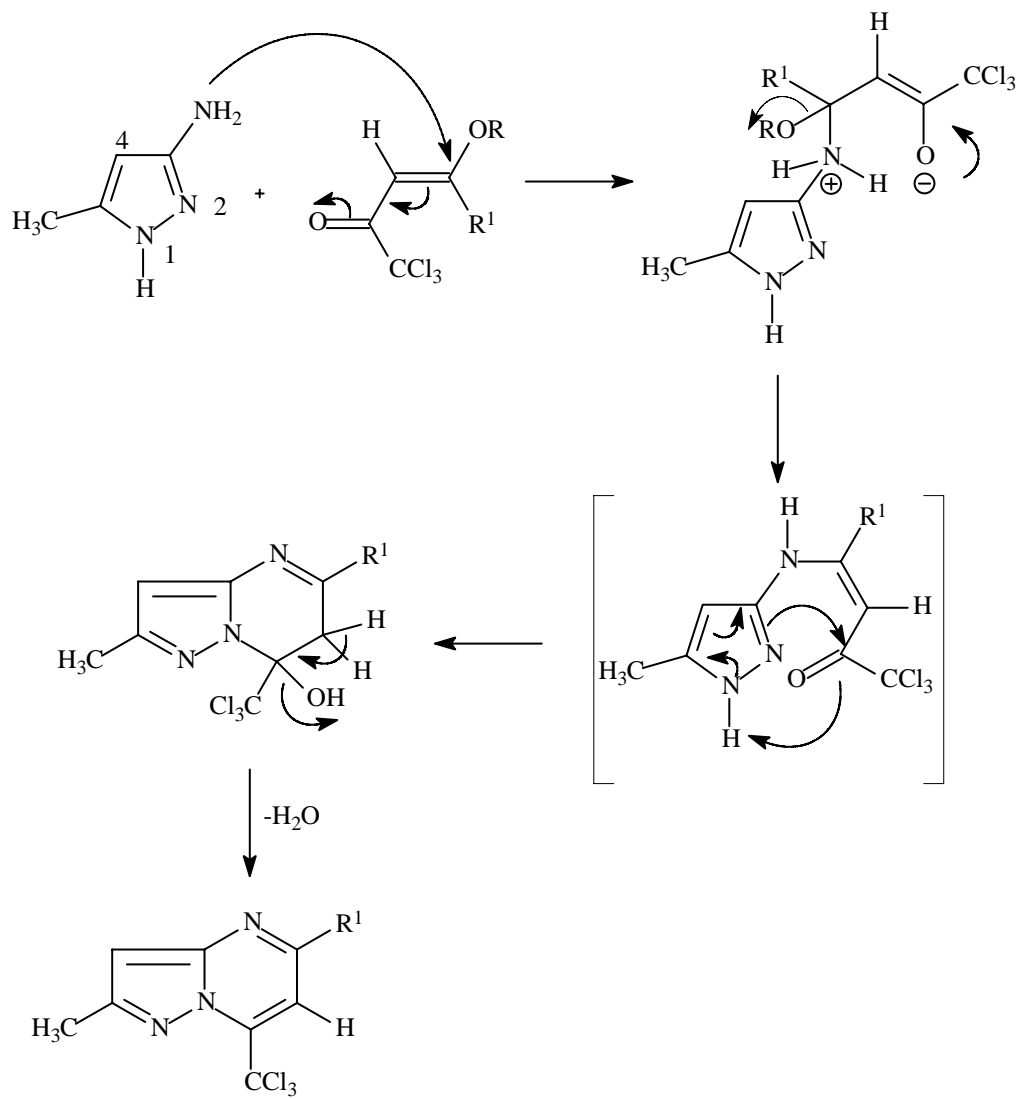


Figura 9: Formas tautoméricas para o 5-metil-3-aminopirazol

O mecanismo ocorre com o ataque inicial do nitrogênio do grupo amino ao carbono beta da 1,1,1-tricloro-4-alcoxi-3-alquen-2-onas formando a enaminona intermediária com posterior adição nucleofílica intramolecular do nitrogênio do anel pirazolínico ao carbono carbonílico e subsequente eliminação de uma molécula de água^{54, 55} (Esquema 21). Este mecanismo segue uma rota reacional diferente daquela sugerida por Singh e col.⁴⁸ onde o produto final obtido é uma pirazolo[3,4-*b*]piridina.

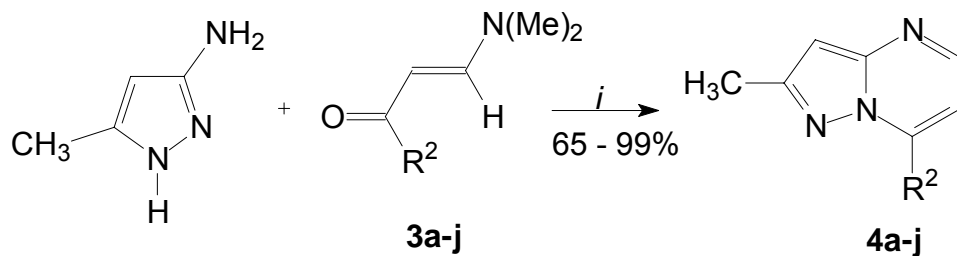
Esquema 21:

3.3. 2-Metil-7-arylpirazolo[1,5-a]pirimidinas 4a-j

3.3.1. Síntese das 2-metil-7-arylpirazolo[1,5-a]pirimidinas 4a-j

Para a síntese das 2-metil-7-arylpirazolo[1,5-a]pirimidinas **4a-j** foi realizada a reação de ciclocondensação do tipo [NCN] + [CCC] entre o 3-amino-5-metilpirazol com as β -dimetilaminovinil cetonas **3a-j** utilizando ácido acético em refluxo durante 16 horas (Esquema 22). As β -dimetilaminovinil cetonas **3a-j** foram sintetizados conforme a referência 42.

Esquema 22:



Comp.	R ²	Comp.	R ²
a	Ph	g	Pirid-2-il
b	Ph-4-NO ₂	h	Pirrol-2-il
c	Ph-4-Me	i	Tien-2-il
d	Ph-4-Br	j	Fur-2-il
e	Ph-4-F		
f	Ph-4-Cl		

As constantes físicas e rendimentos dos compostos **4a-j** estão listados na Tabela 8.

Tabela 8: Rendimentos, Pontos de Fusão, Fórmula Molecular e Análise Elementar dos compostos **4a-j**

Comp.	Rend. (%)	P. F. (°C)	Fórmula Molecular (g/Mol)	Anal. Elementar (%)		
				Calc./Exp.		
				C	H	N
4a	92	124-125	C ₁₃ H ₁₁ N ₃ (209,25)	74,62 74,57	5,30 5,38	20,08 19,97
4b	90	171-173	C ₁₃ H ₁₀ N ₄ O ₂ (254,24)	61,41 —	3,96 —	22,04 —
4c	82	87-88	C ₁₄ H ₁₃ N ₃ (223,28)	75,31 74,99	5,87 6,03	18,82 18,71
4d	98	148-150	C ₁₃ H ₁₀ BrN ₃ (288,15)	54,19 54,03	3,50 3,65	14,58 14,47
4e	99	158-160	C ₁₃ H ₁₀ FN ₃ (227,24)	68,71 68,10	4,44 4,68	18,49 18,16
4f	83	145-147	C ₁₃ H ₁₀ CIN ₃ (243,70)	64,07 64,82	4,14 4,20	17,24 16,67
4g	65	136-138	C ₁₂ H ₁₀ N ₄ (210,24)	68,56 —	4,79 —	26,65 —
4h	72	101-103	C ₁₁ H ₁₀ N ₄ (198,23)	66,99 —	4,60 —	28,41 —
4i	80	106-108	C ₁₁ H ₉ N ₃ S (215,27)	61,37 61,94	4,21 4,8	19,52 20,01
4j	76	86-87	C ₁₁ H ₉ N ₃ O (199,21)	66,32 67,03	4,55 4,57	21,09 20,69

3.3.2. Identificação dos compostos **4a-j** através de RMN de ^1H , ^{13}C e através de técnicas 2D

Os compostos obtidos foram identificados por RMN de ^1H , ^{13}C e através de técnicas de 2D, como HMQC (*Heteronuclear Multiple-Quantum Coherence*) e HMBC (*Heteronuclear Multiple Bond Correlation*). Os espectros de RMN de ^1H das 2-metil-7-arylpirazolo[1,5-a]pirimidinas **4a-j** apresentam δ na faixa de 6,54-6,62 para o hidrogênio vinílico do anel pirazolínico (H3).

Com o objetivo de mostrar como se apresentam os sinais de RMN de ^1H e de ^{13}C das pirazolo[1,5-a]pirimidinas **4a-j** foram selecionados os espectros de RMN de ^1H e ^{13}C do composto **4d**. No espectro de RMN de ^1H (Figura 10) observam-se dubleto com δ de 6,76 e 8,42 correspondendo ao hidrogênio 6 e ao hidrogênio 5 do anel pirimidínico respectivamente. Em δ 6,55 observa-se um singuleto com integração correspondente a um hidrogênio. Esse sinal refere-se ao hidrogênio pirazolínico (H-3). Ainda, tem-se um singuleto com δ em 2,51 correspondendo a metila na posição 2 do anel pirazolínico. A integração corresponde aos 3 hidrogênios da metila. No espectro de RMN de ^{13}C (Figura 10) em δ 96,4 observa-se o sinal correspondente ao carbono vinílico (C-3) do anel pirazolínico. Em seguida aparece o carbono vinílico em δ 106,2 correspondendo ao carbono C-6. A metila possui δ 14,7. Os carbonos da fenila apresentam δ entre 125,4 e 132,0. Em δ 155,1; 150,6; 148,4 e 144,9 encontram-se C-2, C-3a, C-5 e C-7 respectivamente.

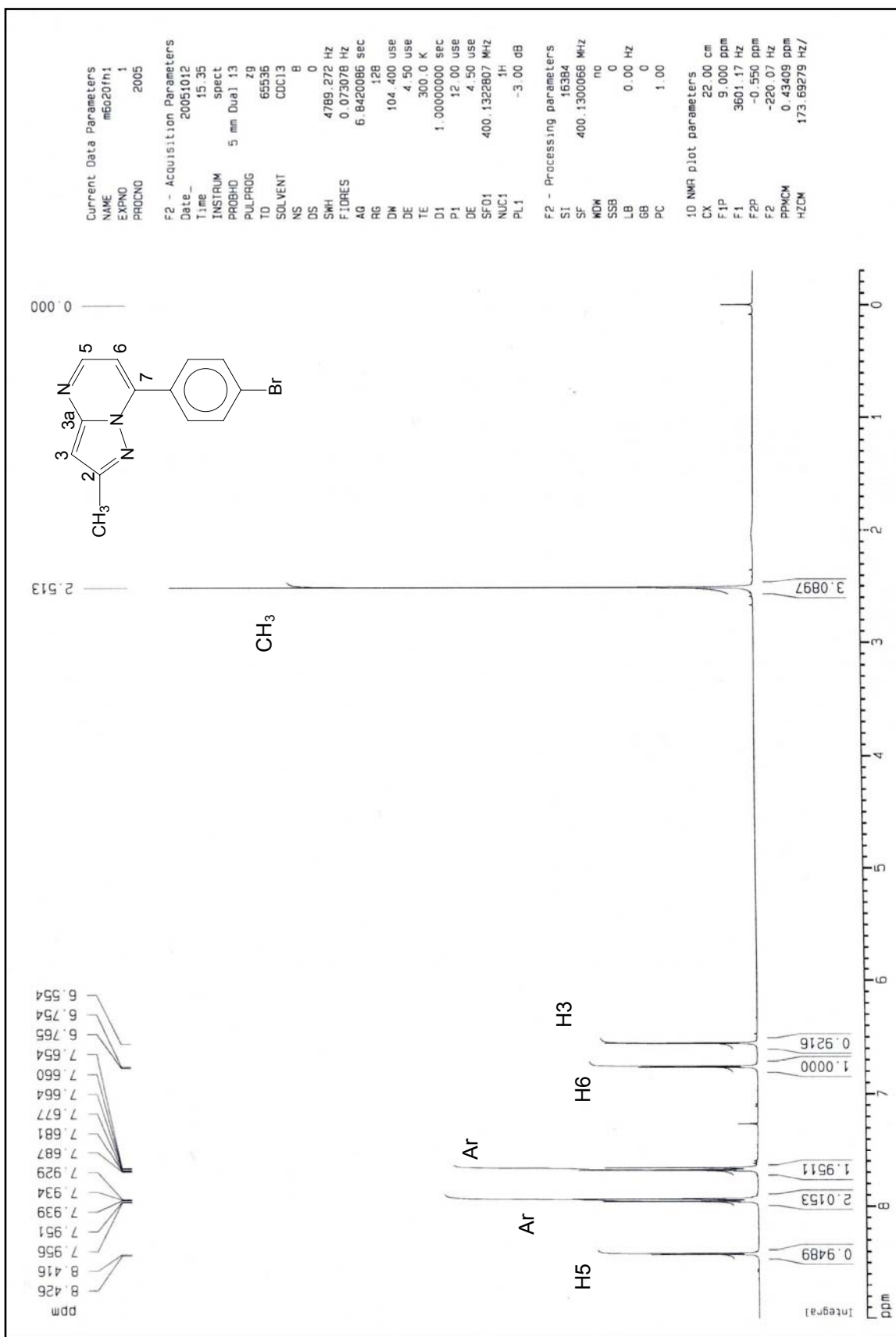


Figura 10: Espectro de RMN de ¹H do composto **4d** em CDCl₃

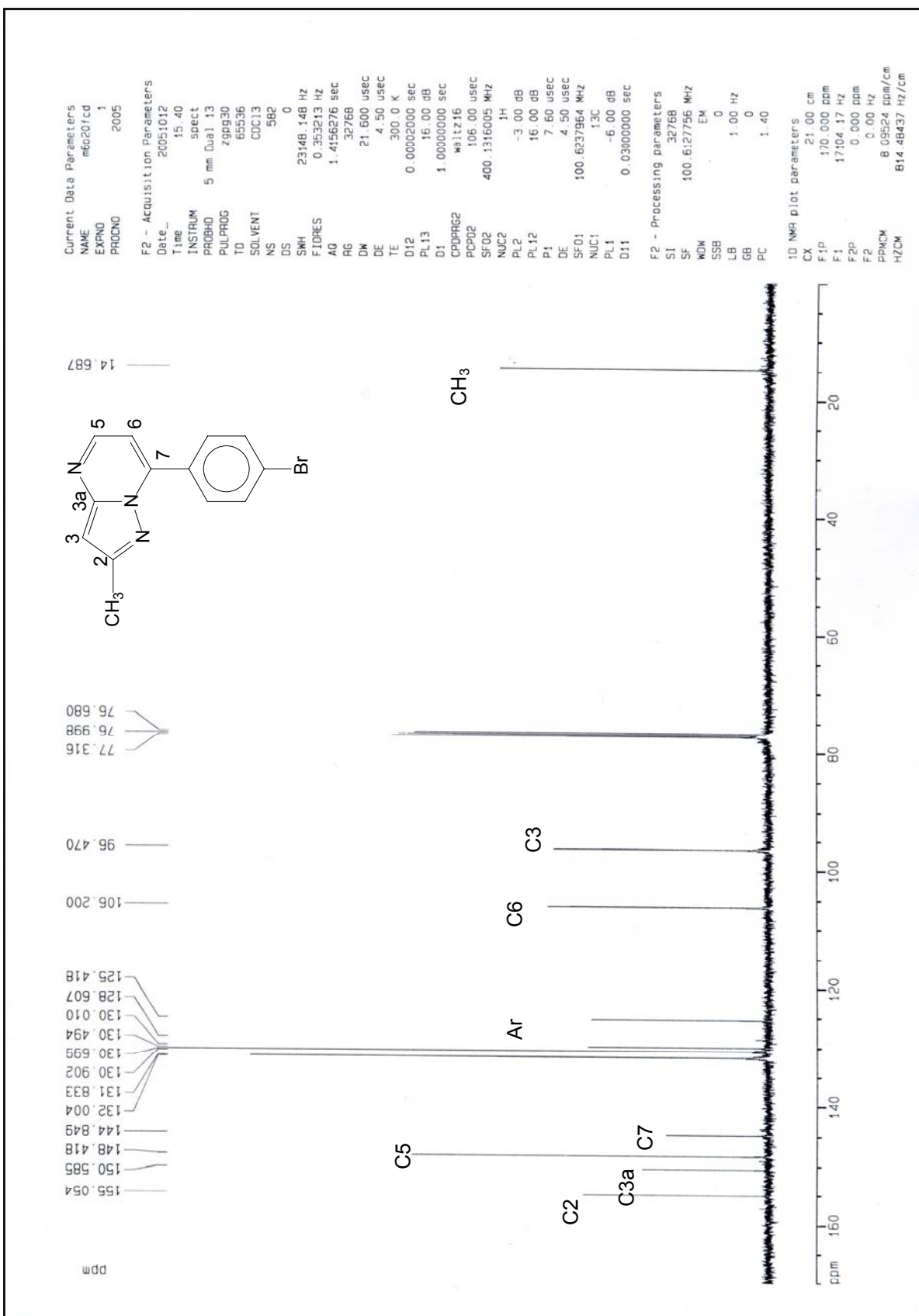


Figura 11: Espectro de RMN de ¹³C do composto **4d** em CDCl₃

Pelo espectro de HMQC (Figura 12) do composto **4j** foi confirmada a atribuição dos C-3 e C-6 , pelo deslocamento destes com os respectivos hidrogênios H-3 e H-6.

Pelo espectro de HMBC (Figura 13) do composto **4j** foi confirmada a atribuição do carbono C-5 pelo acoplamento de duas ligações com o H-6. Também foram observados acoplamentos de duas ligações entre o C-2 e os hidrogênios da metila do anel pirazolínico e entre o C-2 e o C-3. Aparecem ainda o acoplamento de duas ligações entre o C-3a e o H-3, do carbono C-7 com o H-6.

Desta forma, pôde-se observar o C-5 ligado ao C-6 e ao N do anel pirimidínico, o C-6 ligado ao C-5 e ao C-7. O C-7 está então ligado ao N do anel pirazolínico e ao grupamento arila, confirmando, assim, a formação de uma 2-metil-7-arylpirazolo[1,5-a]pirimidina.

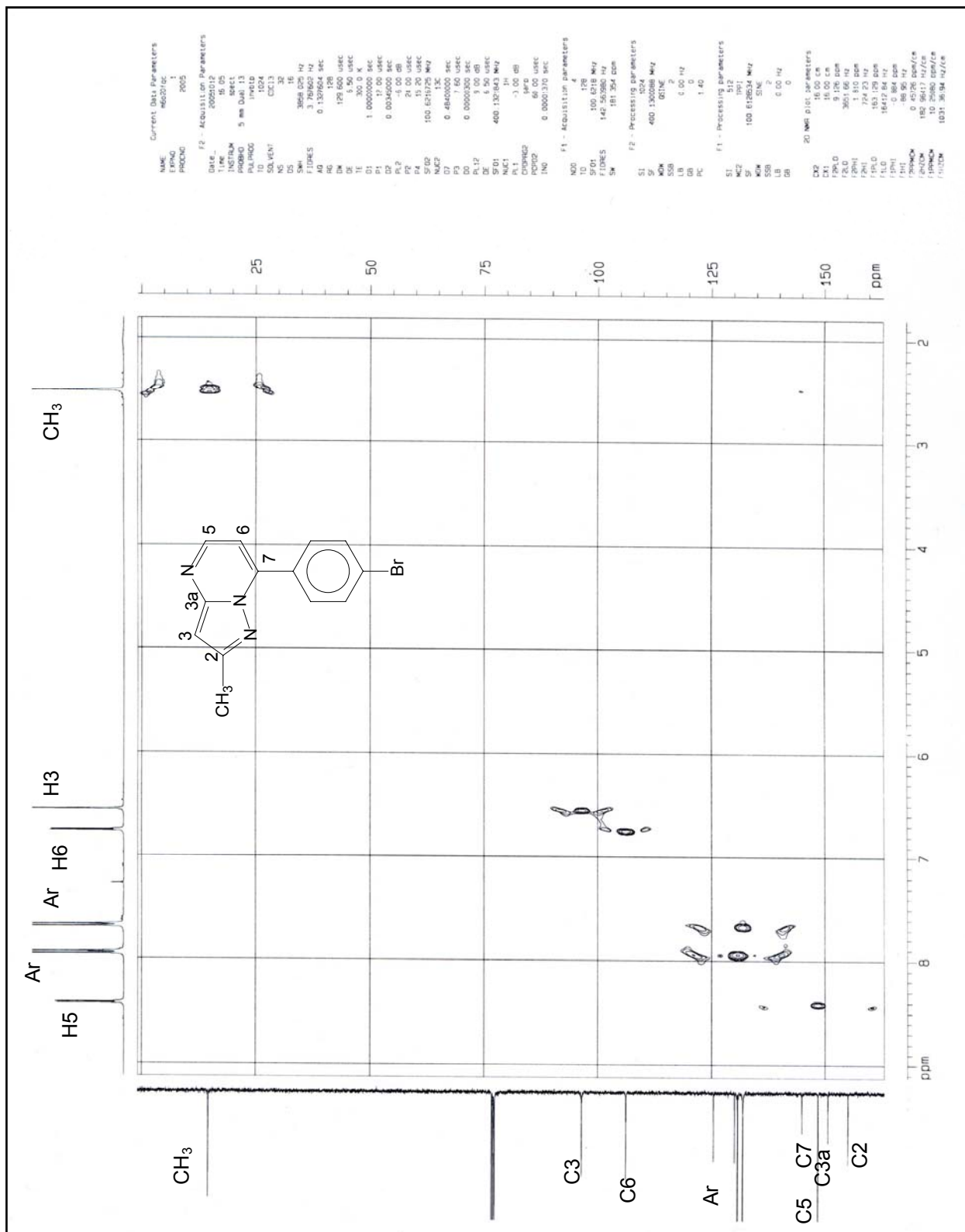


Figura 12: Espectro de RMN de HMQC do composto **4d** em CDCl₃

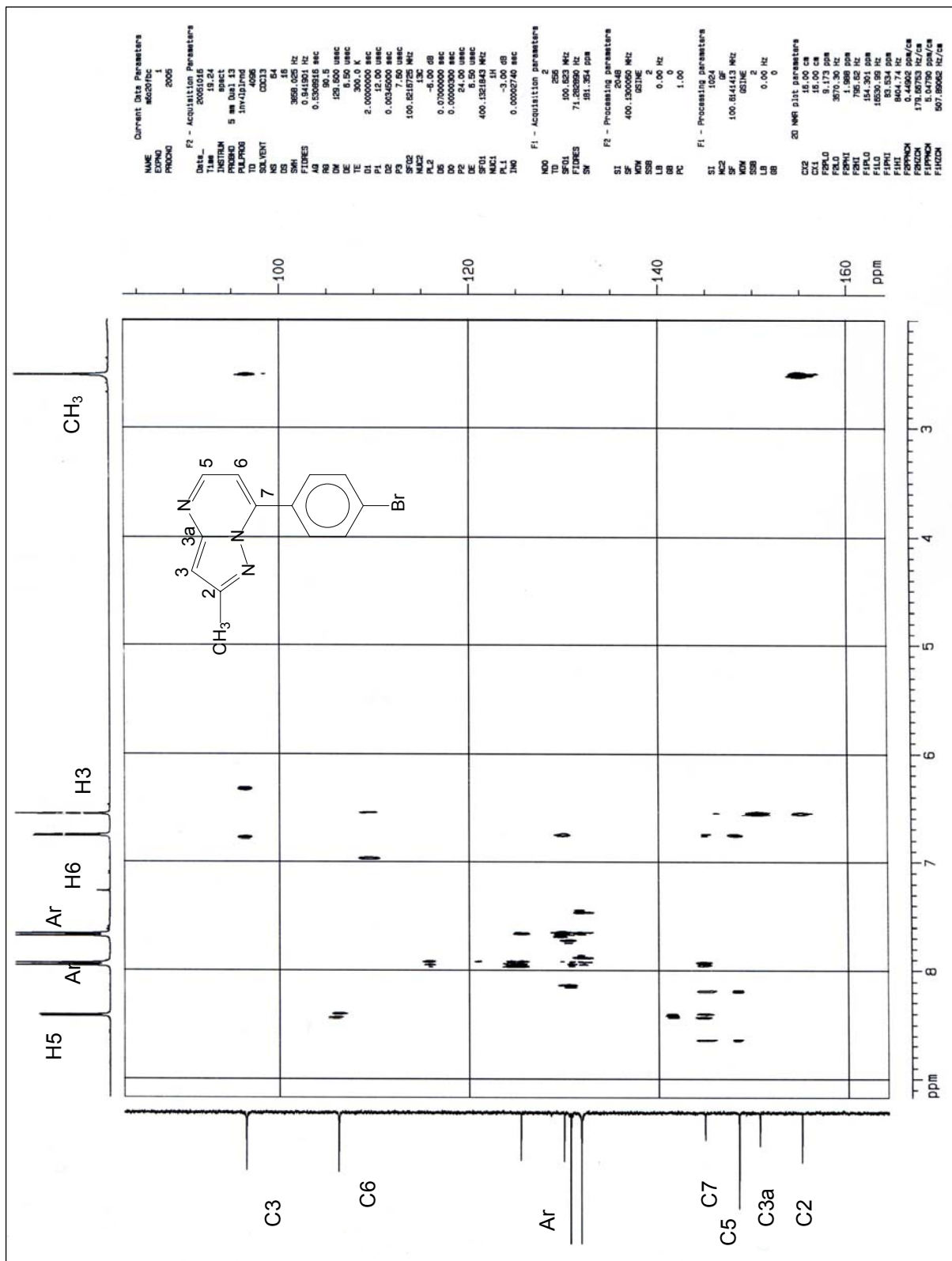


Figura 13: Espectro de RMN de HMBC do composto **4d** em CDCl_3

Tabela 9: Dados de RMN de ^1H e ^{13}C dos compostos **4a-j**

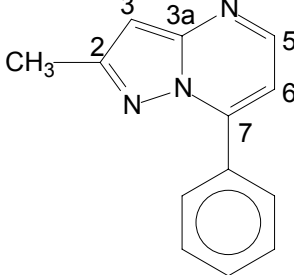
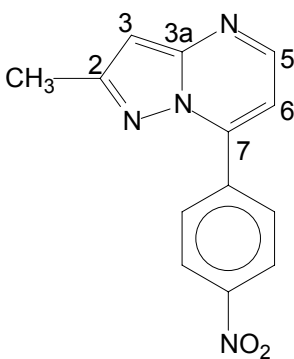
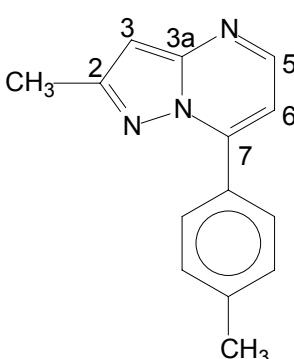
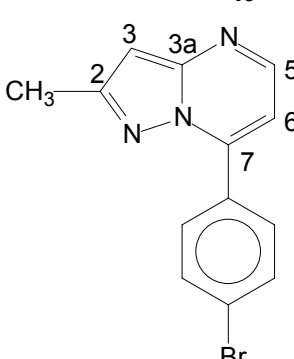
Produto/Estrutura	RMN ^1H δ (m, nº H, identificação, J = Hz)	RMN ^{13}C δ (m, identificação, J = Hz)
 4a	8,42 (d, 1H, H5, J = 4,4) 8,03-7,53 (m , 5H, Ph) 6,77 (d, 1H, H6, J = 4,4) 6,54 (s, 1H, H3) 2,51 (s, 3H, CH ₃)	154,8 (C2), 150,5 (C3a), 148,4 (C5), 146,0(C7), 128,5; 129,1; 130,8; 131,1 (6C, Ph), 106,4 (C6), 96,2 (C3), 14,7 (CH ₃)
 4b	8,51 (d, 1H, H5, J = 4,3) 8,41-8,26 (m , 4H, Ph) 6,82 (d, 1H, H6, J = 4,3) 6,62 (s, 1H, H3) 2,53 (s, 3H, CH ₃)	155,3 (C2), 150,4 (C3a), 148,8 (C5), 148,3 (C7), 123,6; 130,2; 137,1; 143,3 (6C, Ph), 106,9 (C6), 96,8 (C3), 14,6 (CH ₃),
 4c	8,41 (d, 1H, H5 , J = 4,2) 7,95-7,34 (m, 4H, Ph) 6,76 (d, 1H, H6, J = 4,2) 6,54 (s, 1H, H3) 2,52 (s, 3H, CH ₃) 2,43 (s, 3H, C ₆ H ₄ CH ₃)	154,8 (C2), 150,6 (C3a), 148,5 (C5), 146,2 (C7), 141,3; 129,2; 129,1; 128,2; (6C, Ph), 106,1 (C6) 96,1 (C3), 21,5 (CH ₃ , Ph) 14,7 (CH ₃)
 4d	8,42 (d, 1H, H5, J = 4,2) 7,94-7,67 (m, 4H, Ph) 6,76 (d, 1H, H6, J = 4,4) 6,55 (s, 1H, H3) 2,51 (s, 3H, CH ₃)	155,0 (C2), 150,6 (C3a), 148,4 (C5), 144,8 (C7), 132,0; 125,4; 130,0; 130,7; (6C, Ph), 106,2 (C6) 96,5 (C3), 14,7 (CH ₃)

Tabela 9: Dados de RMN de ^1H e ^{13}C dos compostos **4a-j** (continuação)

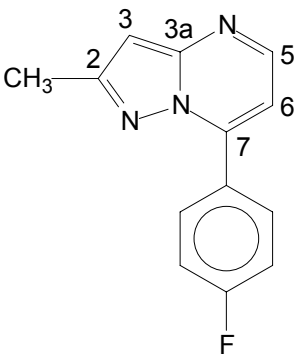
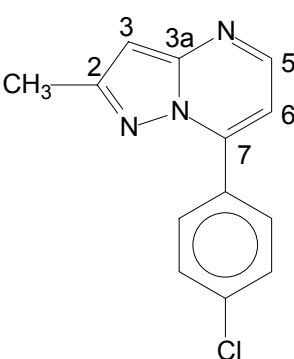
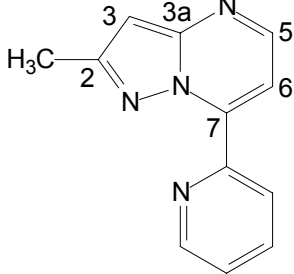
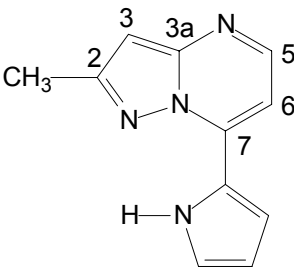
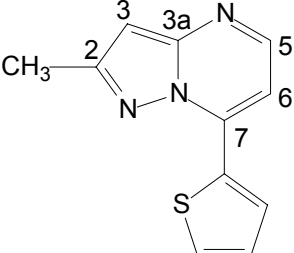
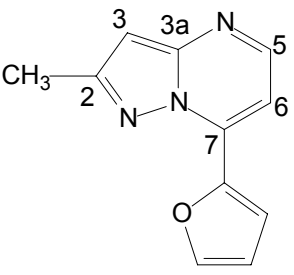
Produto/Estrutura	RMN ^1H δ (m, n° H, identificação, J = Hz)	RMN ^{13}C δ (m, identificação, J = Hz)
	8,43 (d, 1H, H5, J = 3,9) 8,10-7,23 (m, 4H, Ph) 6,77 (d, 1H, H6, J = 4,2) 6,56(s, 1H, H3) 2,52 (s, 3H, CH ₃)	165,3-162,8 (1C, C ₆ H ₅ , J = 252,3), 155,0 (C2); 150,5 (C3a), 148,3 (C5), 145,0 (C7), 106,1 (C6) 131,5-131,4(1C, Ph, J = 8,47); 127,2-127,1(1C, Ph, J = 3,53); 115,8-115,6 (1C, Ph, J = 21,83); 96,3 (C3); 14,70 (CH ₃)
4e		
	8,43 (d, 1H, H5, J = 4,4) 8,02-7,52 (m, 4H, Ph) 6,77 (d, 1H, H6, J = 4,4) 6,56 (s, 1H, H3) 2,52 (s, 3H, CH ₃)	154,9 (C2), 150,5 (C3a), 148,4 (C5), 144,7 (C7), 136,9; 130,4; 129,5; 129,4; 128,8; (6C, Ph), 106,2 (C6) 96,4 (C3), 14,6 (CH ₃)
4f		
	9,09; 8,80; 7,95; 7,47 (m, 4H, piridil) 8,55 (d, 1H, H5, J = 4,6) 7,46(d, 1H, H6, J = 4,4) 6,62 (s, 1H, H3) 2,58(s, 3H, CH ₃)	154,9 (C2), 150,8 (C3a), 149,6 (C5), 148,3 (C7), 143,3; 125,0; 125,9; 136,5; (6C, Ph), 106,9 (C6) 96,2 (C3), 14,6 (CH ₃)
4g		
	12,32 (s, 1H, N-H) 8,32 (d, 1H, H5, J = 4,6) 7,16 (m, 2H, pirrol, J = 1,3) 6,99(d, 1H, H6, J = 4,9) 6,45 (s, 1H, H3, J = 2,6) 6,42 (m, 1H, pirrol) 2,55(s, 3H, CH ₃)	154,1 (C2) 150,7 (C3a), 148,2(C5), 136,5 (C7), 144,1; 122,5; 112,7; 110,7; (4C, pirrol), 100,3 (C6), 94,9 (C3), 14,4 (CH ₃),
4h		

Tabela 9: Dados de RMN de ^1H e ^{13}C dos compostos **4a-j** (continuação)

Produto/Estrutura	RMN ^1H δ (m, nº H, identificação, J = Hz)	RMN ^{13}C δ (m, identificação, J = Hz)
 4i	8,37 (d, 1H, H5, J = 4,7) 8,31 (d, 1H, tienil, J = 3,8) 7,65 (d, 1H, tieni, J = 4,0) 7,21 (t, 1H, tieni, J = 3,9) 7,08 (d, 1H, H6, J = 4,7) 6,53 (s, 1H, H3) 2,58 (s, 3H, CH ₃)	154,7 (C2), 150,3 (C3a), 147,5 (C5), 139,2 (C7), 127,4; 131,2; 131,4; 132,07;(4C, tienil), 102,8 (C6), 96,1 (C3), 14,7 (CH ₃)
 4j	8,444 (d, 1H, H5 J = 4,6) 8,24 (d, 1H, furil, J = 3,5) 7,68 (d, 1H, furil, J = 1,2) 7,22 (d, 1H, H6, J = 4,7) 6,69 (m, 1H, furil, J = 1,8) 6,55 (s, 1H, H3) 2,58 (s, 3H, CH ₃)	155,0 (C2) 150,1 (C3a), 147,6(C5), 145,4(C7), 144,1; 135,1; 119,5; 112,9; (4C, furil), 101,6 (C6), 95,9 (C3), 14,7 (CH ₃)

3.3.3. Identificação dos compostos 4a-j através de cromatografia gasosa CG-MS

Através dos dados apresentados na Tabela 10 pode-se identificar os principais fragmentos ionizados positivos para os compostos **4a-f**. Por exemplo, para a 2-metil-7-(4-bromofenil)pirazolo[1,5-a]pirimidina **4d** a principal característica é a perda do átomo de bromo ligado a fenila.

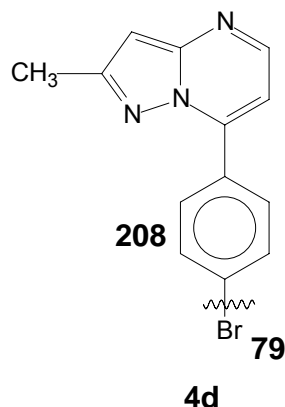


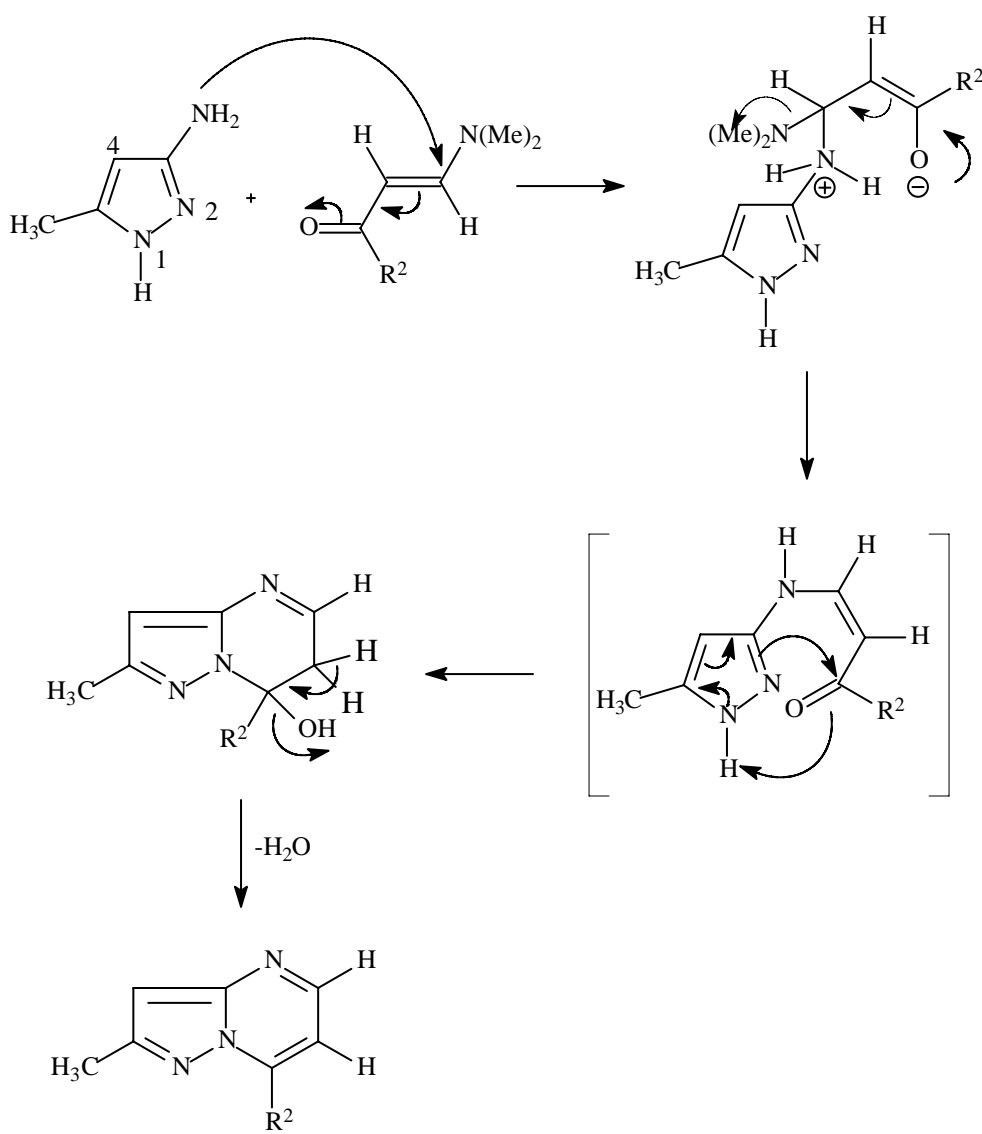
Tabela 10: Principais fragmentos positivos obtidos para os compostos **4a-j** a uma energia de 70 eV

Comp.	MS [m/z (%)]
4a	209(M ⁺ , 100), 140 (7)
4b	254(M ⁺ , 100), 208 (38, -NO ₂), 63 (10)
4c	223 (M ⁺ , 100), 207 (37, -CH ₃), 115 (15)
4d	288 (M ⁺ , 100), 208 (27, -Br), 180 (10), 140 (12), 101 (16), 75 (25), 50 (20).
4e	227 (M ⁺ , 100), 158 (9), 133 (12), 120 (9), 95 (10).
4f	243 (M ⁺ , 100), 208 (14, -Cl), 140 (10), 113 (9), 75 (15)
4g	210 (M ⁺ , 100), 182 (16), 129 (11), 78 (17), 51 (21)
4h	198 (M ⁺ , 100), 170 (18), 145 (11), 92 (23), 52 (20)
4i	215 (M ⁺ , 100), 162 (10), 108 (9), 69 (8).
4j	199 (M ⁺ , 100), 170 (23), 146 (10), 51 (17), 51 (17)

3.3.4. Mecanismo da Reação

O mecanismo reacional para a síntese das pirazolopirimidinas **4a-j** é análogo ao mecanismo proposto para a síntese dos compostos **2a-f**. Inicialmente ocorre com o ataque do nitrogênio do grupo amino ao carbono beta da β -dimetilaminovinil cetona formando a enaminona intermediária com posterior adição nucleofílica intramolecular do nitrogênio do anel pirazolínico ao carbono carbonílico e subsequente eliminação de uma molécula de água^{54, 55} (Esquema 23).

Esquema 23



3.3.5. Estrutura do composto **4a** obtida por difratometria de Raios-X em monocrystal

Além da identificação das pirazolopirimidinas **2a-f** e **4a-j** através de técnicas de RMN de ^1H , ^{13}C , HMQC, HMBC e cromatografia gasosa CG-MS foi realizada análise por difração de Raio-X em monocrystal do composto **4a**. O ORTEP⁵⁶ mostrado na Figura 14, confirma a regioquímica proposta para a ciclocondensação [NCN] + [CCC] entre o 3-amino-5-metilpirazol e β -dimetilaminovinil cetonas a partir da atribuição estrutural dos produtos isolados. Os dados da difratometria de Raios-X encontram-se no Anexo 3.

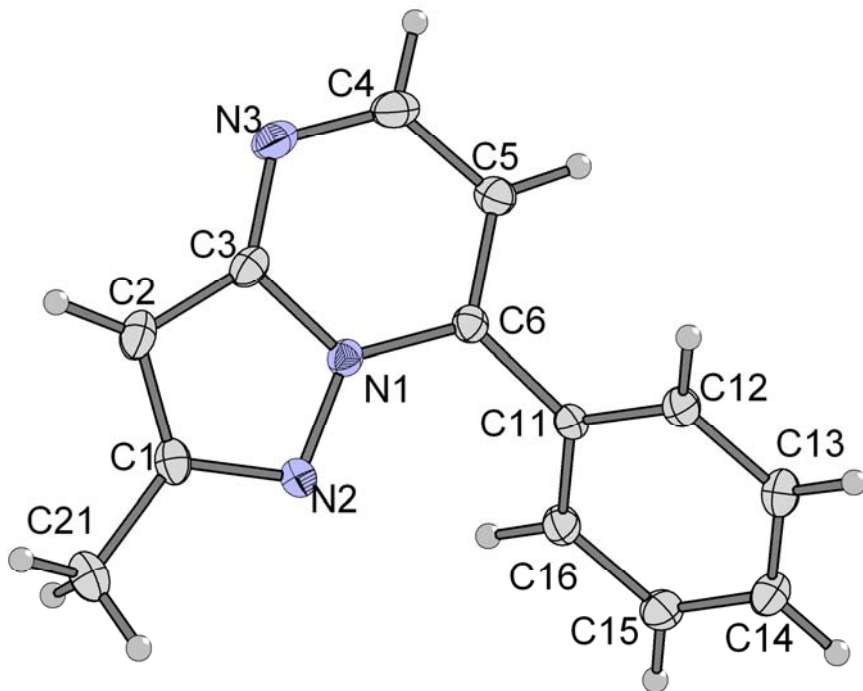


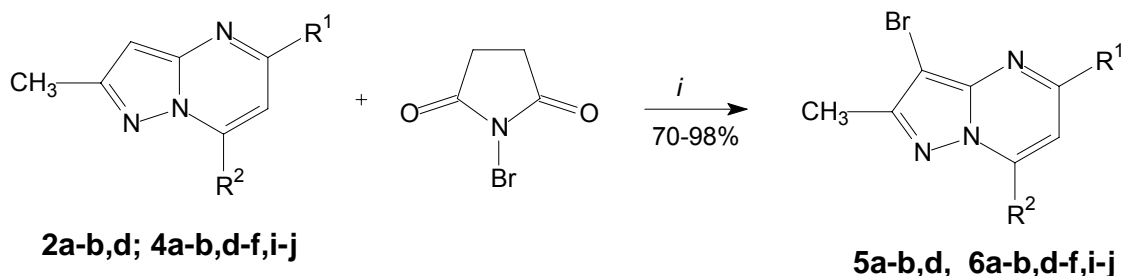
Figura 14. ORTEP obtido por difração de Raios-X do composto **4a**

3.4. 3-Bromo-2-metil-7-triclorometilpirazolo[1,5-a]pirimidinas 5a-b,d e 3-bromo-2-metil-7-arylpirazolo[1,5-a]pirimidinas 6a-b,d-f,i-j

3.4.1. Síntese das 3-bromo-2-metil-7-triclorometilpirazolo[1,5-a]pirimidinas 5a-b,d síntese das 3-bromo-2-metil-7-arylpirazolo[1,5-a]pirimidinas 6a-b,d-f,i-j

A halogenação das pirazolopirimidinas **2a-b,d** e **4a-b,d-f,i-j** foi realizada através da reação com *N*-bromosuccinimida em refluxo de THF durante 20 horas (Esquema 24).

Esquema 24:



i: THF, refluxo, 20 h

Comp.	R ¹	R ²
5a	H	CCl ₃
5b	Me	CCl ₃
5d	Pr	CCl ₃
6a	H	Ph
6b	H	Ph-4-NO ₂
6d	H	Ph-4-Br
6e	H	Ph-4-F
6f	H	Ph-4-Cl
6i	H	Tien-2-il
6j	H	Fur-2-il

Com o objetivo de otimizar a reação, algumas condições reacionais foram testadas para a obtenção do composto **6a** (Tabela 9). Observou-se que quando a reação foi realizada utilizando *N*-bromosuccinimida, THF, em condições de refluxo durante 20 horas foram obtidos os melhores rendimentos. Desta forma os demais compostos **5a-b, d, 6b,d-f,i-j** foram obtidos com base na reação número 5.

As constantes físicas e rendimentos dos compostos **5a-b, d, 6a-b,d-f,i-j** estão listados na Tabela 12.

Tabela 11: Condições reacionais testadas para a síntese da 3-bromo-2-metil-pirazolo[1,5-a]pirimidina **6a**

Reação	Condições Reacionais	Rend. (%)
1	Br ₂ , t.a., CH ₂ Cl ₂ , 6h, Py, 0°C, 1h	—
2	NBS, Tolueno, 110 °C, 16 h	30
3	NBS, CHCl ₃ , MCPBA 15 %, t.a., 36 h	50
4	NBS, CHCl ₃ , MCPBA 15 %, refluxo, 24 h	70
5	NBS, THF, 116°C, 20 h	78

Tabela 12: Rendimentos, Pontos de Fusão, Fórmula Molecular e Análise Elementar dos compostos **5a-b,d e 6a-b,d-f,i-j**

Comp.	Rend. (%)	P. F. (°C)	Fórmula Molecular (g/Mol)
5a	89	144-146	C ₈ H ₅ BrCl ₃ N ₃ (329,41)
5b	78	136-138	C ₉ H ₇ BrCl ₃ N ₃ (343,44)
5d	88	110-112	C ₁₁ H ₁₁ N ₃ BrCl ₃ (371,49)
6a	78	174-176	C ₁₃ H ₁₀ N ₃ Br (288,15)
6b	87	183-185	C ₁₃ H ₉ BrN ₄ O ₂ (333,14)
6d	98	178-179	C ₁₃ H ₉ Br ₂ N ₃ (367,04)
6e	95	159-161	C ₁₃ H ₉ BrFN ₃ (306,14)
6f	95	166-168	C ₁₃ H ₉ BrClN ₃ (322,59)
6i	91	125-128	C ₁₁ H ₈ BrN ₃ S (294,17)
6j	70	133-135	C ₁₁ H ₈ BrN ₃ O (278,11)

3.4.2. Identificação dos compostos 5a-b,d e 6a-b,d-f,i-j através de RMN de ^1H , ^{13}C e através de técnicas de 2D

Os compostos obtidos foram identificados por RMN de ^1H , ^{13}C e através de técnicas de 2D, como HMQC (*Heteronuclear Multiple-Quantum Coherence*) e HMBC (*Heteronuclear Multiple Bond Correlation*). Os espectros de RMN de ^1H das 3-bromo-2-metil-7-arylpirazolo[1,5-a]pirimidinas **5a-b,d**, **6a-b,d-f,i-j** apresentam δ na faixa de 2,49-8,61. Os hidrogênios H5 e H6 apresentam-se na forma de doubletos e têm δ de 8,42 e δ 6,77, respectivamente.

Com o objetivo de mostrar como se apresentam os sinais de RMN de ^1H e de ^{13}C das pirazolo[1,5-a]pirimidinas **5a-b,d**, **6a-b,d-f,i-j** foram selecionados os espectros de RMN de ^1H e ^{13}C do composto **6d**. No espectro de RMN de ^1H (Figura 15) observam-se doubletos com δ 6,84 e 8,51 correspondendo ao hidrogênio 6 e ao hidrogênio 5 do anel pirimidínico respectivamente. Em δ 7,67 e 7,91 observam-se dois doubletos com integração correspondente a dois hidrogênio. Estes sinais referem-se aos hidrogênios da fenila ligada ao anel pirimidínico. Ainda, tem-se um singuleto com δ em 2,49 e integração referente a três hidrogênios correspondendo a metila na posição 2 do anel pirazolínico. No espectro de RMN de ^{13}C (Figura 16) em δ 85,2 observa-se o sinal correspondente ao carbono (C-3) do anel pirazolínico. Em seguida aparece o carbono vinílico em 106,2 correspondendo ao carbono do anel pirimidínico. Os C-7, C-5, C3a e C-2 apresentam δ em 145,3; 146,7; 149,4 e 153,24 respectivamente. A metila do anel pirazolínico possui δ em 13,3. Os carbonos da fenila apresentam δ entre 131,9 e 125,8.

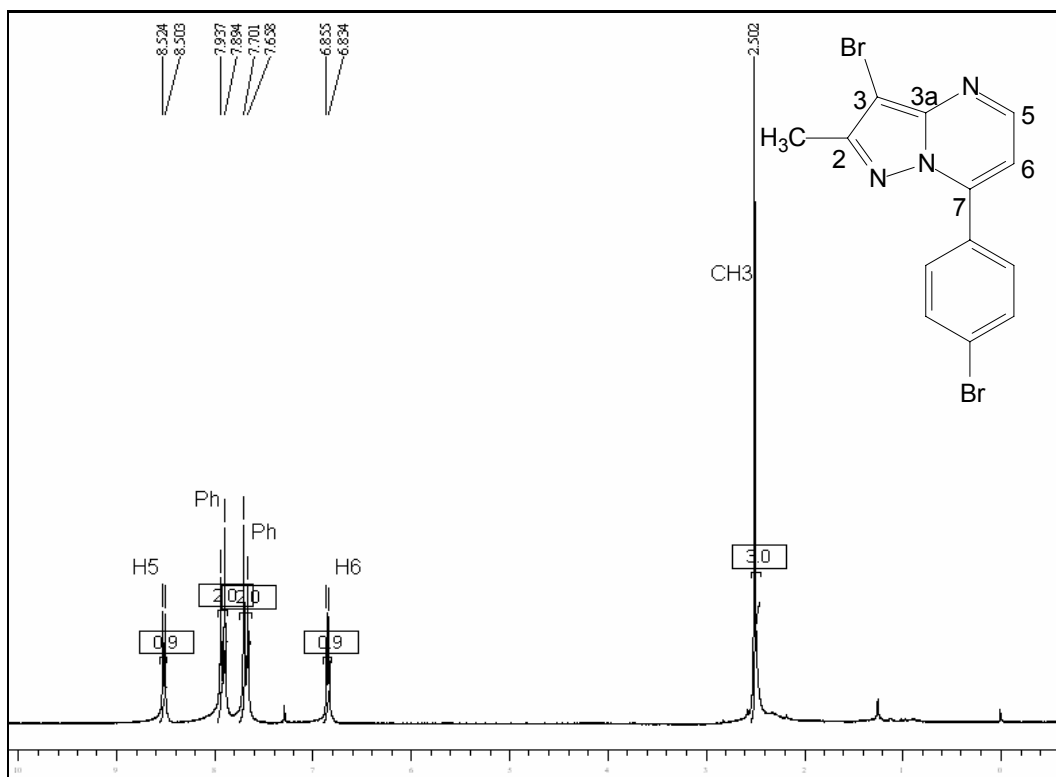


Figura 15: Espectro de RMN de ^1H do composto **6d** em CDCl_3

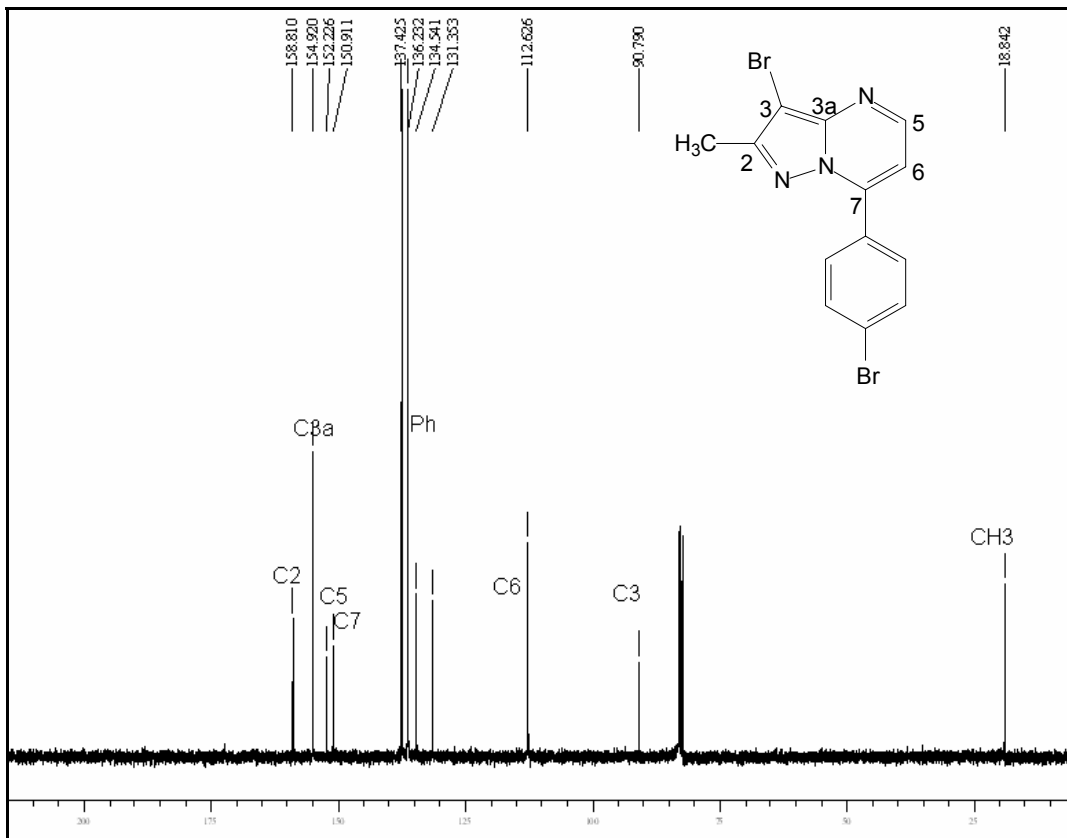


Figura 16: Espectro de RMN de ^{13}C do composto **6d** em CDCl_3

Tabela 13: Dados de RMN de ^1H e ^{13}C dos compostos **5a-b,d** e **6a-b,d-f,i-j**

Produto/Estrutura	RMN ^1H δ (m, nº H, identificação, J = Hz)	RMN ^{13}C δ (m, identificação, J = Hz)
	8,65 (d, 1H, H5) 7,50 (d, 1H, H6) 2,62 (s, 3H, CH3)	153,6 (C5), 148,6 (C2), 147,1 (C3a), 142,7(C7), 104,9 (C6); 88,3 (CCl3), 87,3 (C3); 13,5 (CH ₃)
5a		
	7,34 (s, 1H, H6) 2,74 (s, 3H, H8) 2,57 (s, 3H, CH3)	159,1 (C5), 153,3 (C2), 146,9 (C3a), 142,2(C7), 106,0 (C6); 89,6 (CCl3), 85,9 (C3), 25,2 (C8), 13,5 (CH ₃),
5b		
	7,30 (s, 1H, H6); 2,93 (t, 2H, H8); 2,57 (s, 3H, CH3); 1,87 (sex, 2H, H9); 1,06 (t, 3H, H10)	162,8 (C5); 153,2 (C2); 147,0 (C3a); 142,3 (C7); 105,4 (C6); 88,7 (C3); 85,9 (CCl ₃); 40,6 (C8); 22,2 (C9); 13,8 (CH ₃); 13,5 (C10)
5d		
	8,50 (d, 1H, H5, J = 4,2) 8,01-7,54 (m, 5H, Ph) 6,69 (d, 1H, H6, J = 4,4) 2,50 (s, 3H, CH ₃)	153,1 (C2), 149,6 (C3a), 146,8 (C5), 146,6(C7), 131,2; 130,2; 129,2; 128,6 (6C, Ph); 107,3 (C6); 85,0 (C3); 13,3 (CH ₃)
6a		

Tabela 13: Dados de RMN de ^1H e ^{13}C dos compostos **5a-b,d** e **6a-f, i-j** (continuação)

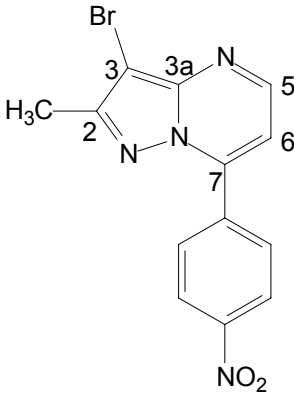
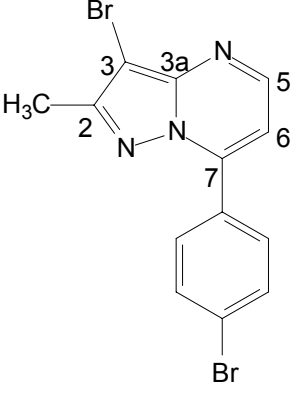
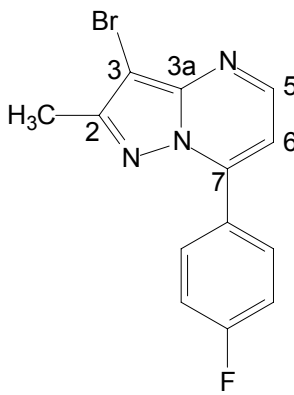
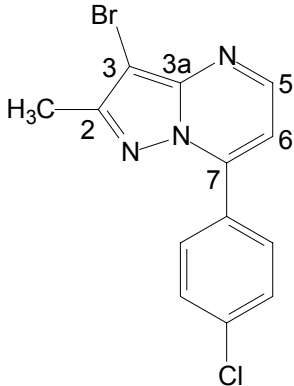
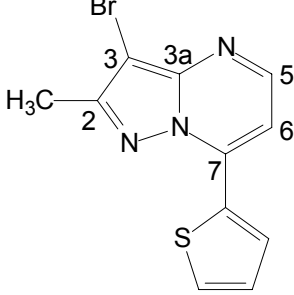
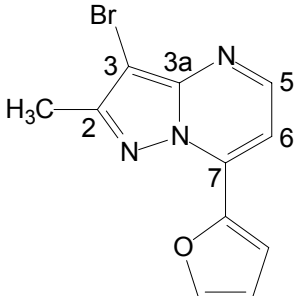
Produto/Estrutura	RMN ^1H δ (m, n° H, identificação, J = Hz)	RMN ^{13}C δ (m, identificação, J = Hz)
	8,61 (d, 1H, H5, J = 4,3) 8,43-8,24 (m , 4H, Ph) 6,95 (d, 1H, H6, J = 4,3) 2,53 (s, 3H, CH ₃)	153,8 (C2), 149,5 (C3a), 149,1 (C5), 146,7 (C7), 144,1; 136,2; 130,4; 123,8; (6C, Ph), 107,9 (C6), 85,9 (C3), 13,4 (CH ₃)
6b		
	8,51 (d, 1H, H5, J = 4,3) 7,91-7,67 (m, 4H, Ph) 6,84 (d, 1H, H6, J = 4,5) 2,49 (s, 3H, CH ₃)	153,2 (C2), 149,3 (C3a), 146,6(C5), 145,3 (C7), 131,8; 130,7; 129,0; 125,8; (6C, Ph), 107,0 (C6) 85,2 (C3), 13,3 (CH ₃),
6d		
	8,52 (d, 1H, H5 , J = 4,4) 8,06-7,24 (m, 4H, Ph) 6,84 (d, 1H, H6 , J = 4,4) 2,51 (s, 3H, CH ₃)	165,6-163,0 (1C, Ph, J = 252,9) 153,3 (C2); 149,4 (C3a), 146,7 (C5), 145,6 (C7), 131,6-131,5(1C, Ph, J = 8,47); 126,3-126,3 (1C, Ph, J = 3,53); 116,0-115,8 (1C, Ph, J = 21,89); 107,1 (C6); 85,2 (C3); 13,3 (CH ₃)
6e		

Tabela 13: Dados de RMN de ^1H e ^{13}C dos compostos **5a-b,d** e **6a-f, i-j** (continuação)

Produto/Estrutura	RMN ^1H δ (m, nº H, identificação, J = Hz)	RMN ^{13}C δ (m, identificação, J = Hz)
	8,53 (d, 1H, H5, J = 4,4) 8,00-7,53 (m, 4H, Ph) 6,85 (d, 1H, H6, J = 4,2) 2,51 (s, 3H, CH ₃)	153,4 (C2), 149,4(C3a), 146,6 (C5), 145,5 (C7), 85,2 (C3), 107,1 (C6), 129,0 ; 130,6 ; 137,5; 128,6 ; (6C, Ph), 13,3 (CH ₃)
6f		
	8,47 (d, 1H, H5, J = 4,7) 8,32 (d, 1H, tienil, J = 4,8) 7,72 (d, 1H, tienil, J = 4,0) 7,24 (t, 1H, tienil, J = 3,9) 7,16 (d, 1H, H6, J = 4,7) 2,57 (s, 3H, CH ₃)	153,1 (C2), 148,5 (C3a), 146,5 (C5), 139,9 (C7), 132,72; 130,61; 131,9; 127,64; (4C, tienil), 103,70 (C6), 84,9(C3), 13,4 (CH ₃)
6i		
	8,45 (d, 1H, H5 , J = 4,7) 8,11 (d, 1H, furil, J = 3,5) 7,65 (d, 1H, furil, J = 1,6) 7,18 (d, 1H, H6, J = 4,6), 6,6 (t, 1H, furi, J = 1,7), 2,51 (s, 3H, CH ₃)	153,0 (C2), 148,4 (C3a), 146,4 (C5), 145, 6 (C7), 143,3; 135,4; 119,9; 112,9; (4C, furil), 102,3 (C6), 84,8(C3), 13,3 (CH ₃)
6j		

3.4.3. Dados de Espectrometria de massas dos compostos 5a-b,d e 6a-b,d-f,i-j

Os principais fragmentos ionizados obtidos para os compostos **5a-b,d** e **6a-b,d-f,i-j** encontram-se na Tabela 14, onde observa-se a perda de um átomo de cloro para o composto **5a**, a perda grupo $-NO_2$ ligado a fenila no composto **6b** e a quebra do Br na posição 3 da pirazolopirimidina **6j**. (Tabela 14).

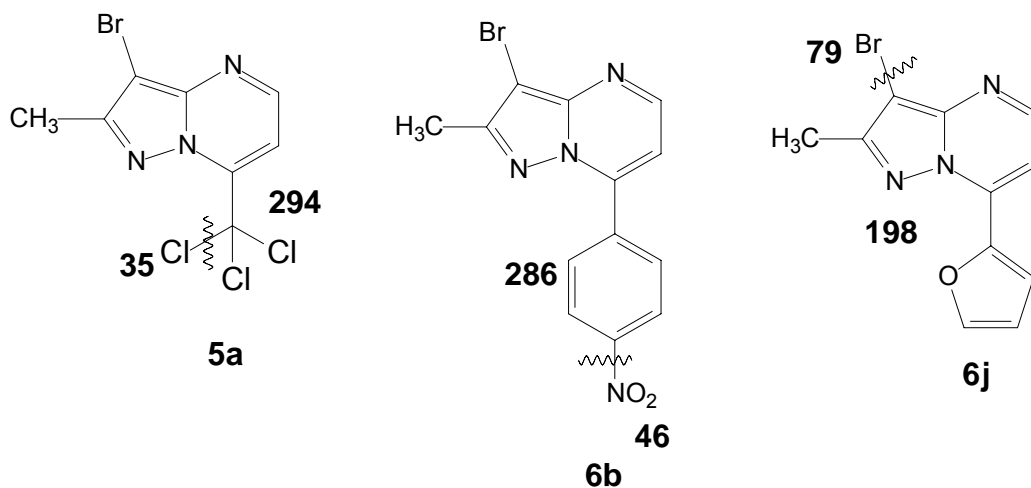


Tabela 14: Principais fragmentos ionizados obtidos para os compostos **5a-b,d** e **6a-b,d-f,i-j** a uma energia de 70 eV

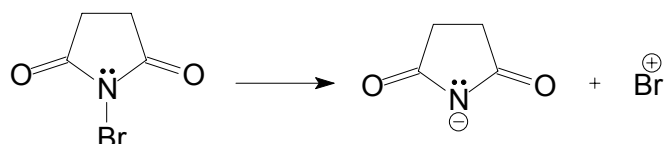
Comp.	MS [m/z (%)]
5a	329($M+2$, 50), 294(100, -Cl), 212 (10), 110 (14), 85 (18)
5b	343($M+2$, 56), 308(100, -Cl), 226(15), 202(09), 157 (09), 73(16).
5d	371($M+2$, 33), 356(20), 344(100), 308(47)
6a	287(M^+ , 100), 206 (19, -Br), 182 (24), 140 (44), 115 (27), 51 (30),
6b	332(M^+ , 100), 286 (36, $-NO_2$), 207 (37), 74 (27), 52 (34)
6d	367 ($M+2$, 100), 286 (15, -Br), 206 (10), 166 (13), 113 (23), 75 (21), 51 (16).
6e	305 (M^+ , 100), 224 (17, -Br), 200 (28), 173 (21), 158 (58), 133 (33), 75(16).
6f	323 ($M+2$, 100), 242(14, -Br), 216(18), 189 (13), 140 (29), 113(17), 75 (25).
6i	293 (M^+ , 100), 214 (17, -Br), 188 (29), 161 (19), 121 (24), 63 (19).
6j	277 (M^+ , 100), 198(14, -Br), 172 (28), 102 (19), 76 (22), 51 (31).

3.4.4. Mecanismo da Reação

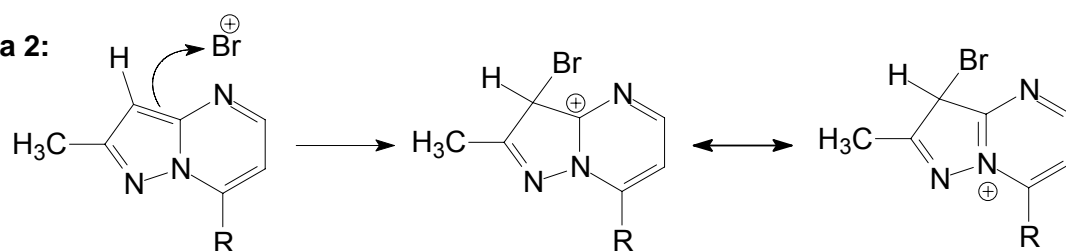
O mecanismo proposto para a reação de bromação das pirazolo[1,5-*a*]pirimidinas **5a-b,d e 6a-b,d-f,i-j** segue o mecanismo de uma reação de Substituição Eletrofílica Aromática. Na etapa 1 ocorre a formação do íon bromônio seguida pela etapa 2 onde ocorre a formação do cátion intermediário. Na etapa 3 ocorre a retirada do próton pelo nucleófilo formado na etapa 1 ocorrendo assim o restabelecimento da aromaticidade (Esquema 25).

Esquema 25

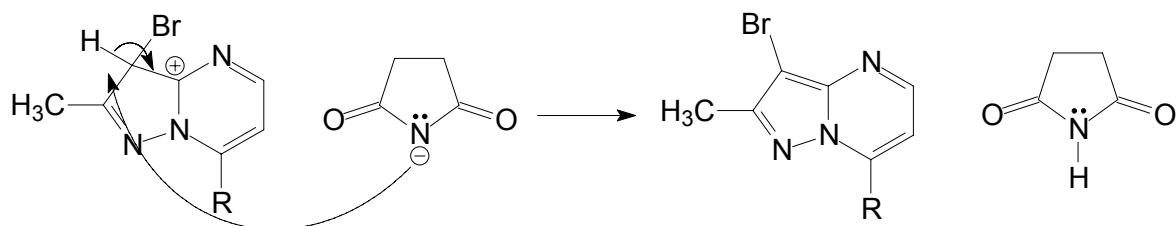
Etapa 1:



Etapa 2:



Etapa 3:



4. PROCEDIMENTO EXPERIMENTAL

4.1. Equipamentos Utilizados

4.1.2. Espectroscopia de Ressonância Magnética Nuclear

Os espectros de RMN de ^1H e ^{13}C foram obtidos em espetrômetro BRUKER DPX 200 de 200,13 MHz para ^1H e/ou espetrômetro BRUKER DPX 400 de 400,13 MHz para ^1H e 100,62 MHz para ^{13}C .

As amostras de RMN foram dissolvidas em clorofórmio deuterado (CDCl_3). As condições usadas para ^1H no espetrômetro BRUKER DPX 200 foram: SF 200,13 MHz; lock interno pelo ^2D , largura do pulso 9,9 μs ; tempo de aquisição 3,89 s, janela espectral 965 Hz, número de varreduras 8 a 32, número de pontos 65536 com resolução digital Hz/ponto igual a 0,128875; temperatura de 300 K.

As condições usadas no espetrômetro BRUKER DPX 400 foram: SF 400,13 MHz para ^1H e 100,32 para ^{13}C ; lock interno pelo ^2D , largura do pulso 9,9 μs (^1H) e 19,5 μs (^{13}C); tempo de aquisição 3,98 s (^1H) e 1,41 s (^{13}C), janela espectral 965 Hz (^1H) e 5000 Hz (^{13}C), número de varreduras 8 a 32 (^1H) e 500 a 60000 para ^{13}C dependendo do composto, número de pontos 65536 com resolução digital Hz/ponto igual a 0,128875 (^1H) e 0,179994 (^{13}C); temperatura de 300 K.

4.1.3. Espectroscopia de Massas

Os espectros de massa e respetivos cromatogramas foram obtidos através de um Cromatógrafo Gasoso HP 6890 acoplado ao Detector de Massas Seletivo 5973 (CG/MS), com injetor automático HP 6890. Coluna HP-5MS (Crosslinked 5% de PH ME Siloxane) – temperatura máxima de 325°C - diâmetro interno 0,32mm e fase estacionária 0,25 Å. Fluxo de gás hélio de 2mL/min., pressão de 5.05 psi. Temperatura do injetor: 250° C; Seringa de 10 μL , com injeção de 1 μL ; temperatura inicial do forno de 70° C/min e após aquecimento de 12°C/min até 280°C. Para a fragmentação dos compostos foi utilizado 70 eV no espetrômetro de massas.

4.1.4. Ponto de Fusão

Os pontos de fusão foram determinados em um aparelho KOFLER REICHERT-THERMOVAR (pontos de fusão não corrigidos).

4.1.5. Análise Elementar

As análises elementares pra os compostos foram realizadas em um analisador Perkin Elmer 2400 CHN, no Instituto de Química, USP, São Paulo.

4.1.6. Difração de Raio-X

As medidas cristalográficas do composto **4a** foram feitas em um espectrômetro Bruker Kappa Apex II, equipado com um detector de área tipo CCD, usando radiação Mo K α ($\lambda = 0,71073 \text{ \AA}$). A estrutura foi resolvida usando métodos diretos (SHELXS-97), achando todos os átomos C e N. A estrutura foi refinada nas F^2 (SHELXL-97). Os átomos de H foram achados no mapa de densidade diferencial ($F_o - F_c$) e refinados junto com os átomos para quais eles estão ligados.

4.2. Síntese dos Compostos

4.2.1. Procedimento geral para a síntese de pirazolo[1,5-a]pirimidinas 2a-f e 4a-j.

Adicionou-se a um balão acoplado a um condensador de refluxo, as 1,1,1-tricloro-4-alcoxi-3-alquen-2-onas **1a-f** (1 mmol) ou as β -dimetilaminovinil cetonas (1 mmol) e o 5-metil-3-aminopirazol (1 mmol) em ácido acético (5 mL). Elevou-se à temperatura de refluxo do solvente e manteve-se a reação por 16 horas. Posteriormente ao tempo reacional a solução foi extraída com clorofórmio ($3 \times 10 \text{ mL}$), lavada com água destilada ($3 \times 10 \text{ mL}$), seca com sulfato de magnésio. O solvente foi retirado no rotaevaporador rotatório a pressão reduzida e um sólido foi obtido como produto.

4.2.2. Procedimento geral para a síntese de 3-bromo-2-metil-pirazolo[1,5-a]pirimidinas 5a-b,d e 6a-b,d-f,i-j .

Adicionou-se a um balão acoplado a um condensador de refluxo, as pirazolo[1,5-a]pirimidinas **2a-b,d** ou **4a-b,d-f,i-j** (1 mmol) e a *N*-bromocuccinimida (1 mmol) em tetraidrofurano (5 mL). Elevou-se à temperatura de refluxo do solvente e manteve-se a reação por 20 horas. Posteriormente ao tempo reacional a solução foi extraída com clorofórmio (3×10 mL), lavada com água destilada (3×10 ml), seca com sulfato de magnésio. O solvente foi retirado no rotaevaporador rotatório a pressão reduzida e um sólido foi obtido como produto. O sólido resultante foi então recristalizado em hexano.

5. CONCLUSÕES

De acordo com os resultados obtidos nesta dissertação, as conclusões são as seguintes:

- As reações entre o 3-amino-5-metilpirazol com 1,1,1-tricloro-4-alcoxi-3-alquen-2-onas foram regioespecíficas formando as pirazolo[1,5-a]pirimidinas **2a-f** com altos rendimentos e boa pureza.
- As reações entre o 3-amino-5-metilpirazol com β -dimetilaminovinil arilcetonas também foram regioespecíficas formando as pirazolo[1,5-a]pirimidinas **4a-j**. Os produtos foram obtidos com êxito, altos rendimentos e pureza.
- Portanto, a atribuição estrutural das pirazolo[1,5-a]pirimidinas obtidas permite dizer que os sistemas 1,3-dieletrófilos (enonas **1a-f** e enaminonas **3a-j**) reagem de modo análogo com o 1,3-dinucleófilo 3-amino-5-metilpirazol. Então, foram obtidos somente produtos do ataque do grupo 3-amino do pirazol ao carbono- β dos sistemas **1** e **3** com posterior ciclização a partir do ataque do N-1 do pirazol as carbonilas de **1** e **3**.
- A bromação dos compostos **2a-b**, **d**, **4a-b**, **d-f**, **i-j** utilizando *N*-bromosuccinimida ocorreu na posição 3 do anel pirazolínico via Substituição Eletrofílica Aromática com bons rendimentos.
- Os compostos testados demonstraram moderada atividade antimicrobiana (Apêndice 1).

6. REFÊNCIAS BIBLIOGRÁFICAS

1. Zanatta, N.; Barrichello, R.; Bonacorso, H. G; Martins, M. A. P *Synthesis* **1999**, 765.
2. (a) Zanatta, N.; Rosa, L. S.; Loro, E.; Bonacorso, H. G; Martins, M. A. P. *J Fluorine Chem.* **2001**, 107, 149. (b) Zanatta, N.; Cortelini, M. F. M.; Carpes, M. J. S.; Bonacorso, H. G; Martins, M. A. P. *J. Heterocyclic Chem.* **1997**, 34, 509. (c) Zanatta, N.; Fagundes, M. B.; Ellenshon, R.; Marques, M.; Bonacorso, H. G; Martins, M. A. P. *J. Heterocyclic Chem.* **1998**, 35, 451.(d) Zanatta, N.; Pacholski, I. L.; Faoro, D.; Bonacorso, H. G; Martins, M. A. P. *Synth. Comm.*, **2001**, 31, 2855. (e) Madruga, C. C.; Clerici, E.; Martins, M. A. P.; Zanatta, N. *J. Heterocycl. Chem.* **1995**, 32, 735; (f) Zanatta, N.; Madruga, C.C.; Marisco, P.C.; Flores, D.C.; Bonacorso, H. G.; Martins, M. A. P. *J. Heterocycl. Chem.* **2000**, 37, 1213; (g) Zanatta, N.; Flores, D.C.; Madruga, C.C.; Faoro, D.; Flores, A.F.C.; Bonacorso, H. G.; Martins, M. A. P. *Synthesis* **2003**, 6, 894;
3. (a) Bonacorso, H. G.; Wastowski, A. D.; Zanatta, N.; Martins, M. A. P *Synth. Comm.*, **2000**, 30, 1457. (b) Bonacorso, H. G; Wastowski, A. D.; Zanatta, N.; Martins, M. A. P.; Naue, J. A. *J Fluorine Chem.* **1998**, 92, 23.
4. (a) Martins, M. A. P.; Pereira, C. M. P.; Beck, P.; Machado, P.; Moura, S.; Teixeira, M. V.; Bonacorso, H. G.; Zanatta, N. *Tetrahedron Lett.* **2003**, 44, 6669. (b) Braibante, M. E. F.; Clar, G.; Martins, M. A. P. *J. Heterocyclic Chem.* **1993**, 30, 1159. (c) Flores, A. F. C.; Martins, M. A. P.; Rosa, A.; Flores, D. C.; Zanatta, N.; Bonacorso, H. G. *Synth. Comm.*, **2002**, 32, 1585. (d) Martins, M. A. P.; Freitag, R. A.; Flores, A. F. C.; Zanatta, N. *Syntesis*, **1995**, 1491. (e) Martins, M. A. P.; Freitag, R. A.; Rosa, A.; Flores, A. F. C.; Zanatta, N.; Bonacorso, H. G.; *J. Heterocyclic Chem.* **1999**, 36, 217. (f) Flores, A. F. C.; Zanatta, N.; Rosa, A.; Brondani, S.; Martins, M. A. P. *Tetrahedron Lett.* **2002**, 43, 5005. (g) Bonacorso, H. G.; Oliveira, M.R.; Wentz, A.P.; Wastowski, A. D.; Oliveira, A.B.; Hörner, M.; Zanatta, N.; Martins, M. A. P. *Tetrahedron* **1999**, 55, 345; (h) Bonacorso, H. G.; Wastowski, A. D.; Zanatta, N.; Martins, M. A. P. *Synth. Commun.* **2000**, 30, 1457; (i) Martins, M. A. P.; Pereira, C. M. P.; Zimmermann, N. E. K; Moura, S.; Sinhorin, A. P.; Cunico, W.; Zanatta. N.; Bonacorso, H. G.; Flores, A. F. C. *Synthesis* **2003**,

- 15, 2353; ; (j) Bonacorso, H. G.; Muniz, M.N.; Wastowski, A.D.; Zanatta, N.; Martins, M. A. P. *Heteroatom Chem.* **2003**, 14, 132;
5. (a) Bonacorso, H. G.; Lopes, I. S.; Wastowski, A. D.; Zanatta, N.; Martins, M. A. P. *J Fluorine Chem.* **2003**, 120, 29. (b) Zanatta, N.; Pacholski, I. L.; Blanco, I.; Martins, M. A. P. *J. Braz. Chem. Soc.*, **1991**, 2, 118. (c) Zanatta, N.; Blanco, I.; Pacholski, I. L.; Martins, M. A. P. *Quím. Nova*, **1993**, 16, 15. (d) Bonacorso, H. G.; Lourega, R. V.; Wastowski, A. D.; Flores, A. F. C.; Zanatta, N.; Martins, M. A. P. *Tetrahedron Lett.* **2002**, 43, 9315.
6. (a) El-Gabi, M. S. A.; Atall, A. A.; Gaber, A. M.; Al-Wahab, K.A.A. *II Famaco*, **2000**, 55, 596. (b) Yiu, L.; Liebscher, J.; *Synthesis*, **2005**, 1, 0131. (c) Selleri, S.; Bruni, F.; Costagli, C.; Costanzo, A.; Guerrini, G.; Ciciani, G.; Costa, B.; Martini, C. *Bioorg. and Med. Chem.*, **1999**, 7, 2705. (d) Williamson, D. S.; Parrat, M. J.; Bower, J. F.; Moore, J. D.; Richardson, C. M.; Dokurno, P.; Cansfield, A. D.; Francis, G. L.; Hebdon, R. J.; Howes, R.; Jackson, P. S.; Lockie, A. M.; Murray, J. B.; Nunns, C. L.; Powles, J.; Robertson, A.; Surgenor, A. E.; Torrance, C. J. *Bioorg. and Med. Chem. Lett.*, **2005**, 15, 863. (e) Devesa, I.; Alcaraz, M. J.; Riguera, R.; Ferrández, M. L. *European Journal Pharmacology*, **2004**, 488, 225. (f) Almansa, C.; Arriba, A. F.; Cavalcanti, F. L.; Gómes, L. A.; Mirrales, A.; Merlos, M.; Rafanell, J. G.; Forn, J. *J. Med. Chem.* **2001**, 44, 350. (g) Fraley, M. E.; Hoffman, W. F.; Rubino, R. S.; Hungate, R. W.; Tebben, A. J.; Rutledge, R. Z.; McFall, R. C.; Huckle, W. R.; Kendall, R. L.; Coll, K. E.; Thomas, K. A. *Bioorg. and Med. Chem. Lett.*, **2002**, 12, 2767.
7. Penning, T. D. et all. *J. Med. Chem.* **1997**, 40, 1347.
8. (a) George, C. F. P. *The Lancet* **2001**, 357, 1623. (b) Weitzel, K. W.; Wickman, J. M.; Augustin, S. G.; Strom, J. G. *Clinical Therapeutics* **2000**, 22, 1254. (b) Moore, K. A.; Zemrus, T. L.; Ramcharitar, V.; Levine, B.; Fowler, D. R. *Forensic Science International*, **2003**, 134, 120.
9. Casida, J. E.; Hainzl, D.; Cole, L. M. *Chem. Res. Toxicol.* **1998**, 11, 1529.
10. Novinson, T.; Bhooshan, B.; Okabe, T.; Revankar, G. R.; Wilson, H. R. *J. Med. Chem.* **1976**, 19, 512.
11. Senga, K.; Novinson, T.; Wilson, H. R. *J. Med. Chem.* **1981**, 24, 610.
12. Suzuki, M.; Iwasaki, H.; Fujikawa, Y.; Sakashita, M.; Kitahara, M.; Sakoda, R. *Bioorg. Med. Chem.* **2001**, 11, 1285.

13. Almansa, C.; Arriba, A. F.; Cavalcanti, F. L.; Gomes, L. A.; Mirrales, A.; Forn, J. *J. Med. Chem.* **2001**, *44*, 350.
14. Kirkpatrick, W. E.; Okabe, T.; Hillyard, I. W.; Robin, R. K.; Dren, A. T. *J. Med. Chem.* **1977**, *20*, 386.
15. Hojo, M.; Masuda, R.; Sakaguchi, S.; Takagawa, M. *Synthesis*, **1986**, 1016.
16. Martins, M. A. P.; Siqueira, G. M.; Bastos, G. P.; Bonacorso, H. G.; Zanatta, N. *J. Heterocyclic Chem.* **1996**, *33*, 1619. (b) Martins, M. A. P.; Bastos, G. P.; Zimmermann, N. E. K.; Rosa, A.; Brondani, S.; Emerich, D.; Bonacorso, H. G.; Zanatta, *J Fluorine Chem.*, **2003**, *123*, 249. (c) Martins, M. A. P.; Sinhorin, A. P.; Bastos, G. P.; Flores, A. F. C.; Bonacorso, H. G.; Zanatta, N. *Sinlett*, **1999**, *17*, 789. (d) (a) Flores, A. F. C.; Brondani, S.; Zanatta, N.; Rosa, A.; Martins, M. A. *Tetrahedron Lett.* **2002**, *43*, 8701.
17. Martins, M. A. P.; Zoch, A. N.; Flores, A. F. C.; Clar, G.; Zanatta, N.; Bonacorso, H. G. *J. Heterocyclic Chem.* **1995**, *32*, 739.
18. Colla, A.; Martins, M. A. P.; Clar, G.; Krimmer, S.; Fischer, P. *Synthesis* **1991**, *483*.
19. Pacholski, I. L.; Blanco, I.; Zanatta, N.; Martins, M. A. P. *J. Braz. Chem. Soc.*, **1991**, *1*, 118. *Chem Abstr.*, **1997**, *120*, 323443n.
20. Flores, A. F. C.; Siqueira, G. M.; Freitag, R.; Zanatta, N.; Martins, M. A. P. *Quím. Nova* **1994**, *17*, 298.
21. Hojo, M.; Kamitori, Y.; Masuda, R. *Tetrahedron Lett.* **1976**, *13*, 1009.
22. Wohl, R. A. *Synthesis* **1974**, *38*.
23. Madruga, C. C.; Clerici, E.; Martins, M. A. P.; Zanatta, N. *J. Heterocyclic Chem.* **1995**, *32*, 735.
24. Effenberger, E. *Angew. Chem.*, **1969**, *81*, 374.
25. Effenberger, F.; Maier, R.; Schönwälder, K.-H.; Ziegler, T. *Chem. Ber.* **1982**, *115*, 2766.
26. Martins, M. A. P.; Cunico, W.; Pereira, C.M.P.; Flores, A.F.C.; Bonacorso H.G.; Zanatta, N. *Curr. Org. Synthesis* **2004**, *1*, 391.
27. Elassar, A-Z. A.; El, Khair, A. A. *Tetrahedron*, **2003**, *59*, 8463.
28. Murphy, W. S.; Bertrand, M. *J. Chem. Soc., Perkin Trans. 1* **1998**, *4115*.
29. Kirschbaum, S.; Waldmann, H. *J. Org. Chem.*, **1998**, *63*, 4936.

- 30.(a) Trautwein, A. W.; Jung, G. *Tetrahedron Lett.* **1998**, 39, 8263. (b) Hojo, M.; Okada, E.; Masuda, R.; Inoue, R. *Synthesis* **1992**, 533. (c) Sommen, G.; Comel, A.; Kirsch, G. *Tetrahedron* **2003**, 59, 1557.
31. Maeba, I.; Ito, Y.; Wakimara, M.; Ito, C. *Heterocyclic*, **1993**, 36, 1617.
32. Yu, H. B.; Huang, W. Y. *J Fluorine Chem.*, **1997**, 84, 65.
33. Katritzky, A. R.; Fang, Y.; Donkor, A.; Xu, J. *Syntesis*, **2000**, 2029.
34. Cunico, W. J. F. *Tese de Doutorado*, Universidade Federal de Santa Maria, **2004**.
- 35.(a) Lue, P.; Greenhill, J. V. *Adv. Heterocyclic. Chem.* **1997**, 67, 215. (b) Elassar, A.-Z. A.; El-Khair A. A. *Tetrahedron* **2003**, 59, 8463.
36. Tseng, S-S.; Epstein, J. W.; Bradander, H. J.; Francisco, G. J. *Heterocyclic Chem.* **1987**, 1241, 837.
37. Al-Omran, F.; Elassar, A-Z. A.; El-Khair, A. A. *Tetrahedron*, **2001**, 57, 10163.
38. Gorobets, N. Y.; Yousefi, B. H.; Belaj, F.; Kappe, C. O. *Tetrahedron*, **2004**, 60, 8633.
- 39.(a) Hojo, M.; Masuda, R.; Okada, E.; Sakaguchi, S.; Narumiya, H.; Morimoto, K. *Tetrahedron Lett.*, **1989**, 30, 6173. (b) Hojo, M.; Masuda, R.; Okada, E.; Yamamoto, H.; Morimoto, K.; Okada, K. *Synthesis*, **1990**, 195.
40. Tietze, L. F.; Bergmann, A.; Brill, G.; Brüggemann, K.; Hartfiel, U.; Voss, E. *Chem. Ber.* **1989**, 122, 83.
41. (a) Zanatta, N.; Squizani, A.M.C.; Fantinel, L.; Nachtigall, F.M.; Bonacorso, H. G.; Martins, M. A. P. *Synthesis*, **2002**, 16, 2409; (b) Bonacorso, H. G.; Wentz, A.P.; Bittencourt, S.R.T.; Marques, L.M.L.; Zanatta, N.; Martins, M. A. P. *Synth. Commun.* **2002**, 32, 335; (c) Zanatta, N.; Barichello, R.; Pauleto, M.M.; Bonacorso, H. G.; Martins, M. A. P. *Tetrahedron Lett.* **2003**, 44, 961.
42. Rosa, F. A. *Tese de Mestrado*, Universidade Federal de Santa Maria, **2004**.
43. Yiu, L.; Liebscher, J.; *Syntesis*, **2004**, 14, 2329.
44. Gopalsamy, A.; Yang, H.; Ellingboe, J. W.; Tsou, H.; Zhang, N.; Honores, E.; Powel, D.; Miranda, M.; McGinnis, J. P.; Rabindran, S. K. *Bioorg. and Med. Chem. Lett.*, **2005**, 15, 1591.
45. Selleri, S.; Bruni, F.; Costagli, C.; Costanzo, A.; Guerrini, G.; Ciciani, G.; Costa, B.; Martini, C. *Bioorg. and Med. Chem.*, **2001**, 9, 2661.

46. Compton, D. R.; Sheng, S.; Carlson, K. E.; Rebacz, N. A.; Lee, I. Y.; Katzenellenbogen, B. S.; Katzenellenbogen, J. A. *J. Med. Chem.*, **2004**, 47, 5872.
47. Fabron, J.; Pastor, R.; Cambon, A. *J. Fluorine Chem.* **1991**, 51, 141.
48. Singh, S. P.; Naithani, R.; Aggarwal, R.; Prakash, O. *Synth. Commun.*, **2004**, 34, 4359.
49. Fraley, M. E.; Hoffman, W. F.; Rubino, R. S.; Hungate, R. W.; Tebben, A. J.; Rutledge, R. Z.; McFall, R. C.; Huckle, W. R.; Kendall, R. L.; Coll, K. E.; Thomas, K. A. *Bioorg. and Med. Chem. Lett.*, **2002**, 12, 2767.
50. Stefani, H. A.; Pereira, C. M. P.; Almeida, R. B.; Braga, R. C.; Guzen, K. P.; Cella, R. *Tetrahedron Lett.*, **2005**, 46, 6833.
51. Dalinger, I. L.; Vatsadse, I. A.; Shevelev, S. A.; Ivachtchenko, A. V. *J. Comb. Chem.*, **2005**, 7, 236.
52. Burchat, A. F.; Calderwood, D. J.; Friedman, M. M.; Hirst, G. C.; Li, B.; Rafferty, P.; Ritter, K.; Skinner, B. S. *Bioorg. and Med. Chem. Lett.*, **2002**, 12, 1687.
53. Eicher, T.; Hauptmann, S. *The Chemistry of Heterocycles* **1995**, Georg Thieme Verlag Stuttgart, New York, pp 6-13.
54. Chern, J. W.; Lee, C. C.; Liaw, Y. C.; Wang, A. H. *J. Heterocycles*, **1992**, 34(6), 1133.
55. Fabron, J.; Pastor, R.; Cambon, A. *J. Fluorine Chem.* **1991**, 51, 141.
56. Sheldrick, G. M. SHELXS-97 and SHELXL-97, Programs for Crystal structure Solution and Refinement: Universität Göttingen, Germany, **1997**.
57. ESPINEL-INGROFF, A. & PFALLER, M. A. Antifungal agents and susceptibility testing. IN: Murray, P. R.; Baron, E. J.; Pfaller, M. A.; tenover, F. C. - Manual of Clinical Microbiology, 6^a Ed., American Society for Microbiology, Washington, p. 1405, **1995**.
58. National Committee for Clinical Laboratory Standards (**2002**). *Reference method for broth dilution antifungal susceptibility testing of yeasts: approved standard*. NCCLS document M27-A2. Wayne, P.A.; National Committee for Clinical Laboratory Standards.

59. National Committee for Clinical and laboratory Standards (**2000**). *Methods for dilution antimicrobial susceptibility tests for bacteria that grow aerobically; approved standard; 5^o edition.* NCCLS document M7-A5. Wayne, P.A.; National Committee for Clinical Laboratory Standards.

ANEXO 1

Espectro de massas dos compostos 2a-f, 4a-j, 5a-b,d, 6a-b, d-f, i-j

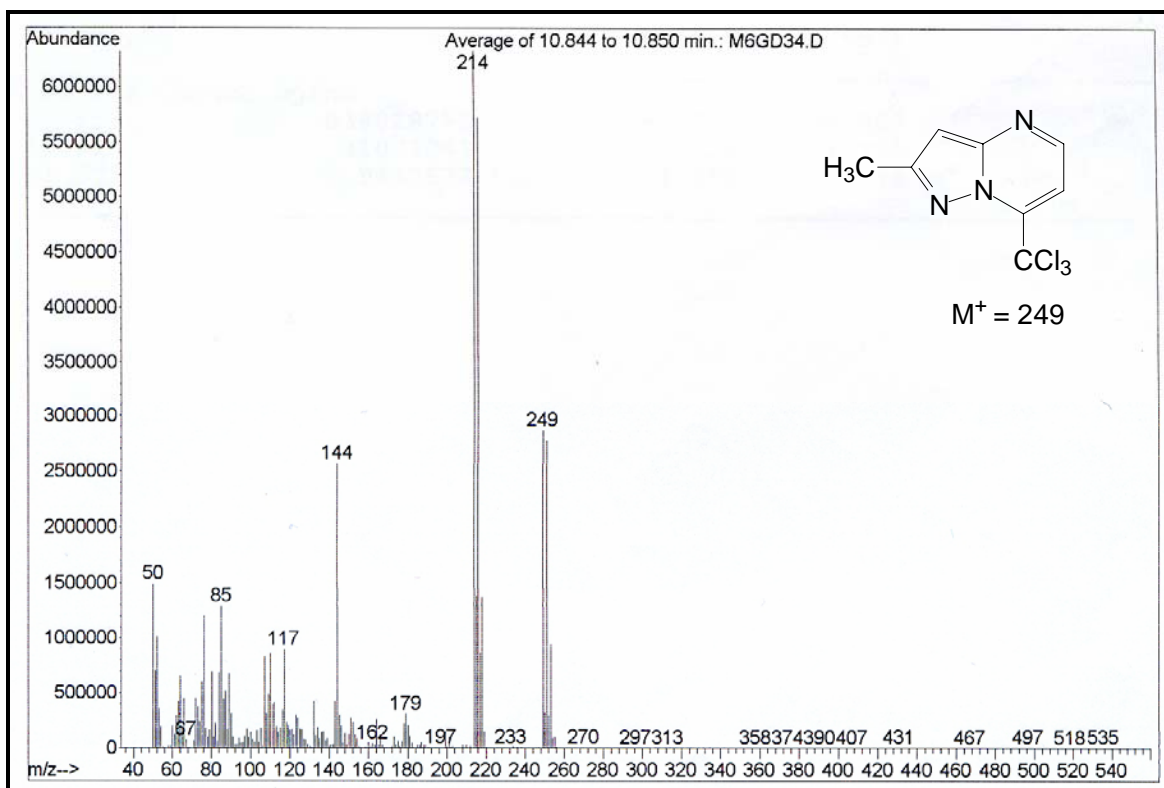


Figura 17: Espectro de massas 2-metil-7-triclorometilpirazolo[1,5-a]pirimidina **2a**

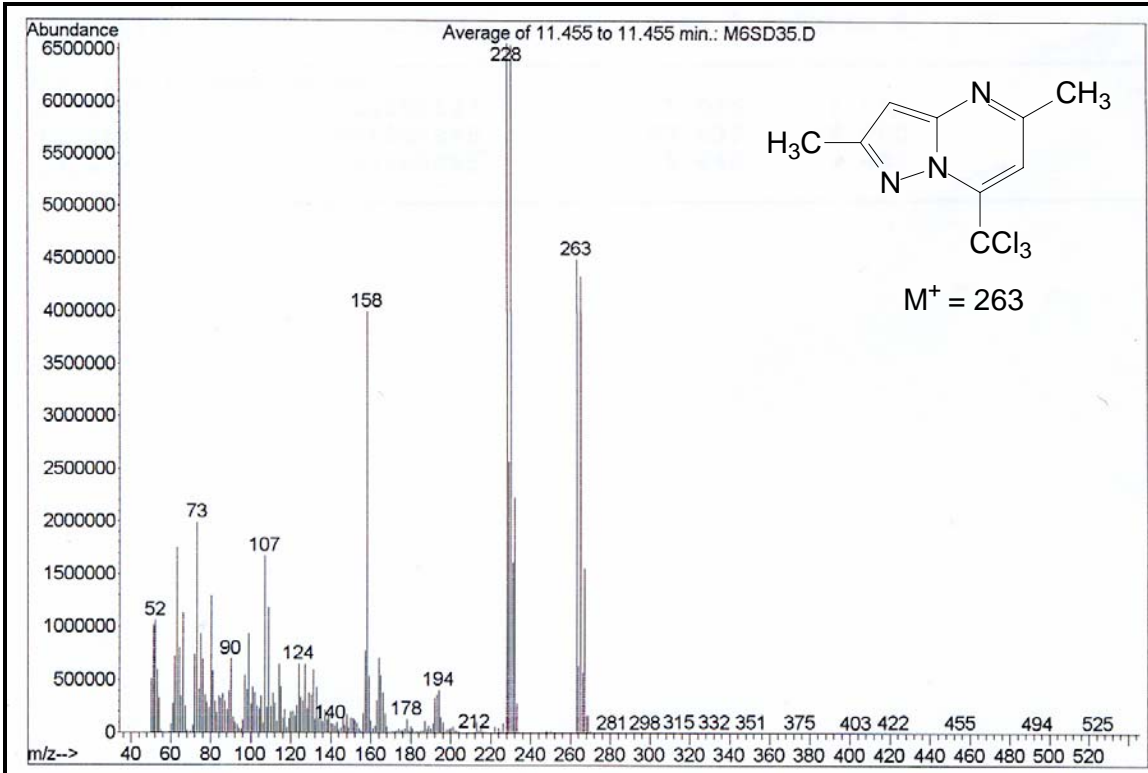


Figura 18: Espectro de massas 2-metil-7-triclorometil-5-metilpirazolo[1,5-a]pirimidina **2b**

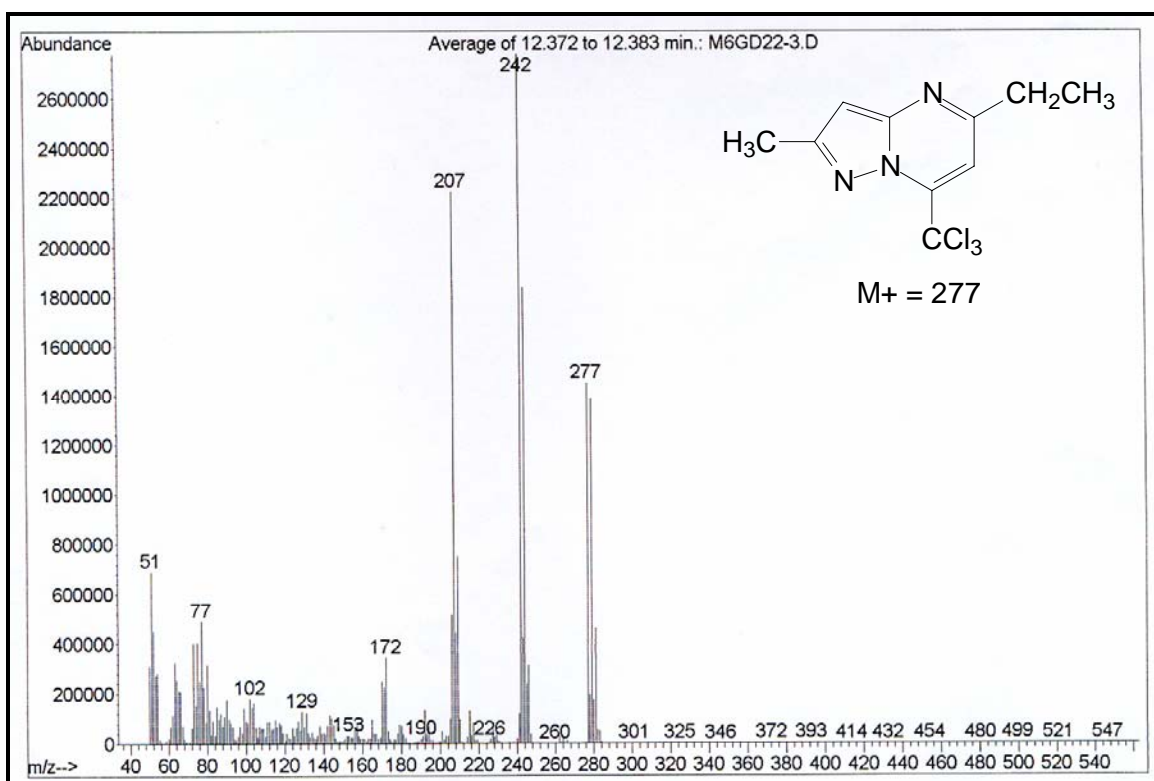


Figura 19: Espectro de massas 2-metil-7-triclorometil-5-etylpirazolo[1,5-a]pirimidina **2c**

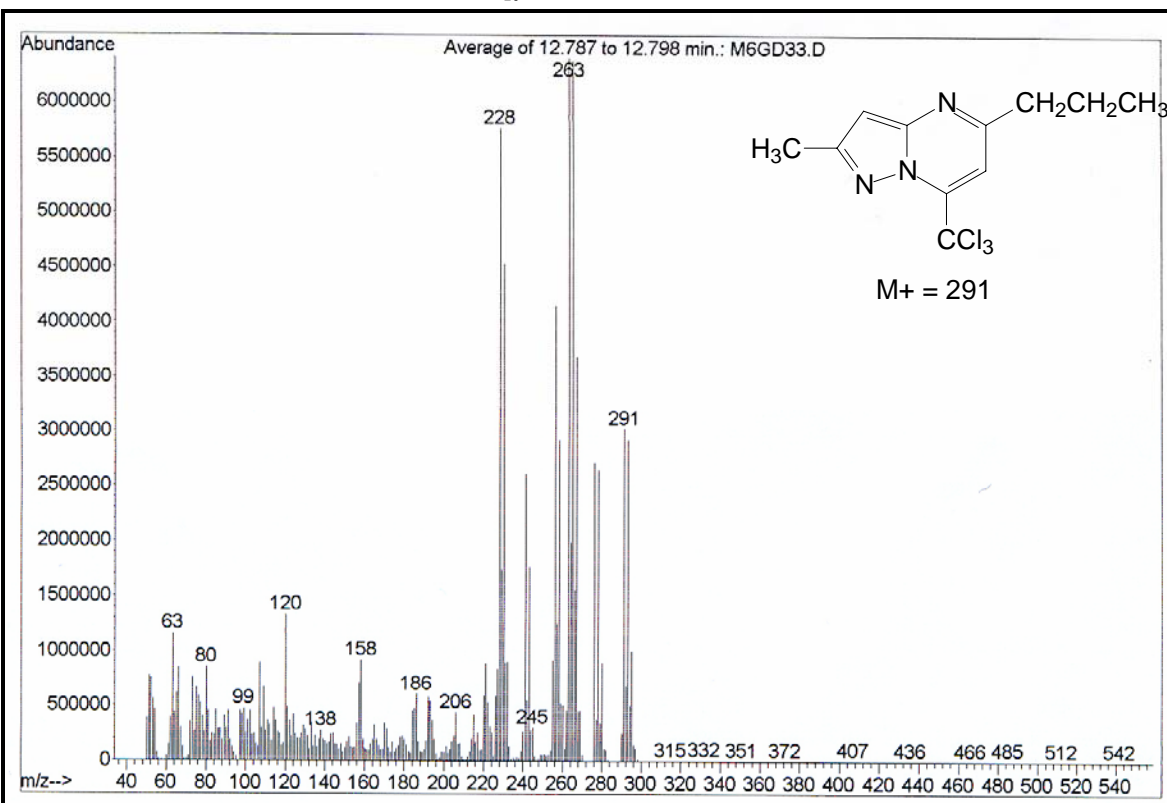


Figura 20: Espectro de massas 2-metil-7-triclorometil-5-propilpirazolo [1,5-a]pirimidina **2d**

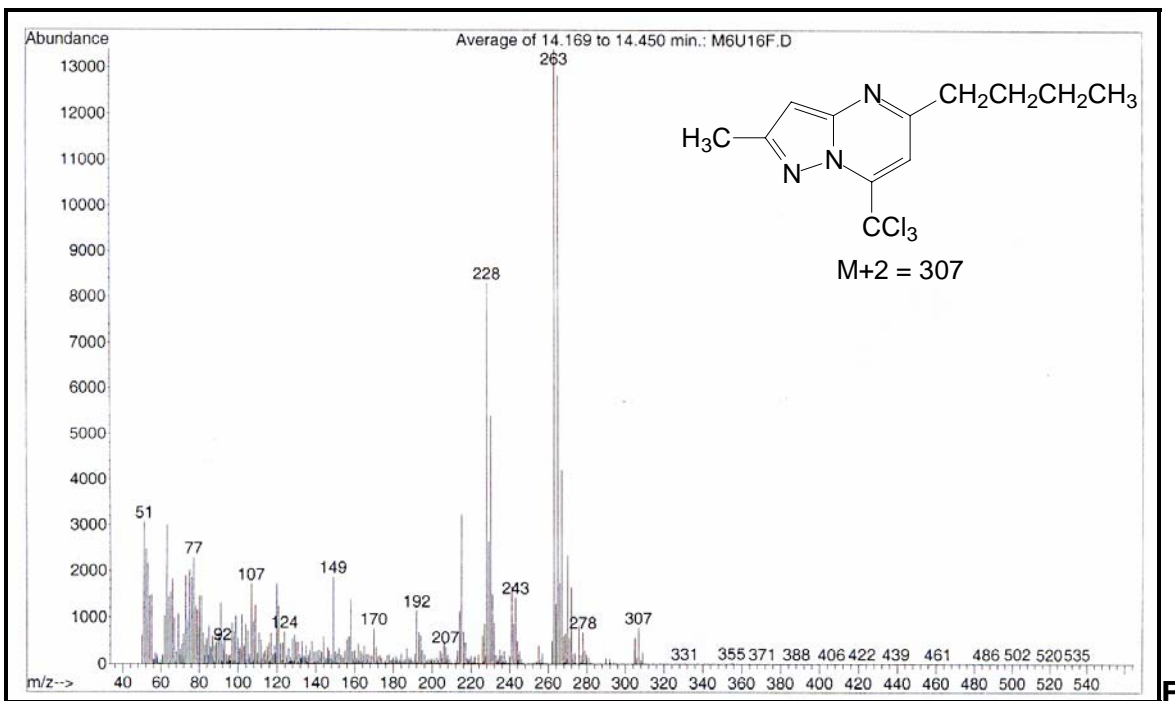


Figura 21: Espectro de massas 2-metil-7-triclorometil-5-butilpirazolo [1,5-a]pirimidina **2e**

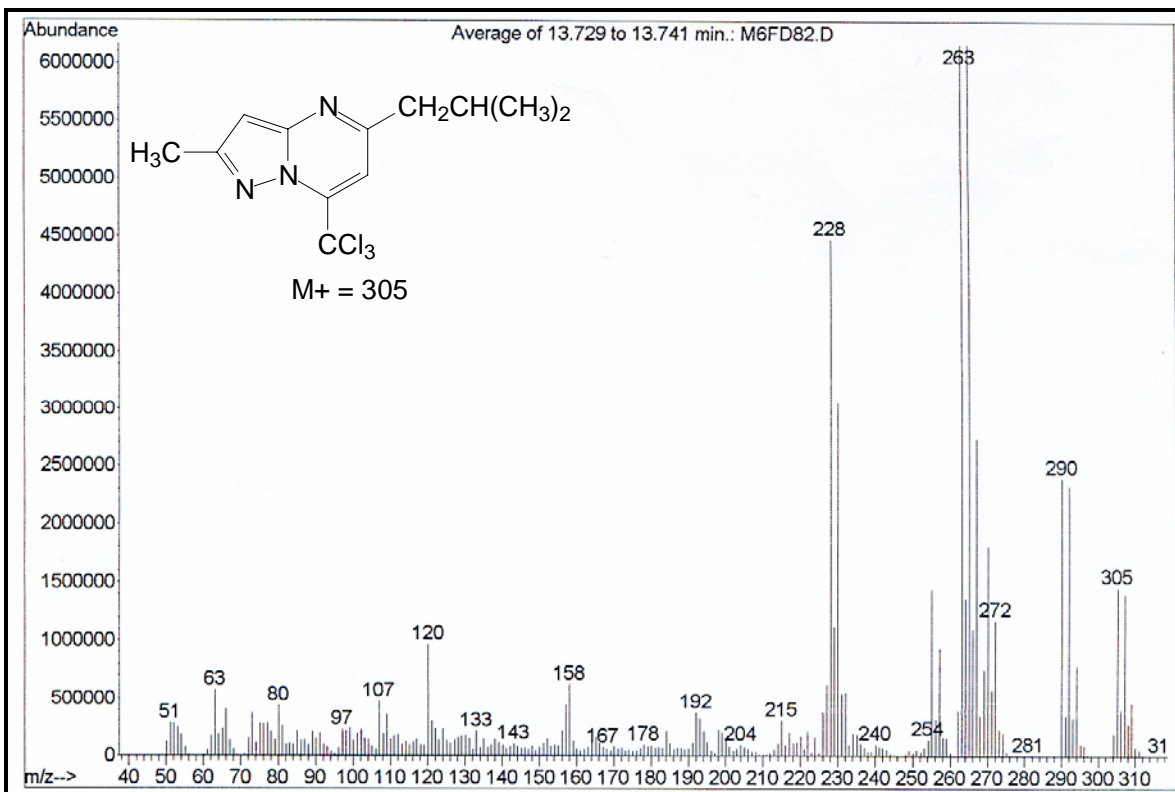


Figura 22: Espectro de massas 2-metil-7-triclorometil-5-isopropilpirazolo [1,5-a]pirimidina **2f**

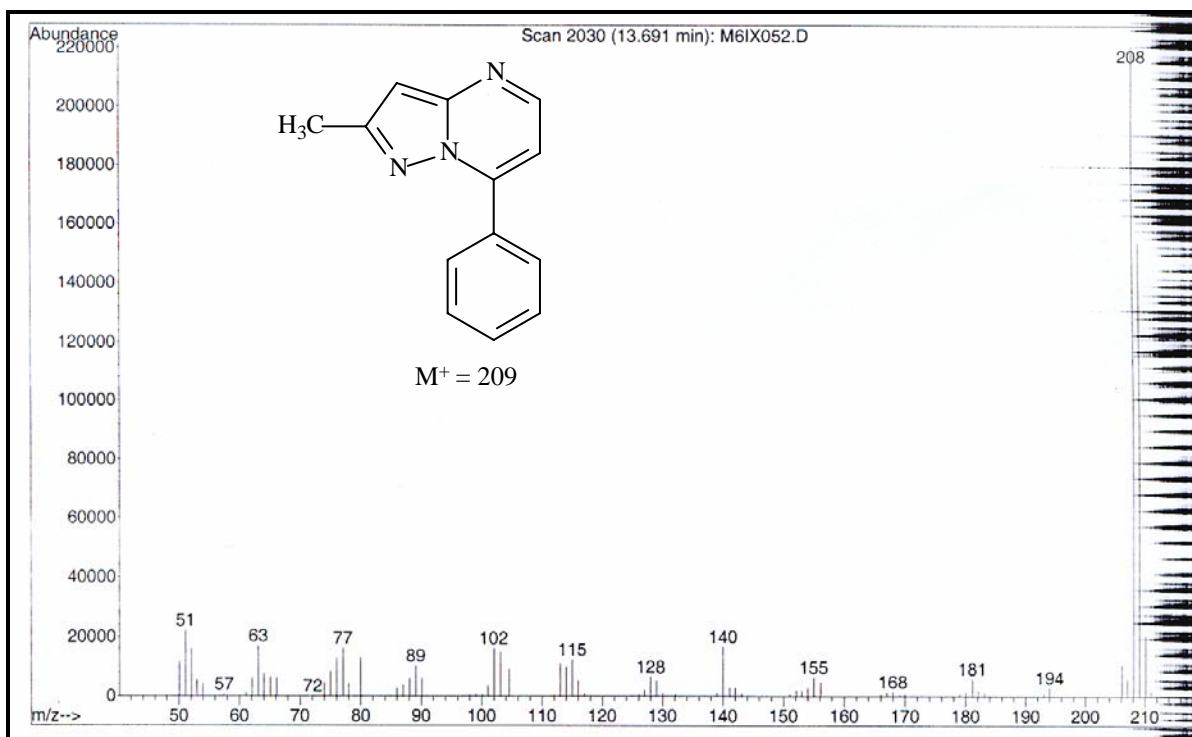


Figura 23: Espectro de massas 2-metil-7-fenilpirazolo[1,5-a]pirimidina **4a**

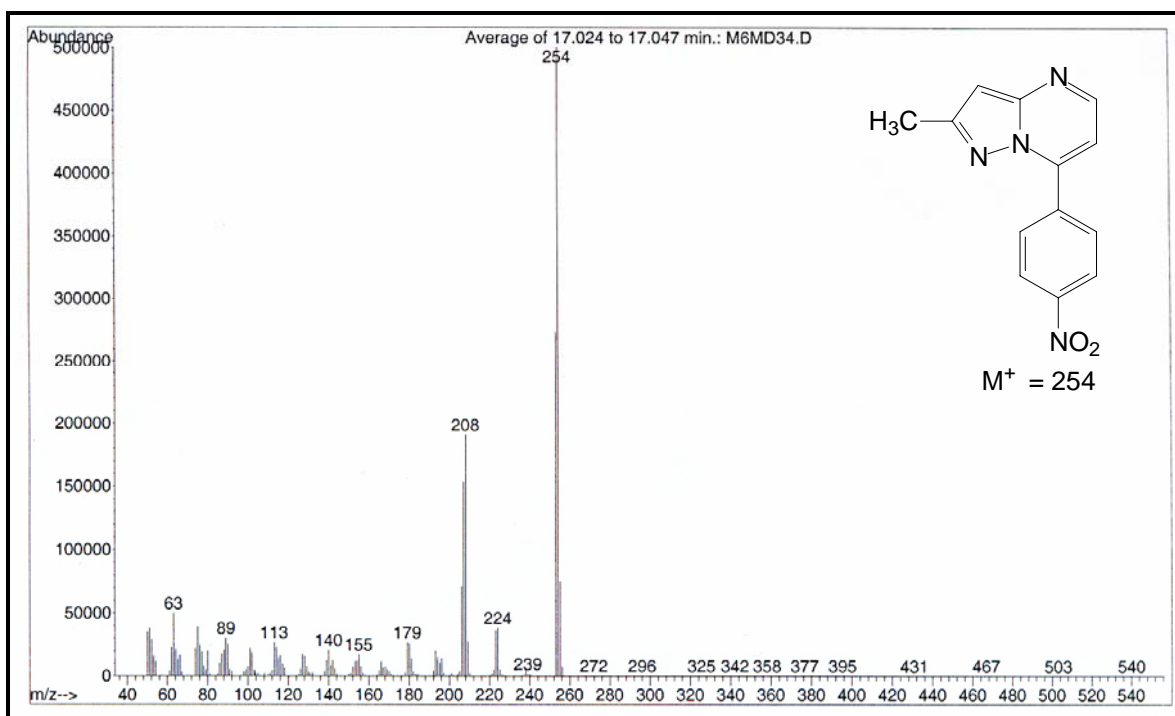


Figura 24: Espectro de massas 2-metil-7-(4-nitrofenil)pirazolo[1,5-a]pirimidina **4b**

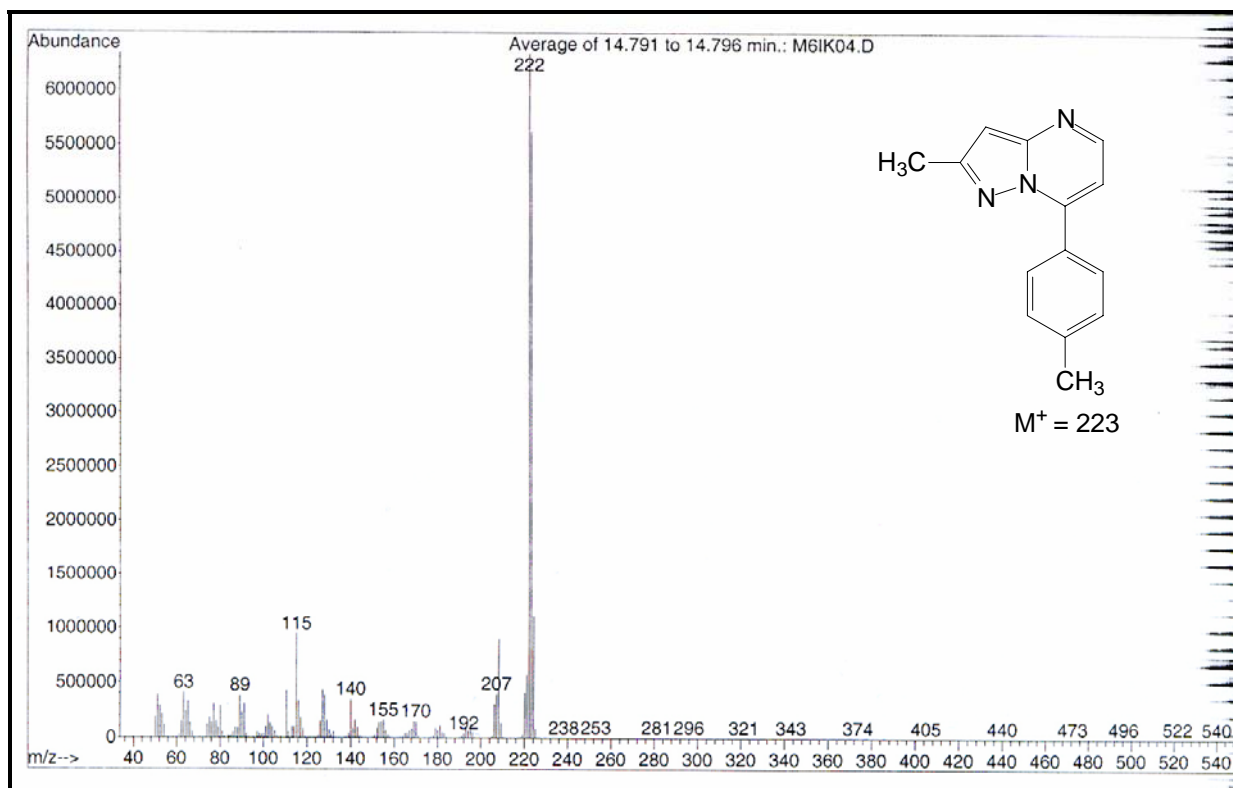


Figura 25: Espectro de massas 2-metil-7-(4-metilfenil)pirazolo[1,5-a]pirimidina **4c**

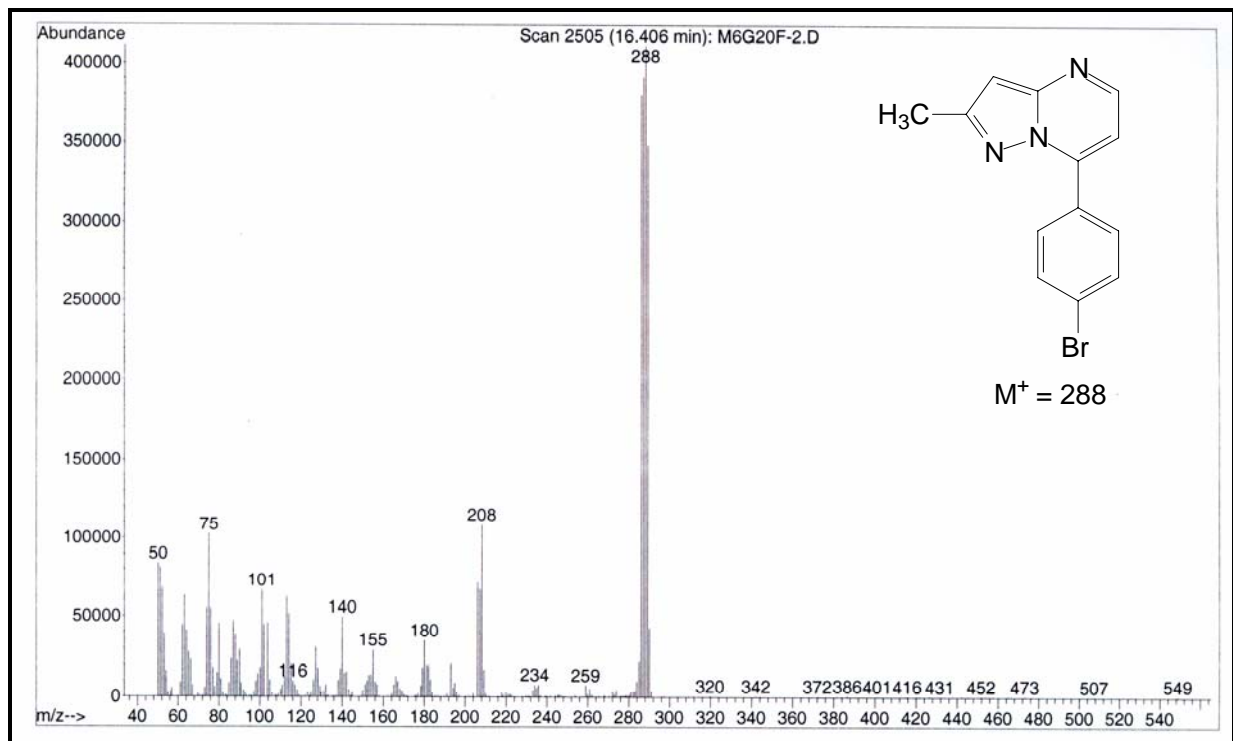


Figura 26: Espectro de massas 2-metil-7-(4-bromofenil)pirazolo[1,5-a]pirimidina **4d**

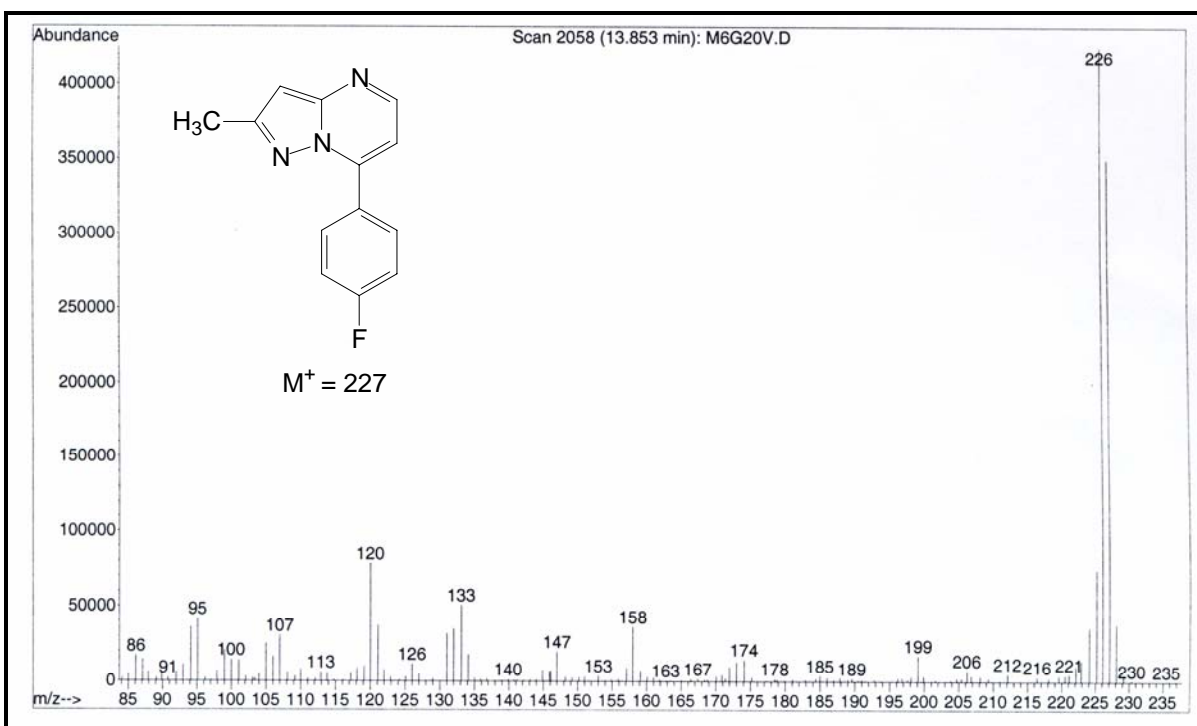


Figura 27: Espectro de massas 2-metil-7-(4-fluorfenil)pirazolo[1,5-a]pirimidina **4e**

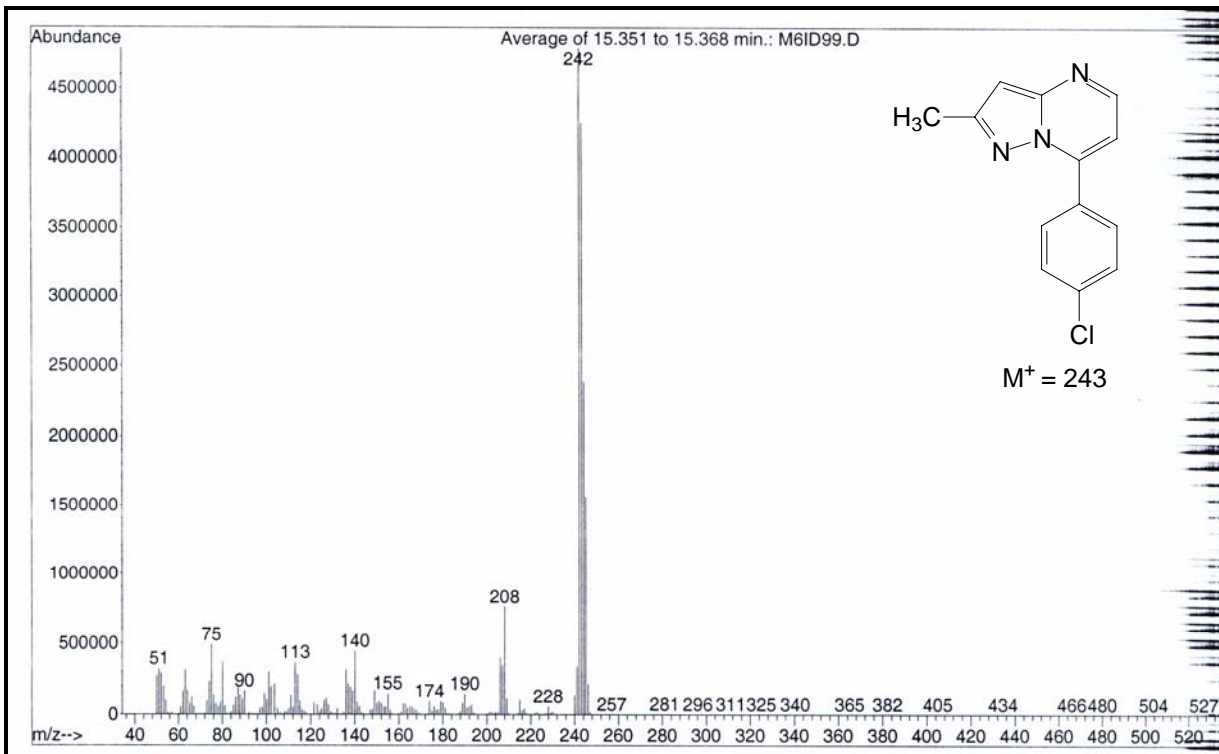


Figura 28: Espectro de massas 2-metil-7-(4-clorofenil)pirazolo[1,5-a]pirimidina **4f**

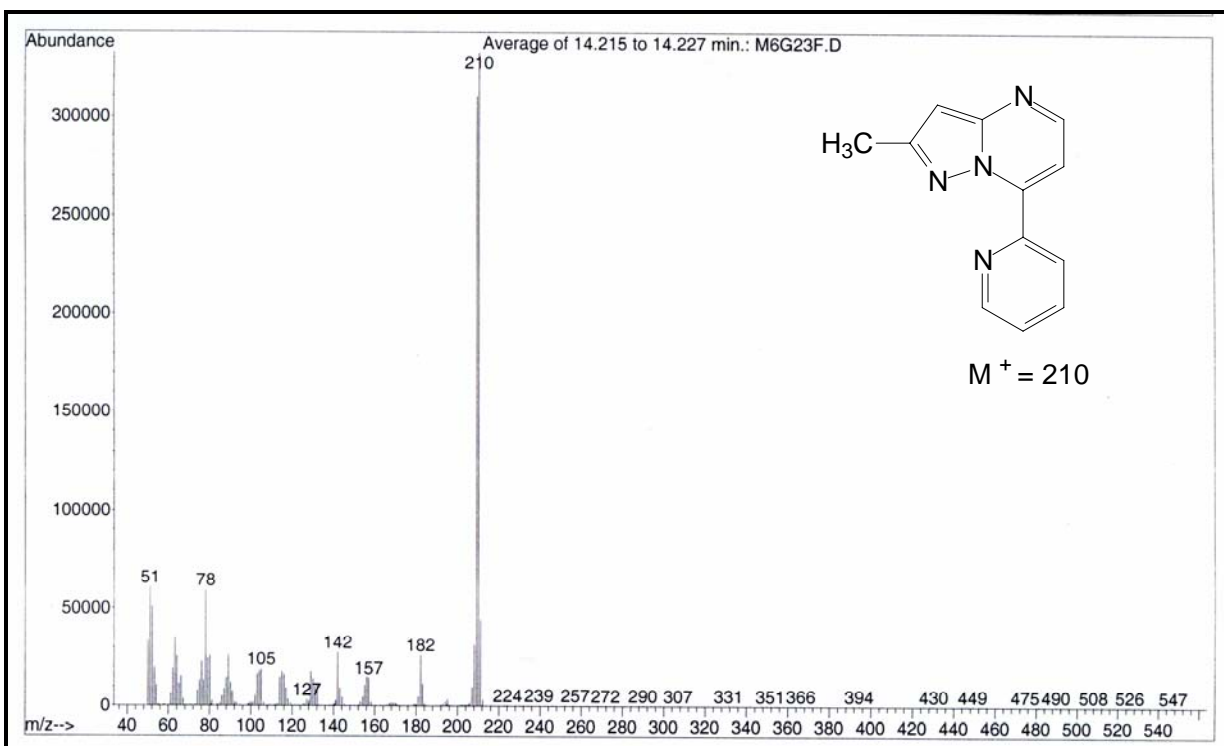


Figura 29: Espectro de massas 2-metil-7-(pirid-2-il)pirazolo[1,5-a]pirimidina **4g**

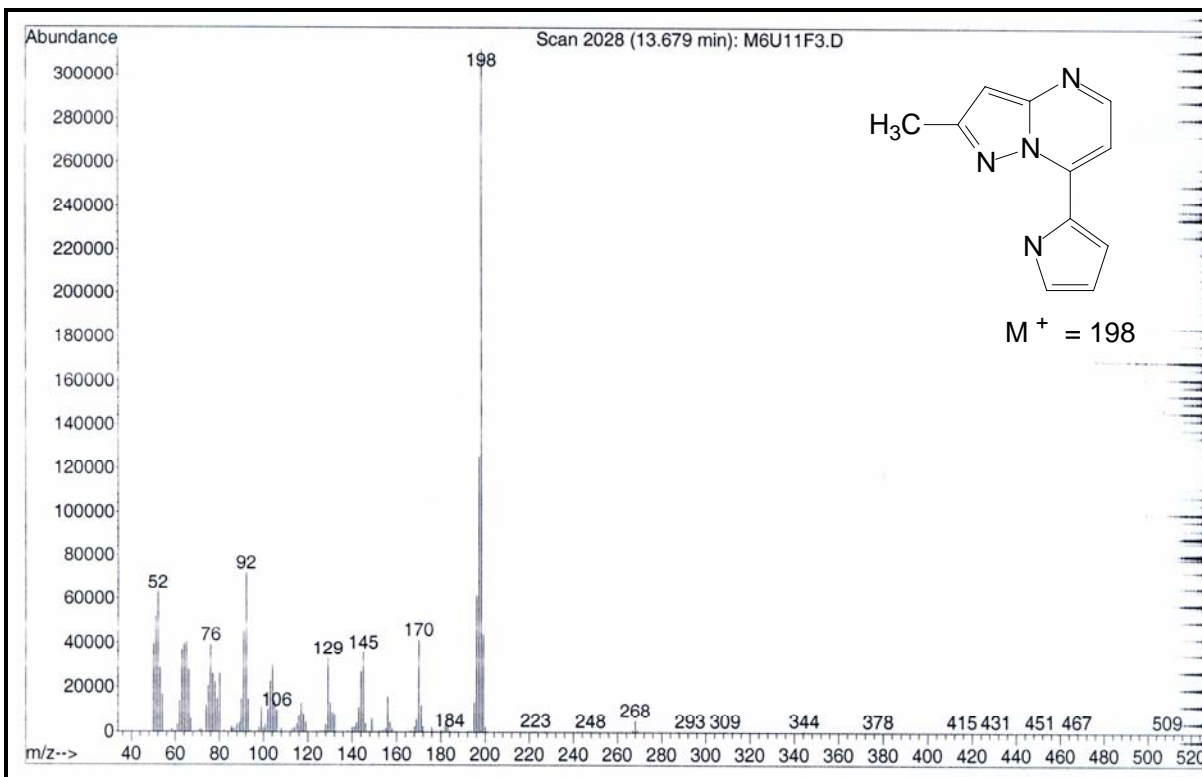


Figura 30: Espectro de massas 2-metil-7-(pirrol-2-il)pirazolo[1,5-a]pirimidina **4h**

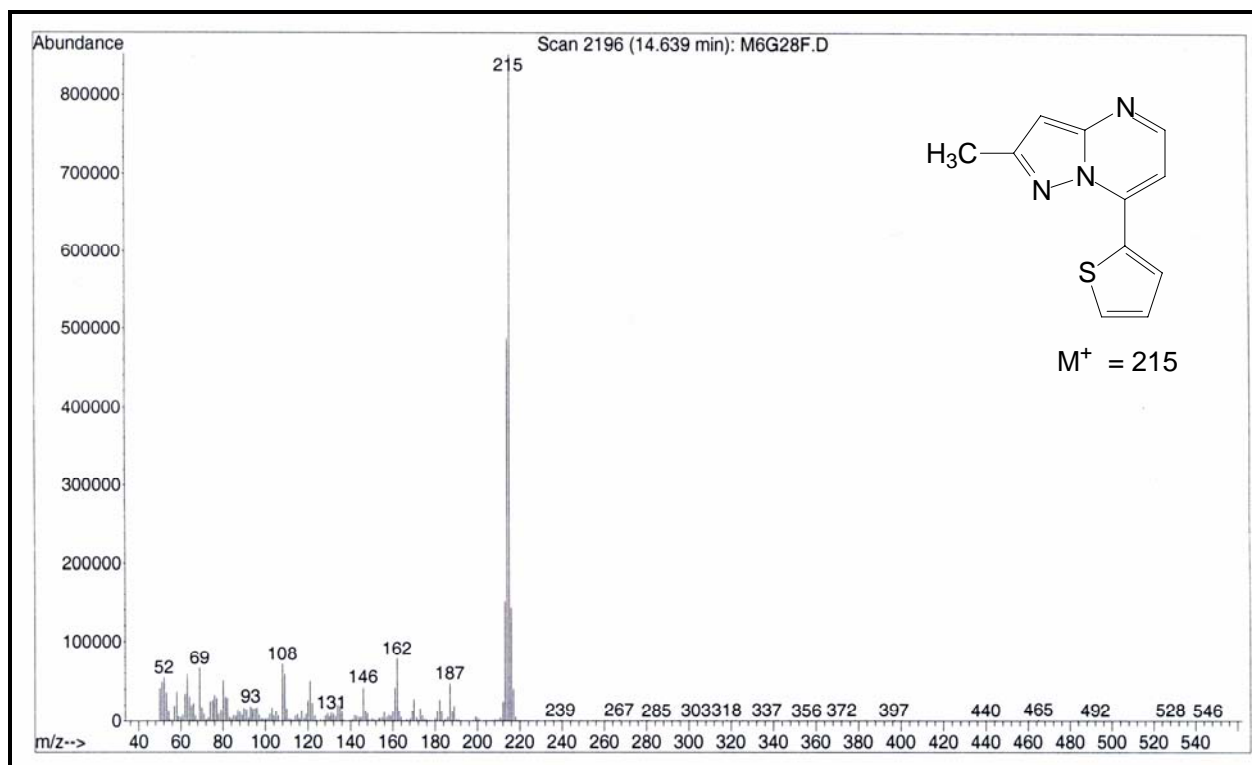


Figura 31: Espectro de massas 2-metil-7-(tien-2-il)pirazolo[1,5-a]pirimidina **4i**

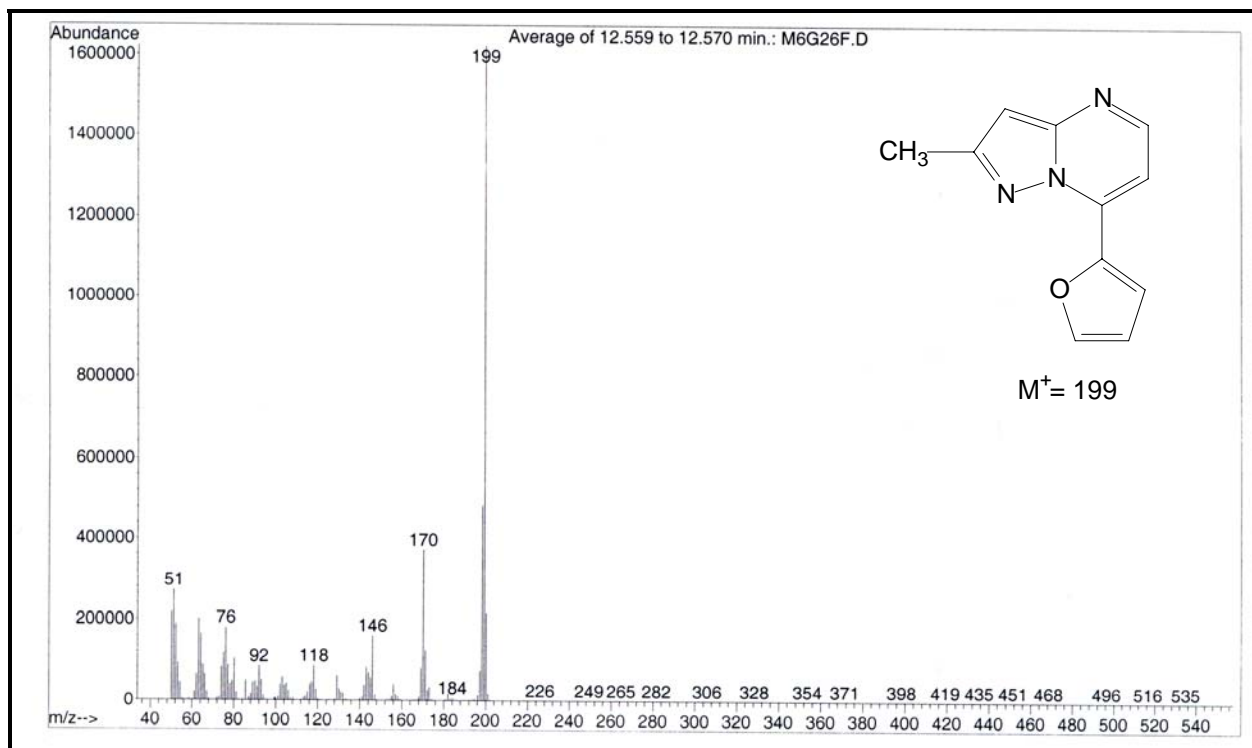


Figura 32: Espectro de massas 2-metil-7-(tien-2-il)pirazolo[1,5-a]pirimidina **4j**

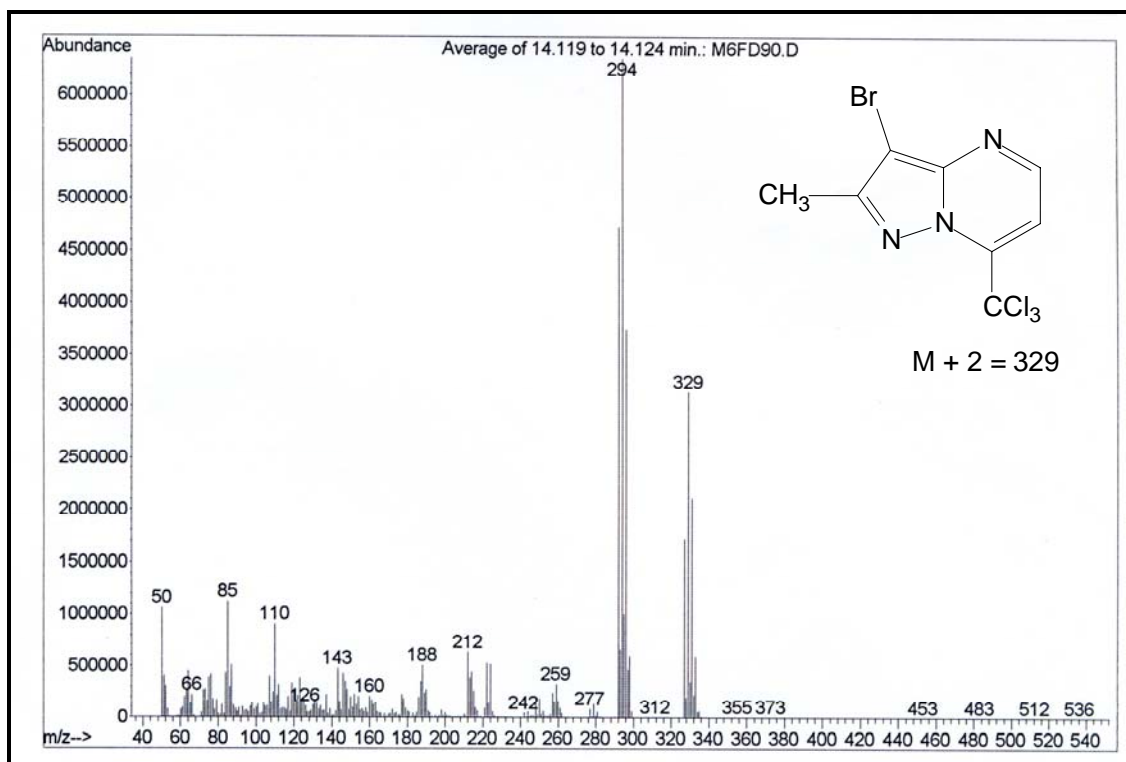


Figura 33: Espectro de massas 3-bromo-2-metil-7-triclorometilpirazolo [1,5-a]pirimidina **5a**

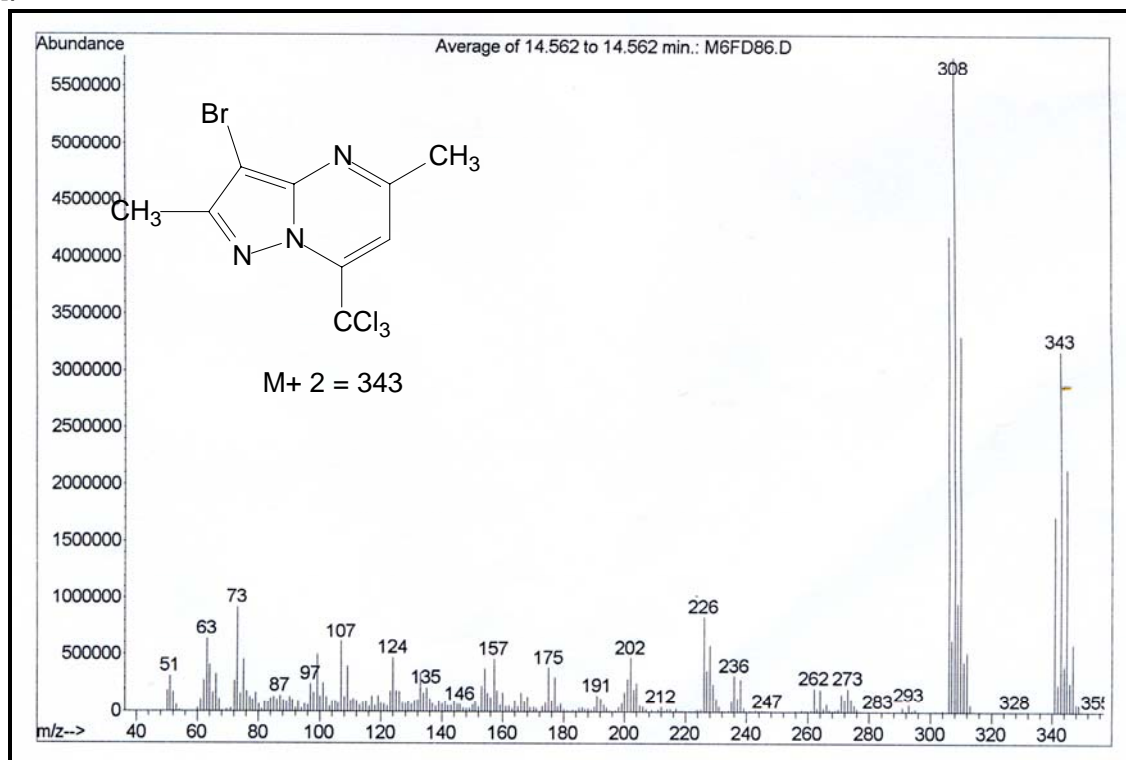


Figura 34: Espectro de massas 3-bromo-2-metil-7-trichlorometyl-5-metilpirazolo [1,5-a]pirimidina **5b**

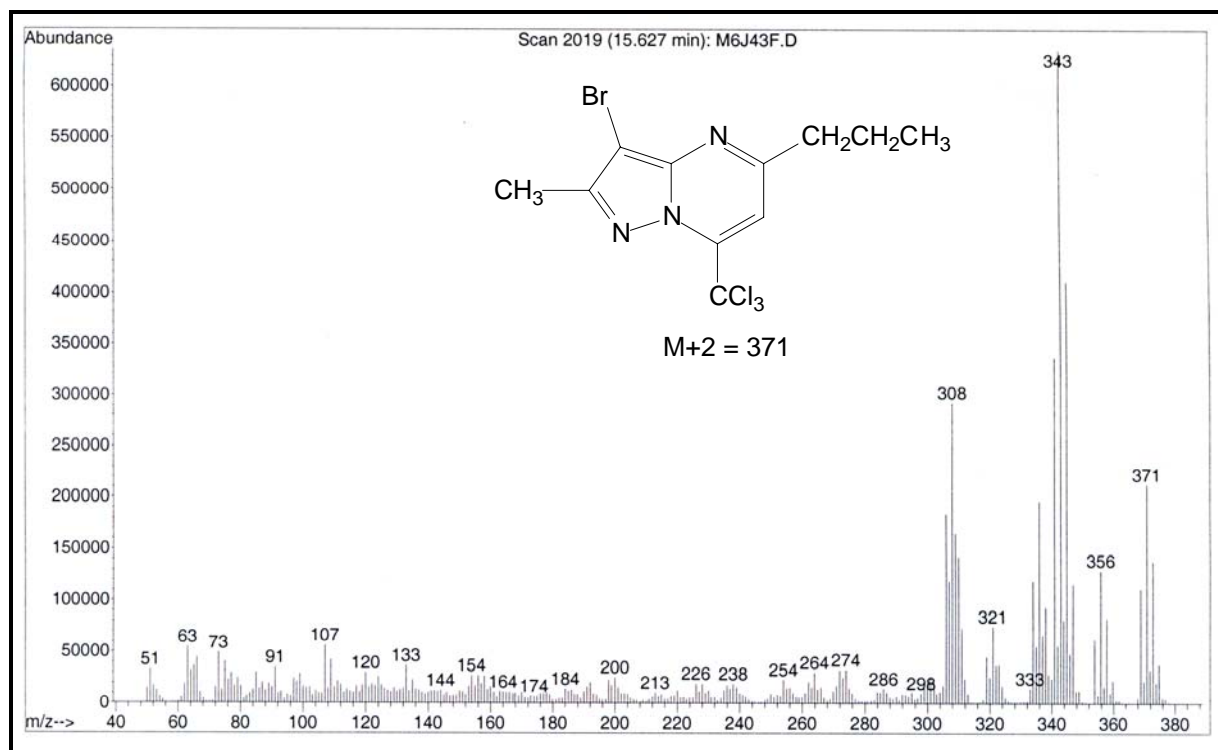


Figura 35: Espectro de massas 3-bromo-2-metil-7-triclorometil-5-metilpirazolo [1,5-a]pirimidina **5d**

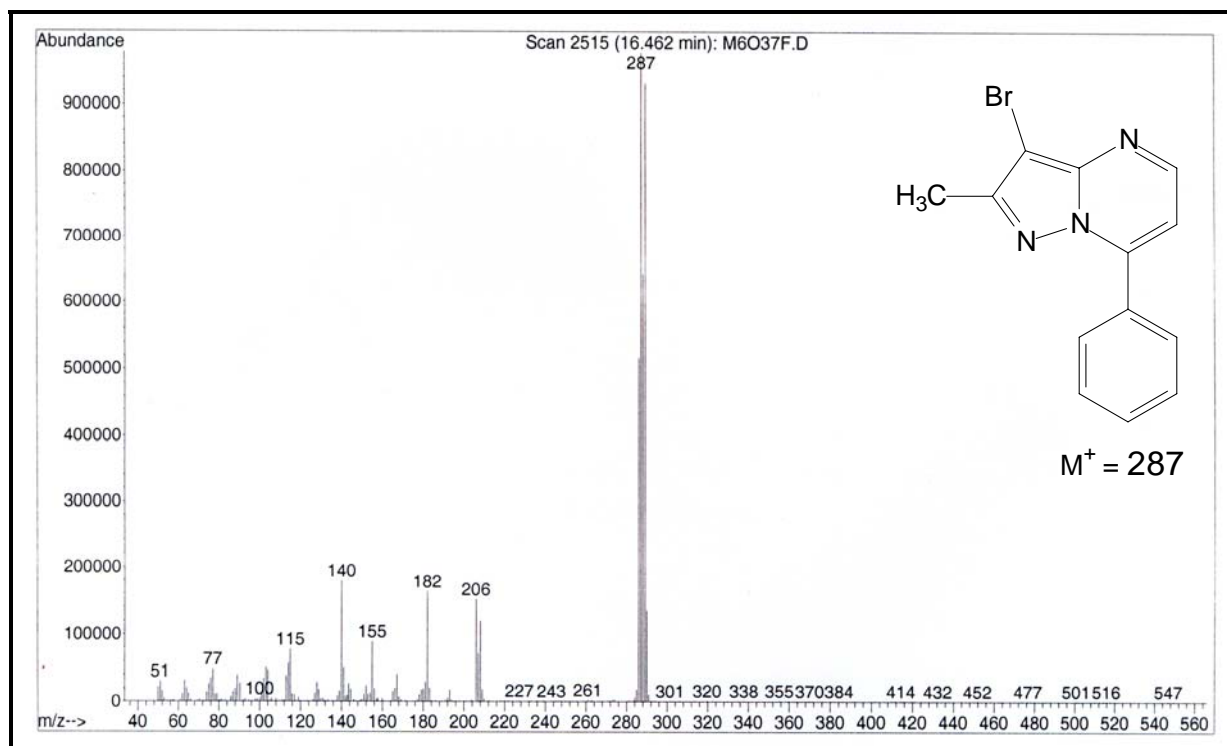


Figura 36: Espectro de massas 3-bromo-2-metil-7-fenilpirazolo[1,5-a]pirimidina **6a**

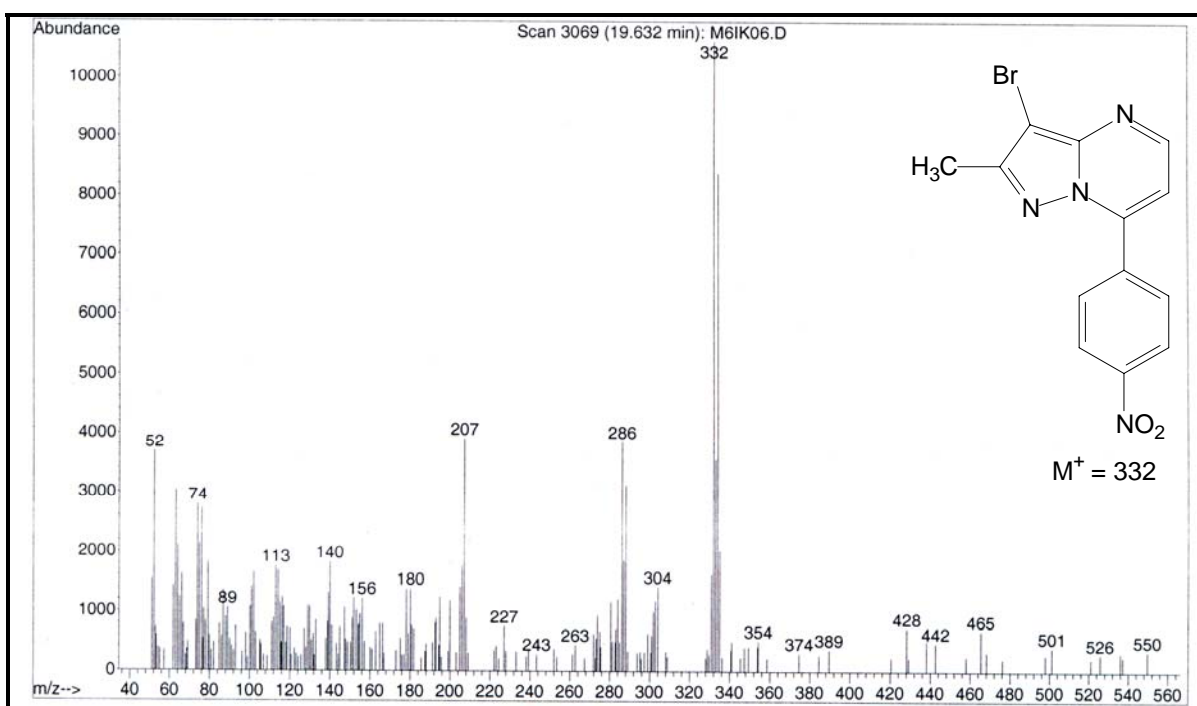


Figura 37: Espectro de massas 3-bromo-2-metil-7-nitrofenilpirazolo[1,5-a]pirimidina **6b**

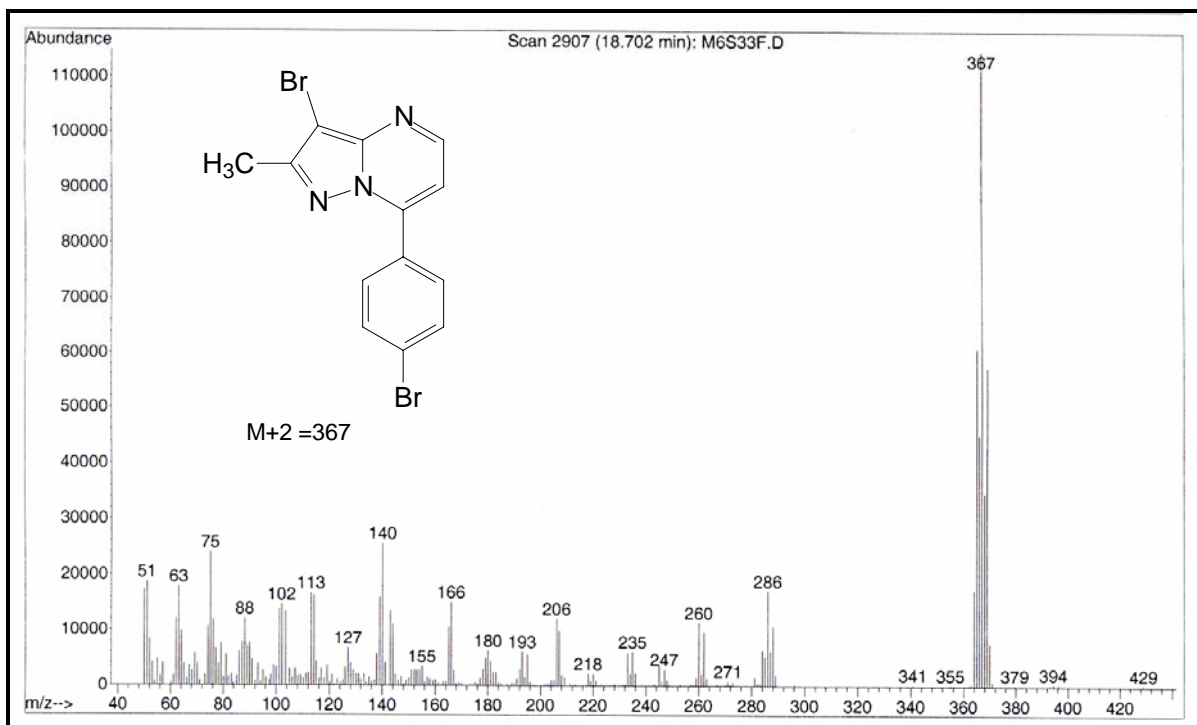


Figura 38: Espectro de massas 3-bromo-2-metil-7-(4-bromofenil)pirazolo[1,5-a]pirimidina **6d**

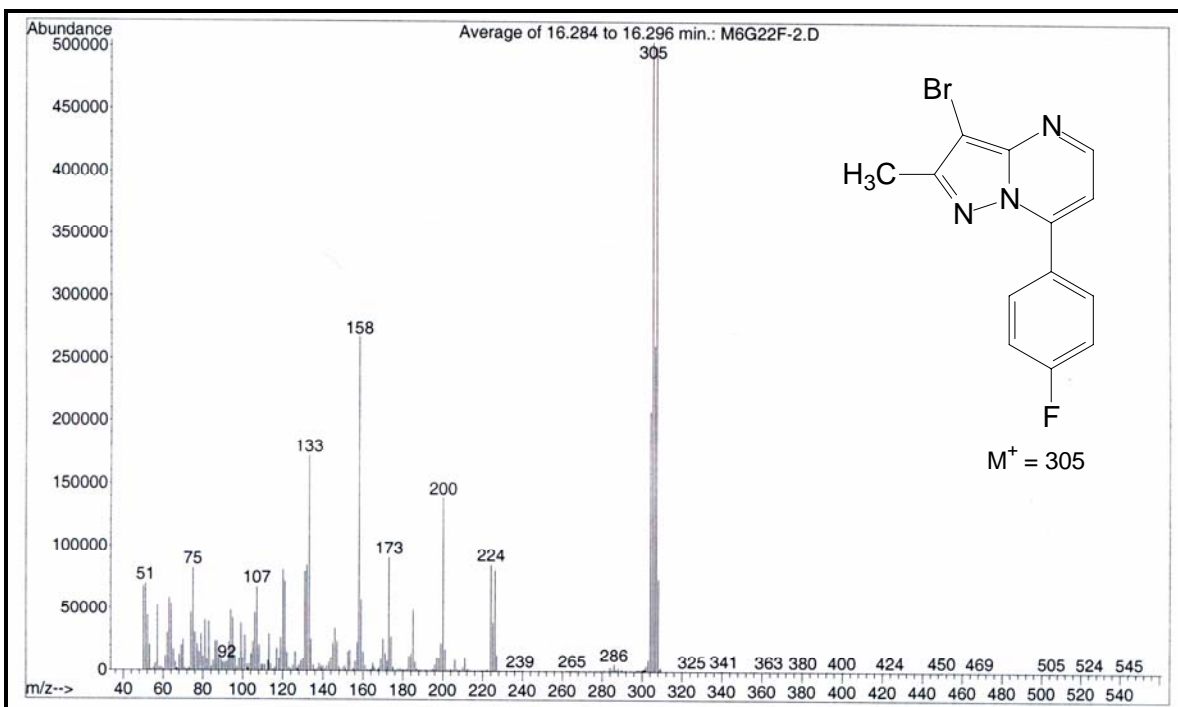


Figura 39: Espectro de massas 3-bromo -2-metil-7-(4-fluorfenil)pirazolo[1,5-a]pirimidina **6e**

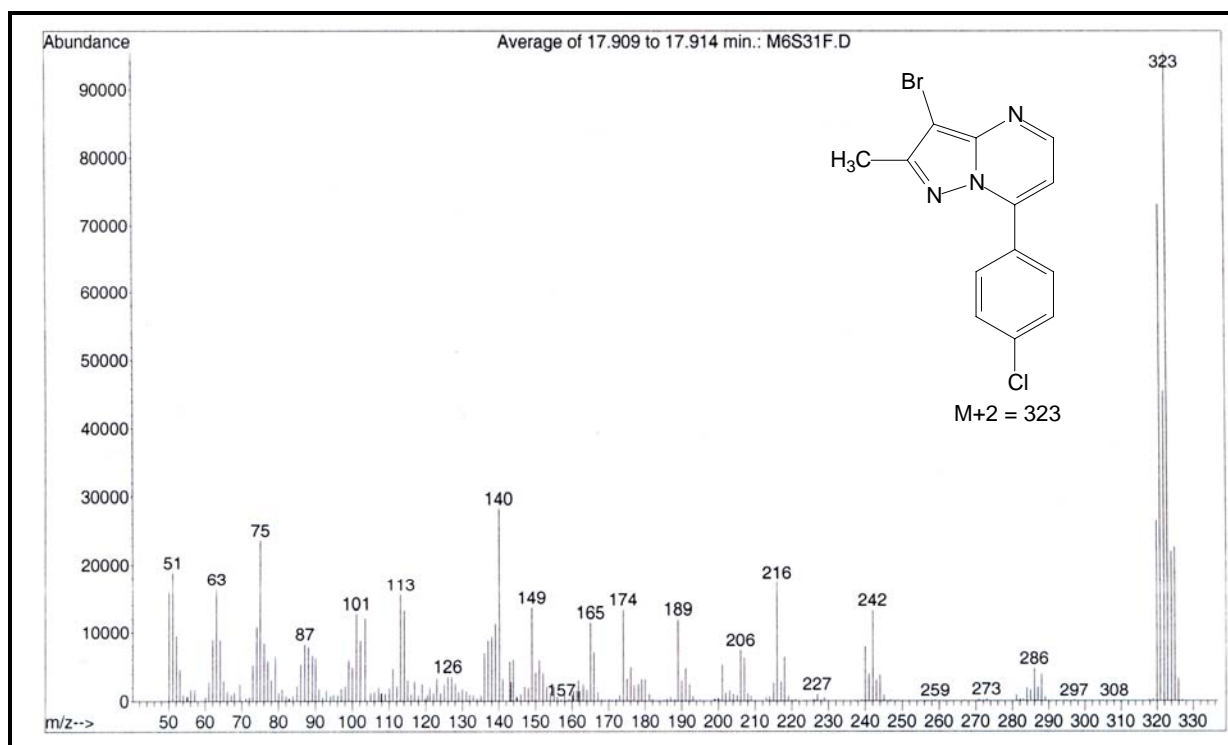


Figura 40: Espectro de massas 3-bromo -2-metil-7-(4-clorofenil)pirazolo[1,5-a]pirimidina **6f**

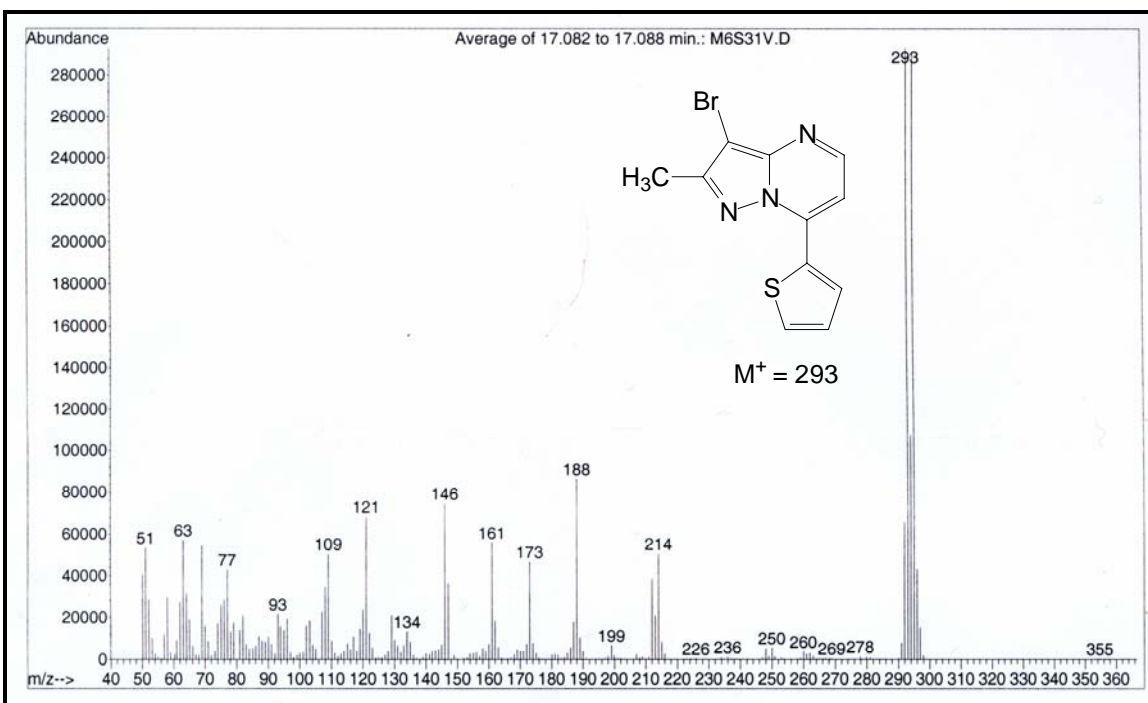


Figura 41: Espectro de massas 3-bromo -2-metil-7-(tien-2-il)pirazolo[1,5-a]pirimidina **6i**

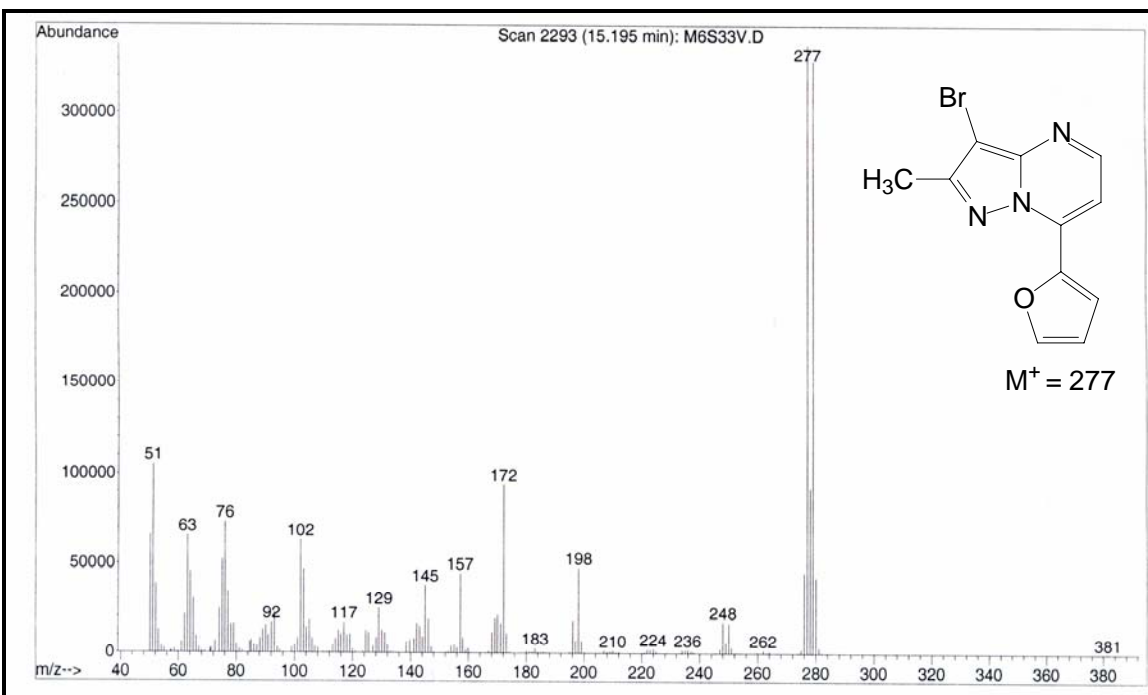


Figura 42: Espectro de massas 3-bromo 2-metil-7-(fur-2-il)pirazolo[1,5-a]pirimidina **6j**

ANEXO 2

**Espectros de RMN de ^1H e ^{13}C dos compostos 2a-f, 4a-j,
5a-b, d, 6a-b, d-f, i-j**

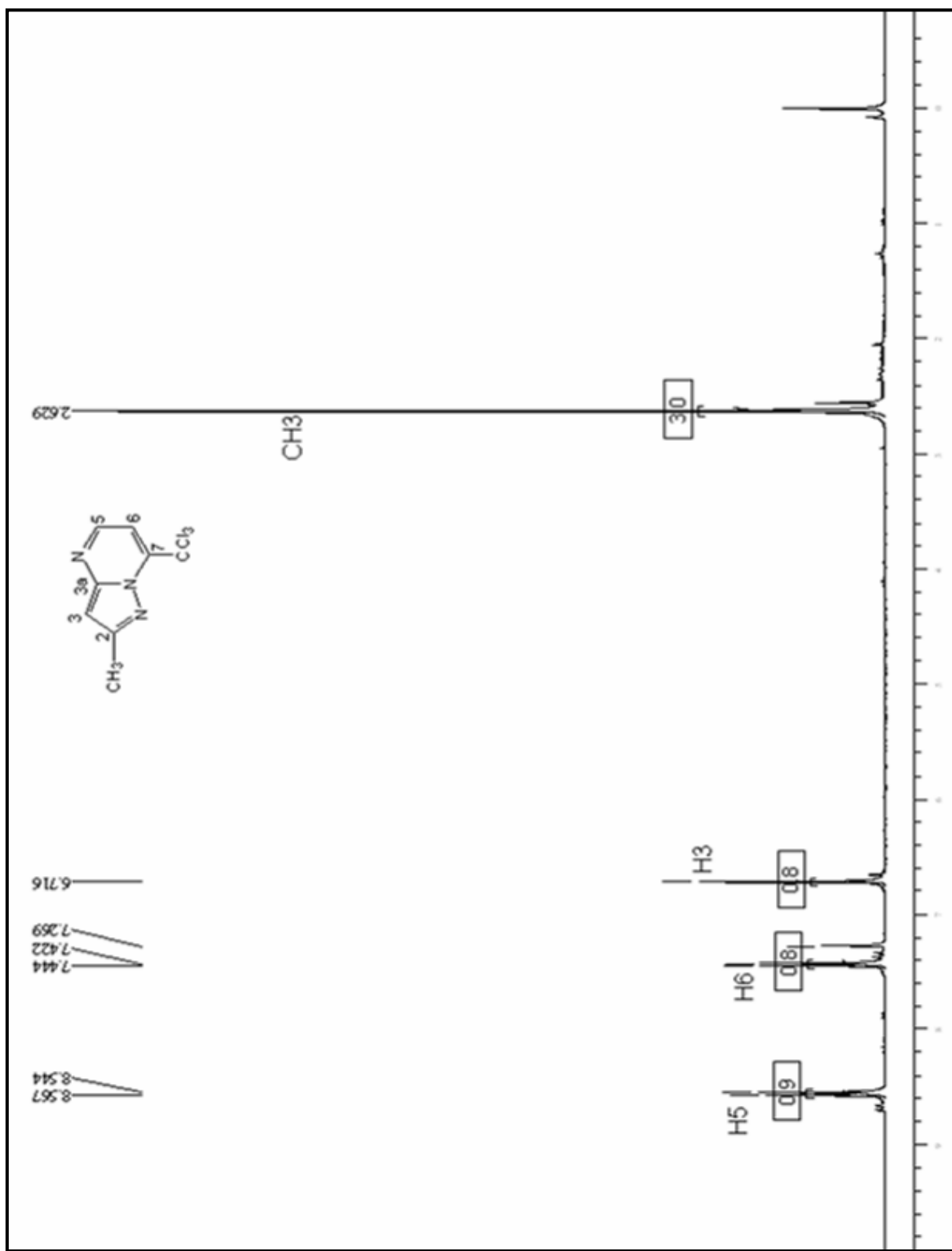


Figura 43: Espectro de RMN de ^1H do composto 2a em CDCl_3

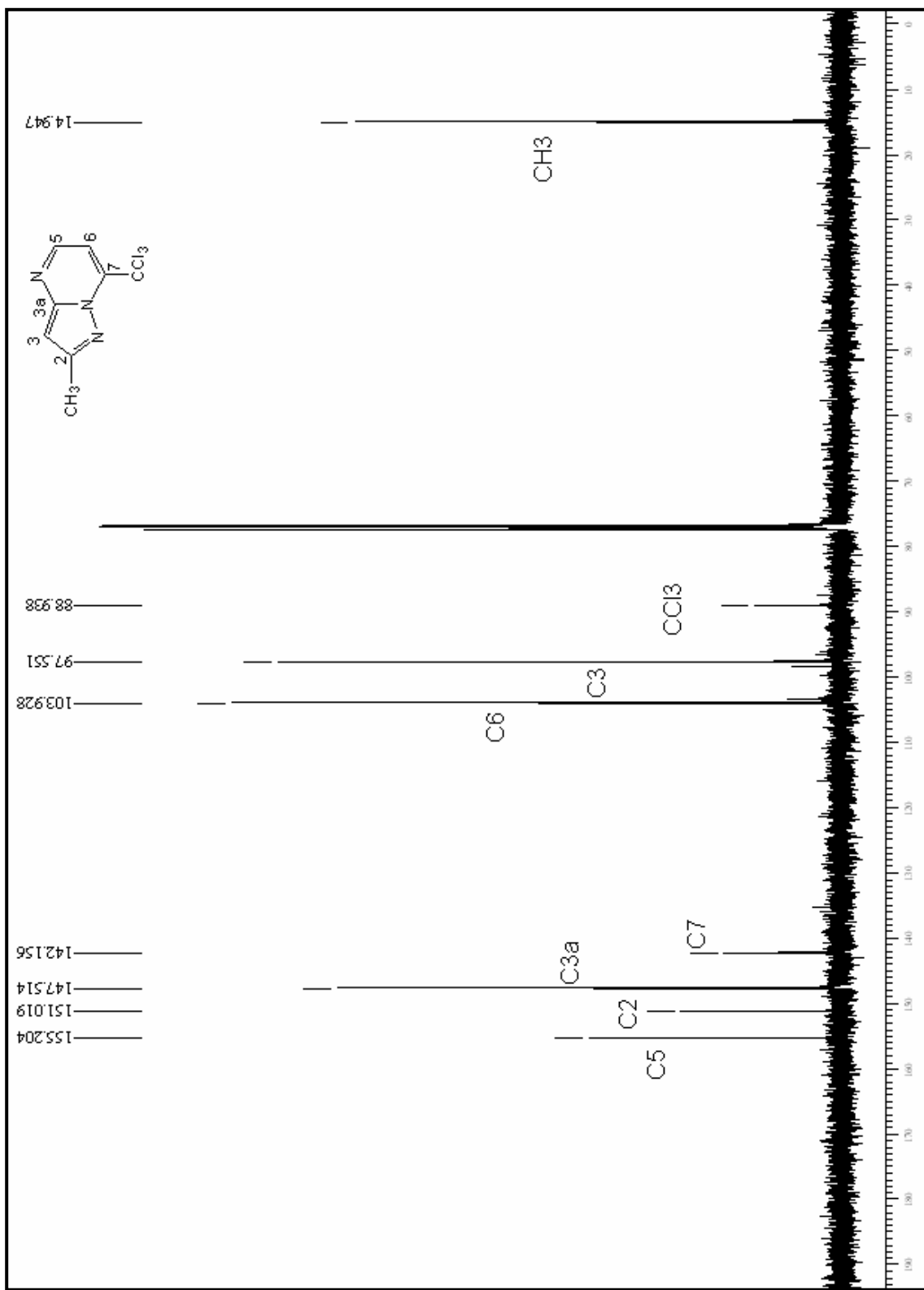


Figura 44: Espectro de RMN de ^{13}C do composto **2a** em CDCl_3

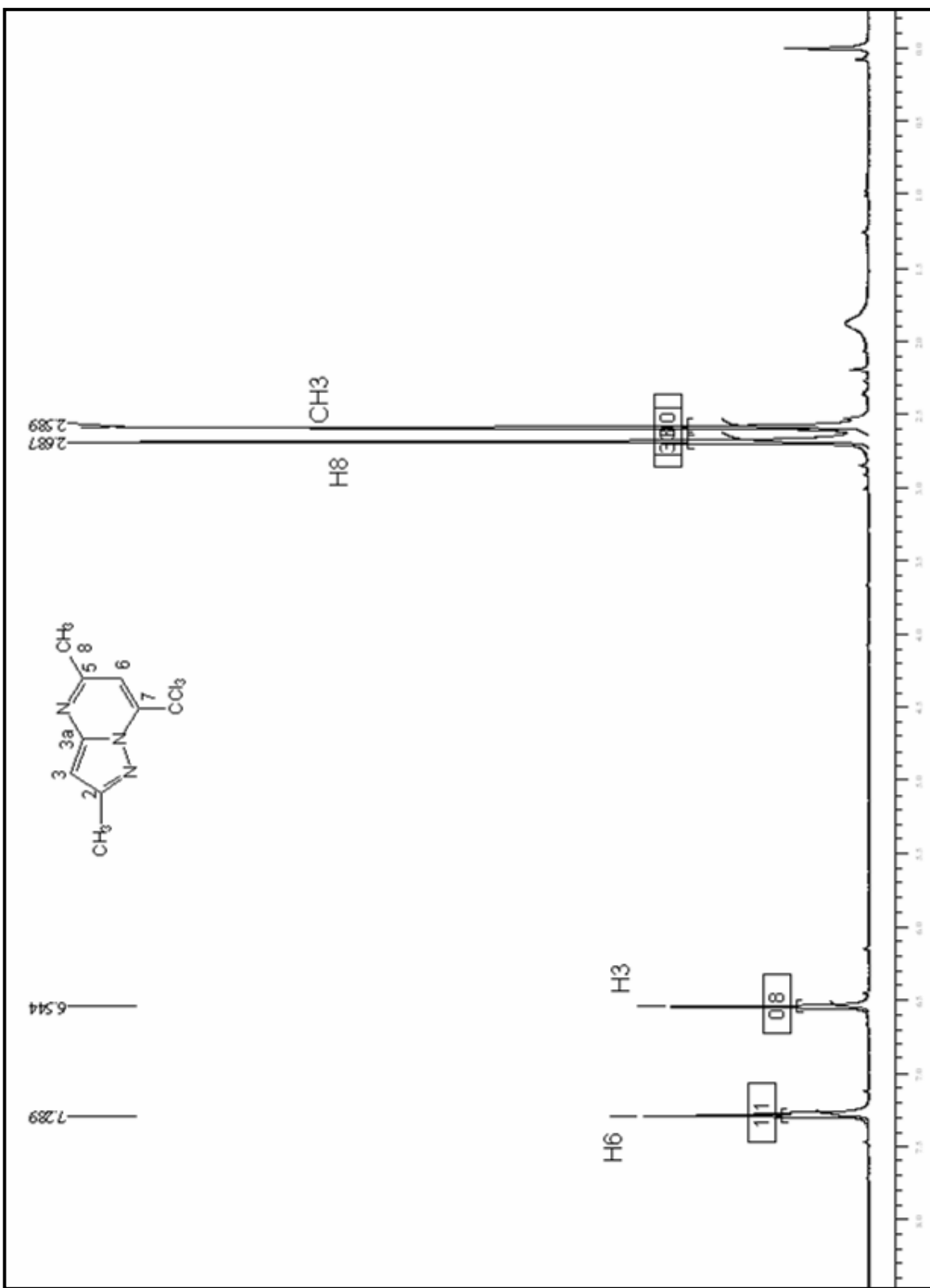


Figura 45: Espectro de RMN de ^1H do composto **2b** em CDCl_3

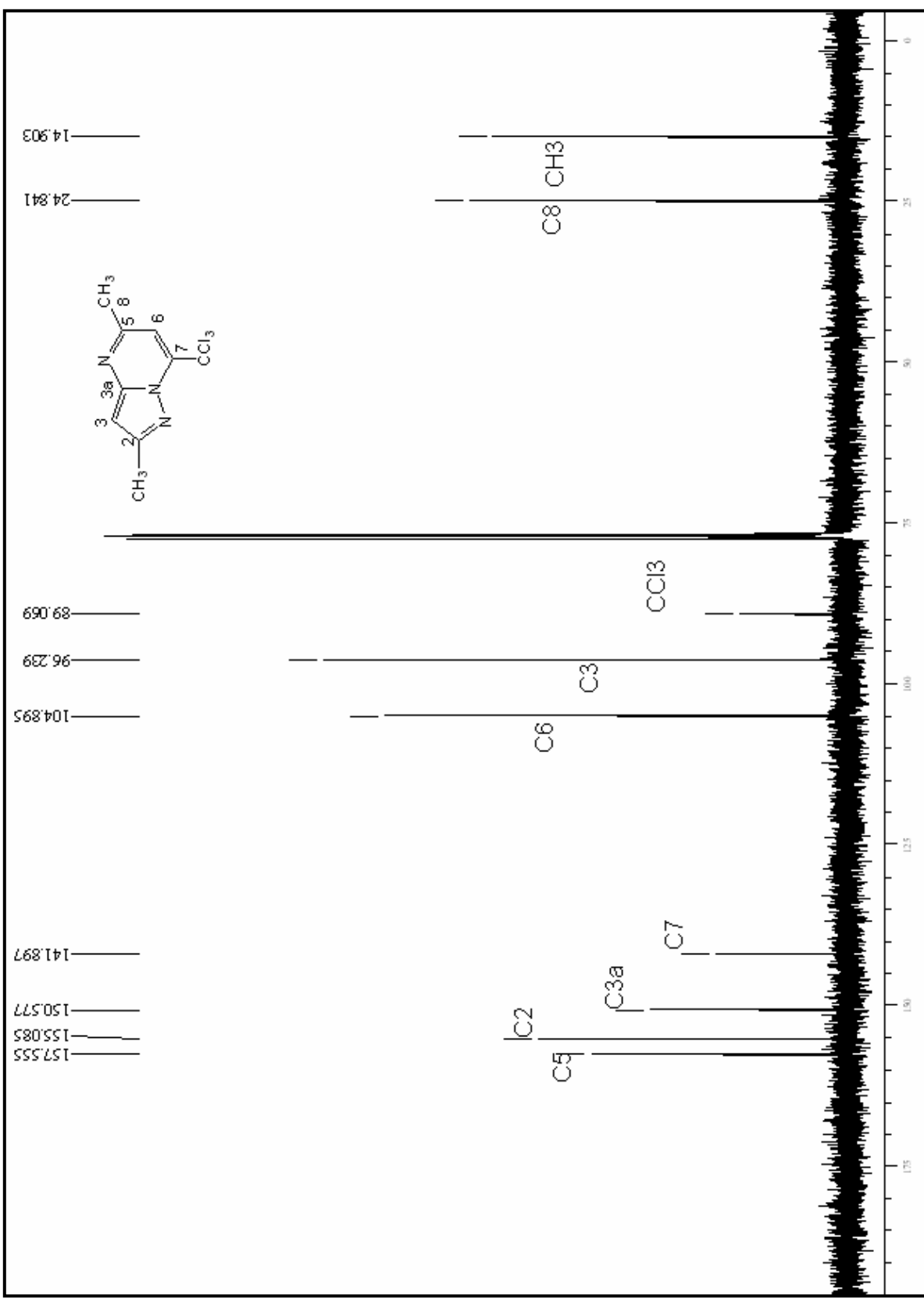


Figura 46: Espectro de RMN de ^{13}C do composto **2b** em CDCl_3

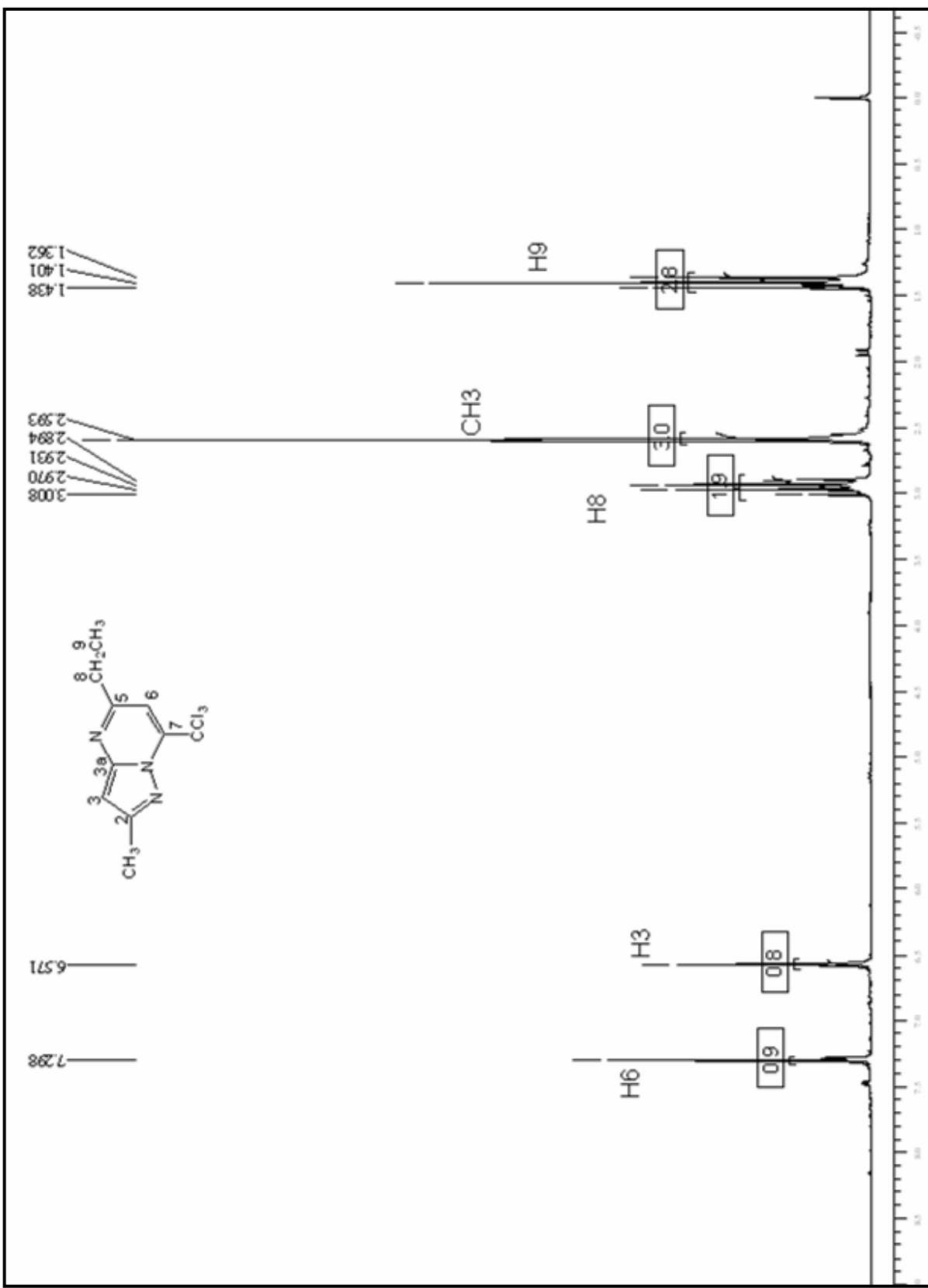


Figura 47: Espectro de RMN de ¹H do composto 2c em CDCl₃

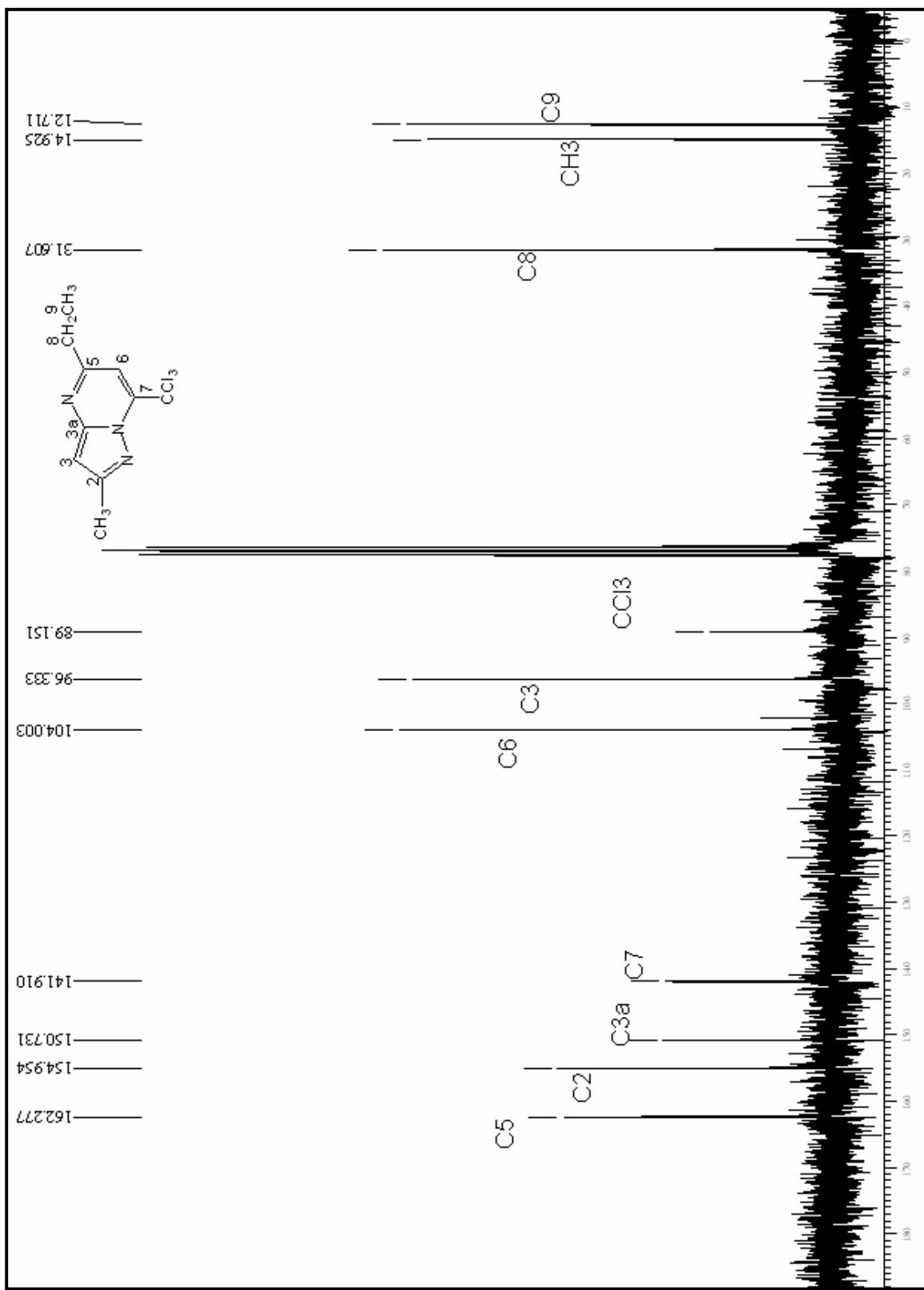


Figura 48: Espectro de RMN de ^{13}C do composto **2c** em CDCl_3

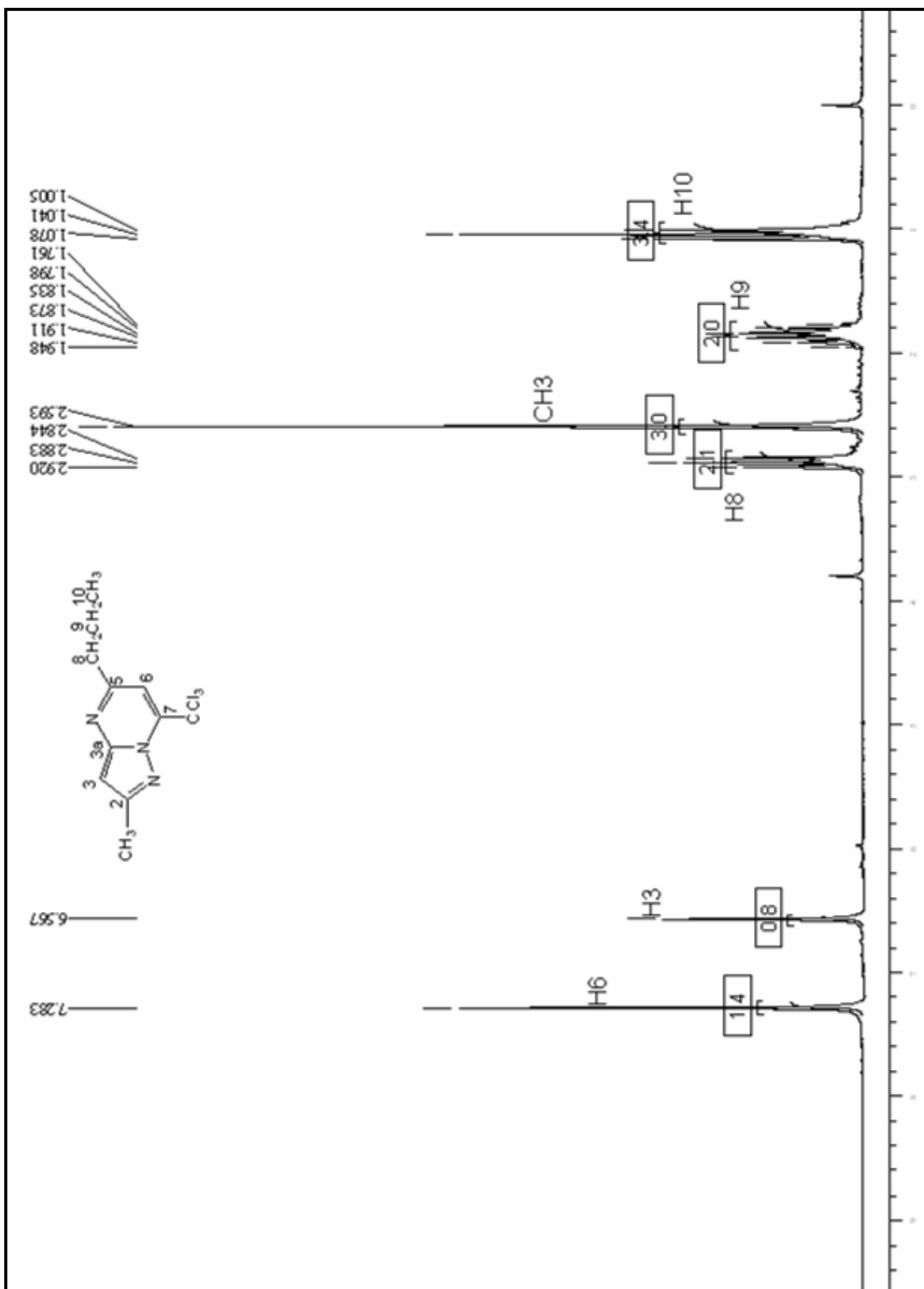


Figura 49: Espectro de RMN de ¹H do composto **2d** em CDCl₃

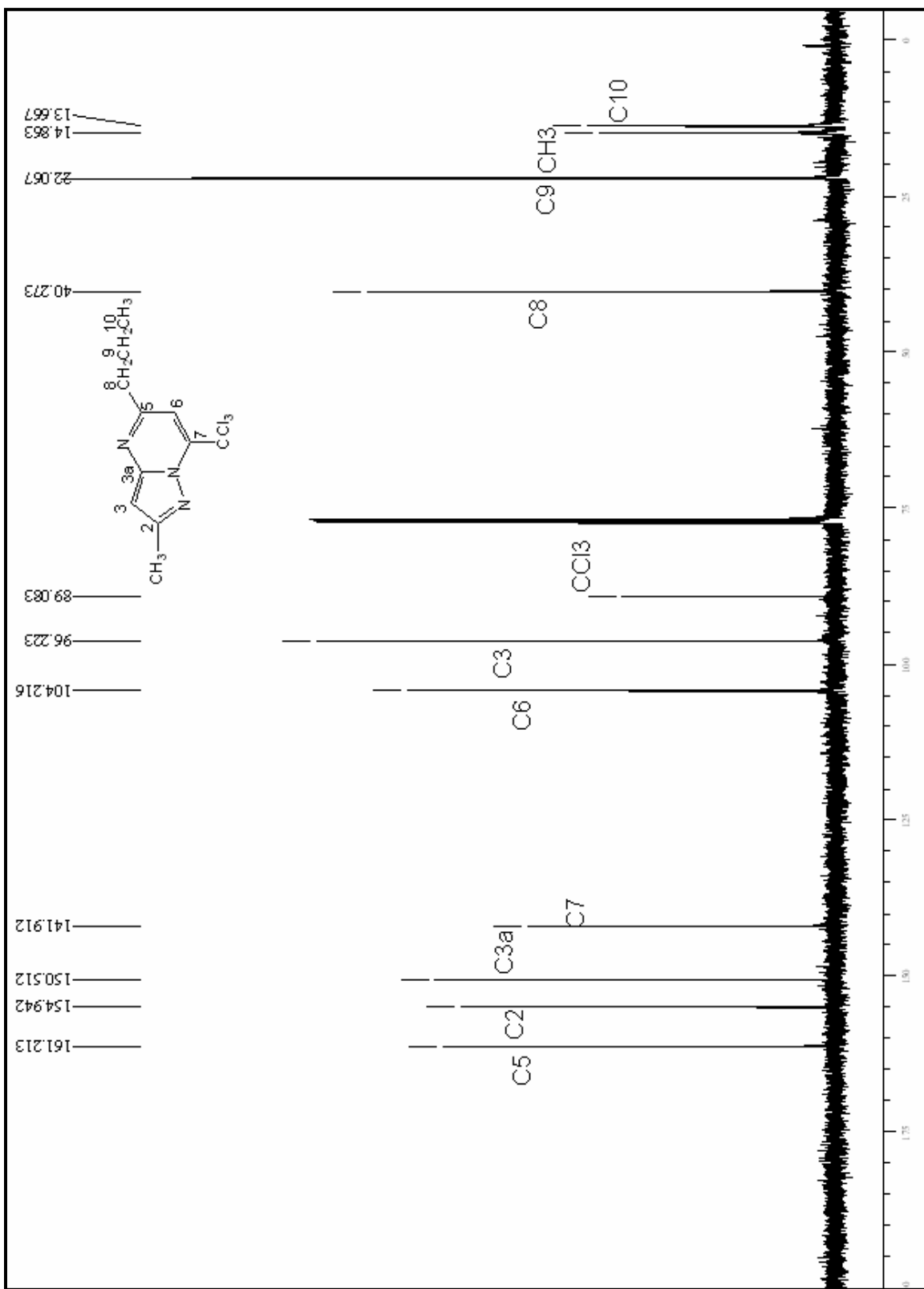


Figura 50: Espectro de RMN de ^{13}C do composto **2d** em CDCl_3

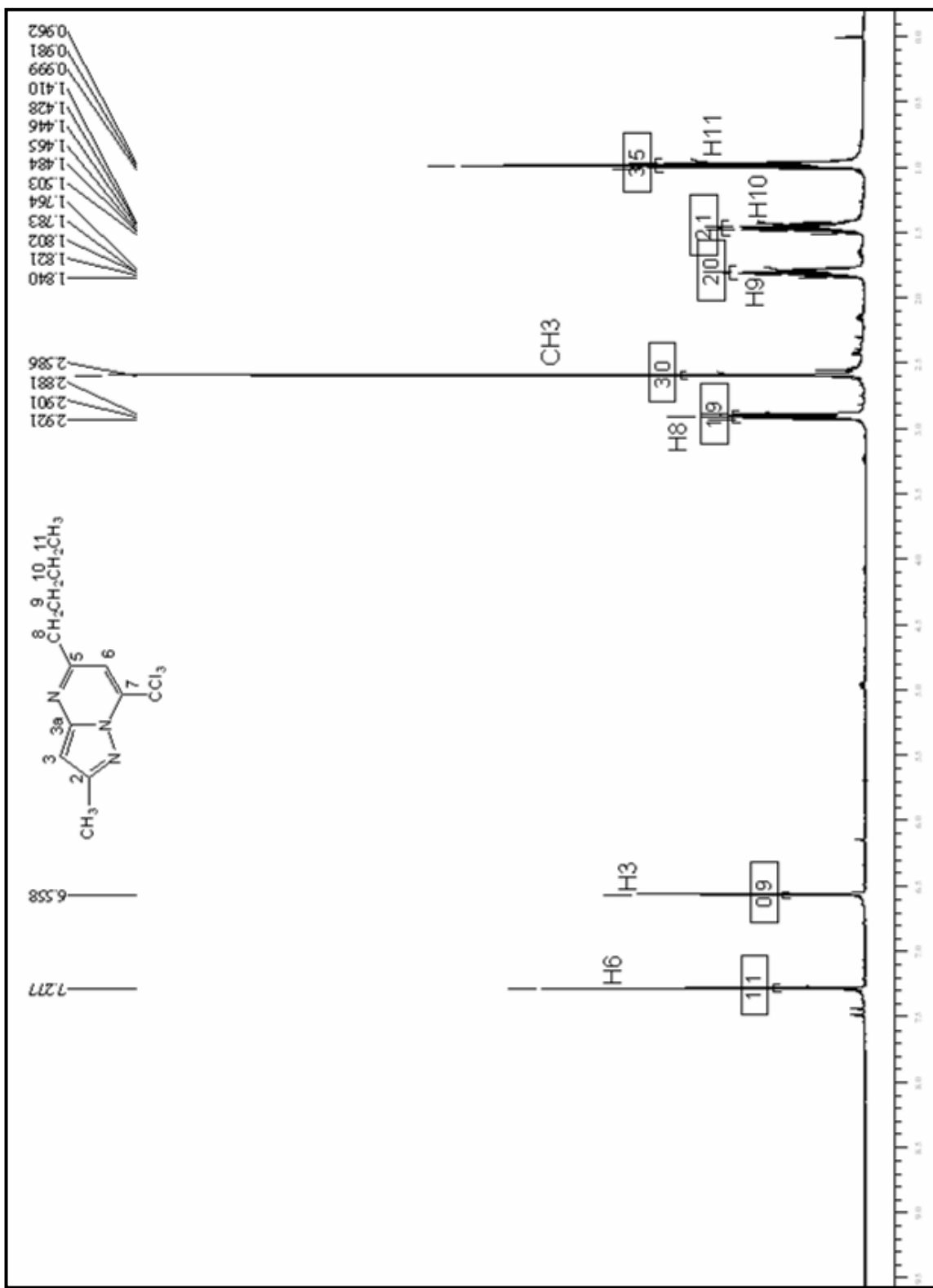


Figura 51: Espectro de RMN de ^1H do composto **2e** em CDCl_3

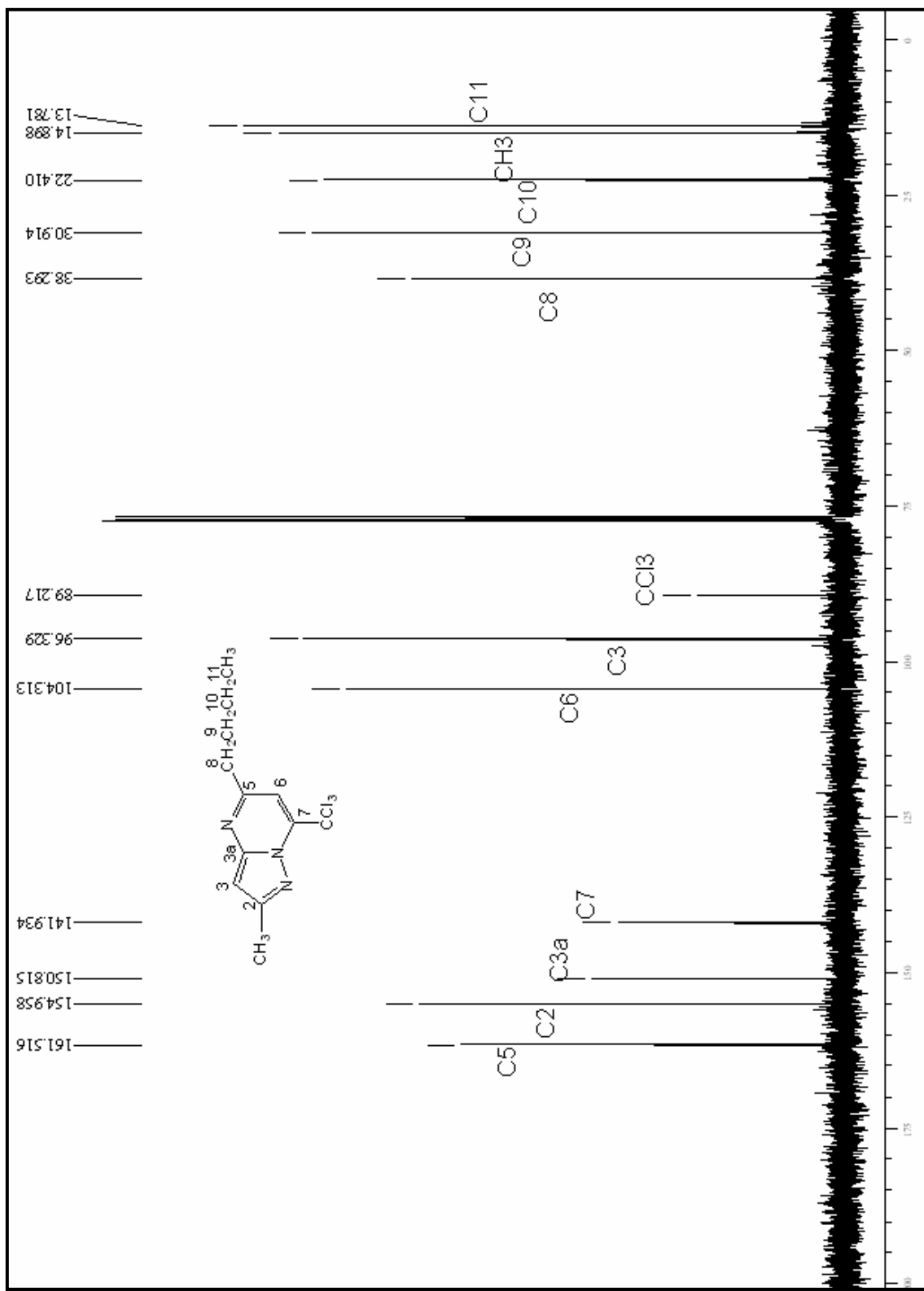


Figura 52: Espectro de RMN de ^{13}C do composto **2e** em CDCl_3

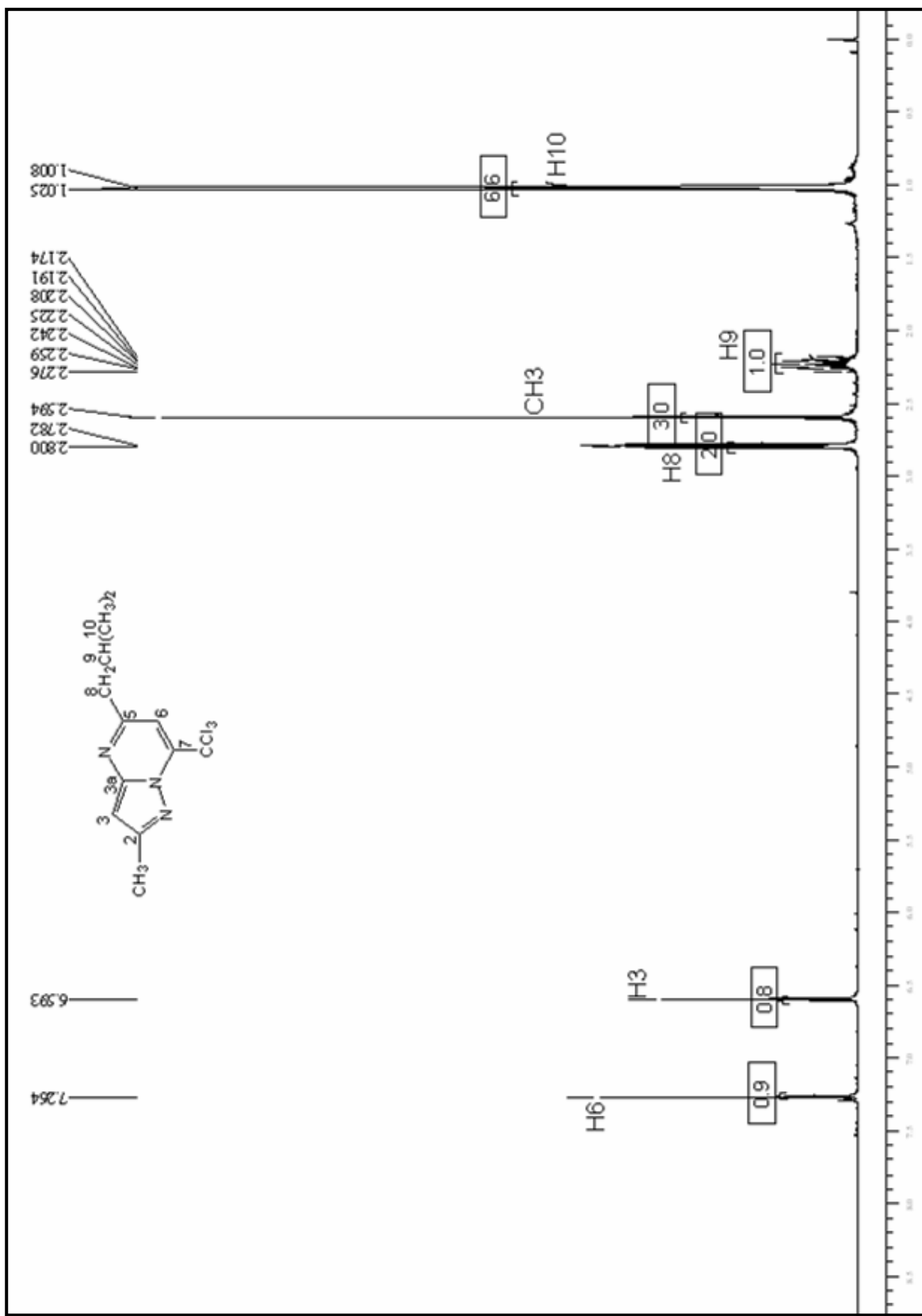


Figura 53: Espectro de RMN de ^1H do composto **2f** em CDCl_3

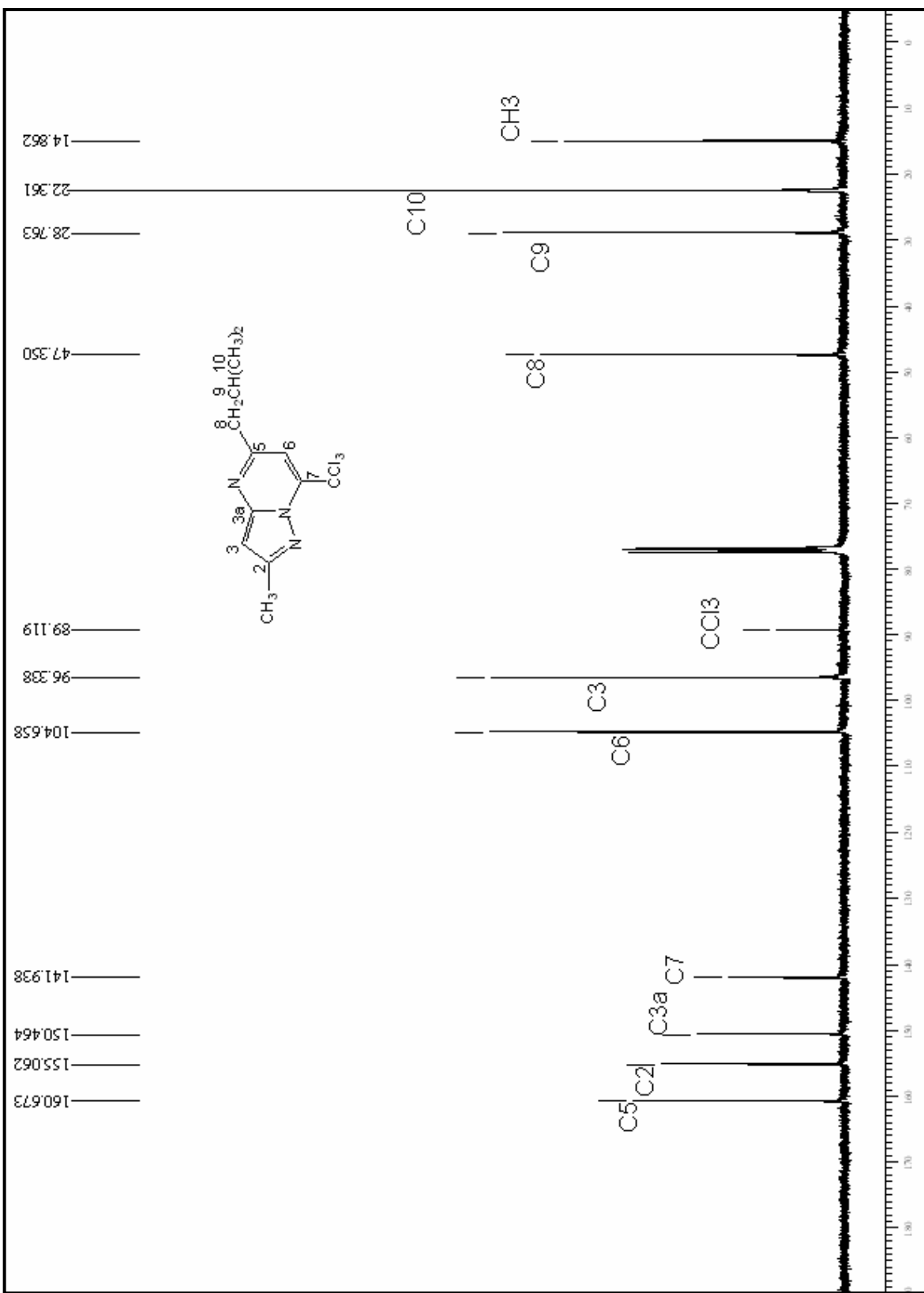


Figura 54: Espectro de RMN de ¹³C do composto **2f** em CDCl₃

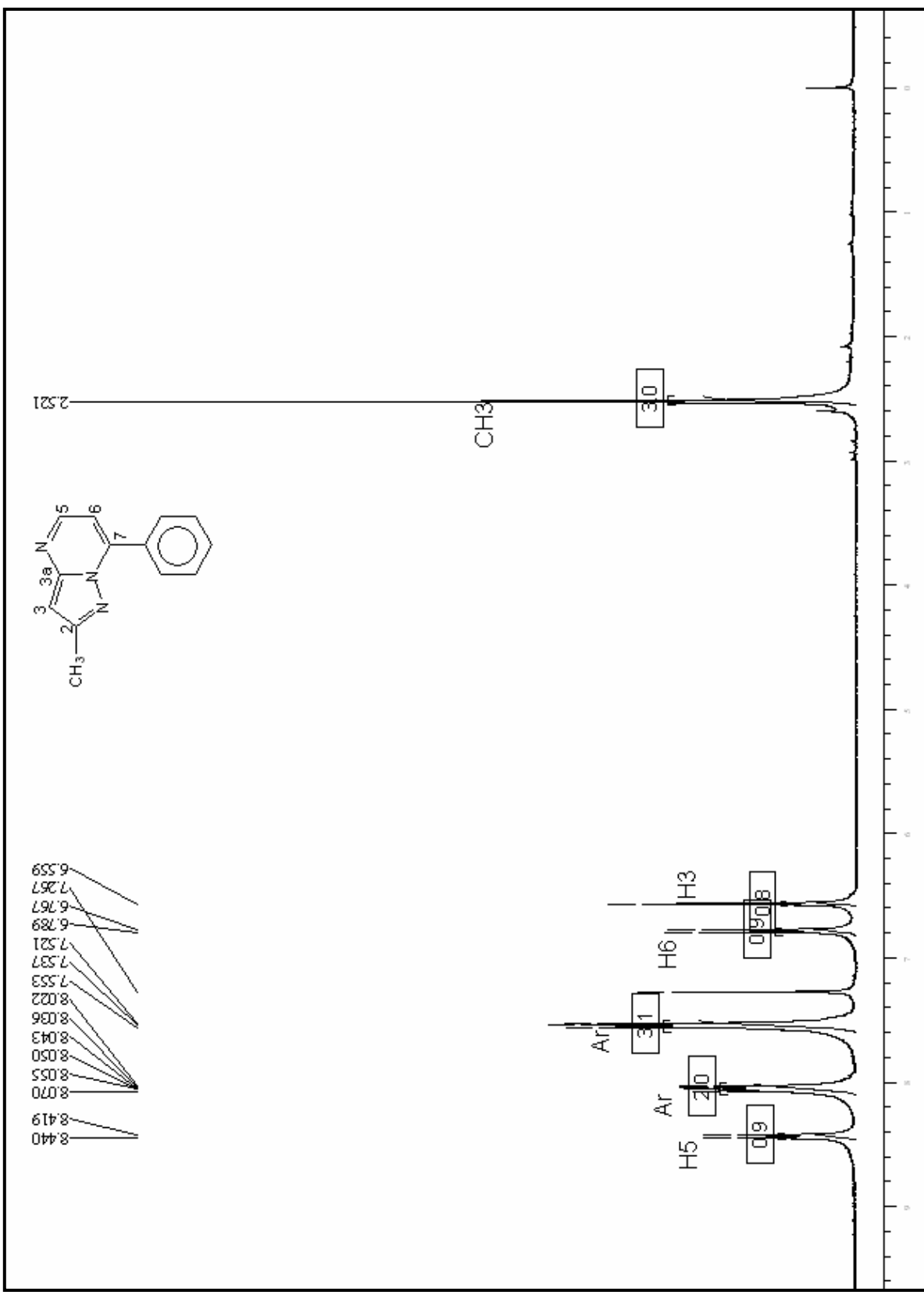


Figura 55: Espectro de RMN de ¹H do composto **4a** em CDCl₃

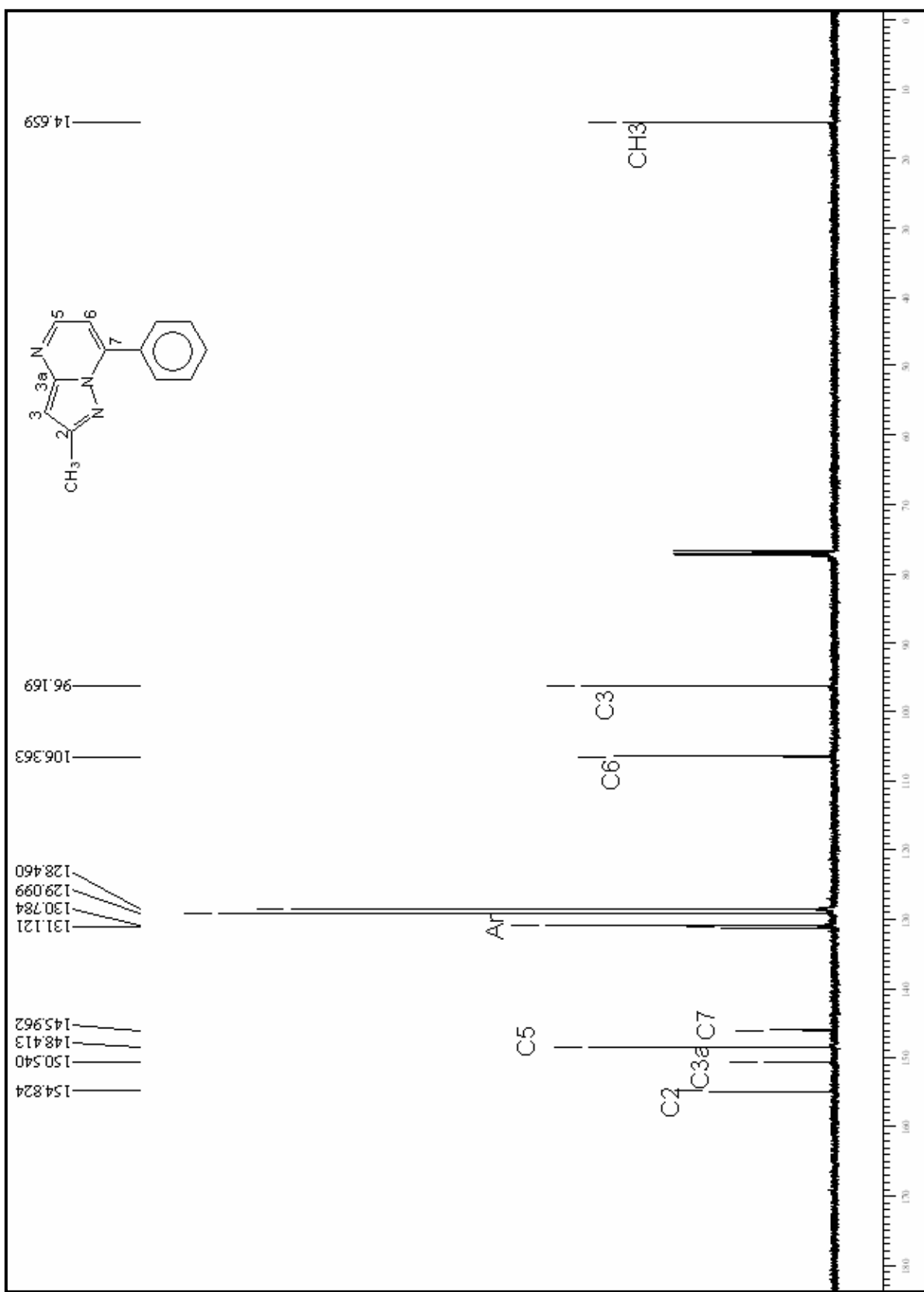


Figura 56: Espectro de RMN de ^{13}C do composto **4a** em CDCl_3

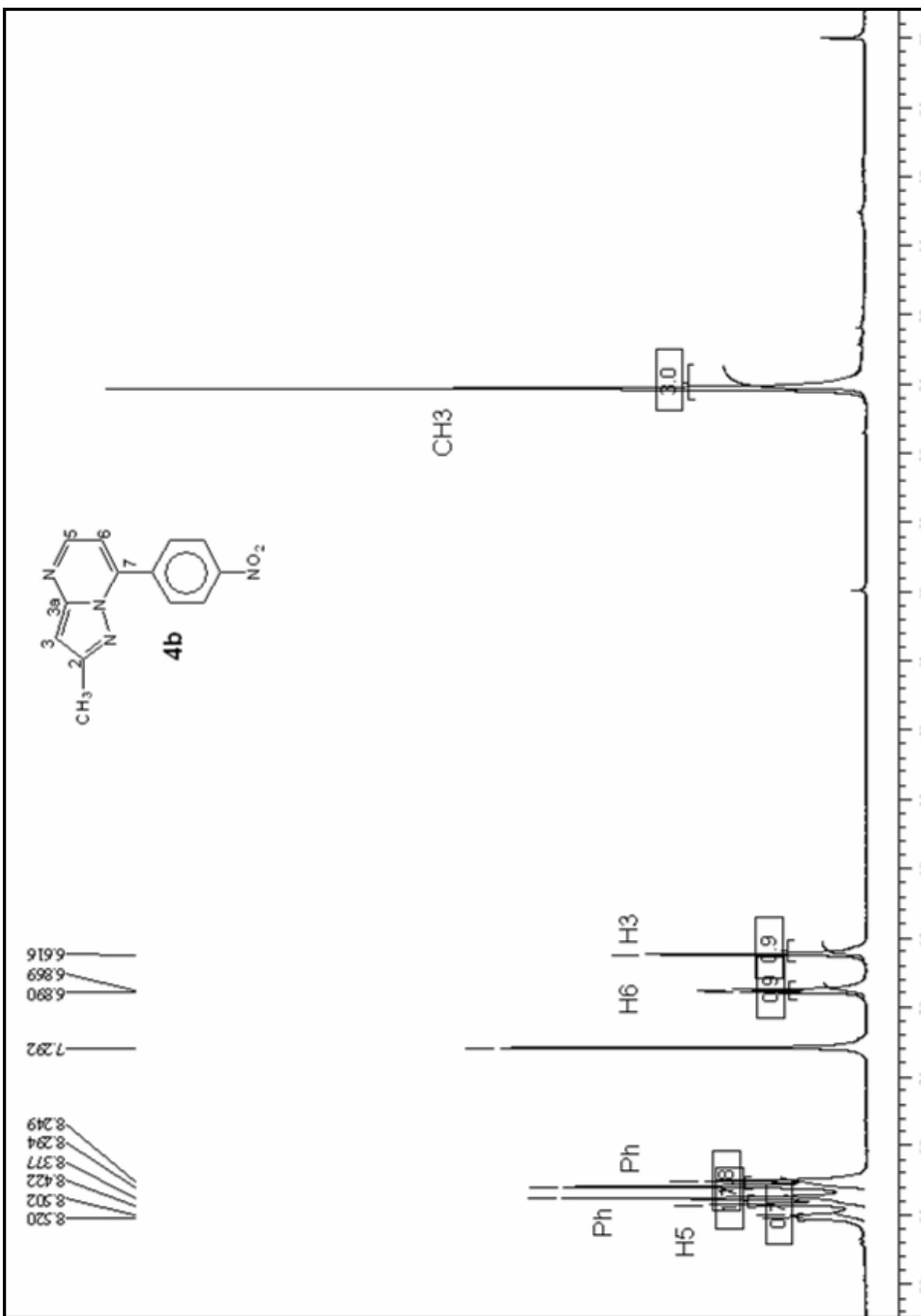


Figura 57: Espectro de RMN de ^1H do composto **4b** em CDCl_3

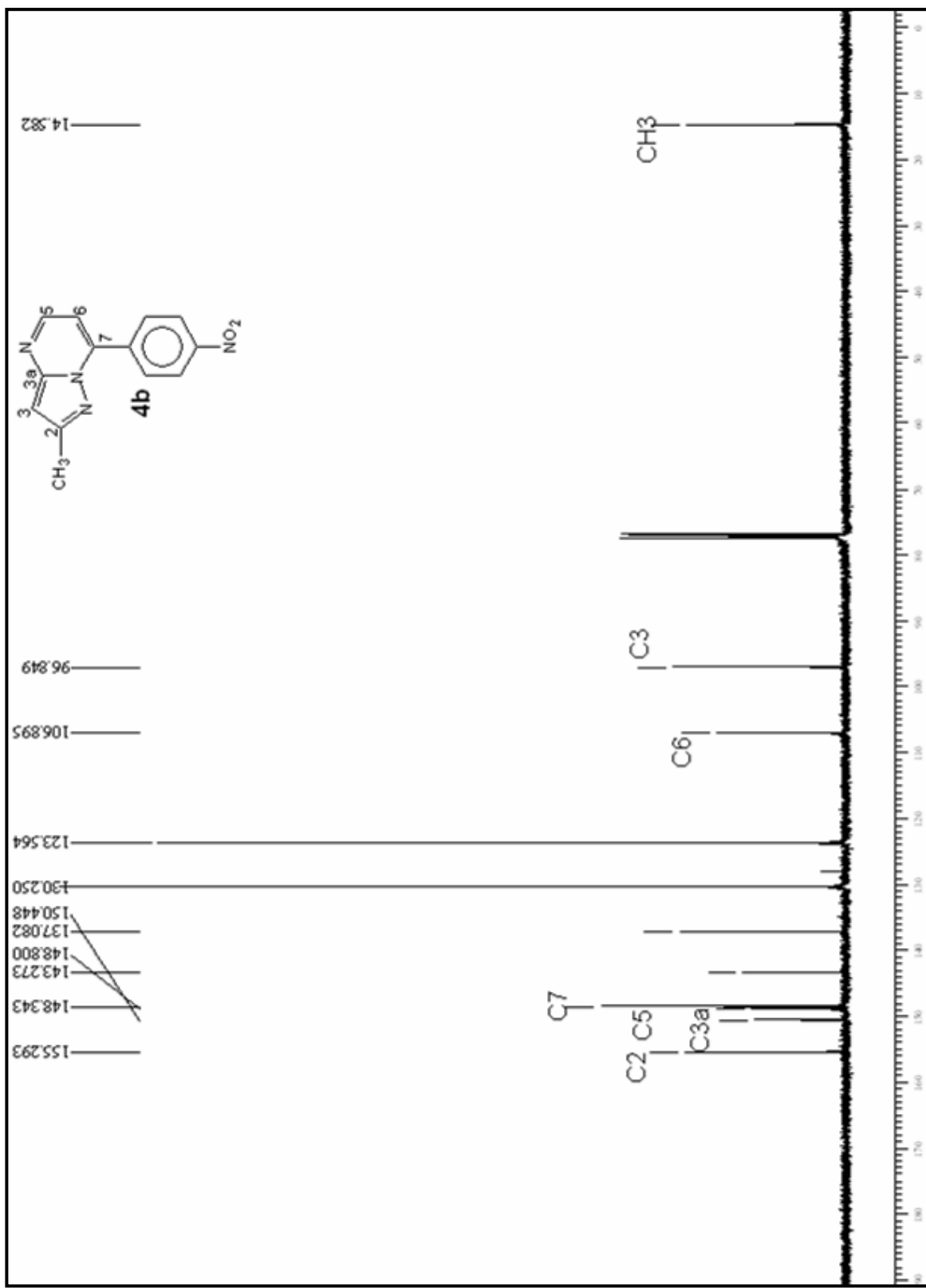


Figura 58: Espectro de RMN de ^{13}C do composto **4b** em CDCl_3

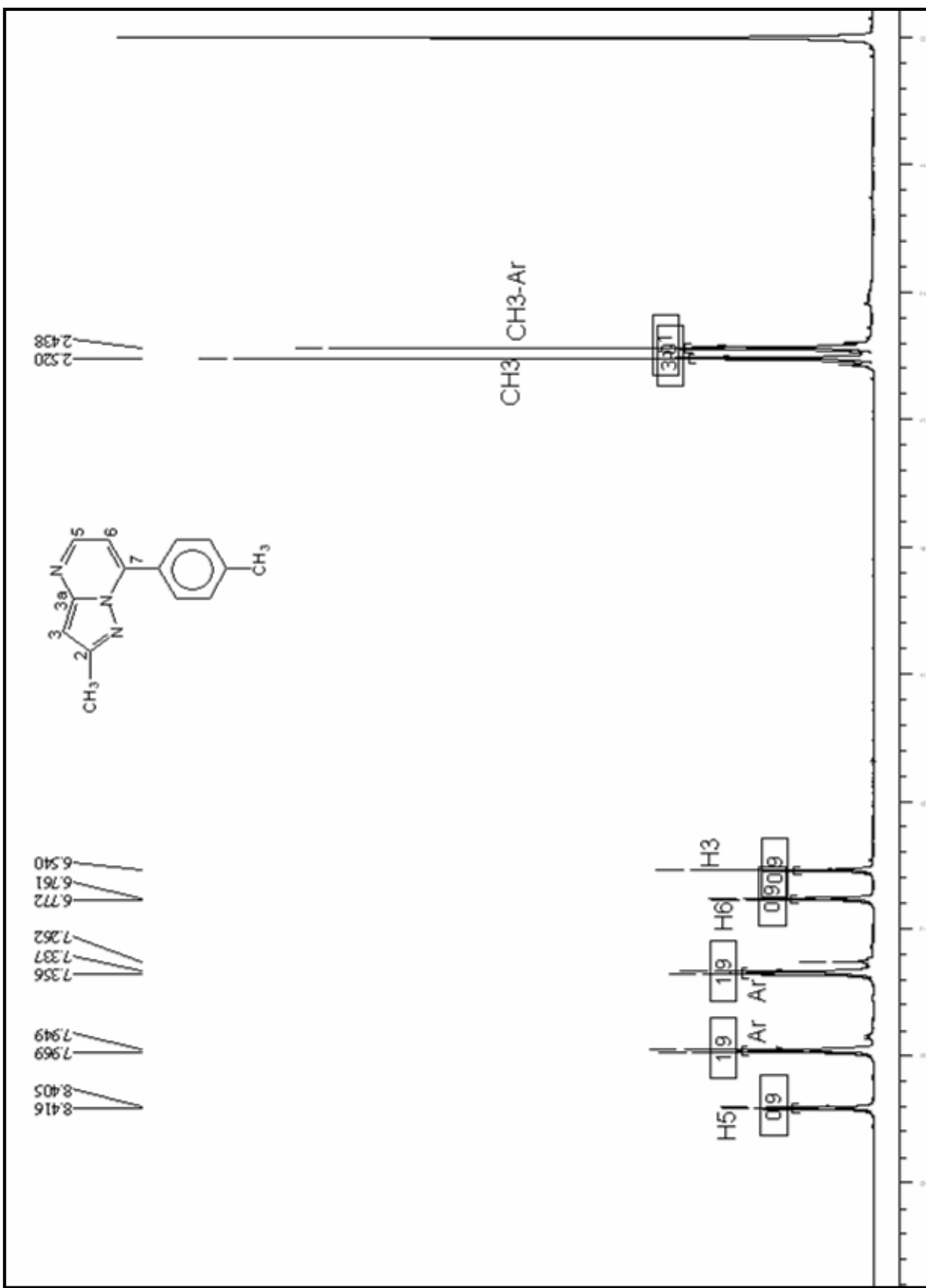


Figura 59: Espectro de RMN de ^1H do composto **4c** em CDCl_3

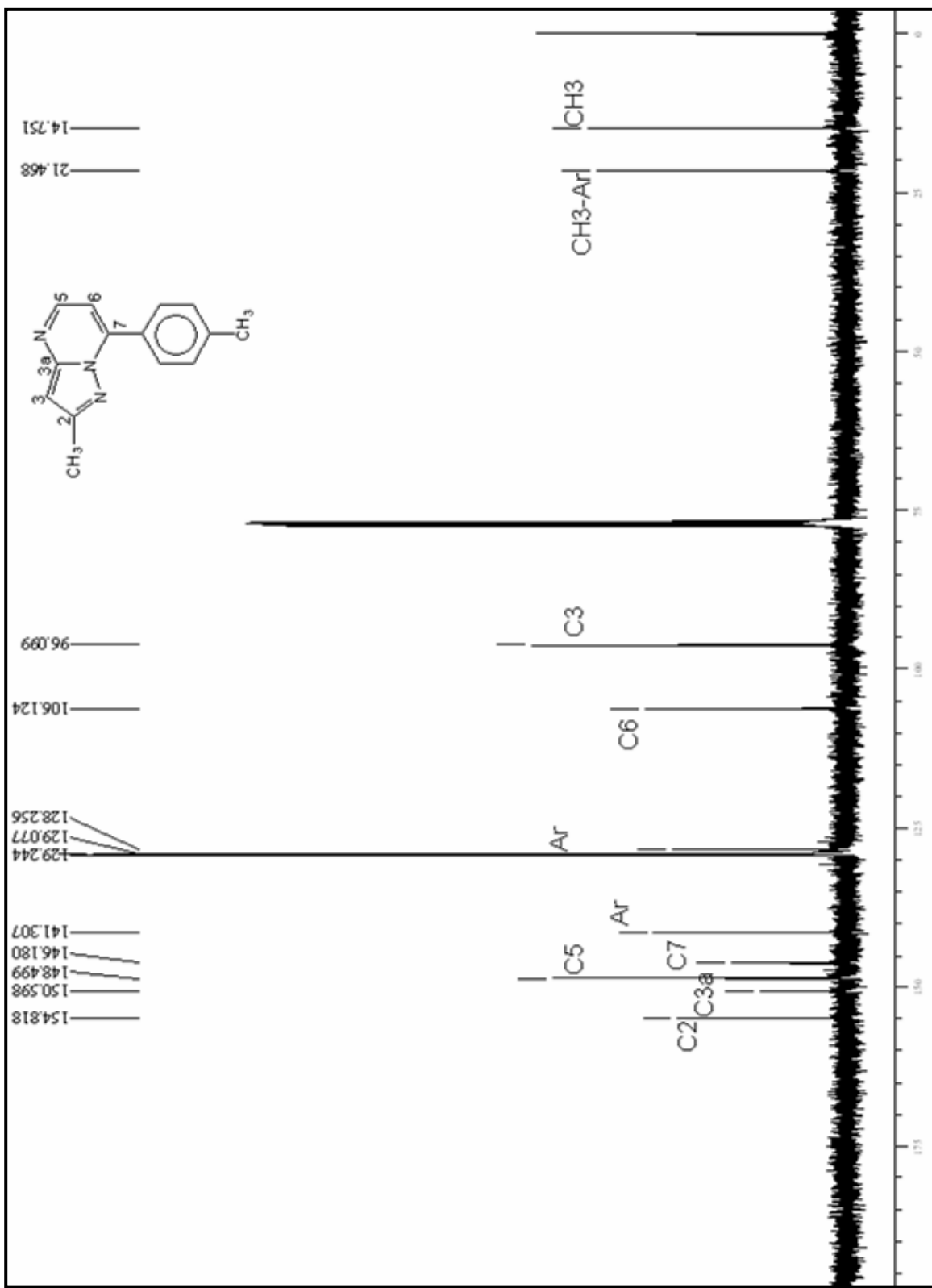


Figura 60: Espectro de RMN de ^{13}C do composto **4c** em CDCl_3

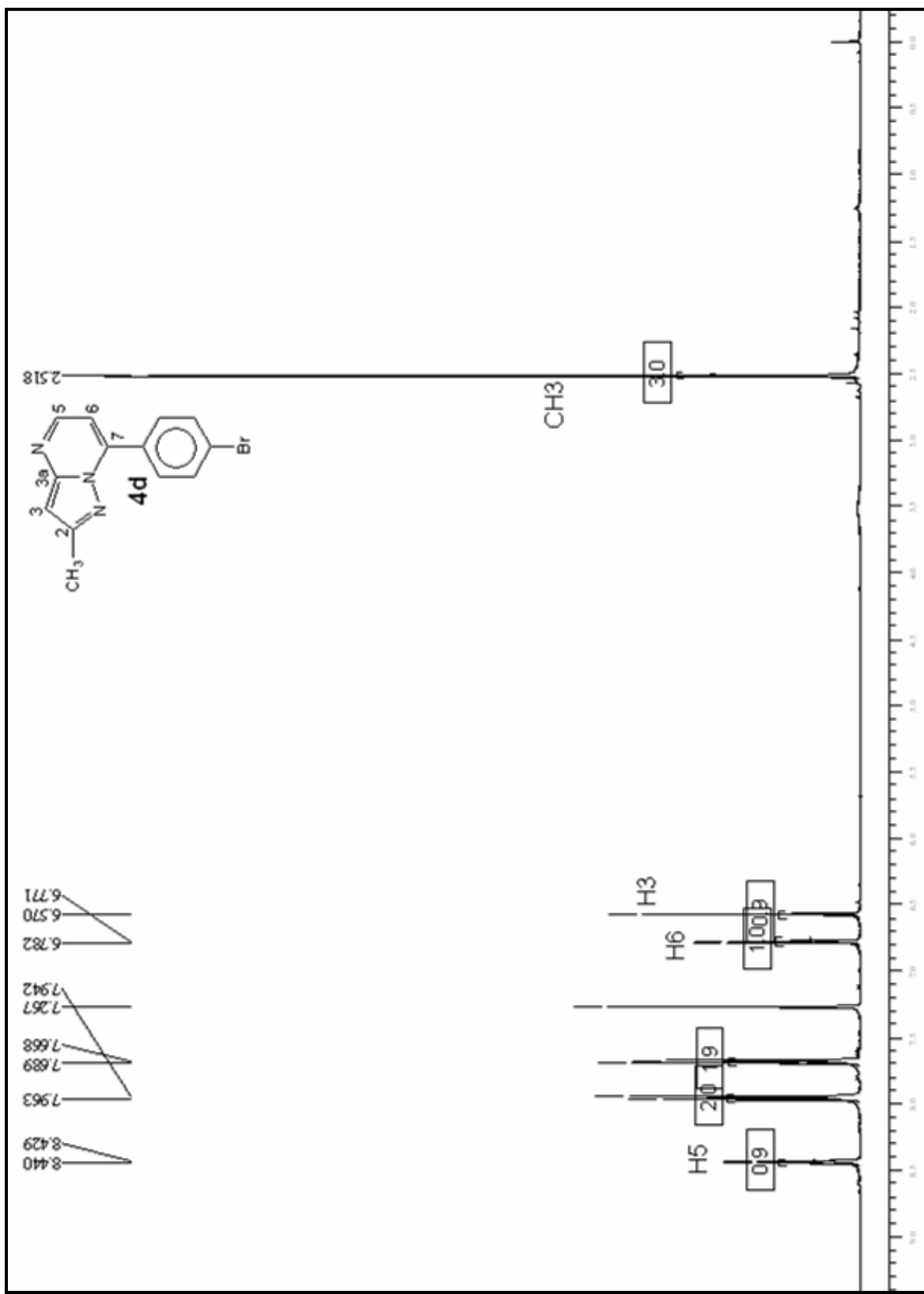


Figura 61: Espectro de RMN de ^1H do composto **4d** em CDCl_3

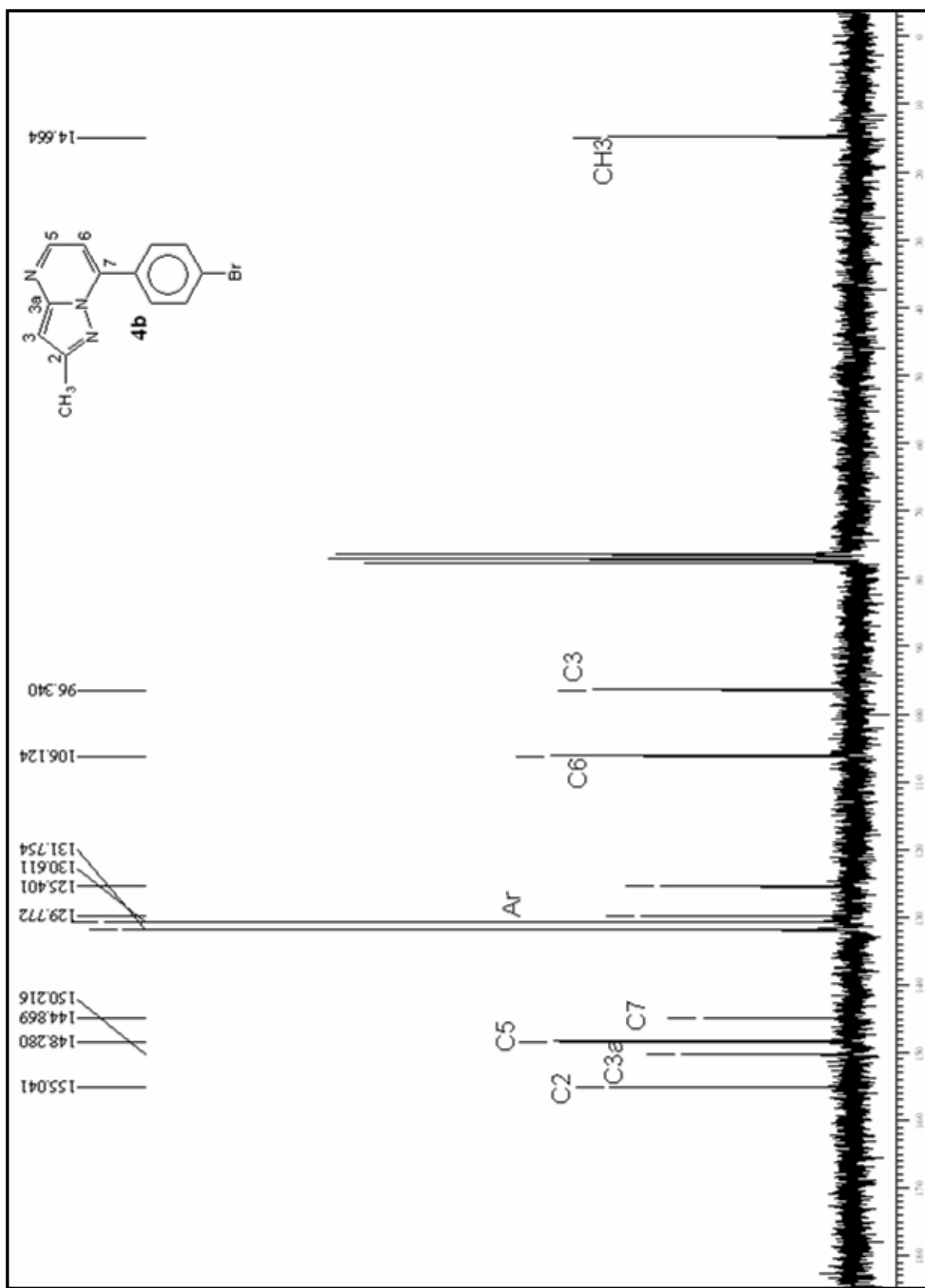


Figura 62: Espectro de RMN de ^{13}C do composto **4d** em CDCl_3

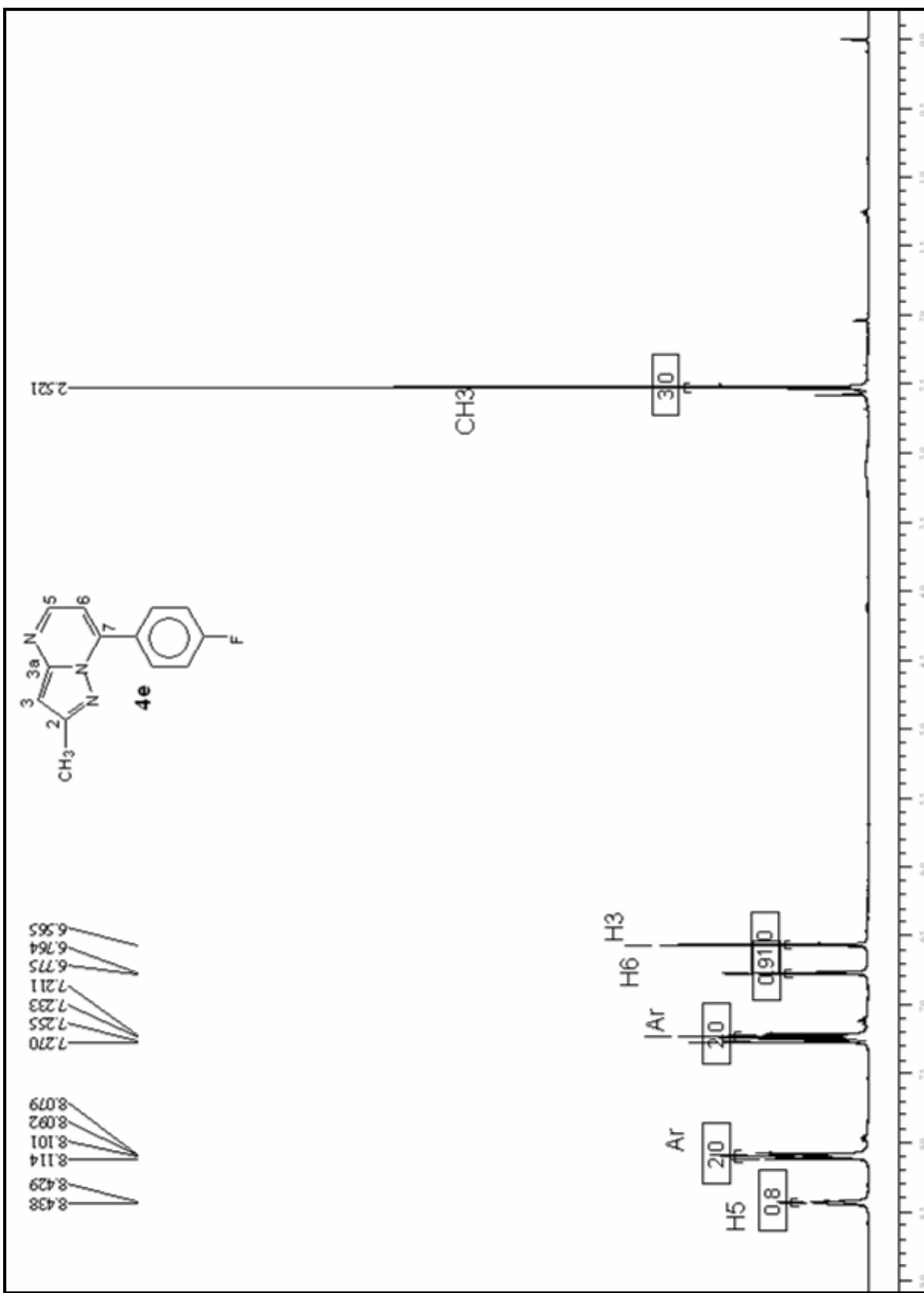


Figura 63: Espectro de RMN de ^1H do composto **4e** em CDCl_3

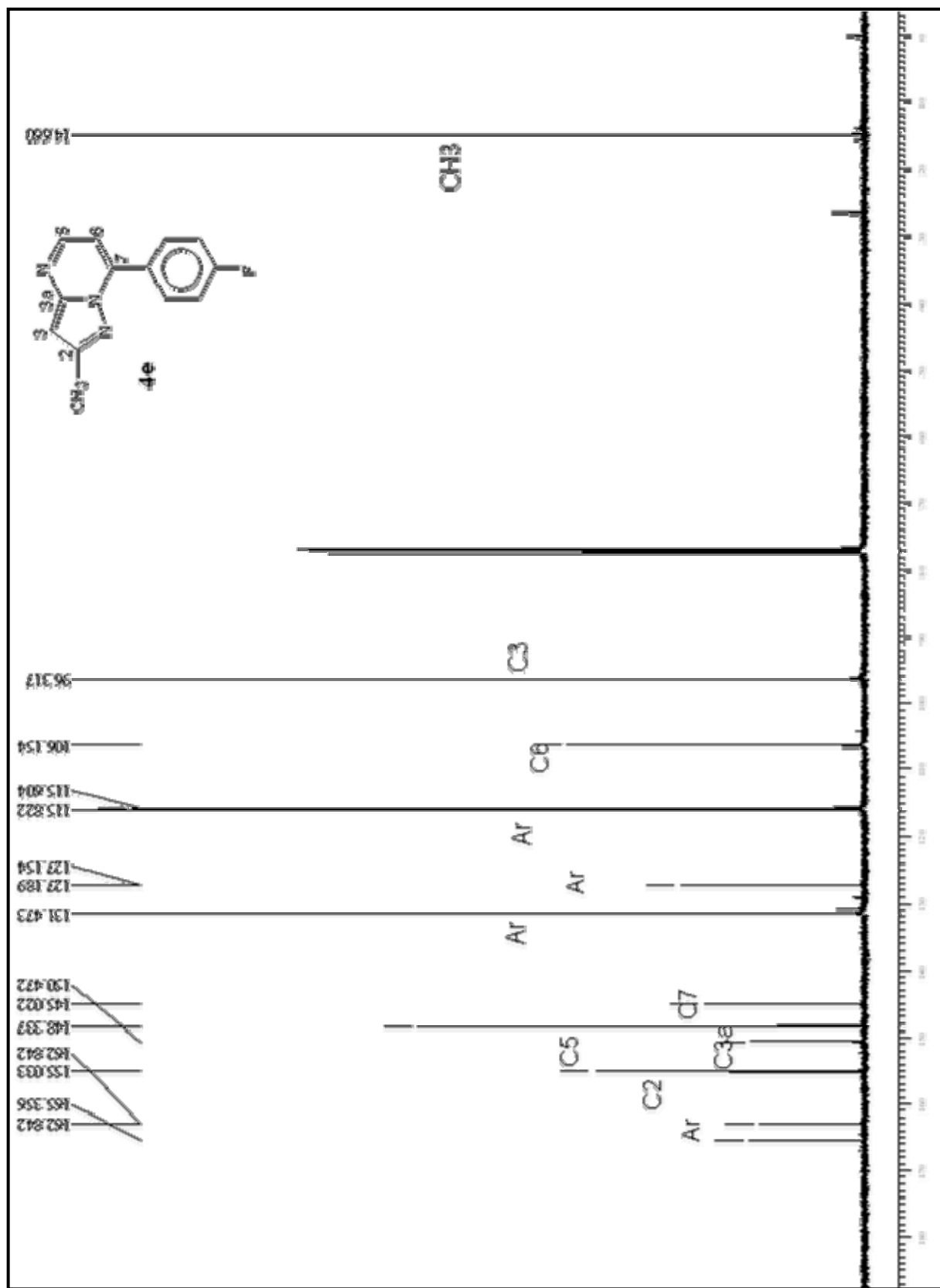


Figura 64: Espectro de RMN de ^{13}C do composto **4e** em CDCl_3

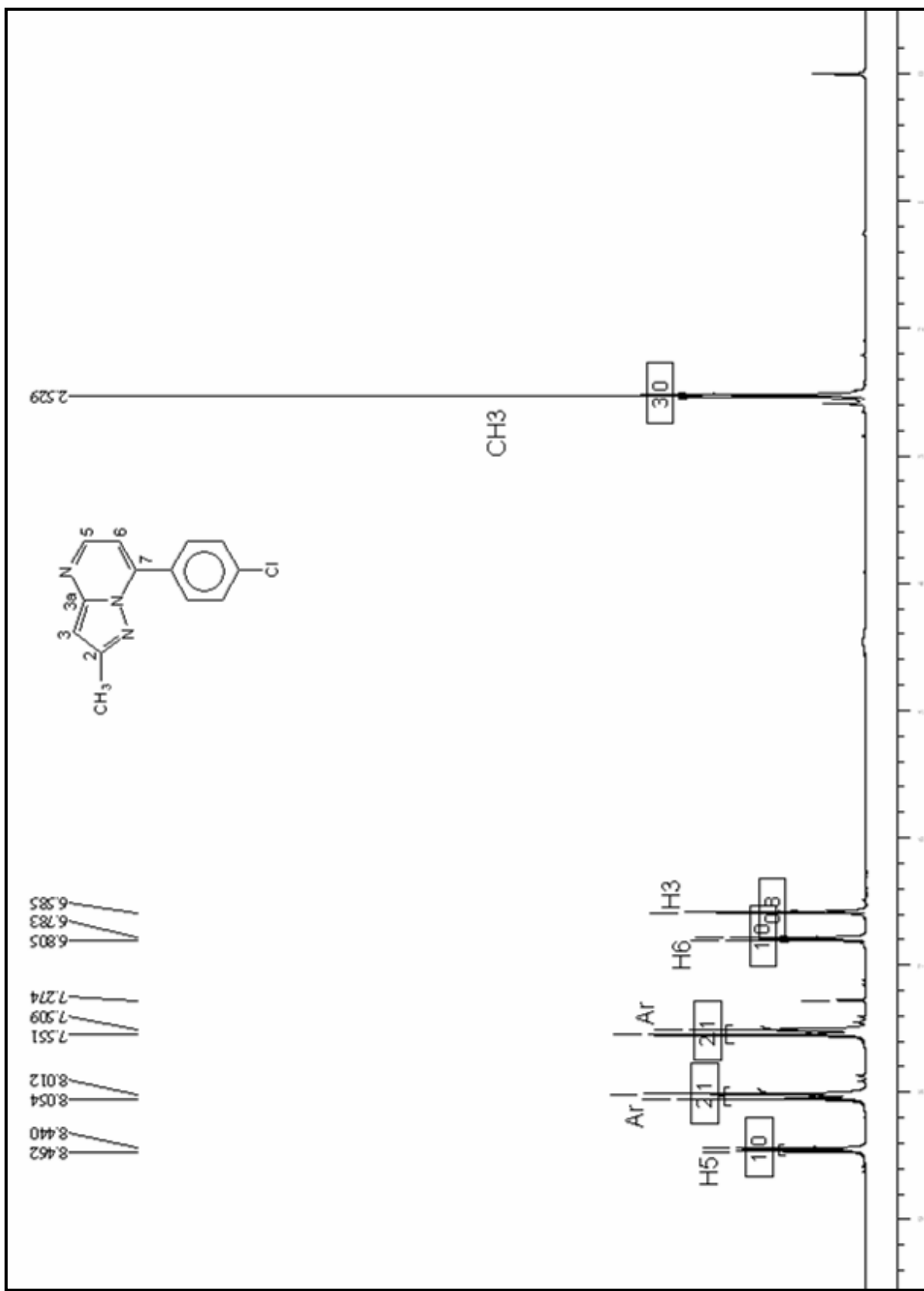


Figura 65: Espectro de RMN de ^1H do composto **4f** em CDCl_3

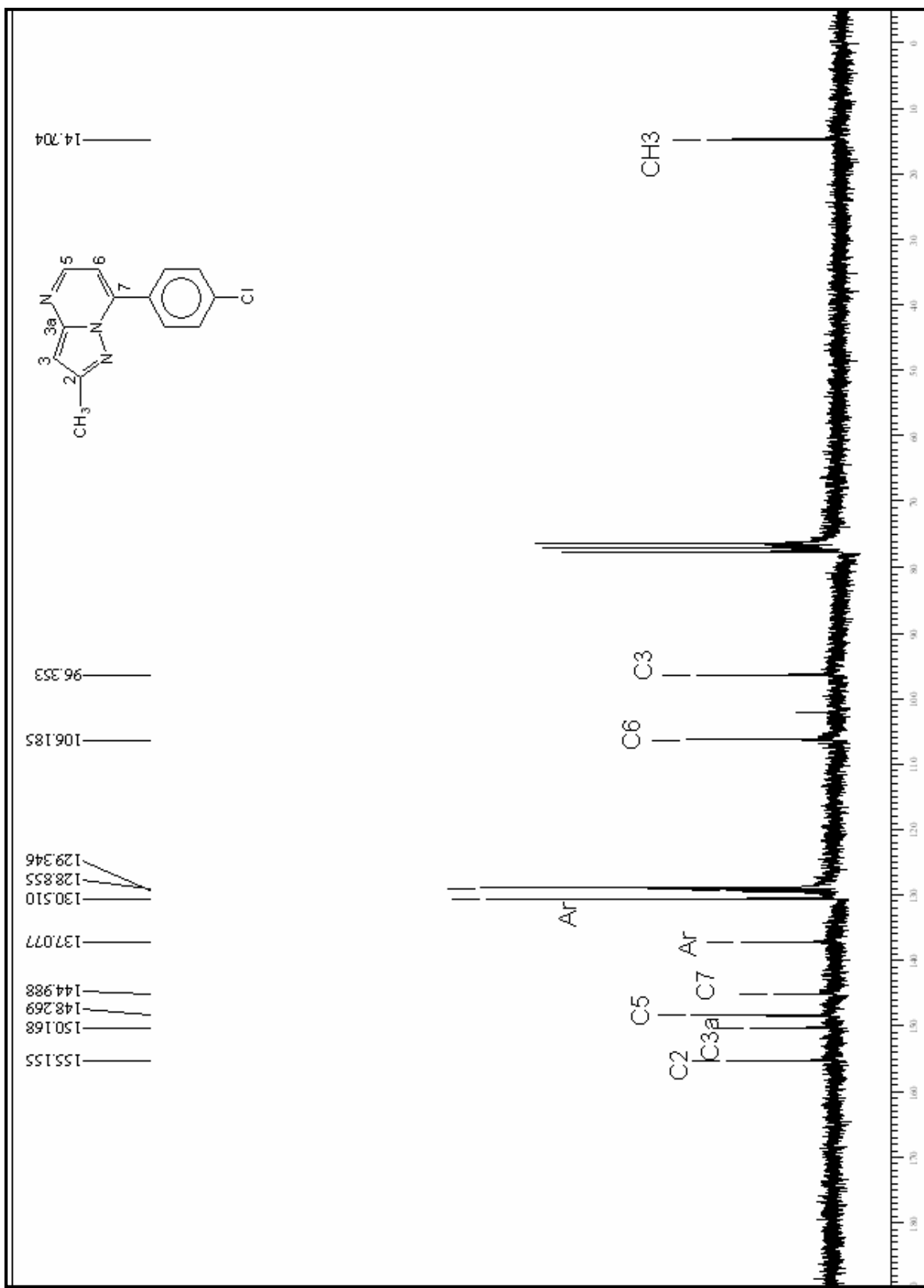


Figura 66: Espectro de RMN de ^{13}C do composto **4f** em CDCl_3

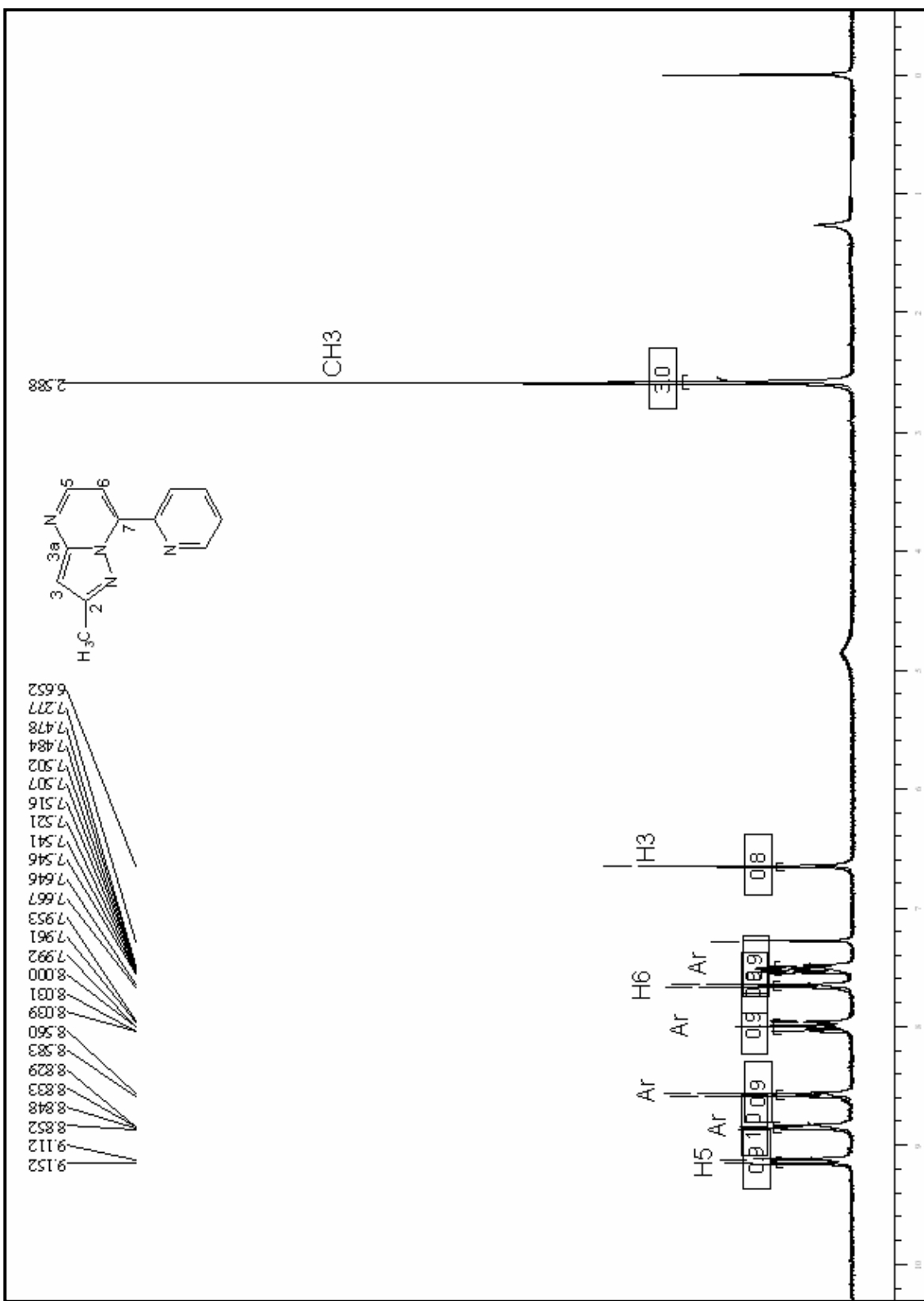


Figura 67: Espectro de RMN de ^1H do composto **4g** em CDCl_3

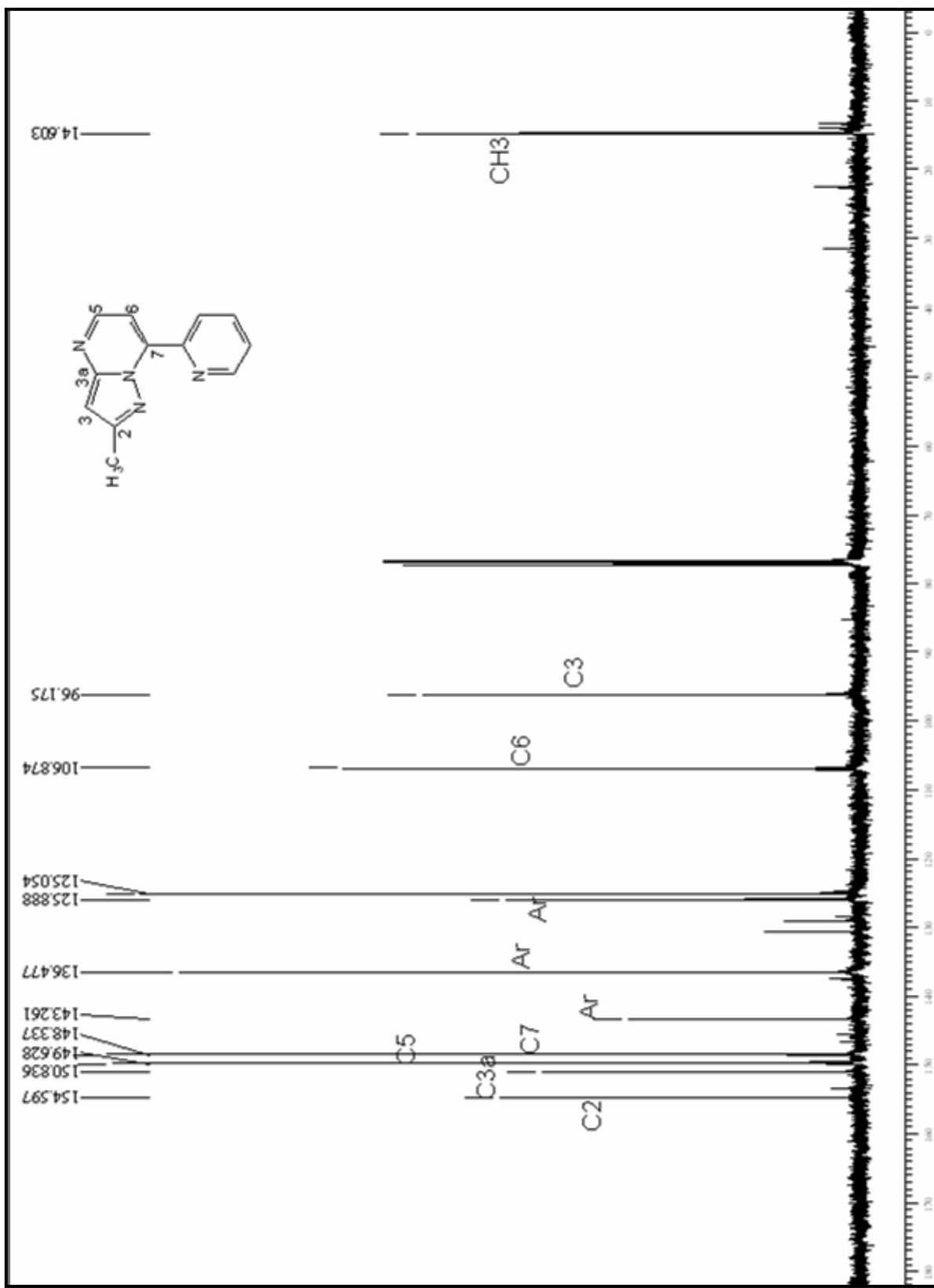


Figura 68: Espectro de RMN de ^{13}C do composto **4g** em CDCl_3

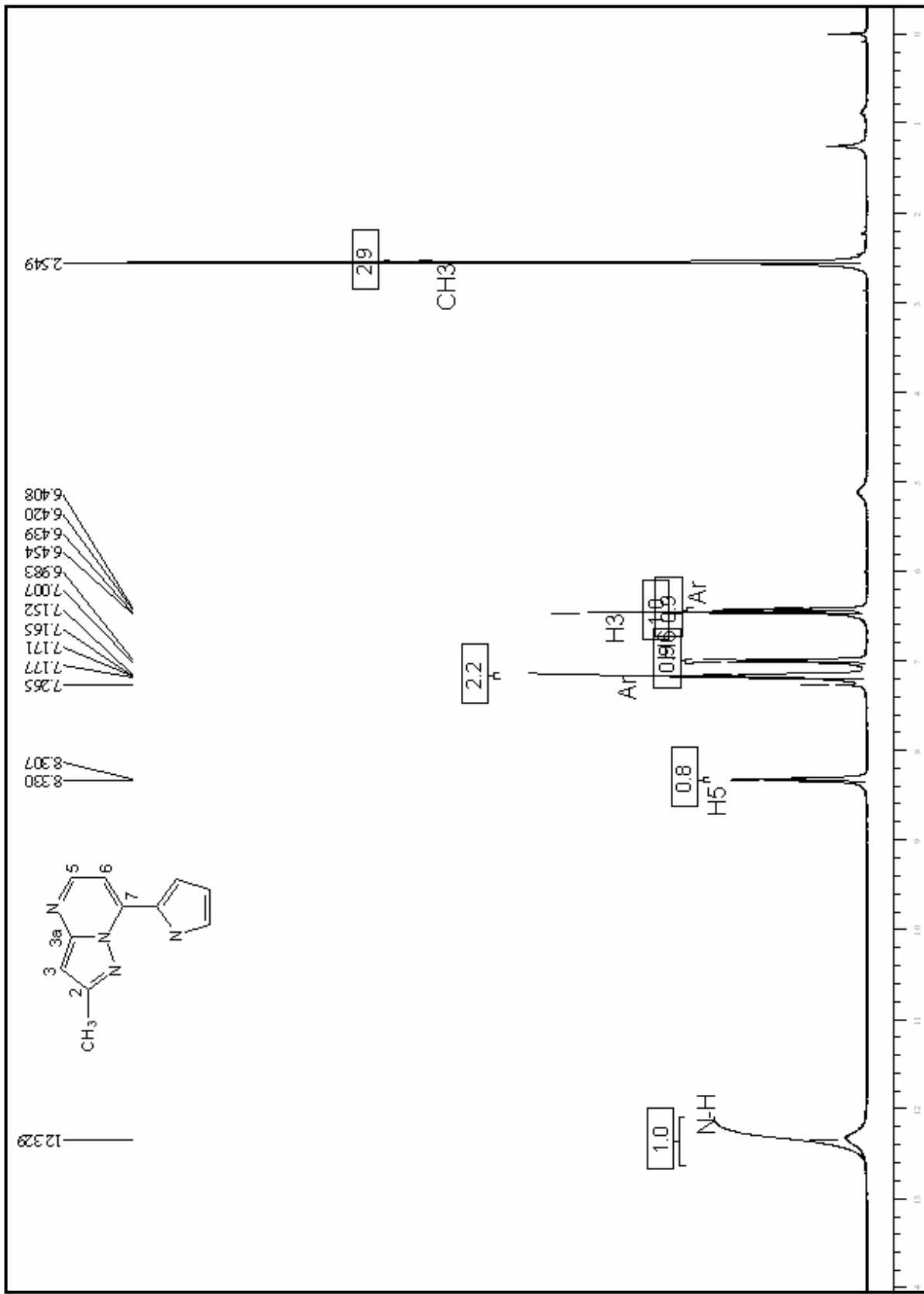


Figura 69: Espectro de RMN de ^1H do composto 4h em CDCl_3

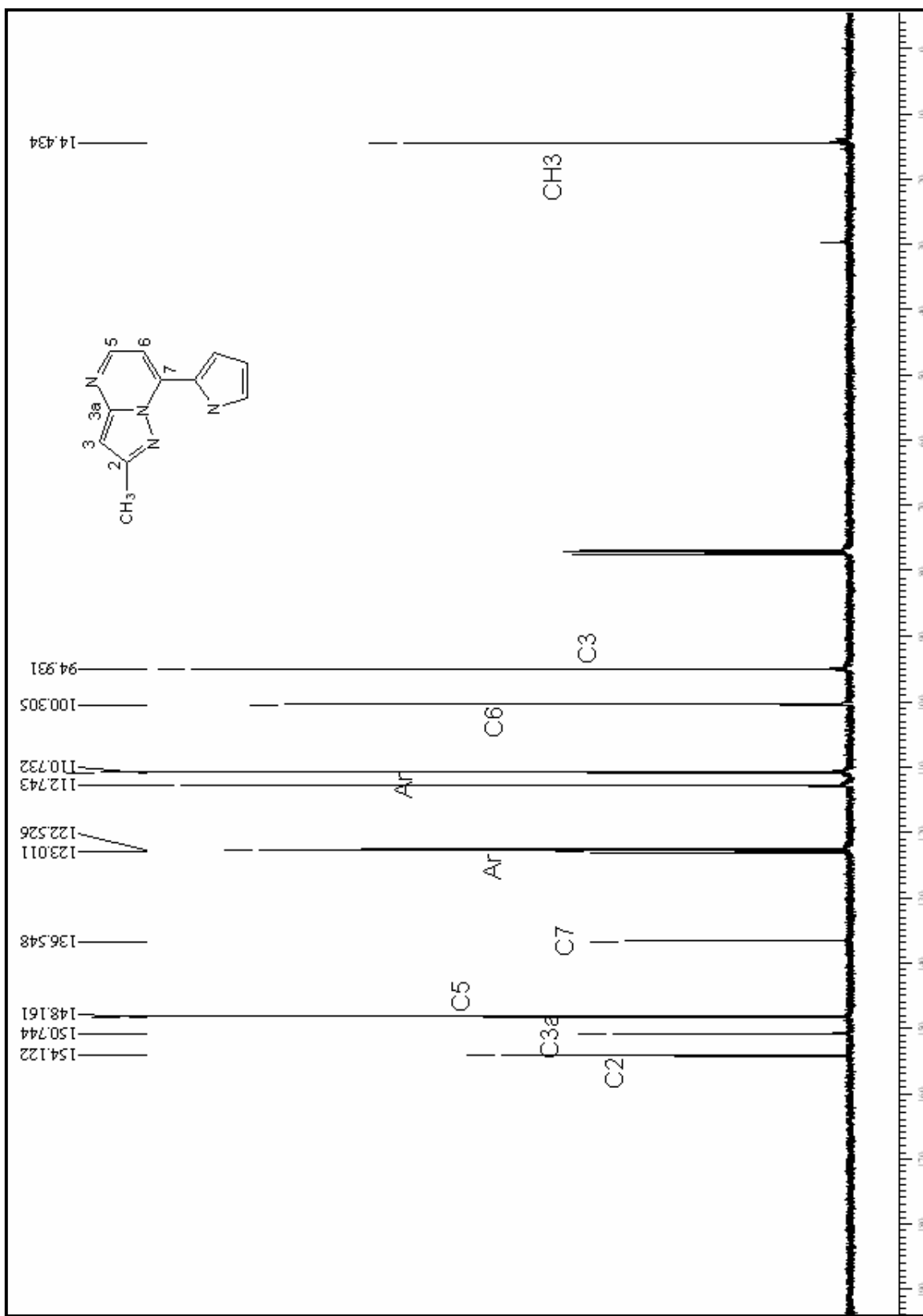


Figura 70: Espectro de RMN de ^{13}C do composto **4h** em CDCl_3

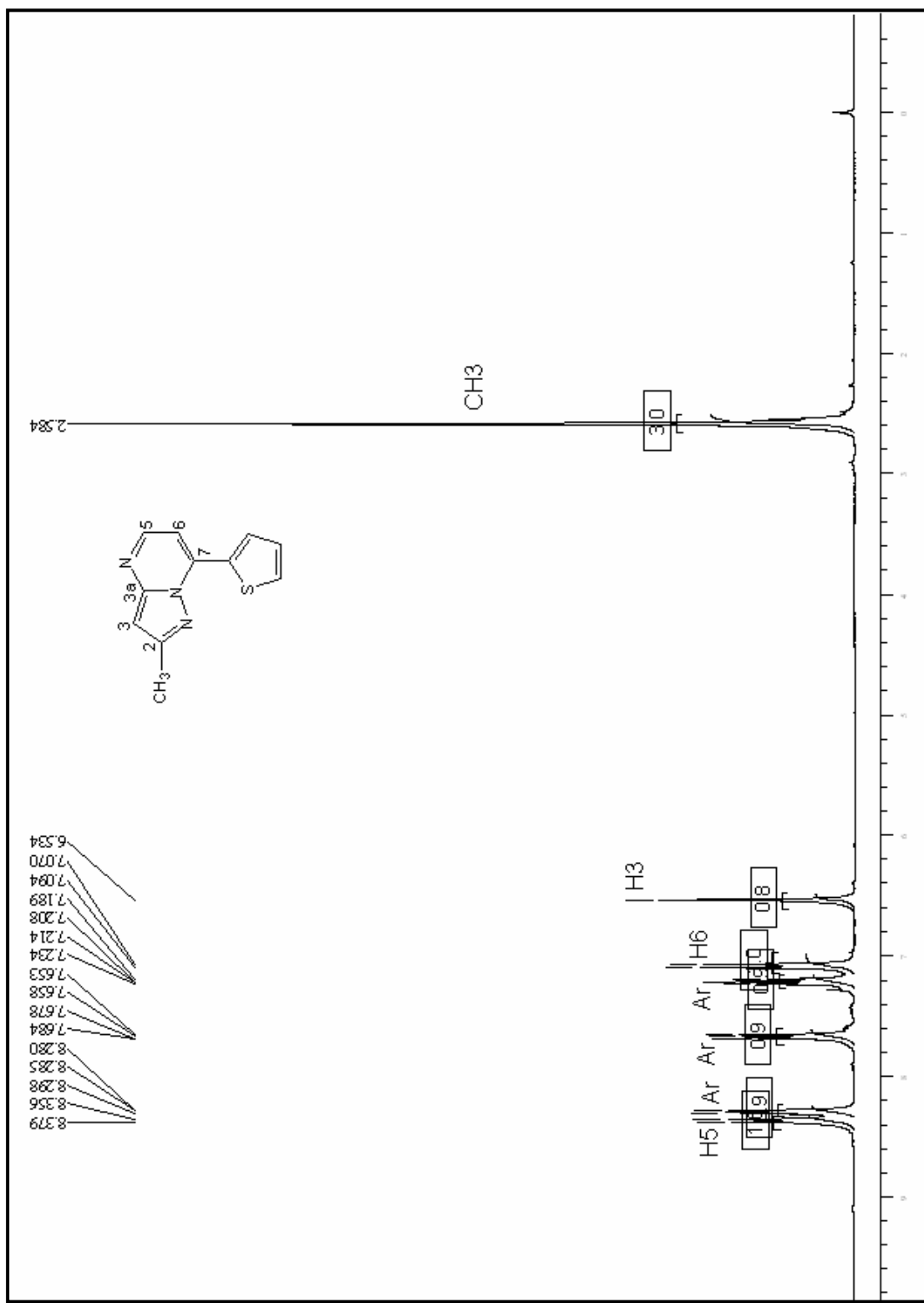


Figura 71: Espectro de RMN de ^1H do composto **4i** em CDCl_3

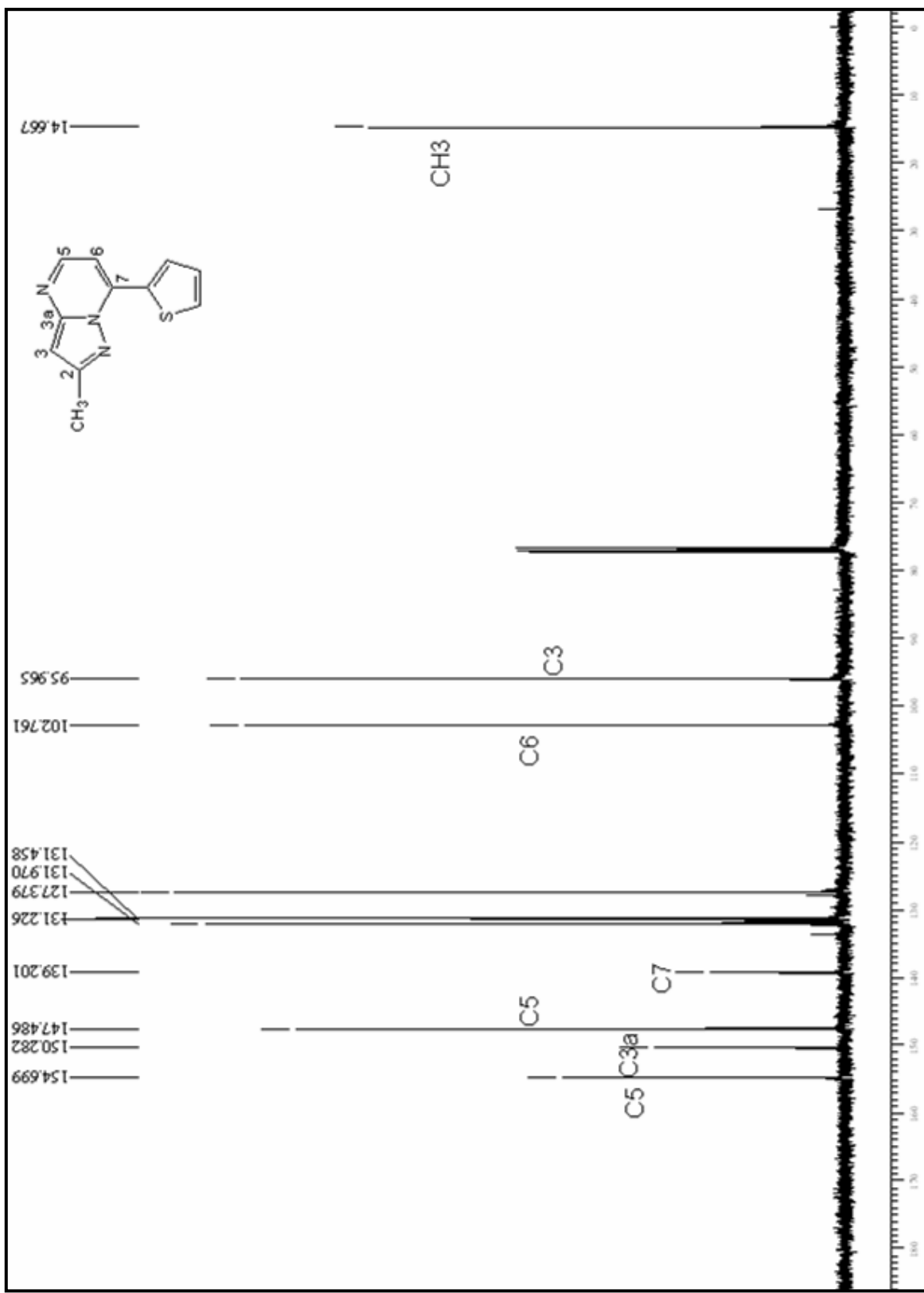


Figura 72: Espectro de RMN de ^{13}C do composto **4i** em CDCl_3

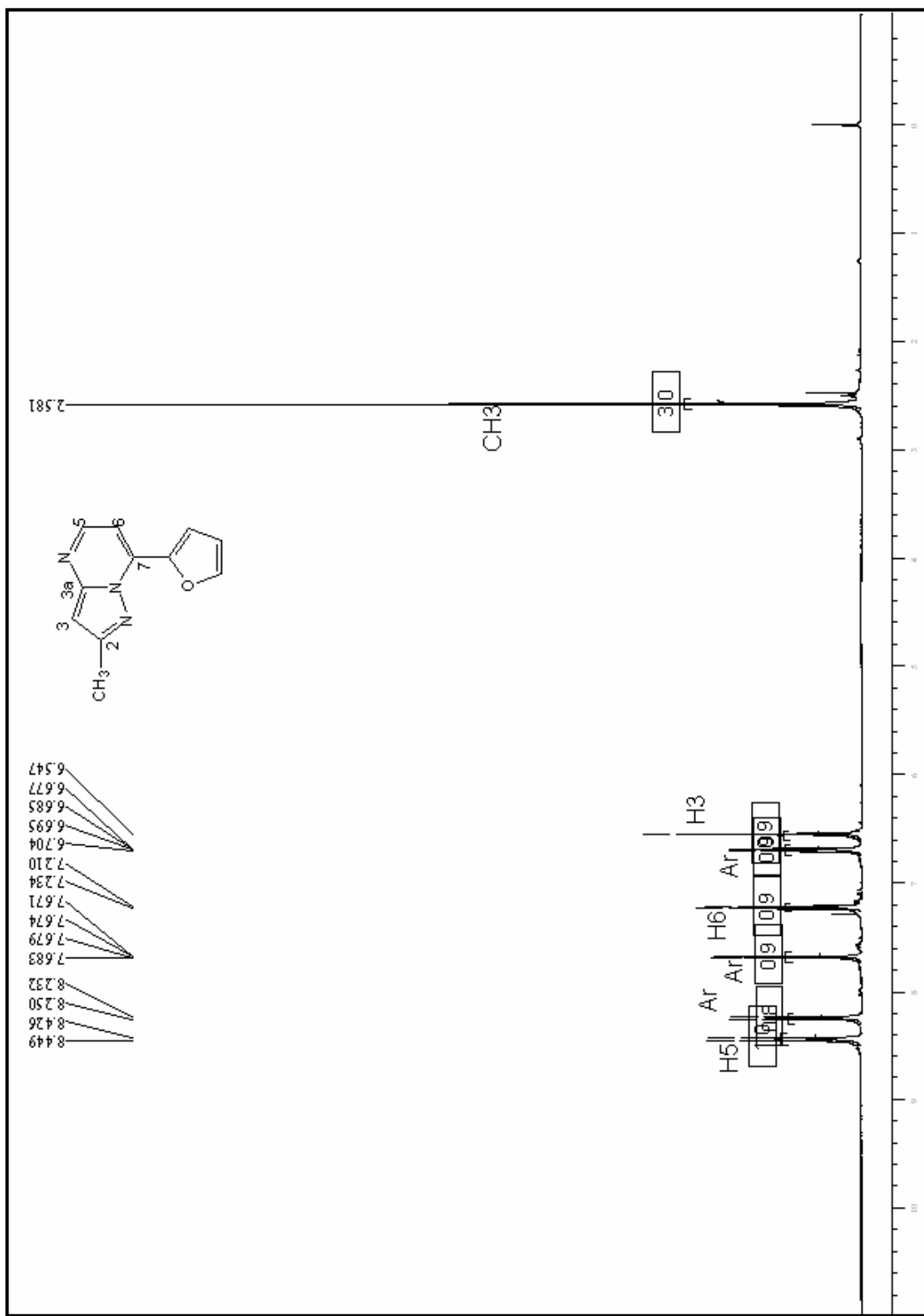


Figura 73: Espectro de RMN de ¹H do composto 4j em CDCl₃

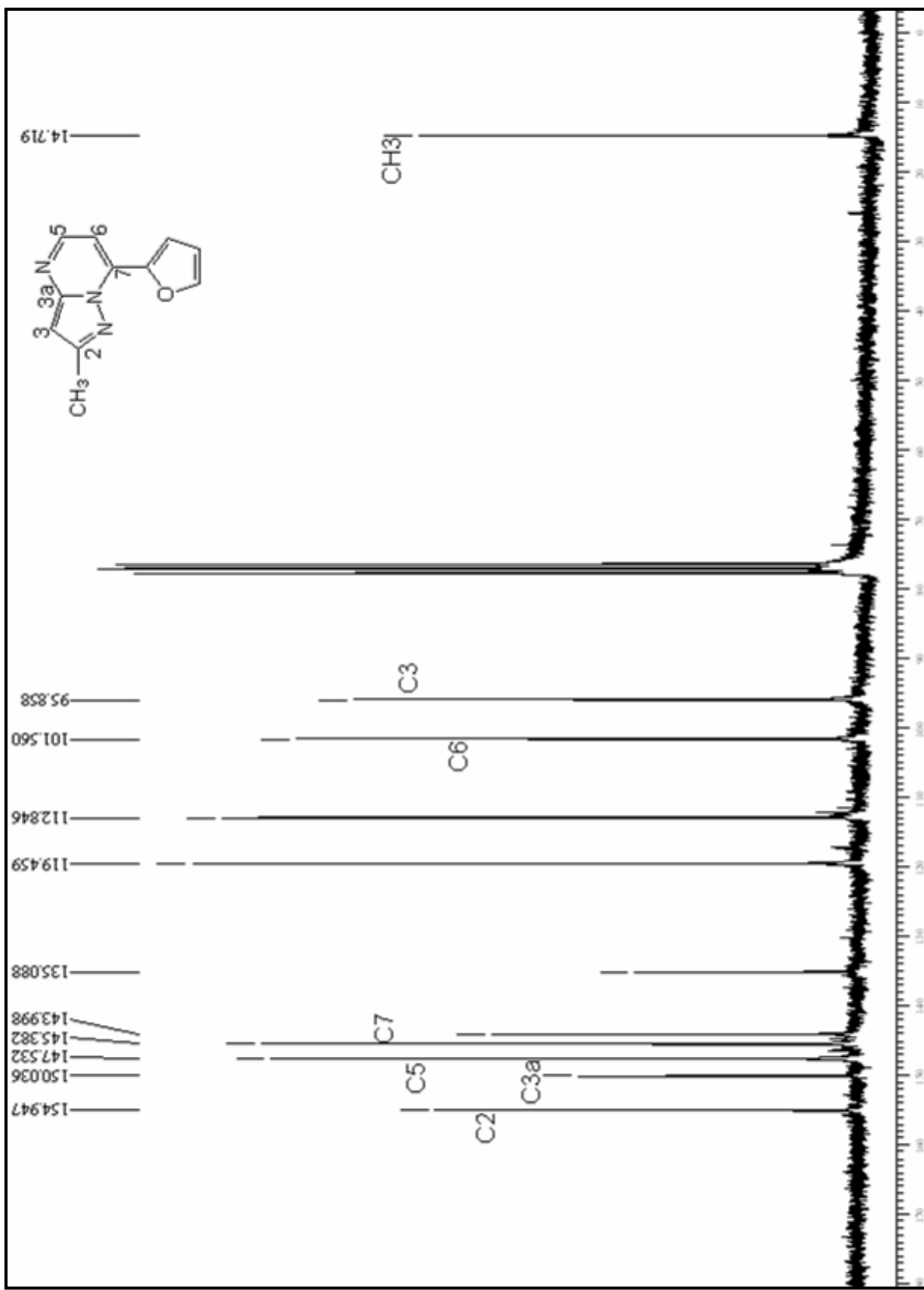


Figura 74: Espectro de RMN de ^{13}C do composto **4j** em CDCl_3

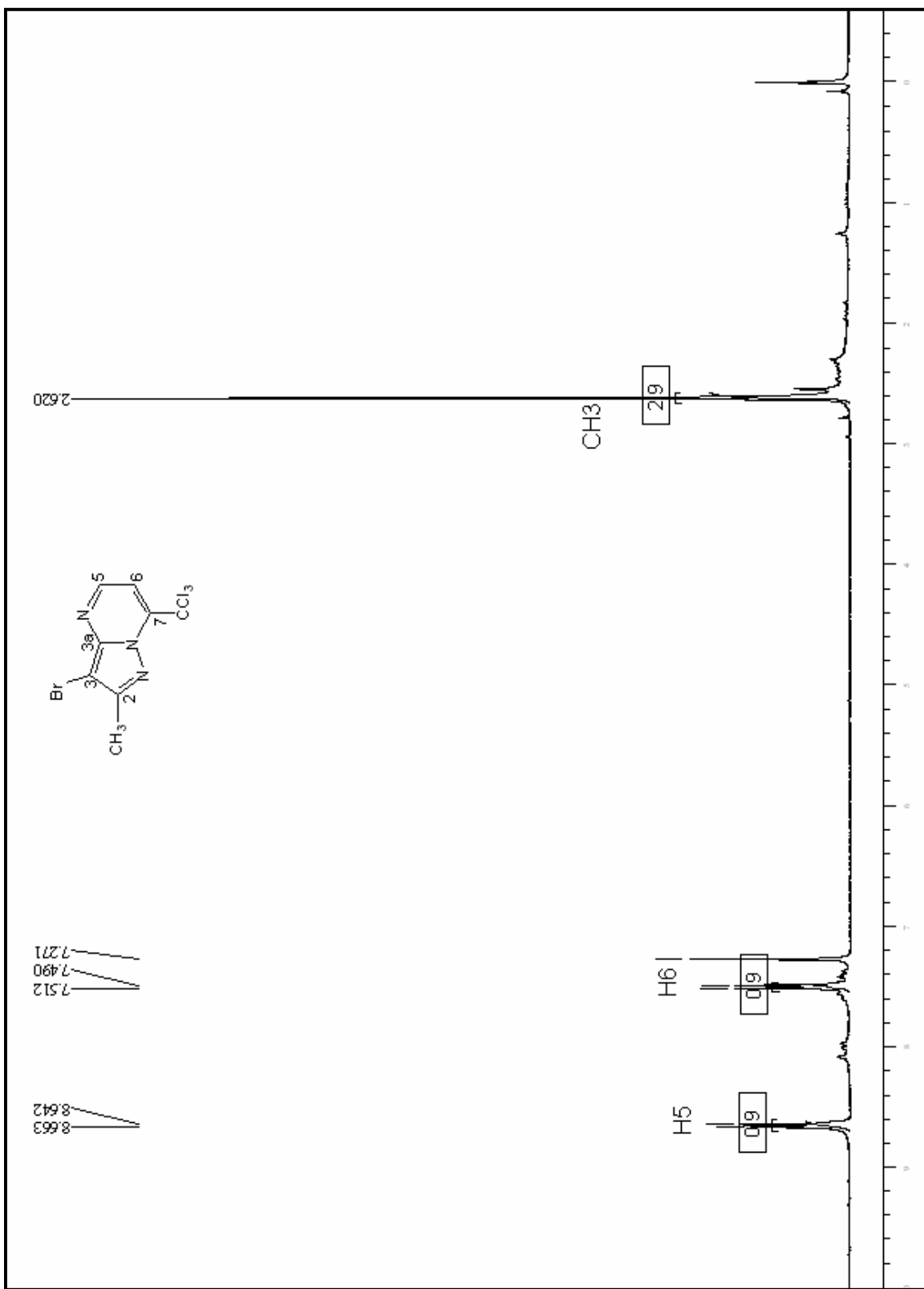


Figura 75: Espectro de RMN de ¹H do composto 5a em CDCl₃

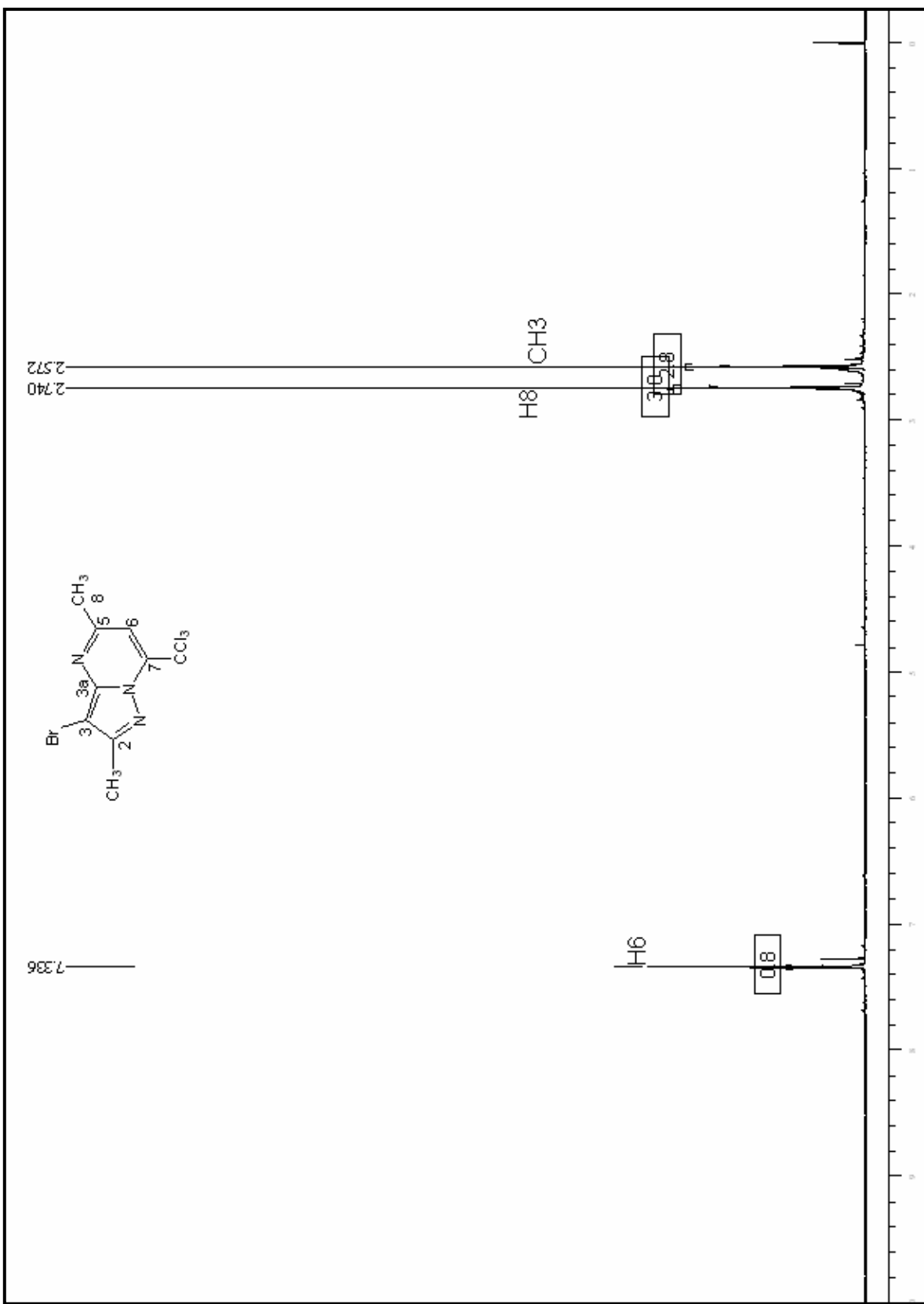


Figura 76: Espectro de RMN de ^1H do composto **5b** em CDCl_3

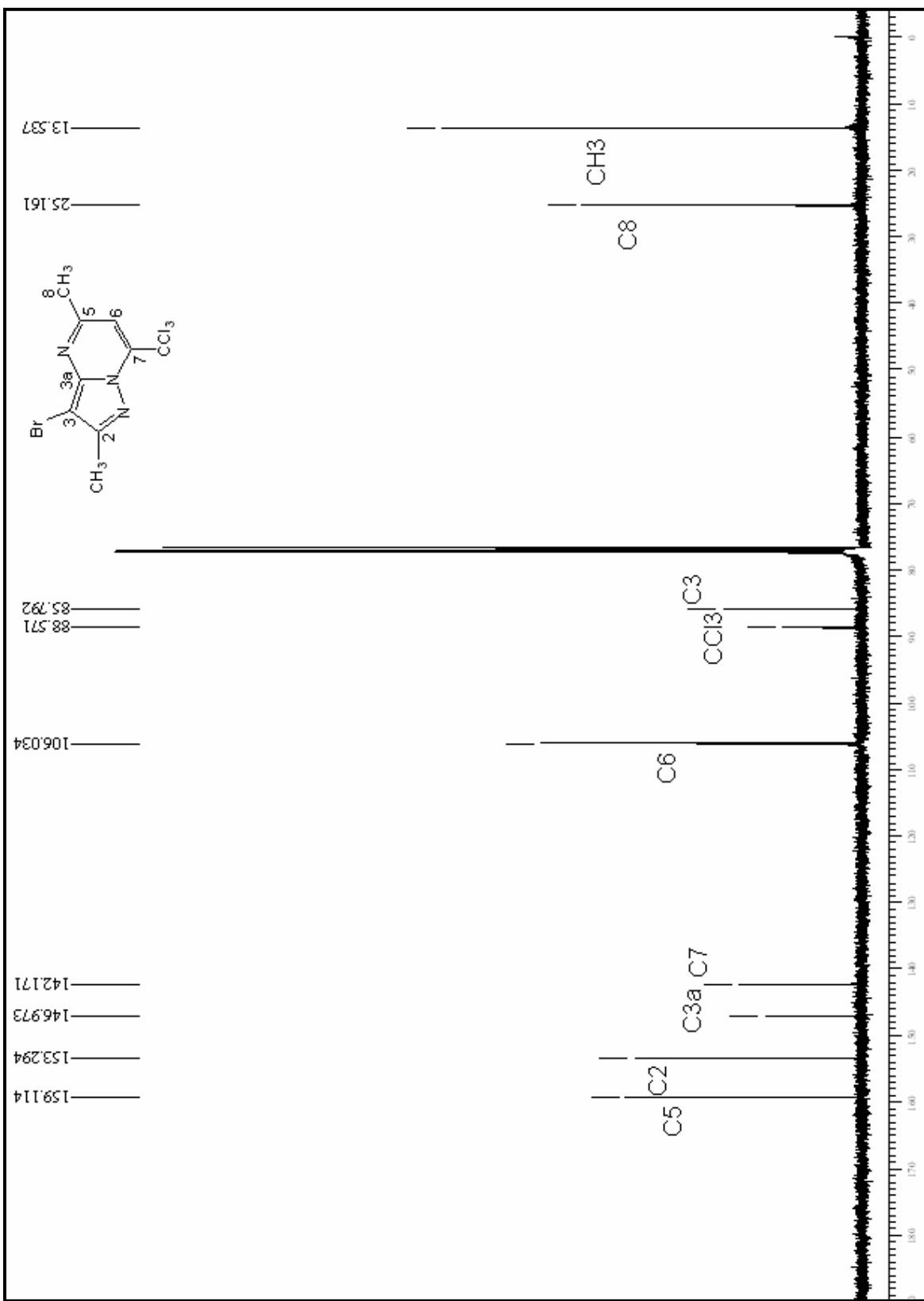


Figura 77: Espectro de RMN de ^{13}C do composto **5b**

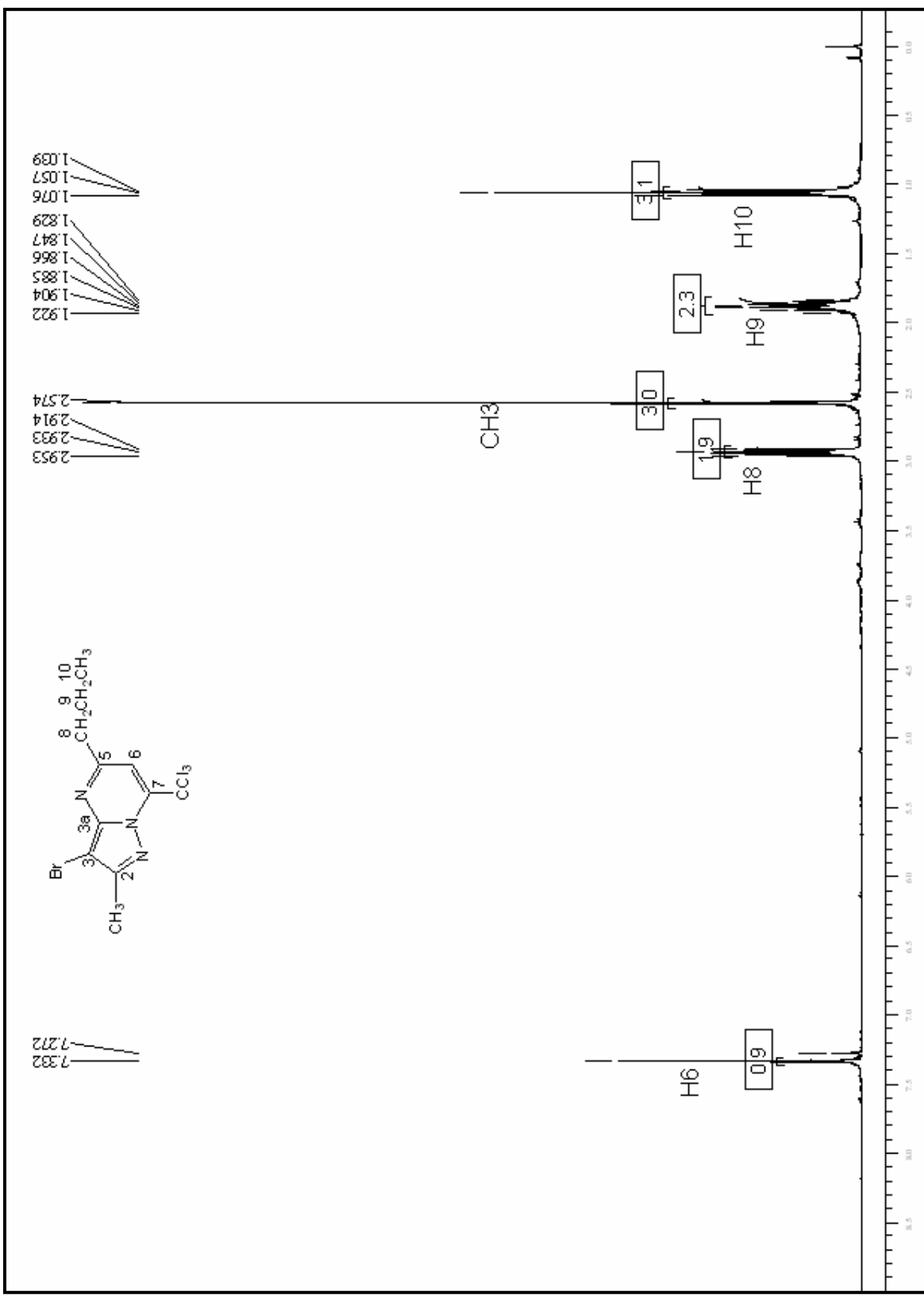


Figura 78: Espectro de RMN de ^1H do composto **5d**

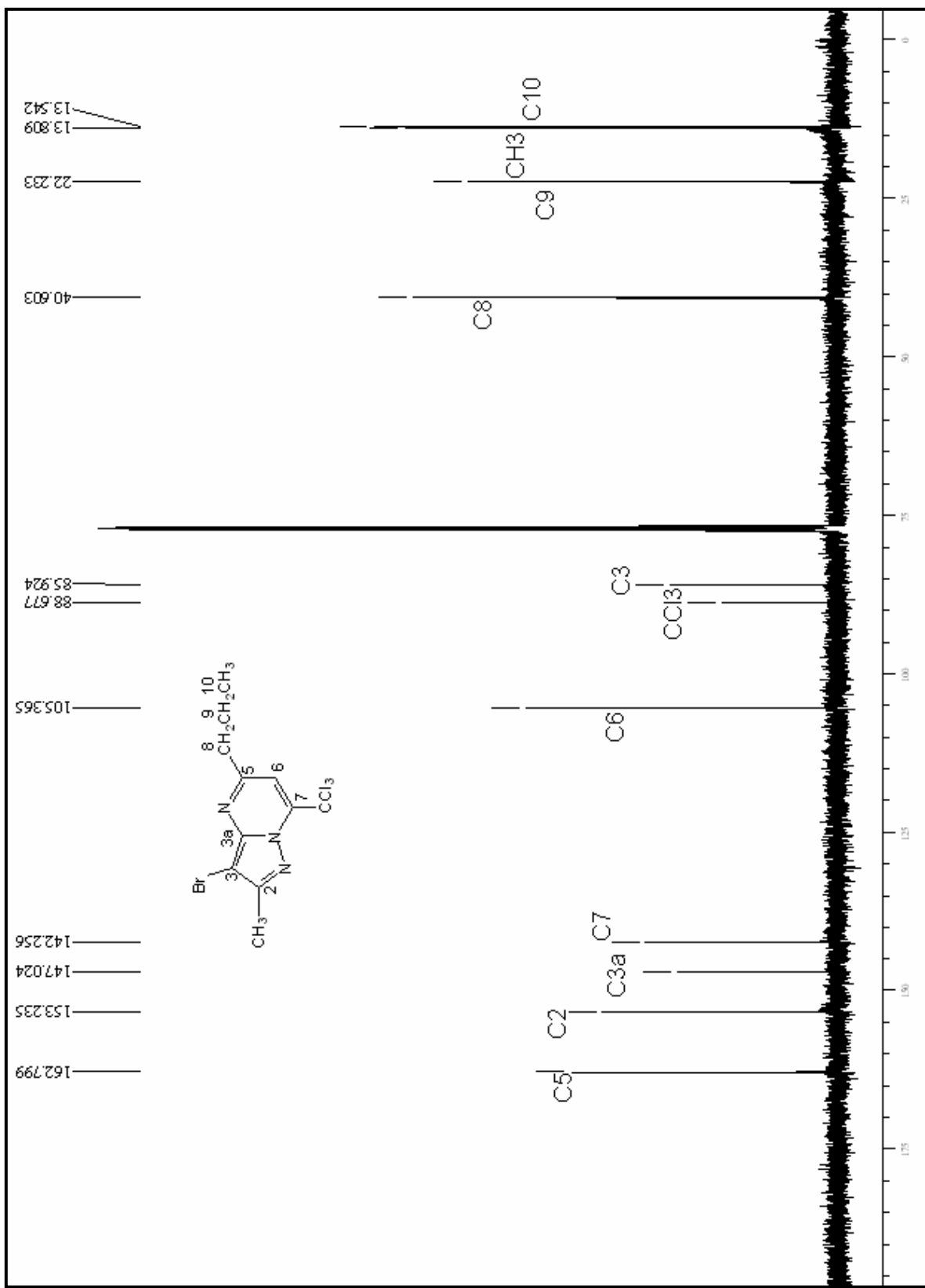


Figura 79: Espectro de RMN de ^{13}C do composto 5d

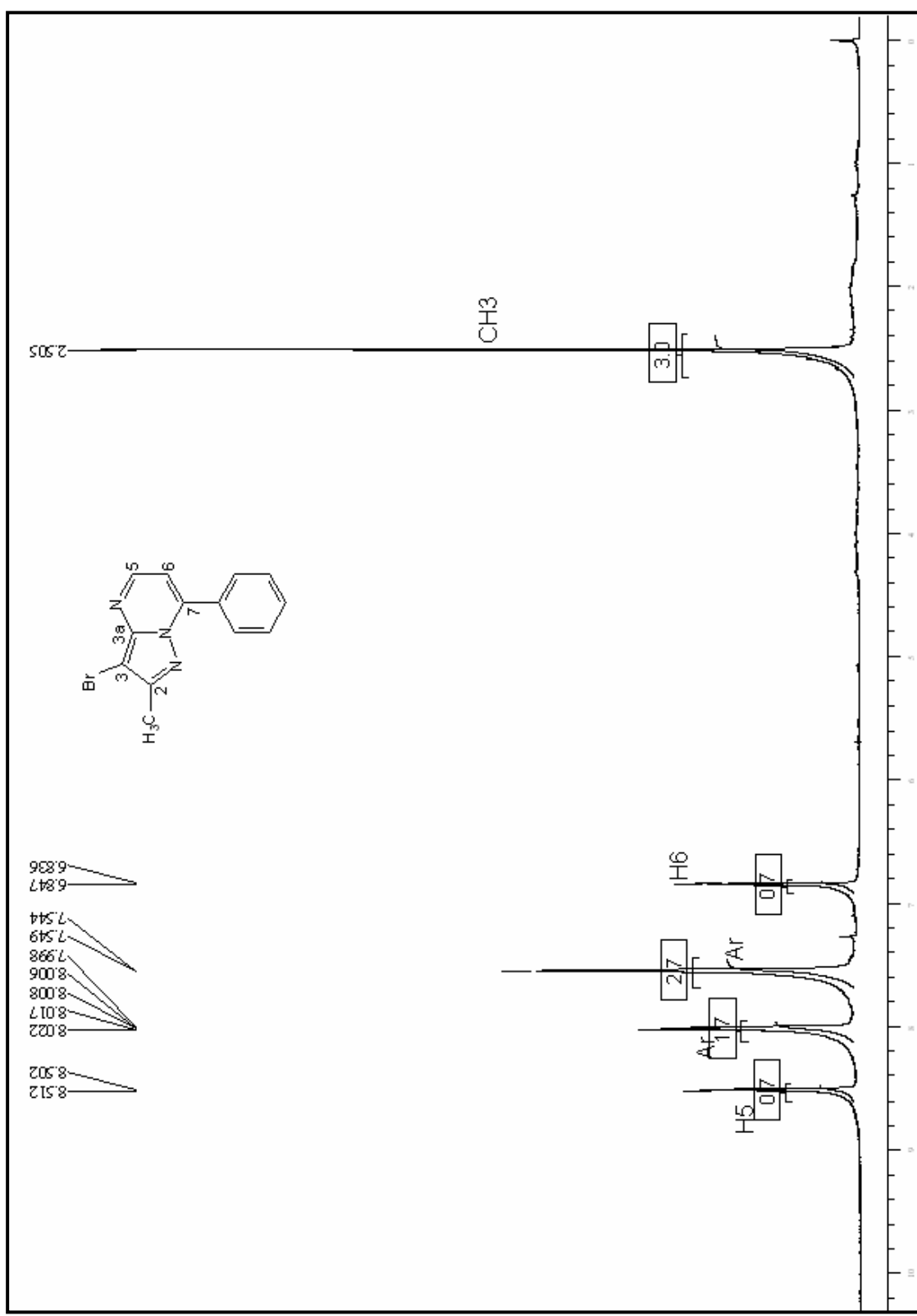


Figura 80: Espectro de RMN de ^1H do composto **6a**

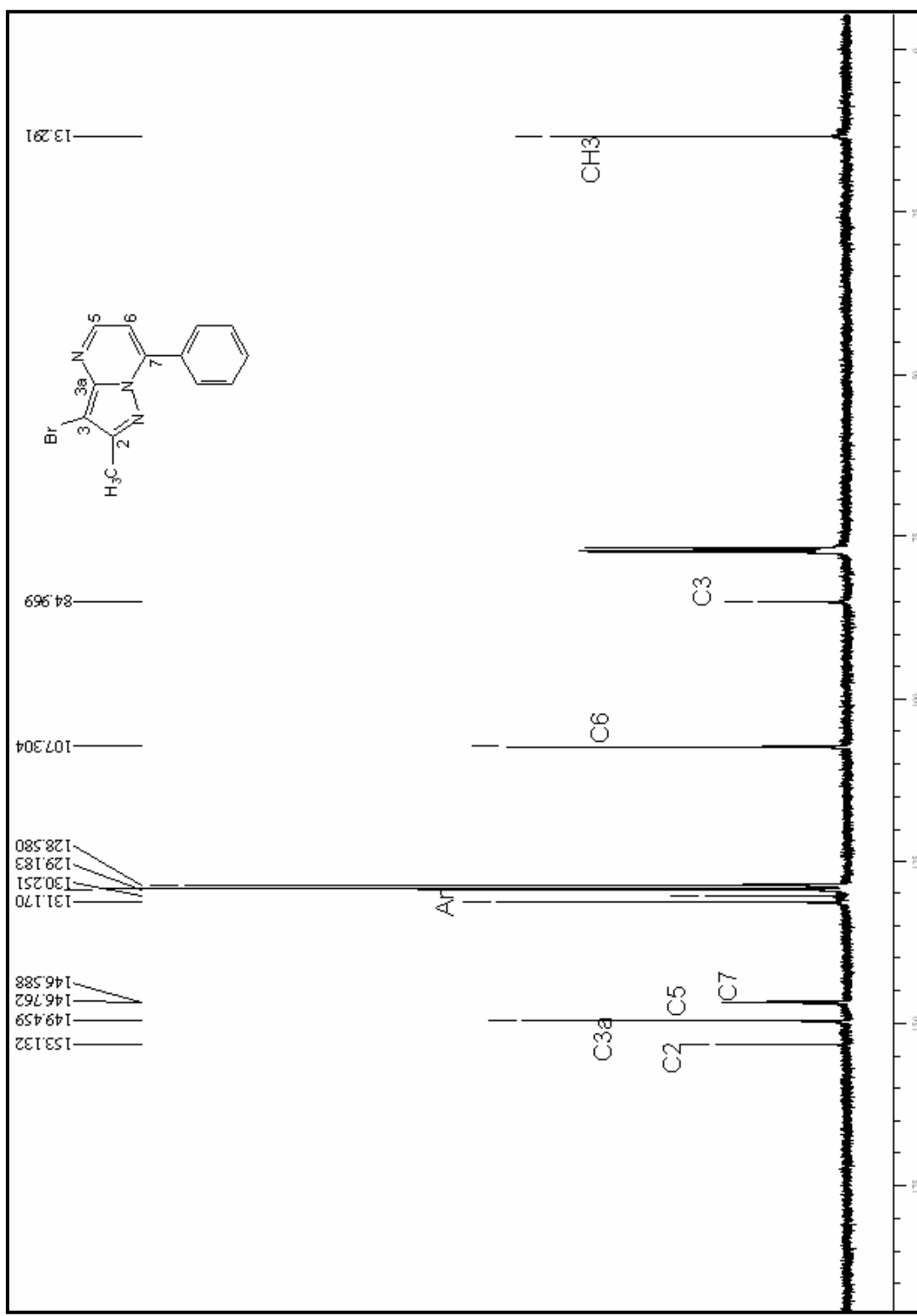


Figura 81: Espectro de RMN de ^{13}C do composto 6a

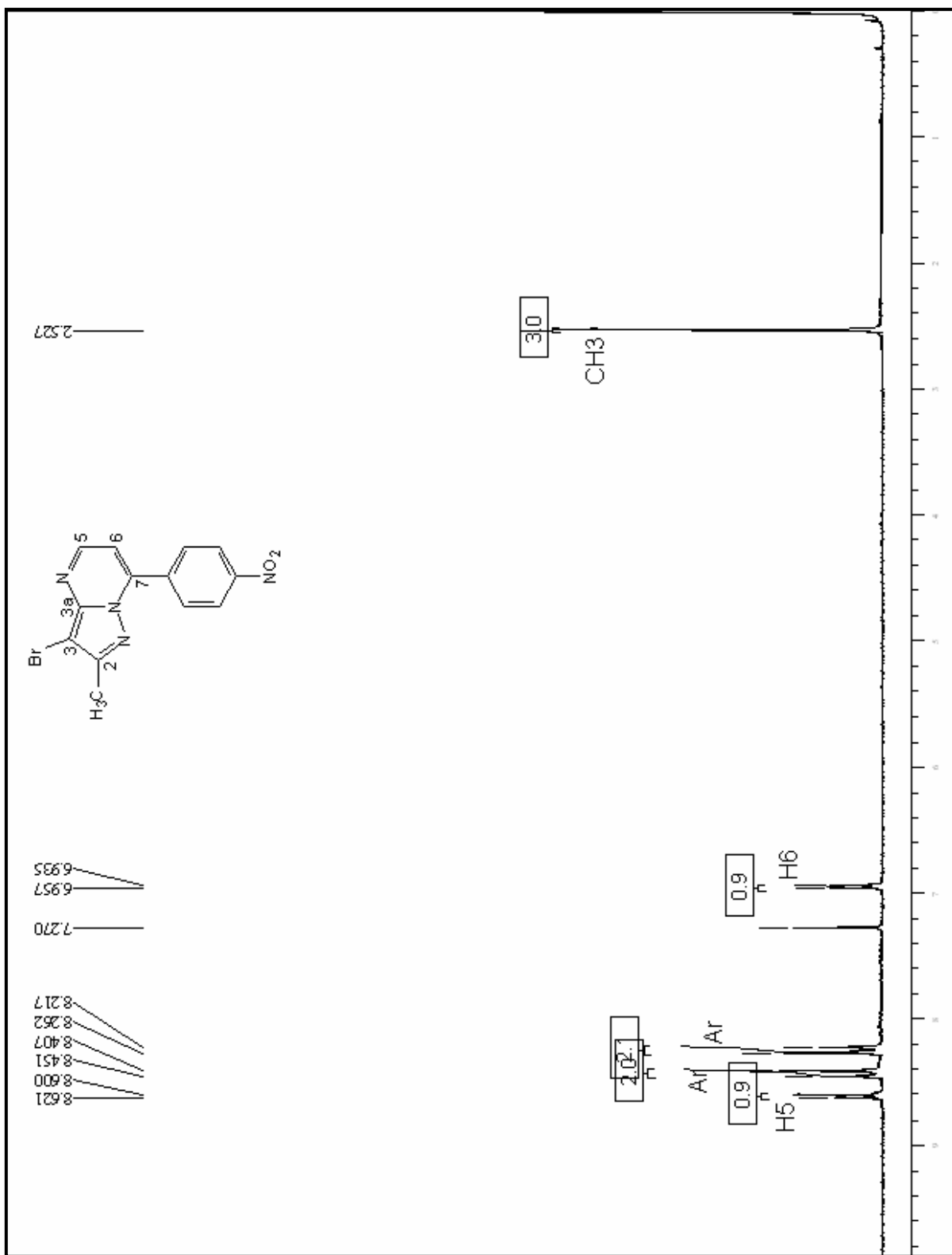


Figura 82: Espectro de RMN de ^1H do composto **6b**

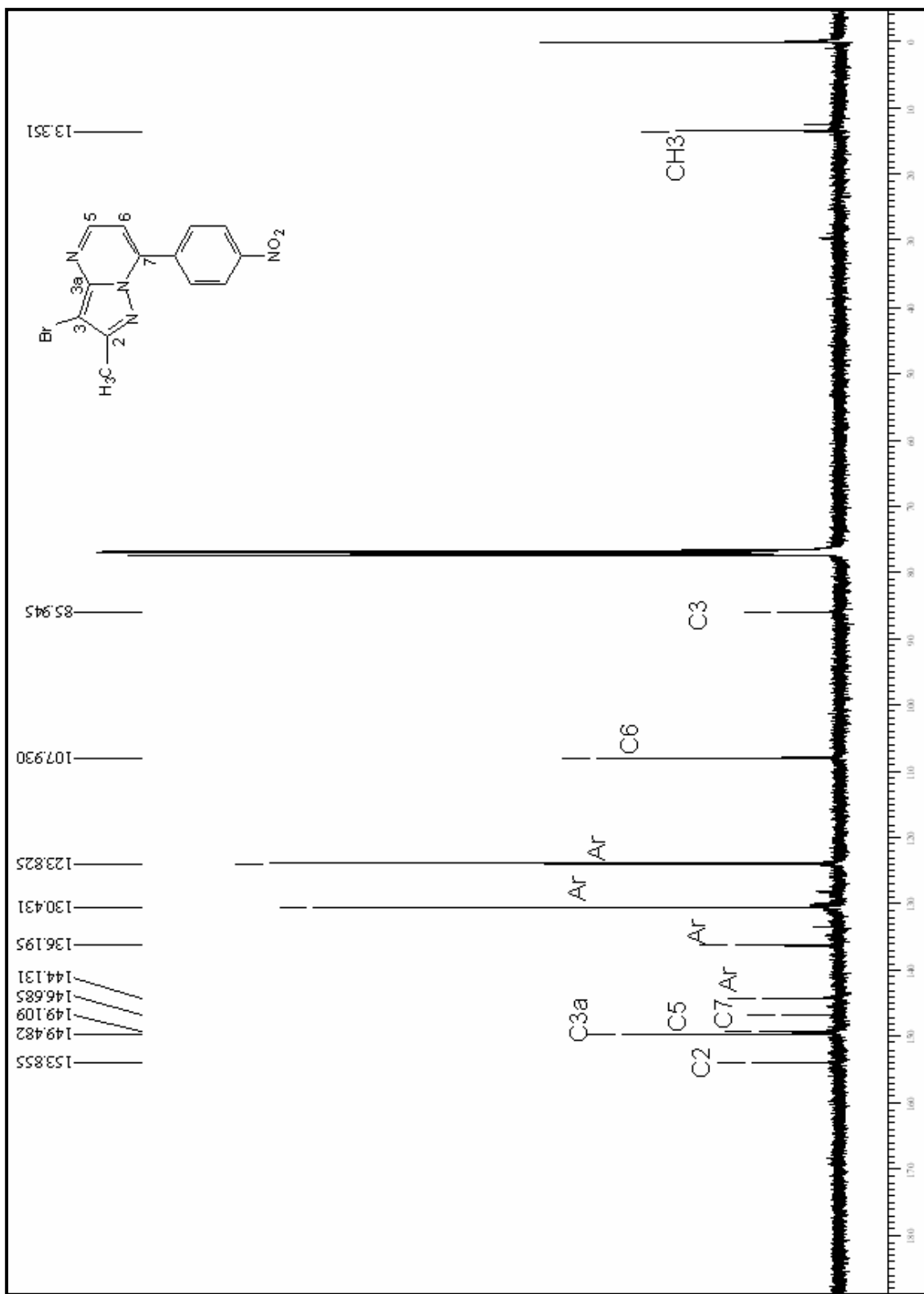


Figura 83: Espectro de RMN de ^{13}C do composto **6b**

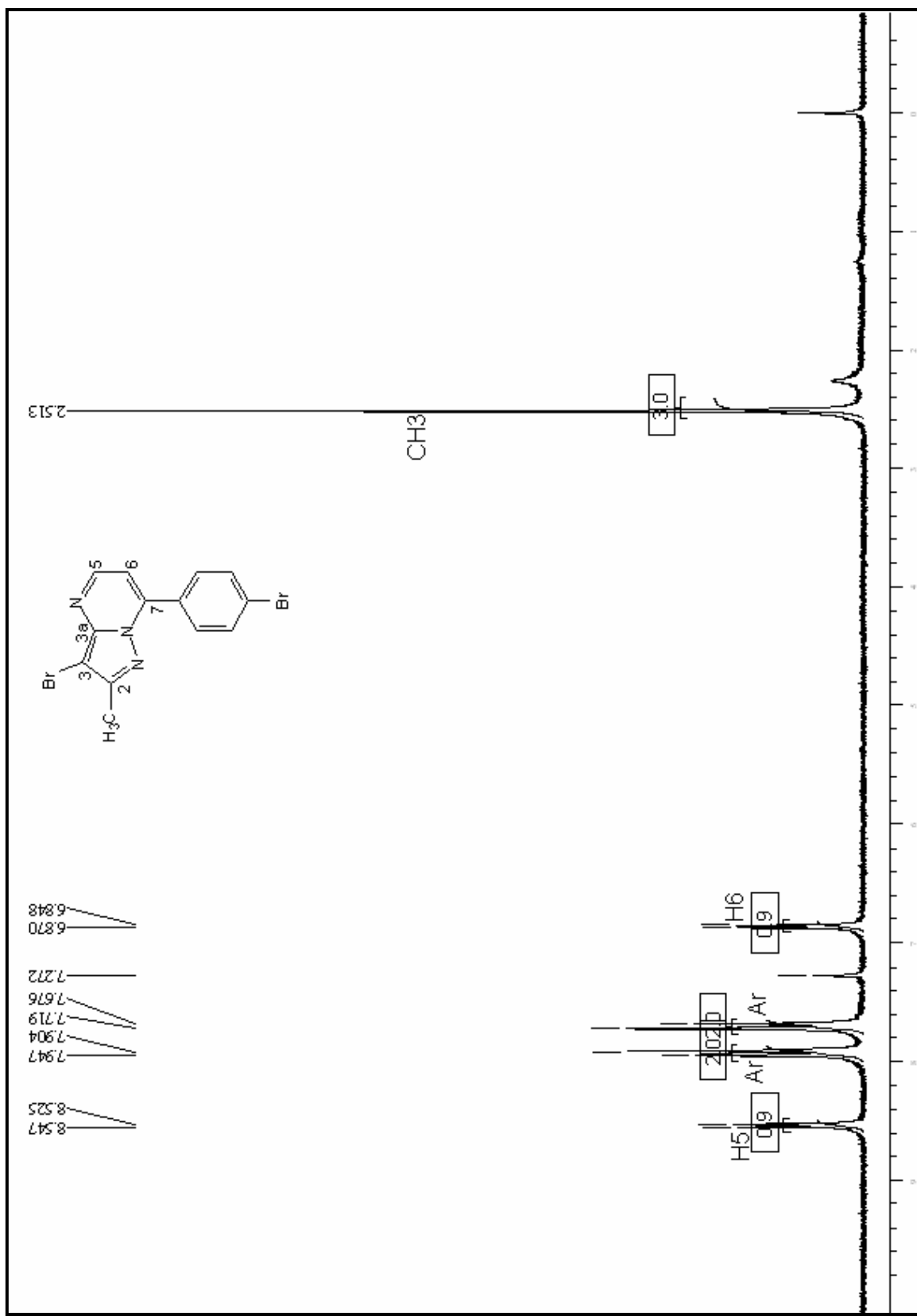


Figura 84: Espectro de RMN de ¹H do composto 6d

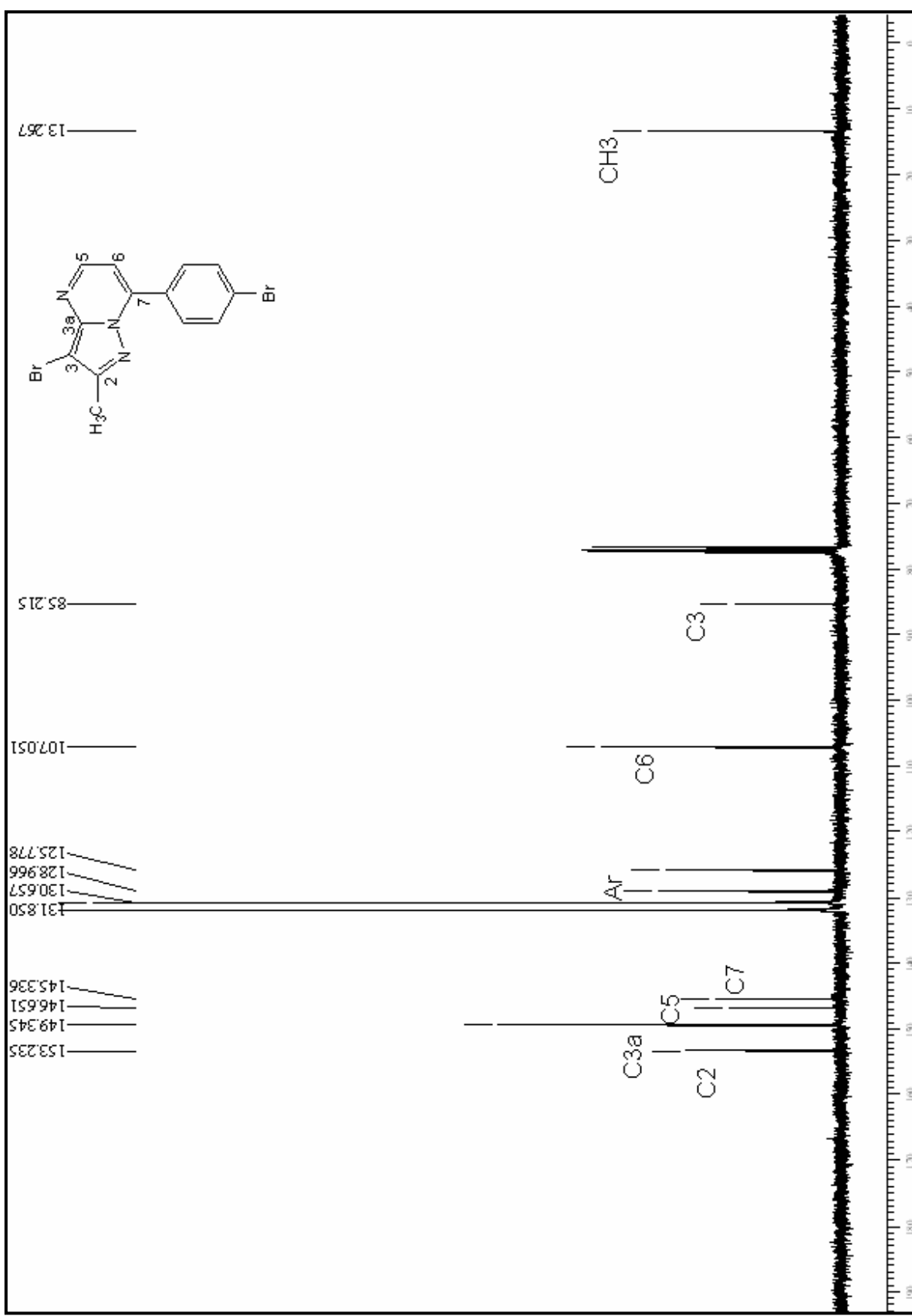


Figura 85: Espectro de RMN de ^{13}C do composto **6d**

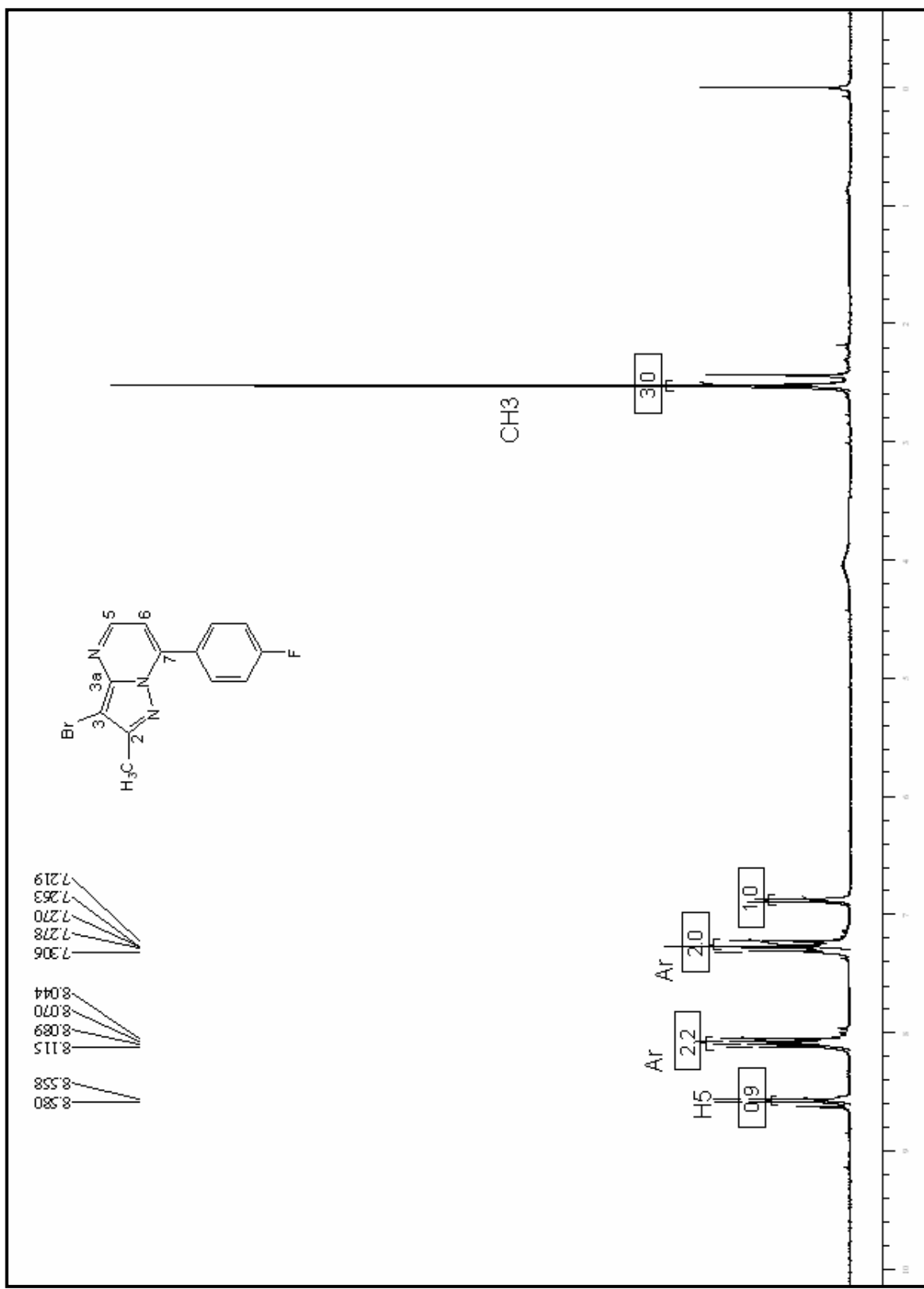


Figura 86: Espectro de RMN de ^1H do composto **6e**

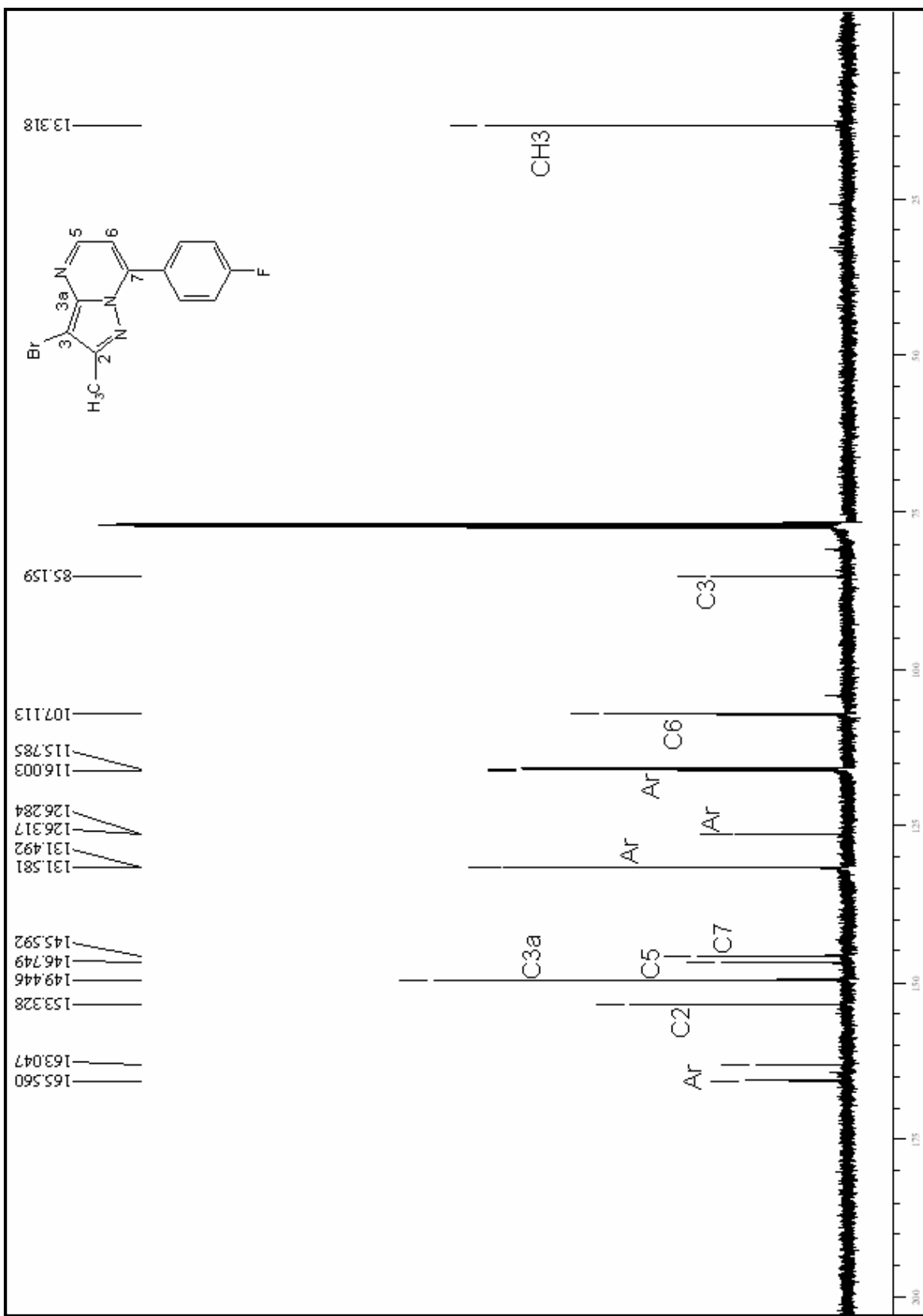


Figura 87: Espectro de RMN de ^{13}C do composto **6e**

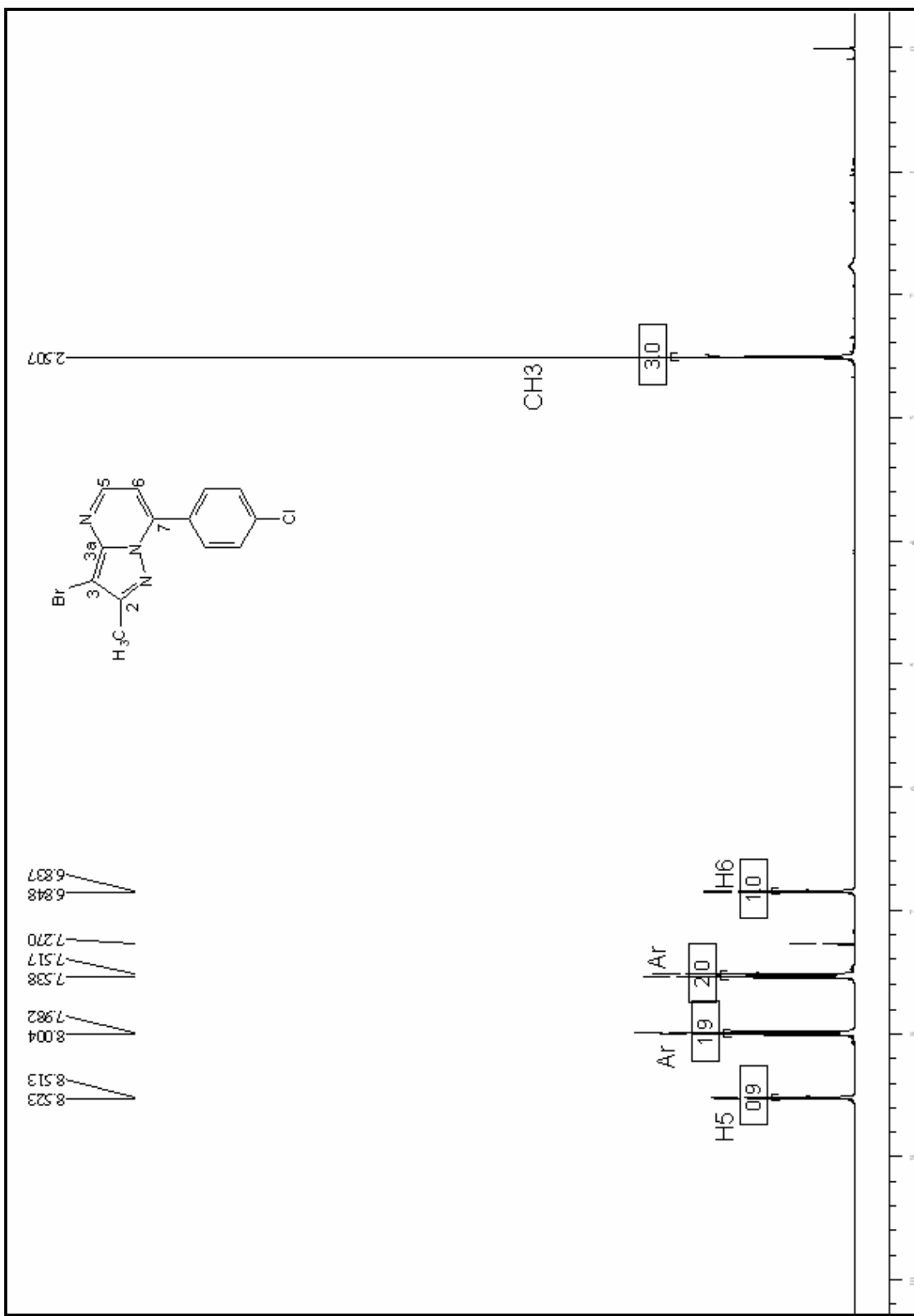


Figura 88: Espectro de RMN de ^1H do composto **6f**

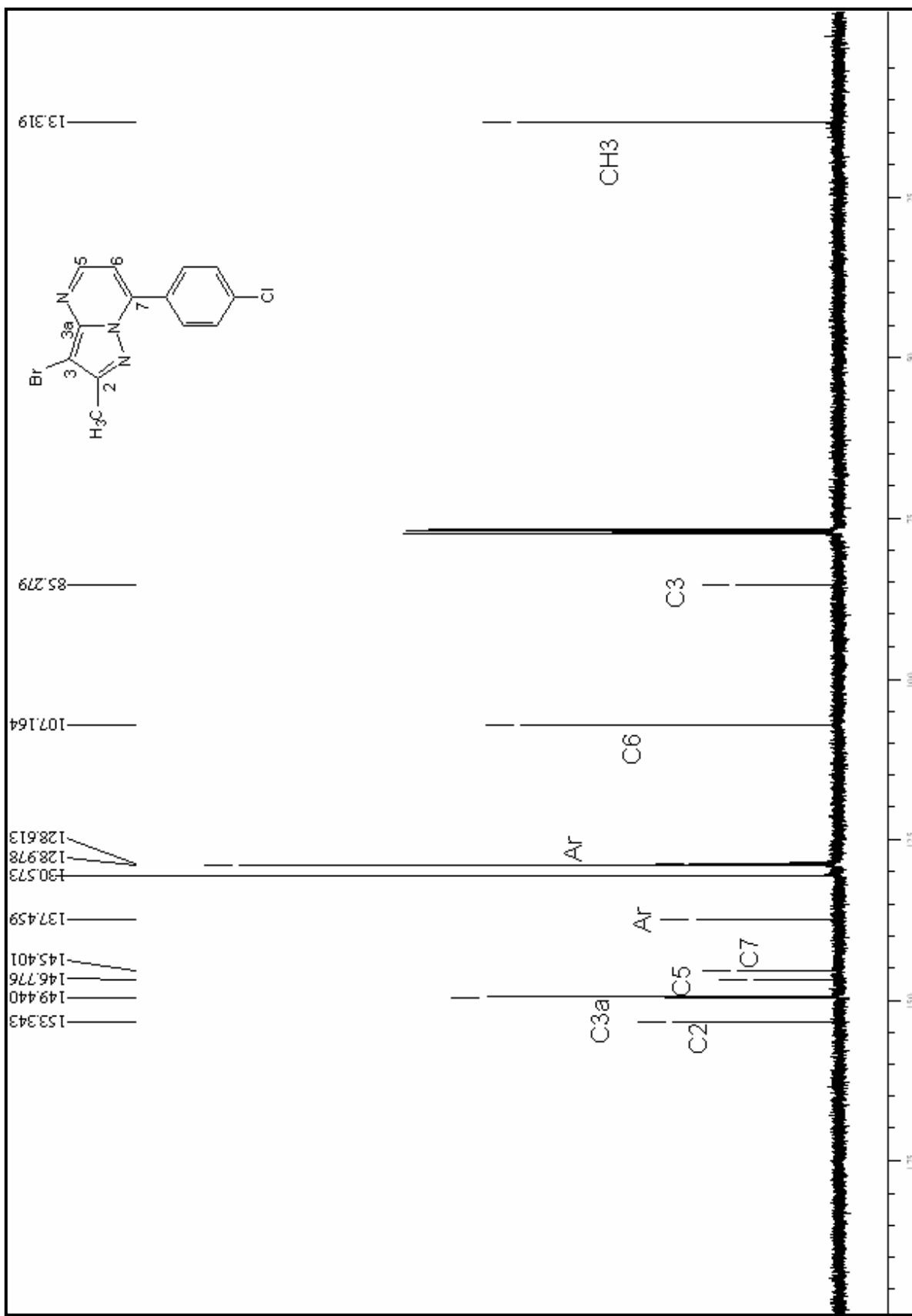


Figura 89: Espectro de RMN de ^{13}C do composto 6f

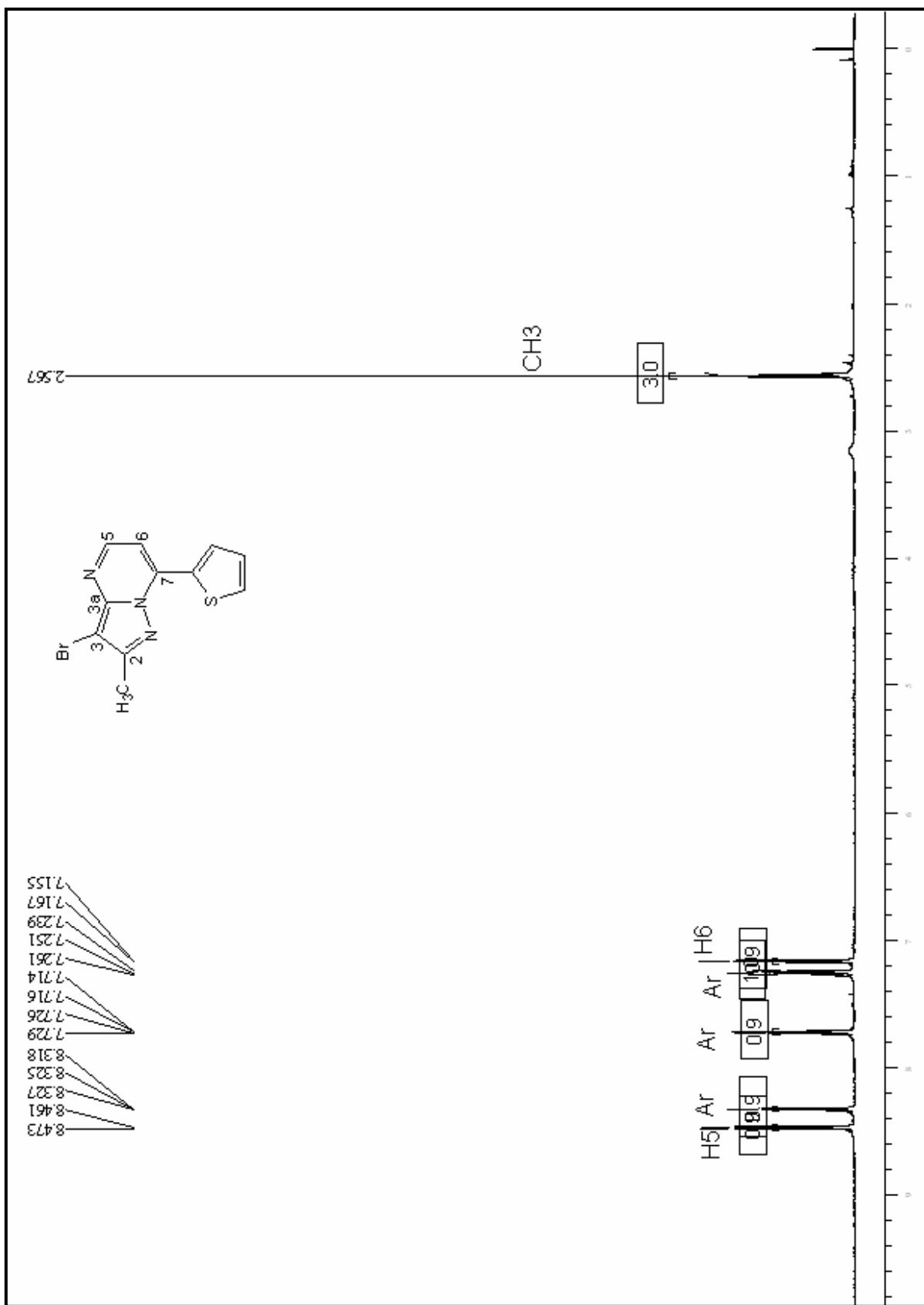


Figura 90: Espectro de RMN de ^1H do composto **6i**

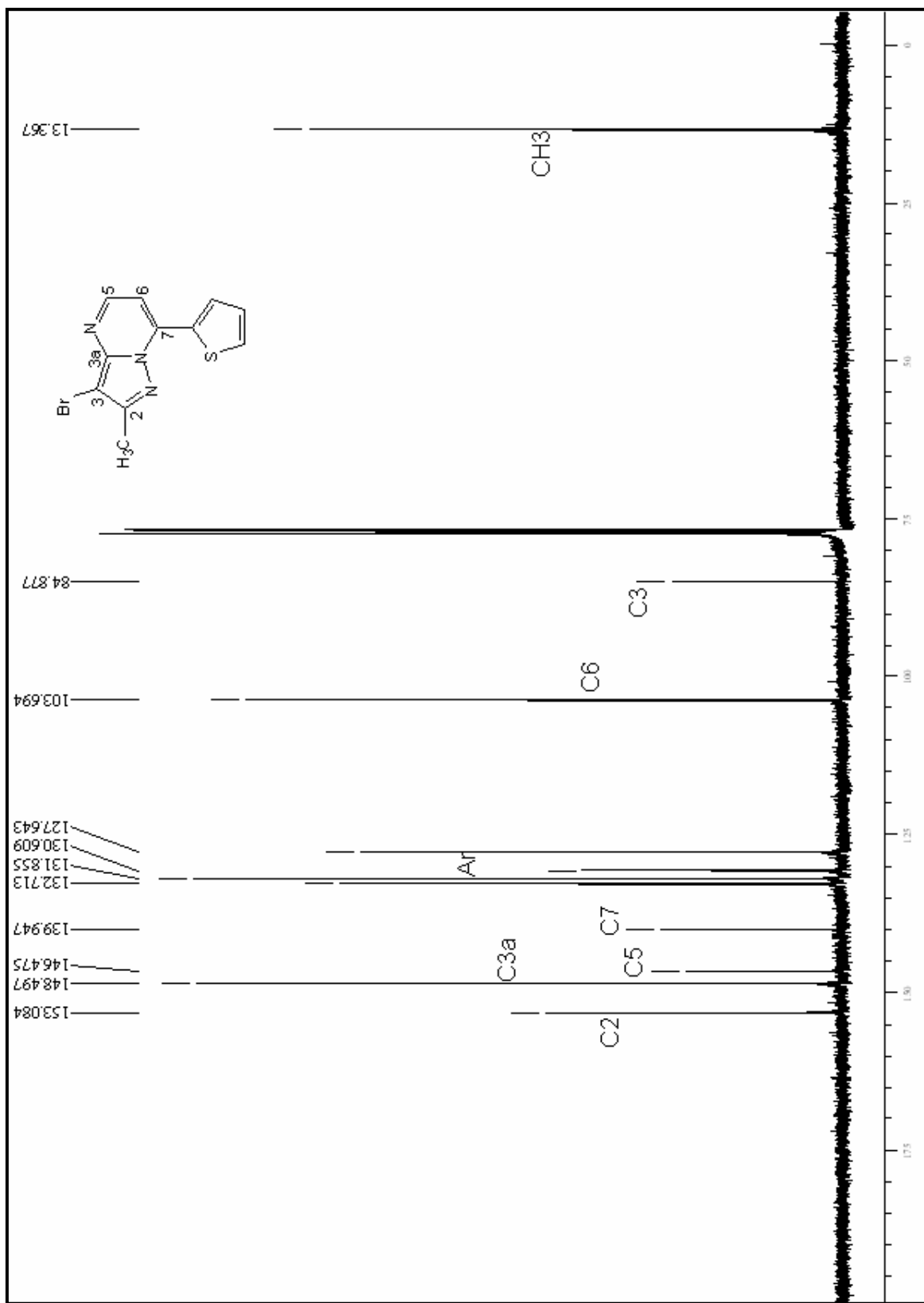


Figura 91: Espectro de RMN de ^{13}C do composto **6i**

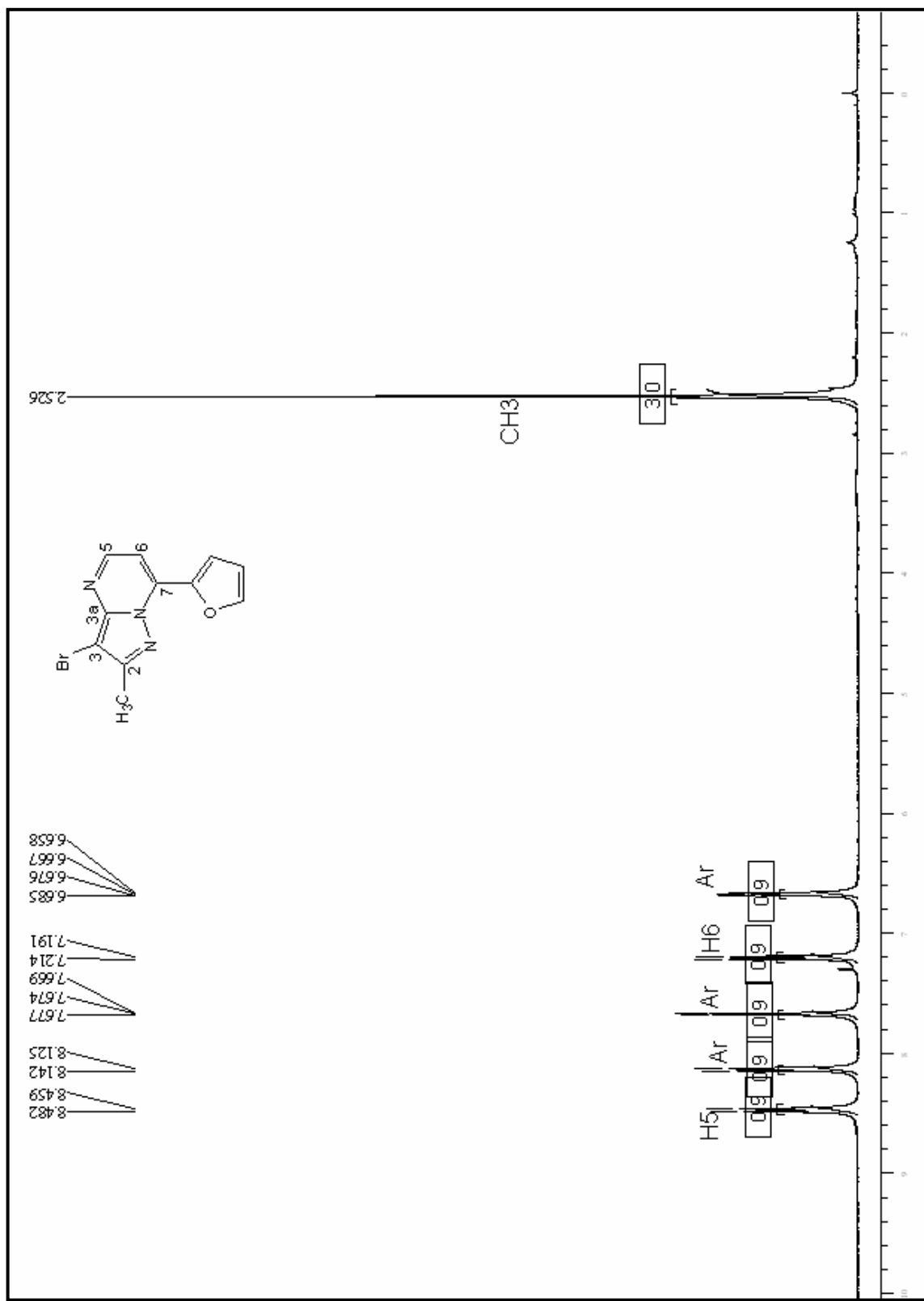


Figura 92: Espectro de RMN de ^1H do composto **6j**

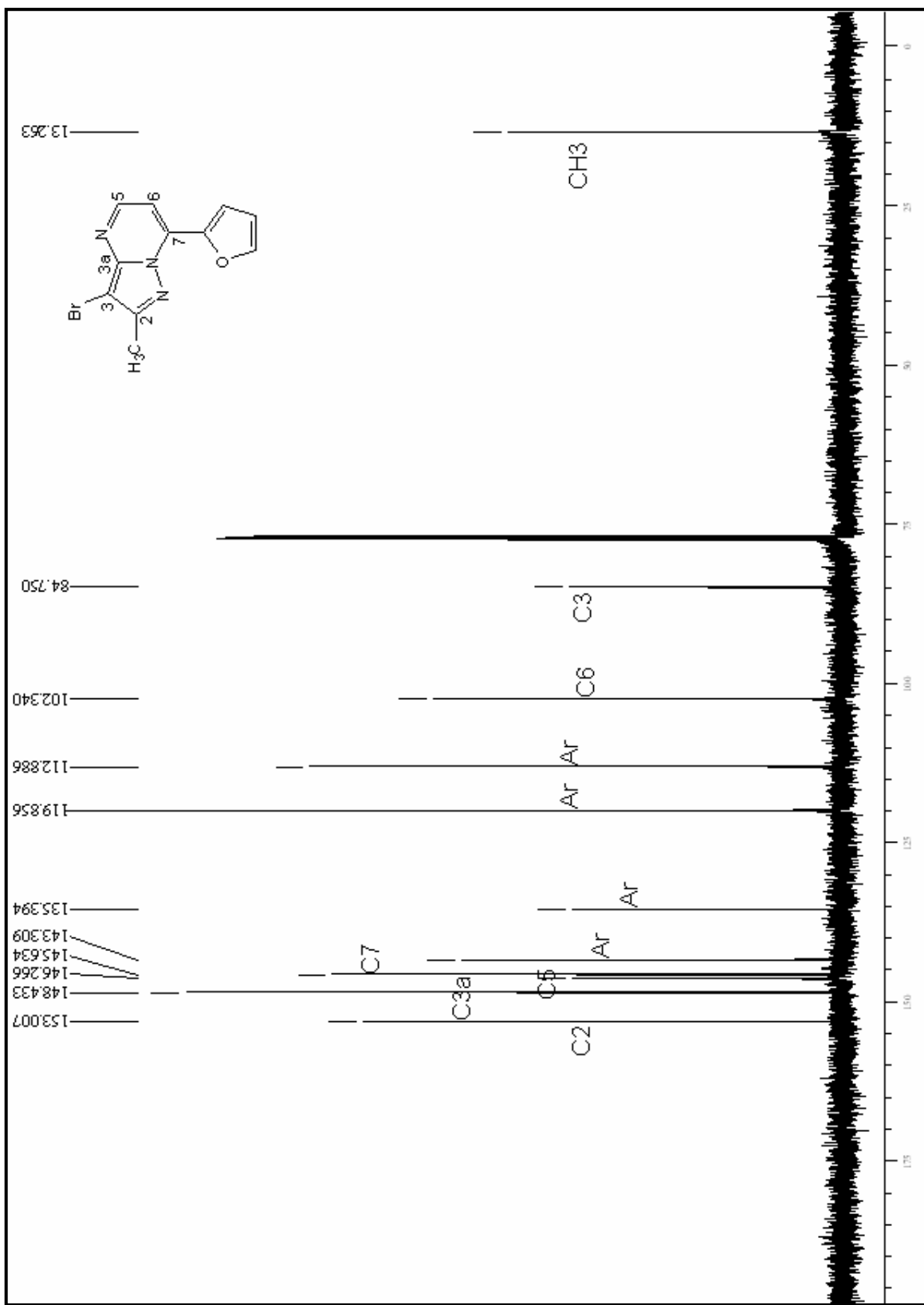
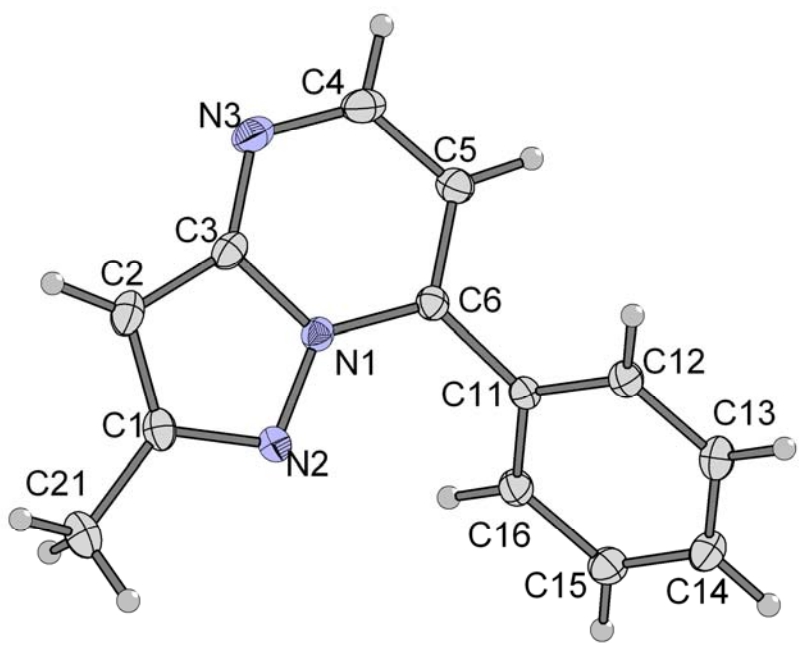
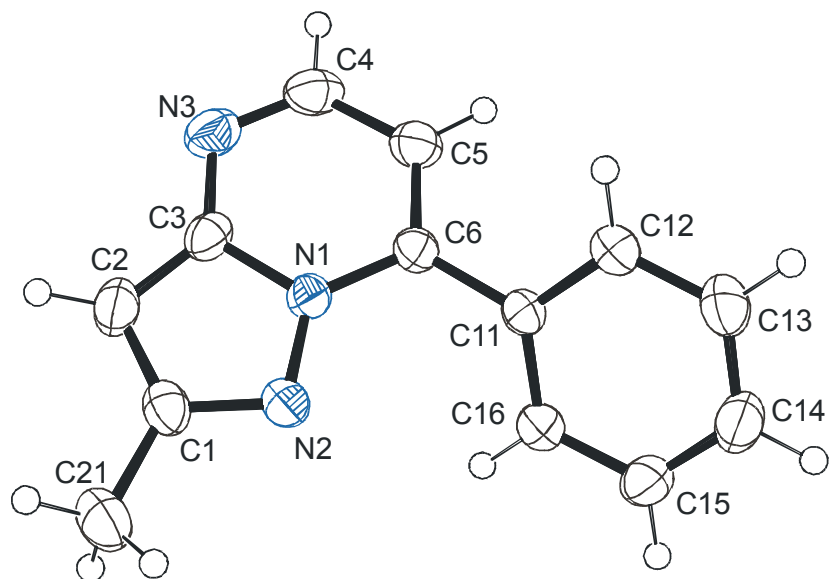
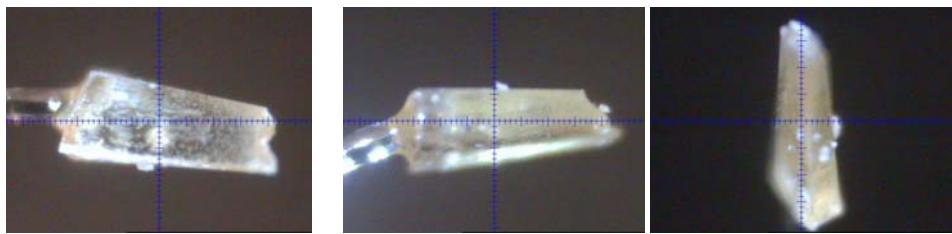
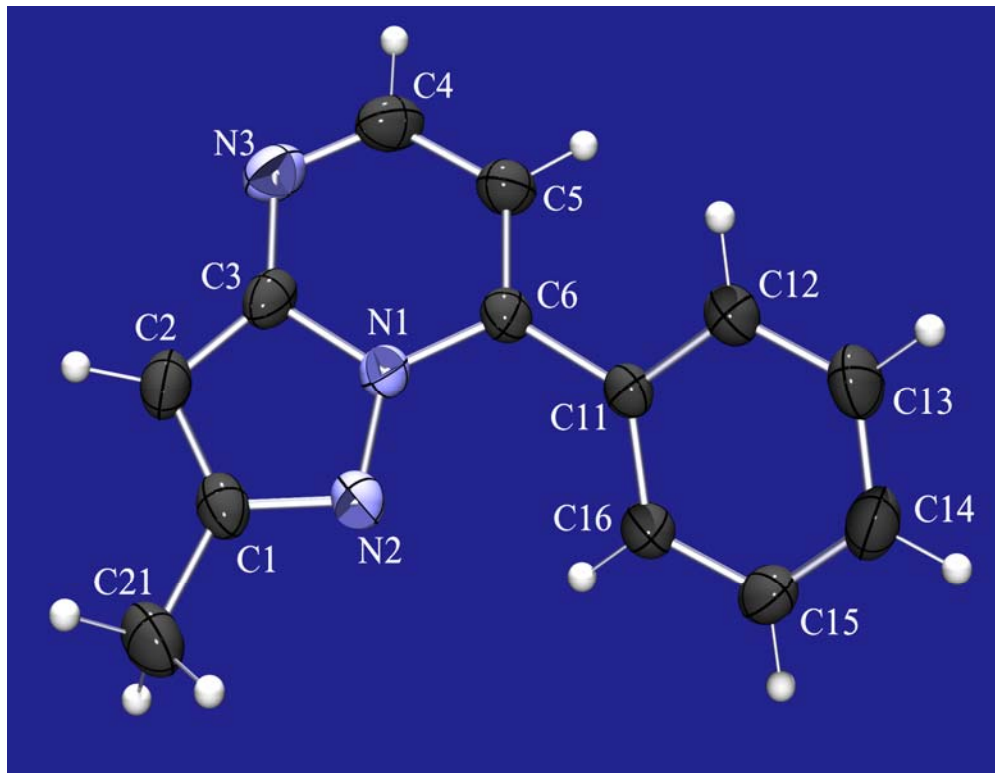


Figura 93: Espectro de RMN de ^{13}C do composto **6j**

ANEXO 3

Estrutura de Raio-X do composto 4a





Coleta dos Dados de Raio-X

As medidas cristalográficas foram feitas num Bruker Kappa Apex II, equipado com um detector de área tipo CCD, usando radiação Mo K α ($\lambda = 0,71073 \text{ \AA}$). A estrutura foi resolvida usando métodos diretos (SHELXS-97), achando todos os átomos de C e N. A estrutura foi refinada nas F^2 (SHELXL-97). Os átomos de H foram achados no mapa de densidade diferencial ($F_o - F_c$) e refinados junto com os átomos para quais eles estão ligados.

Dados cristalinos para o composto **4a**: $C_{13}H_{11}N_3$, $M = 209,25$, monoclinico, grupo espacial $P2_1/n$ (Nº 14 alternativo), $a = 3,9095(14) \text{ \AA}$, $b = 10,516(5) \text{ \AA}$, $c = 25,498(12) \text{ \AA}$, $\beta = 90,634(10)^\circ$, $V = 1048,2(8) \text{ \AA}^3$, $T = 294(2) \text{ K}$, $Z = 4$, $D_c = 1.326 \text{ g/cm}^{-3}$, $\mu = 0.082 \text{ mm}^{-1}$, $3,74 < \theta < 31,57$, $F(000) = 440$; 16595 reflexões medidas, 3429 únicos ($R_{\text{int}} = 0.0358$). Índices de concordância finais: $wR_2 = 0.1680$ (todos os dados), $R_1 [I > \sigma(I)] = 0.0668$, $\text{GoF} = 1.079$. CCDC No. XXXXX

Tabela 15: Dados cristalográficos e refinamento da estrutura para o composto **4a**.

Identification code	rb_mm_4a_0m	
Empirical formula	C13 H11 N3	
Formula weight	209.25	
Temperature	294(2) K	
Wavelength	0.71073 Å	
Crystal system	Monoclinic	
Space group	P2(1)/n	
Unit cell dimensions	a = 3.9095(14) Å b = 10.516(5) Å c = 25.498(12) Å	□ = 90°. □ = 90.634(10)°. □ = 90°.
Volume	1048.2(8) Å ³	
Z	4	
Density (calculated)	1.326 Mg/m ³	
Absorption coefficient	0.082 mm ⁻¹	
F(000)	440	
Crystal size	0.7 x 0.2 x 0.1 mm ³	
Theta range for data collection	3.74 to 31.57°.	
Index ranges	-5<=h<=5, -15<=k<=15, -37<=l<=37	
Reflections collected	16595	
Independent reflections	3429 [R(int) = 0.0358]	
Completeness to theta = 31.57°	97.5 %	
Absorption correction	Semi-empirical from equivalents	
Max. and min. transmission	1 and 0.827858	
Refinement method	Full-matrix least-squares on F ²	
Data / restraints / parameters	3429 / 0 / 146	
Goodness-of-fit on F ²	1.079	
Final R indices [I>2sigma(I)]	R1 = 0.0668, wR2 = 0.1527	
R indices (all data)	R1 = 0.1001, wR2 = 0.1680	
Largest diff. peak and hole	0.264 and -0.235 e.Å ⁻³	

Tabela 16: Coordenadas atômicas ($\times 10^4$) e parâmetros de substituição de equivalência isotrópica ($\text{\AA}^2 \times 10^3$) para o composto **4a**.

$U(\text{eq})$ is defined as one third of the trace of the orthogonalized U^{ij} tensor.

	x	y	z	$U(\text{eq})$
N(1)	9057(4)	1756(1)	1513(1)	30(1)
N(2)	7660(4)	2093(1)	1041(1)	33(1)
N(3)	10053(5)	2609(2)	2377(1)	45(1)
C(6)	10369(4)	592(2)	1641(1)	30(1)
C(3)	8864(5)	2743(2)	1880(1)	35(1)
C(5)	11561(5)	466(2)	2147(1)	39(1)
C(4)	11355(5)	1495(2)	2495(1)	44(1)
C(1)	6596(5)	3292(2)	1115(1)	36(1)
C(2)	7271(5)	3733(2)	1619(1)	42(1)
C(11)	10379(4)	-458(2)	1257(1)	29(1)
C(15)	11652(5)	-1338(2)	413(1)	43(1)
C(14)	10550(6)	-2515(2)	579(1)	47(1)
C(13)	9366(6)	-2675(2)	1081(1)	48(1)
C(12)	9282(5)	-1650(2)	1423(1)	38(1)
C(16)	11570(5)	-305(2)	748(1)	36(1)
C(21)	4939(6)	3987(2)	670(1)	48(1)

Tabela 17: Comprimentos de ligação [Å] e ângulos [°] para o composto **4a**.

N(1)-N(2)	1.3610(19)		
N(1)-C(6)	1.366(2)		
N(1)-C(3)	1.400(2)	C(6)-N(1)-C(3)	121.75(15)
N(2)-C(1)	1.342(2)	C(1)-N(2)-N(1)	104.01(14)
N(3)-C(4)	1.311(3)	C(4)-N(3)-C(3)	115.87(16)
N(3)-C(3)	1.353(2)	N(1)-C(6)-C(5)	115.79(16)
C(6)-C(5)	1.373(2)	N(1)-C(6)-C(11)	120.98(14)
C(6)-C(11)	1.476(2)	C(5)-C(6)-C(11)	123.21(16)
C(3)-C(2)	1.380(3)	N(3)-C(3)-C(2)	132.73(17)
C(5)-C(4)	1.402(3)	N(3)-C(3)-N(1)	121.94(17)
C(1)-C(2)	1.388(3)	C(2)-C(3)-N(1)	105.32(16)
C(1)-C(21)	1.493(3)	C(6)-C(5)-C(4)	119.89(18)
C(11)-C(12)	1.392(3)	N(3)-C(4)-C(5)	124.74(18)
C(11)-C(16)	1.394(2)	N(2)-C(1)-C(2)	112.84(16)
C(15)-C(14)	1.379(3)	N(2)-C(1)-C(21)	119.07(18)
C(15)-C(16)	1.382(3)	C(2)-C(1)-C(21)	128.08(19)
C(14)-C(13)	1.376(3)	C(3)-C(2)-C(1)	105.88(16)
C(13)-C(12)	1.385(3)	C(12)-C(11)-C(16)	119.54(16)
		C(12)-C(11)-C(6)	118.04(15)
N(2)-N(1)-C(6)	126.23(14)	C(16)-C(11)-C(6)	122.37(16)
N(2)-N(1)-C(3)	111.95(14)	C(14)-C(15)-C(16)	120.40(18)
		C(13)-C(14)-C(15)	120.35(18)
		C(14)-C(13)-C(12)	119.98(19)
		C(13)-C(12)-C(11)	120.06(17)
		C(15)-C(16)-C(11)	119.68(17)

Symmetry transformations used to generate equivalent atoms:

Tabela 18: Parâmetros de substituição anisotrópica ($\text{\AA}^2 \times 10^3$) para o composto 4a.

The anisotropic displacement factor exponent takes the form: $-2\alpha^2 [h^2 a^* 2U^{11} + \dots + 2 h k a^* b^* U^{12}]$

	U^{11}	U^{22}	U^{33}	U^{23}	U^{13}	U^{12}
N(1)	33(1)	27(1)	29(1)	-1(1)	3(1)	-2(1)
N(2)	35(1)	30(1)	33(1)	3(1)	0(1)	1(1)
N(3)	58(1)	43(1)	33(1)	-7(1)	4(1)	-10(1)
C(6)	31(1)	28(1)	31(1)	2(1)	2(1)	-2(1)
C(3)	40(1)	31(1)	34(1)	-5(1)	9(1)	-7(1)
C(5)	45(1)	38(1)	33(1)	3(1)	-3(1)	-2(1)
C(4)	54(1)	49(1)	30(1)	0(1)	-2(1)	-12(1)
C(1)	34(1)	30(1)	44(1)	5(1)	8(1)	2(1)
C(2)	50(1)	30(1)	48(1)	-5(1)	12(1)	2(1)
C(11)	30(1)	28(1)	30(1)	2(1)	-2(1)	4(1)
C(15)	50(1)	45(1)	33(1)	-3(1)	3(1)	10(1)
C(14)	58(1)	38(1)	46(1)	-12(1)	-6(1)	8(1)
C(13)	61(1)	29(1)	52(1)	0(1)	-3(1)	-4(1)
C(12)	48(1)	31(1)	35(1)	3(1)	2(1)	-2(1)
C(16)	41(1)	31(1)	34(1)	3(1)	3(1)	2(1)
C(21)	47(1)	42(1)	56(1)	10(1)	0(1)	10(1)

Tabela 19: Coordenadas de hidrogênio ($\times 10^4$) e parâmetros de substituição isotrópica ($\text{\AA}^2 \times 10^3$) para o composto **4a**.

	x	y	z	U(eq)
H(5)	12504	-301	2259	46
H(4)	12203	1379	2834	53
H(2)	6755	4532	1753	51
H(15)	12456	-1239	73	51
H(14)	10608	-3204	351	57
H(13)	8622	-3470	1191	57
H(12)	8491	-1759	1762	46
H(16)	12306	488	634	43
H(21A)	6633	4472	487	73
H(21B)	3218	4550	802	73
H(21C)	3902	3387	433	73

APÊNDICE 1

Atividade Antimicrobiana

1. Atividade antimicrobiana

1.1. Microrganismos

Os microrganismos utilizados nos ensaios para determinação da concentração inibitória mínima provieram de cepas catalogadas pela American Type Culture Collection (ATCC), constituídas de bactérias gram-positivos e gram-negativos, fungos leveduriformes e alga. Os microrganismos sem referência são provenientes de isolado clínico.

GRAM-POSITIVOS

Staphylococcus aureus ATCC 25923

GRAM-NEGATIVOS

Pseudomonas aeruginosa ATCC 27850

Klebsiella pneumoniae ATCC1003

Salmonela setubal ATCC19196

Escherichia coli ATCC 25922

FUNGOS

Candida albicans ATCC 44373

Candida dubliniensis BRCD 12

Candida glabrata ATCC 10231

Cryptococcus neoformans ATCC 28952

Saccharomyces cerevisiae ATCC 2601

ALGA

Prototheca zoopfi

1.2. Meios de cultura

Os meios de cultura utilizados foram de procedência Merck ou Difco, sendo a composição dos mesmos descrita abaixo.

Agar batata-dextrose

Infusão de batata (desidratada).....	4,0 g
Dextrose.....	20,0 g
Agar.....	15,0 g
Água destilada q.s.p.	1000 mL

Os compostos foram misturados e fervidos para efetuar a solução, seguindo-se esterilização por autoclavação a 120°C por 15 minutos.

Ágar Mueller-Hinton

Infuso de carne	300g
Caseína hidrolisada	17,5g
Amido	1,5g
Ágar-ágár	17,0g
Água destilada	1000,0mL

Preparado conforme as instruções do fabricante, reidratar 38,0g em água destilada, em seguida esterilizar em autoclave por 15 minutos a 120°C.

Ágar sabouraud

Peptona	10,0g
Dextrose	40,0g
Ágar-ágár	15,0g
Água destilada	1000,0mL

Reidratou-se em 1000 mL de água destilada 65,0g do meio, com aquecimento até a fusão do ágar. Posteriormente cerca de 5,0 mL foram distribuídos em tubos de ensaio 16X150mm e esterilizados em autoclave a 120°C por 20 minutos. Após a esterilização, os tubos foram mantidos inclinados até a sua solidificação.

Caldo Mueller-Hinton

Infuso de carne	300g
-----------------------	------

Caseína hidrolisada 17,5g

Amido 1,5g

Água destilada 1000,0mL

Preparado conforme as instruções do fabricante, reidratar 38,0g em água destilada, em seguida esterilizar em autoclave por 15 minutos a 120°C.

Caldo RPMI-1640

RPMI-1640 em pó..... 10,0 g

Carbonato de sódio..... 2,0 g

Tampão MOPS..... 34,53 g

Água destilada q.s.p. 1000 mL

Foi medido 5% menos de água destilada do que o volume final desejado. O meio foi adicionado entre 15º a 30ºC na água, agitando-se suavemente; o carbonato de sódio e o restante do volume de água foram adicionados, agitando-se até completa dissolução. O pH foi ajustado até 7,0 pela adição de hidróxido de sódio 1N. O meio foi esterilizado imediatamente por filtração.

1.3. Avaliação da atividade antimicrobiana

Técnica M27-A2 (NCCLS) de microdiluição em caldo para avaliação da concentração inibitória mínima (CIM) frente a fungos leveduriformes

A técnica M27-A2 é utilizada na determinação da suscetibilidade de leveduras a agentes antifúngicos, sendo realizado em duplicata e utilizando como padrão um controle de crescimento positivo. O teste foi adaptado para bactérias, alterando-se apenas o meio de cultura usado - Mueller-Hinton, e o tempo e a temperatura de incubação da placa - 24h a 35ºC.

1.3.1. Preparação do inóculo

As leveduras foram incubadas em tubos com ágar Sabouraud a 30ºC durante 24h. Após decorrido este período, foi preparada uma suspensão dos microrganismos em salina 0,85% estéril ajustando-se a turvação visualmente de acordo com o tubo nº 0,5 da escala MacFarland. A suspensão foi, então, diluída a 1:50 no meio RPMI-1640,

pipetando-se 0,01mL da suspensão em 0,5 mL do meio, caracterizando um inoculo prévio. Esse inoculo prévio foi novamente diluído 1:20 no meio, utilizando-se 0,1mL do inoculo em 1,9mL do meio.

A preparação do inoculo das espécies bacterianas foi realizada da mesma forma, substituindo-se apenas os meios ágar Sabouraud e RPMI-1640 por ágar Müller-Hinton e caldo Müller-Hinton, respectivamente.

1.3.2. Preparação das amostras para a avaliação da atividade antimicrobiana

Uma alíquota das amostras foram dissolvidas em 1 mL uma mistura de DMSO:MEIO (1:7) de maneira a se obter uma solução estoque a 5,12mg/mL.

A solução estoque foi diluída no meio de cultura de maneira a se obter as concentrações intermediárias de 640-320-160-80-40-20-10-5 μ g/mL, de maneira que as concentrações finais testadas fossem 320-160-80-40-20-10-5-2.5 μ g/mL.

1.3.3. Inoculação no meio de cultura

Cada atividade da placa de microdiluição já contendo 0,1mL da concentração do antifúngico foi inoculada com 0,1mL da suspensão preparada conforme descrito acima. Esta etapa diluía a concentração da droga, a densidade do inóculo e o diluente (quando usado) às concentrações finais desejadas para o teste. A cavidade do controle positivo deve conter 0,1mL do inóculo e 0,1mL meio e do diluente na mesma proporção em que este foi encontrado na cavidade contendo a maior concentração do agente antifúngico, mas sem a presença do mesmo.

1.3.4. Incubação

As placas de microdiluição foram incubadas a 25ºC sem agitação durante 46 a 50 horas para fungos leveduriformes e 35ºC durante 24 horas para bactérias, ou até que o crescimento do controle positivo pudesse ser evidenciado.

1.3.5. Leitura do teste

A leitura do teste foi realizada após transcorrido o período de incubação preconizado por cada metodologia para cada tipo de microrganismo (fungos leveduriformes ou bactérias). A leitura foi realizada mediante comparação visual com o controle de crescimento positivo, determinando-se como CIM a menor concentração da(s) substância(s) testadas onde não foi visualizado crescimento do microrganismo.

1.4. Determinação da concentração bactericida ou concentração fungicida

Para se determinar a concentração bactericida mínima (CBM) ou concentração fungicida mínima (CFM) dos compostos, fez-se repiques das diluições em que não havia crescimento de microrganismos em placa de Petri contendo ágar Müller-Hinton para bactérias e ágar Sabouraud para fungos. As placas foram incubadas de acordo com o método adotado. Após período de incubação, verificou-se qual a menor concentração em que os repiques não apresentavam crescimento microbiano, determinando assim a CBM, nos testes antibacterianos ou CFM, nos testes antifúngicos.

RESULTADOS

Nos últimos dez anos, o uso de novas e mais efetivas drogas antimicrobianas e imunossupressoras aumentaram a sobrevida dos pacientes com diversas enfermidades. A pesquisa de compostos biologicamente ativos vem crescendo cada vez mais, na busca da cura de muitos males tais como diversas doenças infecciosas causadas por fungos e bactérias.

As técnicas empregadas para avaliação da atividade antimicrobiana de compostos são difusão em ágar, bioautografia e teste de suscetibilidade determinado pelo National Committee for Clinical and Laboratory Standards (NCCLS)⁵⁸.

O NCCLS padronizou o teste de suscetibilidade, técnica de microdiluição em caldo, e veio tornar a execução e leitura mais fáceis, com maior praticidade e menor custo, tornando-se um método de referência.

Alguns fatores devem ser levados em consideração para a determinação da metodologia a ser utilizada como: o método de ensaio, o inóculo, o meio de crescimento, o tempo de leitura do teste, os microrganismos e ainda a solubilidade dos compostos a serem testados⁵⁷. A atividade antimicrobiana foi avaliada baseada na concentração inibitória mínima (CIM) de acordo com os procedimentos NCCLS M27-A2⁵⁸ para fungos e alga e para bactérias de acordo com NCCLS M7-A4⁵⁹. Desta forma, a atividade antimicrobiana *in vitro* para as pirazolo[1,5-a]pirimidinas foi avaliada frente a uma série de microrganismos patogênicos incluindo bactérias gram-positivas (*Staphylococcus aureus* ATCC 25923) gram-negativas (*Pseudomonas aeruginosa* ATCC 27850, *Klebsiella pneumoniae* ATCC 1003, *Salmonela setubal* ATCC 19196, *Escherichia coli* ATCC25922), fungos (*Candida albicans* ATCC 44373, *Candida dubliniensis* CBR 7987, *Candida glabrata* ATCC 10231, *Cryptococcus neoformans* var. *gattii* (sorotipo D) ATCC 28952, *Saccharomyces cerevisiae* ATCC 2601) e alga (*Prototheca zopfii* isolado clínico) de acordo com o método de microdiluição em caldo.

Nas Tabelas 20 e 21 estão reportadas as concentrações das pirazolo[1,5-a]pirimidinas necessárias para inibir o crescimento dos diferentes microrganismos utilizados nos ensaios.

Tabela 20: Avaliação da atividade antibacteriana *in vitro* de pirazolo[1,5-*a*]pirimidinas (CIM/CBM - μgml^{-1}):

Comp.	CIM ^a / CBM ^b				
	S.a. ^c	K.p. ^d	P.a. ^e	E.c. ^f	S.s. ^g
2a	160/>320	160/>320	320/320	320/>320	320/>320
2b	>320	160/>320	>320	>320	>320
2d	>320	>320	>320	>320	>320
4a	>320	320/>320	>320	>320	>320
4b	>320	>320	320/>320	>320	>320
4c	320/>320	>320	>320	>320	320/>320
4d	>320	>320	>320	>320	>320
4e	320/>320	320/>320	320/>320	320/>320	320/>320
4f	>320	>320	>320	>320	>320
4i	320/>320	320/>320	320/320	320/>320	320/>320
4j	>320	>320	320/>320	>320	>320
5a	320/320	160/>320	160/320	160/>320	320/>320
5b	>320	>320	320/>320	>320	>320
6a	80/320	160/>320	160/>320	160/>320	320/>320
6b	>320	160/>320	>320	320/>320	320/320
6d	80//>320	160/>320	>320	160/>320	>320
I ^h	0,06	< 4,0	2,0	0,06	< 4,0

^a Concentração Inibitória Mínima ^b Concentração Bactericida Mínima

Microrganismos: ^c*Staphylococcus aureus* ATCC 25923, ^d*Klebsiella pneumoniae* ATCC 1003,

^e*Pseudomonas aeruginosa* ATCC 27850, ^f*Escherichia coli* ATCC25922,

^g*Salmonela setubal* ATCC 19196

Controle: ^himipenen

Tabela 21: Avaliação da atividade antifúngica *in vitro* de pirazolo[1,5-a]pirimidinas (CIM/CFM - $\mu\text{g ml}^{-1}$):

Comp.	C. a. ^c	C. d. ^d	CIM ^a / CFM ^b			
			C. g. ^e	P. z. ^f	C. n. ^g	S.c. ^h
2a	320/>320	160/160	>320	320/160	160/320	320/>320
2b	>320	320/320	>320	320/>320	320/320	>320
2d	>320	160/160	320/>320	>320	>320	320/>320
4a	320/>320	>320	>320	>320	160/>320	>320
4b	>320	320/>320	>320	320/>320	320/>320	>320
4c	>320	320/>320	320/320	>320	160/160	>320
4d	>320	>320	>320	>320	>320	>320
4e	>320	320/>320	>320	>320	>320	320/>320
4f	>320	>320	>320	>320	>320	>320
4i	>320	320/>320	>320	>320	>320	>320
4j	>320	160/320	>320	>320	80/160	320/>320
5a	320	320/>320	320	>320	320	320/>320
5b	>320	320/>320	320/>320	320/>320	>320	320/>320
6a	>320	160/160	>320	320/320	320/320	>320
6b	>320	>320	>320	320/>320	320/320	>320
6d	>320	>320	>320	>320	>320	>320
F ⁱ	4,0	2,0	8,0		2,0	1,0
A ^j				0,5		

^a Concentração Inibitória Mínima ^b Concentração Fungicida Mínima

Microrganismos: ^c*Candida albicans* ATCC 44373; ^d*Candida dubliniensis* CBS 7987; ^e*Candida glabrata* ATCC 10231; ^f*Prototheca zopfii*; ^g*Cryptococcus neoformans* var. *gattii* (sorotype D) ATCC 28952;

^h*Saccharomyces cerevisiae* ATCC 2601

Controle: ⁱfluconazol, ^janfotericina B

Os compostos evidenciaram moderada atividade antibacteriana. Após análise dos resultados verificou-se que apresentam apenas atividade bacteriostática.

Os compostos **6a** e **6d** apresentaram-se ativos frente a bactérias gram-positiva. A concentração mínima dos compostos **6a** e **6d** necessária para inibir *Staphylococcus aureus* foi 80 $\mu\text{g/ml}$.

Ao compararmos os compostos **6a**, **6d** e **4d**; podemos verificar que o composto **4d**, o qual não apresenta o substituinte Br no carbono C-3, não foi sensível para os diferentes microrganismos testados. Desta forma podemos sugerir que este substituinte é responsável pela sensibilidade conferida os compostos **6a** e **6d**.

Os compostos mostraram-se pouco ativos frente a fungos, e em alguns casos foram inativos. Apenas o composto **4j** foi ativo para *Cryptococcus neoformans*. A concentração inibitória necessária para inibir o seu crescimento foi de 80 $\mu\text{g/ml}$.